



การพัฒนาระบบการหล่อโลหะแบบเหวี่ยงด้วยความดันสูงสำหรับการแทรกซึมเพื่อ[†]
ผลิตวัสดุผสมเนื้ออัลูมิเนียม

**Development of a High Pressure Centrifugal Infiltration Process for Fabrication
of Aluminum Matrix Composites**

นริศ จุสกรณ์

Naris Jussakorn

วิทยานิพนธ์นี้เป็นส่วนหนึ่งของการศึกษาตามหลักสูตรปริญญา
วิศวกรรมศาสตรมหาบัณฑิต สาขาวิชาบริหารผลิต
มหาวิทยาลัยสงขลานครินทร์

A Thesis Submitted in Partial Fulfillment of the Requirements for the Degree of
Master of Engineering in Manufacturing Engineering
Prince of Songkla University

2553

ลิขสิทธิ์ของมหาวิทยาลัยสงขลานครินทร์

ชื่อวิทยานิพนธ์	การพัฒนากระบวนการหล่อโลหะแบบใหม่ด้วยความคันสูงสำหรับการแทรกซึมเพื่อผลิตวัสดุผสมเนื้ออະลูมิเนียม
ผู้เขียน	นายนริศ จุสกรณ์
สาขาวิชา	วิศวกรรมการผลิต

อาจารย์ที่ปรึกษาวิทยานิพนธ์หลัก	คณะกรรมการสอบ
..... (ผู้ช่วยศาสตราจารย์ ดร.เจษฎา วรรตน์สินธุ์) ประธานกรรมการ (ผู้ช่วยศาสตราจารย์ ดร.ธเนศ รัตนาวีโภ)
อาจารย์ที่ปรึกษาวิทยานิพนธ์ร่วม	กรรมการ
..... (ผู้ช่วยศาสตราจารย์ ดร.นภิสพร มีเมืองคล) (ผู้ช่วยศาสตราจารย์ ดร.นภิสพร มีเมืองคล)
..... (ผู้ช่วยศาสตราจารย์ ดร.ธวัชชัย ปลูกผล)	กรรมการ (ผู้ช่วยศาสตราจารย์ ดร.ธวัชชัย ปลูกผล)
..... (ดร.อานอน คันทะชา)	กรรมการ (ดร.อานอน คันทะชา)

บันทึกวิทยาลัย มหาวิทยาลัยสงขลานครินทร์ อนุมัติให้นับวิทยานิพนธ์ฉบับนี้ เป็นส่วนหนึ่งของการศึกษา ตามหลักสูตรปริญญาวิศวกรรมศาสตรมหาบัณฑิต สาขาวิชาวิศวกรรมการผลิต

.....
(รองศาสตราจารย์ ดร.เกริกชัย ทองหนู)

คณบดีบันทึกวิทยาลัย

(2)

ชื่อวิทยานิพนธ์	การพัฒนากระบวนการหล่อโลหะแบบเหวี่ยงด้วยความดันสูงสำหรับการแทรกซึมเพื่อผลิตวัสดุผสมเนื้ออัลูมิเนียม
ผู้เขียน	นายนริศ จุสกรณ์
สาขาวิชา	วิศวกรรมการผลิต
ปีการศึกษา	2552

บทคัดย่อ

งานวิจัยนี้เสนอวิธีการพัฒนากระบวนการหล่อโลหะแบบเหวี่ยงด้วยความดันสูงสำหรับการแทรกซึมเพื่อผลิตวัสดุผสมเนื้ออัลูมิเนียม (Aluminum Matrix Composite, AMC) โดยใช้โลหะอะลูมิเนียม เกรด A356 เป็นเนื้อหลัก (Matrix) และซิลิโคนคาร์บไบด์ (SiC) เป็นวัสดุเสริมแรง (Reinforcement) ขั้นตอนในการดำเนินการวิจัยประกอบไปด้วย การออกแบบและจัดสร้างชุดระบบการหล่อเหวี่ยงความดันสูง การอัดขึ้นรูปซิลิโคนคาร์บไบด์เพื่อใช้สำหรับเสริมแรงอะลูมิเนียม และ การทดสอบสมบัติของวัสดุผสมเนื้ออัลูมิเนียมที่ผลิตได้จากการหล่อโลหะแบบเหวี่ยงด้วยความดันสูง ขนาดของผงซิลิโคนคาร์บไบด์ที่ใช้ในงานวิจัยนี้ คือ 13.5, 25, 68 และ 100 μm ซึ่งภายหลังจากการอัดขึ้นรูปแล้วจะถูกนำไปขึ้นรูปด้วยการหล่อเหวี่ยง ที่ความเร็ว 1,800 rpm (แรงดัน 4.26 MPa) เพื่อเสริมแรงในเนื้ออัลูมิเนียม ซึ่งผลการขึ้นรูปและวิเคราะห์โครงสร้างทางจุลภาคพบว่า โลหะอะลูมิเนียมสามารถแทรกซึมเข้าไปในช่องว่างระหว่างอนุภาคของซิลิโคนคาร์บไบด์ ได้ ในทุกขนาดของอนุภาคซิลิโคนคาร์บไบด์ เมื่อนำชิ้นงานมาทดสอบค่าความหนาแน่นรวมค่าความแข็ง และค่าความต้านทานการสึกหรอ พบร่วมกันที่ เส้นผ่าศูนย์กลาง 13.5 μm มีค่าความหนาแน่นรวมและค่าความแข็งสูงที่สุด แต่มีค่าความต้านทานการสึกหรอต่ำที่สุด ในทางตรงกันข้ามชิ้นงานที่เสริมแรงด้วยซิลิโคนคาร์บไบด์ขนาด 100 μm มีค่าความหนาแน่นรวมและค่าความแข็งต่ำที่สุด แต่มีค่าความต้านทานการสึกหรอสูงที่สุด นอกจากนี้ในโครงการวิจัยนี้ยังได้ศึกษาถึงอิทธิพลของแรงดันน้ำโลหะต่อการแทรกซึมของโลหะอะลูมิเนียมในผงซิลิโคนคาร์บไบด์ขนาด 100 μm ซึ่งผลการทดลองพบว่า โลหะอะลูมิเนียมจะสามารถแทรกซึมเข้าไประหว่างอนุภาคของซิลิโคนคาร์บไบด์ได้ ก็ต่อเมื่อค่าแรงดันน้ำโลหะอะลูมิเนียมต้องมีค่ามากกว่าแรงดันเริ่มต้น (Threshold pressure) หรือแรงต้านภายในของช่องว่างระหว่างอนุภาคซิลิโคนคาร์บไบด์ ซึ่งเป็นค่าที่สามารถคำนวณได้จากทฤษฎี

Thesis Title	Development of a high pressure centrifugal infiltration process for fabrication of aluminum matrix composites.
Author	Mr. Naris Jussakorn
Major	Manufacturing Engineering
Academic Year	2009

Abstract

This thesis presents the development of a high pressure centrifugal infiltration process for fabrication of aluminum matrix composites using the aluminum grade A356 as the matrix and silicon carbide (SiC) as the reinforcing material. The research method includes the design and production of the high pressure centrifugal casting system, the production of SiC preforms for reinforcing aluminum and the property testing of the aluminum matrix composite (AMC). AMC is produced by the high pressure centrifugal casting process using four SiC particles size are 13.5, 25, 68, 100 μm at the rotation speed of 1,800 rpm (4.26 MPa). The results of the microstructure study show that molten aluminum can infiltrate in small gap between particles of SiC preforms part. AMC of SiC 100 μm has the highest bulk density and hardness but the lowest wear resistance. On the other hand, AMC of 13.5 μm has the lowest bulk density and hardness but the highest wear resistance. This thesis also studied the effects of the molten aluminum pressures on the infiltration value using 100 μm of SiC as a reinforcement. In this infiltration study, the results show that the molten aluminum pressure values must be higher than the threshold pressure (resistance force due to capillary pressure), which can be calculated using a threshold pressure equation derived from a theory.

กิตติกรรมประกาศ

วิทยานิพนธ์เรื่องการพัฒนาระบวนการหล่อโลหะแบบเหวี่ยงด้วยความดันสูงสำหรับการแทรกซึมเพื่อผลิตวัสดุพลาสติกเนื้ออ่อนลูมีเนียมฉบับนี้สำเร็จสมบูรณ์ได้ด้วยคำแนะนำนำข้อเสนอแนะ และการตรวจแก้ไขจากผู้ทรงคุณวุฒิ ตลอดจนการติดตามสอบถ้วนความก้าวหน้าจากคณาจารย์ ผู้ช่วยศาสตราจารย์ ดร.เจษฎา วรรษสินธุ์ ประธานกรรมการที่ปรึกษาวิทยานิพนธ์ ผู้ช่วยศาสตราจารย์ ดร.นภิสพร มีมงคล และ ผู้ช่วยศาสตราจารย์ ดร.ธวัชชัย ปลูกผล กรรมการที่ปรึกษาวิทยานิพนธ์ ตลอดจนคณะอาจารย์และเจ้าหน้าที่ของภาควิชาศึกษาครุศาสตร์และภาควิชาศึกษาครุศาสตร์และวัสดุ คณะวิศวกรรมศาสตร์ มหาวิทยาลัยสงขลานครินทร์ ทุกท่านที่ได้ให้ข้อมูลที่เป็นประโยชน์และให้ความร่วมมือต่างๆเป็นอย่างดี ผู้วิจัยขอขอบพระคุณเป็นอย่างสูง ณ โอกาสนี้

ขอขอบพระคุณบัณฑิตวิทยาลัย มหาวิทยาลัยสงขลานครินทร์ ที่ให้เก็บประมวลอุดหนุนในการทำวิจัยครั้งนี้

ขอขอบพระคุณที่มีวิจัยโลหะกึ่งของแข็ง ภาควิชาศึกษาครุศาสตร์และวัสดุ คณะวิศวกรรมศาสตร์ มหาวิทยาลัยสงขลานครินทร์ ซึ่งได้ให้ข้าพเจ้าได้ใช้สถานที่ เครื่องมือและอุปกรณ์ต่างๆ ภายใต้ห้องปฏิบัติการวิจัยโลหะกึ่งของแข็ง เพื่อทดลองงานวิจัยครั้งนี้

ขอขอบพระคุณเจ้าหน้าที่ศูนย์เครื่องมือวิทยาศาสตร์ มหาวิทยาลัยสงขลานครินทร์ ทุกท่านที่ให้คำแนะนำ และสละเวลาามาดูแลช่วยเหลือในการใช้เครื่องมือและอุปกรณ์ต่างๆภายใต้ศูนย์ฯ

ขอขอบพระคุณคณะกรรมการสอบวิทยานิพนธ์ทุกท่าน ที่กรุณาสละเวลามาทำการสอบ พร้อมให้คำแนะนำ แก่ไขข้อบกพร่องต่างๆ ทำให้วิทยานิพนธ์ฉบับนี้มีความสมบูรณ์ยิ่งขึ้น

ขอขอบคุณนายอานันท์ ศรีพรหม นายนิธิเศรษฐ พิชรุจ นายนรอนนท์ บุรพาและเพื่อนๆ พี่ๆ น้องๆ สาขาวิชาศึกษาครุศาสตร์ พลิตและส โนสรนักศึกษาคณะวิศวกรรมศาสตร์ มหาวิทยาลัยสงขลานครินทร์ ที่ช่วยเหลือแนะนำและเป็นที่ปรึกษาที่ดีในทุกโอกาส

สุดท้ายนี้ ข้าพเจ้าขอขอบพระคุณอย่างสูงสุด สำหรับคุณพ่อนุรักษ์, คุณแม่สุวรรณ และน้องชายนายธนธร จุสกรณ์ ที่ได้ให้กำลังใจและส่งเสริมในเรื่องต่างๆ ในระหว่างการทำวิทยานิพนธ์นี้

นริศ จุสกรณ์

สารบัญ

	หน้า
บทคัดย่อ	(3)
กิตติกรรมประกาศ	(5)
สารบัญ	(6)
รายการตาราง	(12)
รายการรูป	(15)
สัญลักษณ์คำย่อและตัวย่อ	(24)
บทที่	
1. บทนำ	1
1.1 ความสำคัญและที่มาของหัวข้อวิจัย	1
1.2 วัตถุประสงค์	2
1.3 สมมติฐานการวิจัย	2
1.4 ขอบเขตการวิจัย	2
1.5 ประโยชน์ที่คาดว่าจะได้รับ	2
2. ทฤษฎีและงานวิจัยที่เกี่ยวข้อง	3
2.1 ทฤษฎีและหลักการ	3
2.1.1 รายละเอียดของวัสดุผสม	3
2.1.1.1 โครงสร้างและสมบัติของวัสดุผสม	4
2.1.1.2 ชนิดของวัสดุผสม	5
2.1.1.3 ตัวอย่างประโยชน์และการนำไปใช้งานของวัสดุผสมเนื้อโลหะ	5
2.2 วิธีหลักๆ ในการผลิตโลหะผสม	7
2.2.1 การหล่อโลหะแบบเหวี่ยง (Centrifugal casting)	7
2.2.2 การกดอัดขี้นรูปโลหะหลอมเหลว (Squeeze casting)	8
2.2.3 การแทรกซึมที่เกิดขึ้นเองโดยธรรมชาติ (Spontaneous infiltration)	9
2.2.4 การแทรกซึมโดยความดันแก๊ส (Gas pressure infiltration)	10

สารบัญ (ต่อ)

	หน้า
2.3 ทฤษฎีและเนื้อหาที่เกี่ยวกับชุดระบบการหล่อเหลวของความดันสูงของเครื่องหล่อโลหะแบบเหลวด้วยความดันสูง	12
2.3.1 รูปแบบชุดระบบการหล่อเหลวของความดันสูงของเครื่องหล่อโลหะแบบเหลวด้วยความดันสูงออกแบบโดยใช้โปรแกรม Solid Edge V.16	12
2.3.1.1 ขั้นส่วนที่รองรับน้ำโลหะ	13
2.3.1.2 ขั้นส่วนท่อทางวิ่งน้ำโลหะ	13
2.3.1.3 ขั้นส่วนแม่พิมพ์	14
2.3.2 ค่าความดันของน้ำโลหะที่เกิดขึ้นในขั้นส่วนท่อทางวิ่งน้ำโลหะ	15
2.3.3 ค่าความดันเริ่มต้น (Threshold pressure, P_{th})	15
2.3.4 ค่าความดันสูงสุด (Maximum pressure, P_{max})	16
2.3.5 ค่าความเค้นในแนวหน้าศูนย์กลาง ($\sigma_{centrifugal}$) ที่เกิดจากแรงดันน้ำโลหะพุ่งออกแนวหน้าศูนย์กลาง	16
2.3.6 ค่าความเค้นน้ำหนักรวม ($\sigma_{total weight}$) ที่เกิดจากแรงน้ำหนัก (Weight)	17
2.3.7 ความเค้นจากการตัดโค้ง ($\sigma_{bending}$)	18
2.4 การถ่ายเทความร้อนด้วยการพา (Convection Heat Transfer)	19
2.5 เวลาในการแข็งตัวของน้ำโลหะ (Solidification Time)	19
2.6 วิธีการทดสอบและตรวจสอบวัสดุผสมเนื้อโลหะ	21
2.6.1 การตรวจสอบวัสดุผสมเนื้อโลหะ	21
2.6.1.1 การตรวจสอบโครงสร้างระดับมหภาค	21
2.6.1.2 การตรวจสอบโครงสร้างระดับจุลภาค	22
2.6.2 การหาความหนาแน่นวัสดุผสมเนื้อโลหะ	24
2.7 ทฤษฎีการอัดขึ้นรูป	25
2.7.1 การอัดขึ้นรูปการอัดในแนวแกนเดียว (Uniaxial Compaction)	26
2.8 งานวิจัยที่เกี่ยวข้อง	27

สารบัญ (ต่อ)

	หน้า
3. การวิเคราะห์และการคำนวณค่าต่างๆ ที่มีผลต่อการผลิตวัสดุผสมเนื้ออะลูมิเนียม และการออกแบบชุดระบบการหล่อเทวียงความดันสูง	49
3.1 การวิเคราะห์และการออกแบบชุดระบบการหล่อเทวียงความดันสูง	49
3.1.1 ค่าความดันของน้ำโลหะที่เกิดขึ้นในชิ้นส่วนท่อทางวิ่งน้ำโลหะ	49
3.1.2 ผลการคำนวณค่าความดันเริ่มต้น (Threshold pressure, P_{th})	50
3.1.3 ผลการคำนวณค่าความดันสูงสุด (Maximum pressure, P_{max})	52
3.1.4 ผลการคำนวณค่าความเค้นในแนวหนีศูนย์กลาง ($\sigma_{centrifugal}$) ที่เกิดจากแรงดันน้ำโลหะพุ่งออกในแนวหนีศูนย์กลาง ($F_{Centrifugal}$)	53
3.1.5 ผลการคำนวณค่าความเค้นน้ำหนักรวม ($\sigma_{totalweight}$) ที่เกิดจากแรงน้ำหนัก (Weight)	55
3.1.6 ผลการคำนวณค่าความเค้นจากการดัดโค้ง ($\sigma_{bending}$)	57
3.1.7 ผลการคำนวณเวลาในการแข็งตัวของน้ำโลหะ (Solidification Time, t_s)	59
3.1.8 ผลการคำนวณค่าความเค้นที่เกิดขึ้นกับสลักเกลียวสำหรับจับยึดชิ้นส่วนประกอบของชุดระบบการหล่อเทวียงความดันสูง	61
3.2 สรุปผลจากการวิเคราะห์และคำนวณค่าต่างๆ ที่มีผลต่อการผลิตวัสดุผสมเนื้ออะลูมิเนียมและการออกแบบชุดระบบการหล่อเทวียงความดันสูง	66
3.2.1 สรุปผลค่าความดันของน้ำโลหะที่เกิดขึ้นในชิ้นส่วนท่อทางวิ่งน้ำโลหะ	66
3.2.2 สรุปผลค่าความดันเริ่มต้น	67
3.2.3 สรุปผลค่าความดันสูงสุด	68
3.2.4 สรุปผลค่าความเค้นในแนวหนีศูนย์กลางที่เกิดจากแรงดันน้ำโลหะพุ่งออกแนวหนีศูนย์กลาง	69
3.2.5 สรุปผลค่าความเค้นน้ำหนักรวมที่เกิดจากแรงน้ำหนัก	70
3.2.6 สรุปผลค่าความเค้นจากการดัดโค้ง	70
3.2.7 สรุปผลเวลาในการแข็งตัวของน้ำโลหะ	71

สารบัญ (ต่อ)

	หน้า
3.2.8 สรุปผลค่าความเค้นที่เกิดขึ้นกับสลักเกลียวสำหรับจับยึดชิ้นส่วน ประกอบของชุดระบบการหล่อเทวีงความดันสูง	72
4. วิธีการวิจัย	74
4.1 วัสดุที่ใช้ในการวิจัย	74
4.1.1 สมบัติทางกายภาพของอะลูมิเนียม เกรด A356	75
4.1.2 สมบัติทางกายภาพของซิลิโคนคาร์บอนไดออกไซด์	76
4.2 เครื่องมือและอุปกรณ์	78
4.2.1 เตาหลอมโลหะชนิดลดความต้านทาน (Resistance furnace)	78
4.2.2 เตาเผาอุณหภูมิต่ำ	78
4.2.3 เครื่องอัดตัวอย่างไฮดรอลิกส์ (Hydraulic press machine)	79
4.2.4 เครื่องทดสอบความแข็ง (Hardness Test)	79
4.2.5 อุปกรณ์ทดสอบหาค่าความต้านทานต่อการสึกหรอ	80
4.2.6 กล้องจุลทรรศน์แบบแสง	80
4.2.7 เครื่องขัดแบบงานคู่ (Grinder/Polisher)	81
4.2.8 กล้องจุลทรรศน์อิเล็กตรอนแบบส่องกระดาษ	81
4.2.9 เครื่องซั่งน้ำหนักความละเอียด 2 ตำแหน่ง	82
4.2.10 เครื่องวัดอุณหภูมิและหัววัดอุณหภูมิ (Thermometer and thermocouple probe)	82
4.2.11 ชุดอุปกรณ์การอัดขึ้นรูปชิ้นงาน	83
4.2.12 ชุดอุปกรณ์เผาอุ่น	83
4.2.13 กระเบนประคองน้ำโลหะ	84
4.2.14 เครื่องหล่อเทวีง	84
4.2.15 เครื่องควบคุมความถี่ไฟฟ้ากระแสสลับ (Inverter)	85
4.3 วิธีการดำเนินงาน	85
4.3.1 ขั้นตอนการผลิตชิ้นงานซิลิโคนคาร์บอนด้วยอัดขึ้นรูป (SiC Preform)	85

สารบัญ (ต่อ)

	หน้า
4.3.1.1 ขั้นตอนการหาค่าเฉลี่ยสัดส่วนของปริมาตรระหว่างอนุภาคและชิ้นงานเซรามิกของซิลิคอนคาร์ไบด์อัดขึ้นรูป	88
4.3.2 ขั้นตอนการผลิตชิ้นงานวัสดุพสมเนื้ออະลูมิเนียม	89
4.3.2.1 ขั้นตอนการทำความสะอาดด้วยระบบการหล่อเทวีงความดันสูง	91
4.3.3 การทดสอบหาสมบัติต่างๆ ของชิ้นงานวัสดุพสมเนื้ออະลูมิเนียม	92
4.3.3.1 การคำนวณหาความหนาแน่นรวมชิ้นงานวัสดุพสมเนื้ออະลูมิเนียม	92
4.3.3.2 การตรวจสอบโครงสร้างระดับจุลภาคชิ้นงานวัสดุพสมเนื้ออະลูมิเนียม	93
4.3.3.3 การทดสอบวัดความแข็งชิ้นงานวัสดุพสมเนื้ออະลูมิเนียม	93
4.3.3.4 การทดสอบความด้านทานต่อการสึกหรอชิ้นงานวัสดุพสมเนื้ออະลูมิเนียม	94
5. ผลและการอภิปรายผล	96
5.1 อิทธิพลของตัวแปรที่มีผลต่อการผลิตวัสดุพสมเนื้ออະลูมิเนียม	97
5.1.1 อิทธิพลของขนาดของผงซิลิคอนคาร์ไบด์	103
5.1.1.1 ค่าความหนาแน่นรวม (Bulk density) ของชิ้นงานวัสดุพสมเนื้ออະลูมิเนียมทั้ง 4 ขนาดของผงซิลิคอนคาร์ไบด์	104
5.1.1.2 ค่าความแข็ง (Hardness) ของชิ้นงานวัสดุพสมเนื้ออະลูมิเนียมทั้ง 4 ขนาดของผงซิลิคอนคาร์ไบด์	107
5.1.1.3 ค่าความด้านทานต่อการสึกหรอ (Wear resistance) ของชิ้นงานวัสดุพสมเนื้ออະลูมิเนียมทั้ง 4 ขนาดของผงซิลิคอนคาร์ไบด์	110
5.1.1.4 โครงสร้างภายในระดับจุลภาคของชิ้นงานวัสดุพสมเนื้ออະลูมิเนียมทั้ง 4 ขนาดของผงซิลิคอนคาร์ไบด์	115
5.1.2 อิทธิพลของค่าความดันน้ำโลหะ	122
6. สรุปการวิจัยและข้อเสนอแนะ	138
6.1 สรุปผลการวิจัย	138
6.2 ข้อเสนอแนะ	140

สารบัญ (ต่อ)

	หน้า
6.2.1 การเผาอุ่นชุดระบบการหล่อเทวียงความดันสูง	140
6.2.2 การหาปะเก็น (Gasket) ที่ใช้ในการทดลองหล่อเทวียงด้วยความดันสูง	141
บรรณานุกรม	142
ภาคผนวก ก	146
ภาคผนวก ข	151
ภาคผนวก ค	157
ภาคผนวก ง	159
ภาคผนวก จ	163
ภาคผนวก ฉ	167
ภาคผนวก ช	173
ภาคผนวก ซ	177
ประวัติผู้เขียน	180

รายการตาราง

ตารางที่	หน้า
2.1 สมบัติทางกลของวัสดุผสมเนื้อโลหะ	31
2.2 จากทฤษฎีของทากูชิแสดงให้เห็นค่าตัวแปรที่สนใจ	34
2.3 การวัดค่าสมบัติของวัสดุผสมเนื้อโลหะ ชนิด Al/SiC	36
2.4 ค่าของตัวแปรที่มีความหมายสมในการที่ทำให้สมบัติไม่ดูดสการขึ้นเมื่อค่าที่ดี	36
2.5 สมบัติทางกลของซิลิโคนคาร์บอนด์ที่ได้จากการซึมด้วยซิลิโคน	38
2.6 ค่าความดันเริ่มต้นสำหรับการแทรกซึมจากการทดลองและการคำนวณ	42
3.1 ผลคำนวณหาค่าความดันน้ำโลหะอะลูมิเนียมเหลวในชิ้นส่วนท่อทั้งวิ่งน้ำโลหะ	50
3.2 ผลการคำนวณหาค่าความดันเริ่มต้น	51
3.3 ผลคำนวณหาค่าความดันสูงสุดของน้ำโลหะอะลูมิเนียมเหลวที่สามารถเกิดขึ้นได้ในท่อทั้งวิ่งน้ำโลหะ	52
3.4 ผลคำนวณหาค่าแรงดันน้ำโลหะพุ่งออกในแนวหนีศูนย์กลาง	53
3.5 ผลคำนวณหาค่าความเค้นในแนวหนีศูนย์กลางพื้นที่ 3 บริเวณของท่อทั้งวิ่งน้ำโลหะ	54
3.6 ผลการคำนวณหาโมเมนต์ดัดของชิ้นส่วนท่อทั้งวิ่งน้ำโลหะที่มีขนาดเส้นผ่าศูนย์กลางภายนอก 25 mm	56
3.7 ผลการคำนวณค่าความเค้นจากน้ำหนักของชิ้นส่วนท่อทั้งวิ่งน้ำโลหะ	56
3.8 ผลการคำนวณหาค่าความเค้นจากน้ำหนักรวมที่เกิดขึ้นกับชิ้นส่วนท่อทั้งวิ่งน้ำโลหะ	57
3.9 ผลการคำนวณหาค่าความเค้นจากการดัดโค้งที่เกิดขึ้นกับพื้นที่หน้าแปลนของชิ้นส่วนท่อทั้งวิ่งน้ำโลหะซึ่งต่อกับชิ้นส่วนที่รองรับน้ำโลหะ	58
3.10 ผลคำนวณหาค่าเวลาในการแข็งตัวของน้ำโลหะอะลูมิเนียมเหลวที่ถูกเทวีงหนีศูนย์เคลื่อนตัวเข้าไปในชิ้นส่วนแม่พิมพ์	60
4.1 สมบัติของอะลูมิเนียม เกรด A356-T61	75
4.2 สมบัติของซิลิโคนคาร์บอนด์	77

รายการตาราง (ต่อ)

ตารางที่	หน้า
5.1 ตัวอย่างผลการหาค่าเฉลี่ยสัดส่วนของปริมาตรระหว่างอนุภาคและชิ้นงานเซรามิก ^{(a) SiC ขนาด 13.5 μm (b) SiC ขนาด 25 μm}	100
5.2 ตัวอย่างผลการวัดอุณหภูมิชุดระบบการหล่อเทวียงความดันสูง 5 จุดตรวจสอบ กรณีวัสดุผสมเนื้ออัลูมิเนียมขนาดอนุภาคผงซิลิโคนคาร์บไบด์ 100 μm ที่ค่าความ ดันของน้ำโลหะอะลูมิเนียมเหลวขนาดต่างๆ	102
5.3 ค่าความหนาแน่นรวมของชิ้นงานวัสดุผสมเนื้ออัลูมิเนียมที่ความดันของน้ำโลหะ ^{อะลูมิเนียมเหลวจากการหมุนเทวียง 4.26 MPa (1,800 rpm)}	104
5.4 ค่าความแข็งของชิ้นงานวัสดุผสมเนื้ออัลูมิเนียม ที่ความดันน้ำโลหะอะลูมิเนียม ^{เหลวจากการหมุนเทวียง 4.26 MPa (1,800 rpm)}	107
5.5 น้ำหนักที่หายไปของชิ้นงานวัสดุผสมเนื้ออัลูมิเนียมและอะลูมิเนียม เกรด A356 ที่ 5 ช่วงเวลา ความดันน้ำโลหะอะลูมิเนียมจากการหมุนเทวียง 4.26 MPa (1,800 rpm)	111
5.6 ค่าร้อยละของน้ำหนักที่หายไป (%Weight loss) ของชิ้นงานวัสดุผสมเนื้อ ^{อะลูมิเนียมและอะลูมิเนียม เกรด A356 ที่ 5 ช่วงเวลา ที่ความดันน้ำโลหะ^{อะลูมิเนียมเหลวจากการหมุนเทวียง 4.26 MPa (1,800 rpm)}}	111
5.7 ผลการคำนวณหาค่าความดันน้ำโลหะอะลูมิเนียมเหลวเทียบกับร้อยละของ ระยะทางในการเข้าแทรกซึมในชิ้นงานซิลิโคนคาร์บไบด์อัดขึ้นรูปเพื่อผลิตวัสดุผสม เนื้ออัลูมิเนียม	122
5.8 สรุปผลการทดสอบสมบัติวัสดุผสมเนื้ออัลูมิเนียมที่ผลิตได้ทั้ง 4 ขนาดอนุภาคผง ซิลิโคนคาร์บไบด์	135
5.9 ผลการทดสอบสมบัติวัสดุผสมเนื้ออัลูมิเนียมของงานวิจัยนี้ ^{เปรียบเทียบกับงาน วิจัยผู้อื่น}	136
๙.1 สมบัติทางกลของเหล็กกล้าคาร์บอนที่ระดับอุณหภูมิต่างๆ	170
๙.2 สมบัติของปะเก็น (gasket) ชนิด non-asbestos 350 - 550°C แบบ thermopak 400	174
๙.2 สมบัติของปะเก็น (gasket) ชนิด non-asbestos 350 - 550°C แบบ thermopak 200	175
๙.3 สมบัติของปะเก็น (gasket) ชนิด non-asbestos 350 - 550°C แบบ thermopak 400 (Chemie & Oil)	176

รายการตาราง (ต่อ)

ตารางที่

หน้า

ช1 ค่าใช้จ่ายในการผลิตชิ้นงานวัสดุคอมพิวเตอร์ของลูกมิเนียมต่อ 1 ครั้ง ของการทดลองวิจัย
กระบวนการหล่อโลหะแบบหัวขึงด้วยความดันสูง

179

รายการรูป

รูปที่	หน้า
2.1 วัสดุผสมซึ่งผลิตมาจากวัสดุหลักทั้งสามกลุ่ม	4
2.2 โครงสร้างกึ่งกลางลำตัวของกระสวยอวากาศซึ่งแสดงให้เห็นถึงท่อโลหะผสม โดยอนและอะลูมิเนียม	6
2.3 ตัวอย่างการใช้ประโยชน์วัสดุผสมเนื้อโลหะ (a) แผ่นโลหะของเส้นไยแกรไฟต์ ชนิด P100 ในอะลูมิเนียม เกรด 6061 (b) แผ่นขยายสัญญาณกระสวยอวากาศ	6
2.4 การหล่อโลหะแบบเทวีง	8
2.5 การหล่อโลหะวัสดุผสมเนื้อโลหะแบบการกดอัดขึ้นรูปโลหะหลอมเหลว (a) หลักการหล่อแบบการกดอัดขึ้นรูปโลหะหลอมเหลว (b) ส่วนประกอบของ แม่พิมพ์	9
2.6 การหล่อวัสดุผสมเนื้อโลหะแบบการแทรกซึมที่เกิดขึ้นเองโดยธรรมชาติ	10
2.7 การหล่อวัสดุผสมเนื้อโลหะแบบการแทรกซึมโดยความดันก๊าซ	11
2.8 รูปแบบชุดระบบการหล่อเทวีงความดันสูงของเครื่องหล่อโลหะแบบเทวีง ด้วยความดันสูงออกแบบโดยโปรแกรม Solid Edge V.16	12
2.9 ชิ้นส่วนที่รองรับน้ำโลหะของชุดระบบการหล่อเทวีงความดันสูงออกแบบโดย โปรแกรม Solid Edge V.16	13
2.10 ชิ้นส่วนท่อทางวิ่งน้ำโลหะของชุดระบบการหล่อเทวีงความดันสูงที่ออกแบบโดย โปรแกรม Solid Edge V.16	14
2.11 ชิ้นส่วนแม่พิมพ์ที่สำหรับไว้ใส่ชิ้นงานซิลิโคนคาร์บอคดัดขึ้นรูปของชุดระบบการ หล่อเทวีงความดันสูงที่ออกแบบโดยใช้โปรแกรม Solid Edge V.16	15
2.12 ภาระน้ำหนักที่กระทำต่อชิ้นส่วนท่อทางวิ่งน้ำโลหะ	18
2.13 графรูปแบบของการเย็บตัว (a) Sand casting (b) Die casting	20
2.14 ภาพกล้องจุลทรรศน์	22
2.15 หลักการทำงานของกล้องจุลทรรศน์	23
2.16 กล้องจุลทรรศน์อิเล็กตรอนแบบกล้องส่องการดู	23

รายการรูป (ต่อ)

รูปที่	หน้า
2.17 การเปรียบเทียบการทำงานของกล้องจุลทรรศน์อิเล็กตรอนกับกล้องขยายแบบ ธรรมชาติทั่วไป	24
2.18 ตัวอย่างของภาพที่ถ่ายด้วยกล้องจุลทรรศน์อิเล็กตรอนแบบส่องการดู	24
2.19 ความสัมพันธ์ของความหนาแน่นกับความดันในการอัดแน่นแสดงขั้นตอนสำคัญ และความสามารถในการอัดลดลงเมื่อความหนาแน่นเพิ่มขึ้น	25
2.20 ขั้นตอนการอัดพงโลหะ เริ่มนั่นมีการจัดเรียงตัวโดยลดบริจจาระระหว่างอนุภาคเมื่อ แรงอัดสูงขึ้นการแน่นตัวเกิดจากการเสียรูปของอนุภาค	26
2.21 ลำดับขั้นตอนการเคลื่อนที่ของเครื่องมือในวัสดุขั้นตอนการอัดแน่นพง	27
2.22 แผนผังของเครื่องมือที่ใช้ในการดำเนินการแรงดึงแรงบีบให้เหลวสำหรับการแทรกซึมของ อะกูมิเนียม	28
2.23 ความสัมพันธ์ระหว่างความดันและระยะทางในการเข้าแทรกซึม	29
2.24 โครงสร้างระดับจุลภาคของชิ้นงานวัสดุผสมเนื้อโลหะจากการหัว่ยง	29
2.25 การกระจายตัวของอนุภาคเสริมแรง B_4C ในโลหะเนื้อหลักด้วยวิธีการผลิตแบบ การกดอัดขึ้นรูปโลหะหลอมเหลว	30
2.26 การเปรียบเทียบความสัมพันธ์ 3 สมบัติของวัสดุผสมเนื้อโลหะที่มีโลหะชนิด ZA-27 เป็นเนื้อหลัก	31
2.27 แผนผังของ (a) หลักการของเทคนิคการหล่อโลหะแบบหัว่ยง (b) การประกอบ แม่พิมพ์	32
2.28 แผนผังของ (a) หลักการของเทคนิคการหล่อโลหะแบบกดอัดขึ้นรูปโลหะ หลอมเหลว (b) การประกอบแม่พิมพ์	32
2.29 ภาพร่างแสดงให้เห็นถึงความแตกต่างในการเข้าแทรกซึมของกรณีการหล่อโลหะ แบบหัว่ยง	33
2.30 ระบบของวัสดุผสมเนื้อโลหะเปรียบเทียบกับเวลาในการเข้าแทรกซึมของทั้งสอง กรณีการหล่อโลหะ	33
2.31 ค่าความดันที่น้อยที่สุดที่ใช้ในสภาพการเข้าแทรกซึมของงานในครั้งนี้	35

รายการรูป (ต่อ)

รูปที่	หน้า
2.32 แผนผังของวิธีการแทรกซึมที่เกิดขึ้นของโดยธรรมชาติ	37
2.33 ภาพถ่ายของชิ้นงานจากการหล่อโลหะแบบหัวรุ่ง ซึ่งแสดงให้เห็นบริเวณต่างๆ ตามทิศทางแนวยาว	39
2.34 ภาพโครงสร้างระดับจุลภาคที่ได้จากการถ่ายด้วยกล้องจุลทรรศน์แบบแสงของวัสดุผสม Al-B เสริมแรงด้วย 5 wt.% B ของการหล่อโลหะแบบหัวรุ่ง	39
2.35 การวัดความแข็งแบบเบร็คเวลาด้วย 15 W บนระบบแนววาง	40
2.36 ภาพวัดแผนผังของ (a) กระบวนการหล่อโลหะแบบหัวรุ่งธรรมชาติ (b) กระบวนการหล่อโลหะแบบหัวรุ่งด้วยความดันสูง	40
2.37 แผนผังของ (a) ชิ้นงานเซรามิกอัดขึ้นรูปและแม่พิมพ์ (b) ระบบห่อหงายวิ่งนำโลหะและแม่พิมพ์ (c) ระบบการหล่อโลหะแบบหัวรุ่ง	41
2.38 ค่าความแข็งแรงในการดึงสูงสุดสำหรับวัสดุผสมเนื้อโลหะชนิด RZ5DF-14 vol.% Saffil ของแต่ละค่าความดันและอุณหภูมิของเซรามิกอัดขึ้นรูป	43
2.39 ภาพที่ได้จากการถ่ายด้วยกล้องจุลทรรศน์อิเล็กตรอนแบบส่อง粒ของผิวน้ำ วัสดุผสมเนื้อโลหะชนิด RZ5DF-14 vol.% Saffil ที่กรณีอุณหภูมิเซรามิกอัดขึ้นรูป (i) 400 °C (ii) 600°C ตามลำดับ	43
2.40 แผนภาพการทำงานของเครื่องมือกระบวนการกรุดอัดขึ้นรูปโลหะหลอมเหลว	44
2.41 ภาพโครงสร้างระดับจุลภาคของวัสดุผสมเนื้ออะลูมิเนียม เกรด 6061 และเสริมแรงด้วยซิลิโคนคาร์ไบด์ ค่าสัดส่วนปริมาตรระหว่างอนุภาคและชิ้นงานเซรามิก 30% ซึ่งถูกผลิตด้วยวิธีกระบวนการกรุดอัดขึ้นรูปโลหะหลอมเหลว	45
2.42 ค่ามวลที่หายไปจากการทดสอบความสึกหรอแบบเคลื่อนที่กลับไปกลับมาของวัสดุผสมเนื้ออะลูมิเนียม เกรด 6061 เสริมแรงด้วยซิลิโคนคาร์ไบด์และเหล็กหล่อเทาประเภท pearlitic cast iron เทียบกับระยะทางในการสไลด์ด้วยสภาวะโลหดนำหนัก 10 kg อัตราการสไลด์ 17 cms^{-1}	46
2.43 ภาพแผนผังเครื่องมือของวิธีการแทรกซึมโดยความดันต่ำ	46

รายการรูป (ต่อ)

รูปที่	หน้า
2.44 ภาพถ่ายคิวบล็องจุลทรรศน์อิเล็กตรอนแบบส่อง粒ของวัสดุสมเนื้อ อะลูมิเนียมที่เสริมแรงด้วยโครงข่ายซิลิโคนคาร์ไบด์ 3 มิติ แสดงรูปแบบ อะลูมิเนียมและนิกเกิล ส่วนยูเทกติกในเนื้อหลัก	47
3.1 ความเค็นที่เกิดขึ้นในพื้นที่ 3 บริเวณของชิ้นส่วนท่อทางวิ่งน้ำโลหะ	54
3.2 การนำหนักที่กระทำต่อชิ้นส่วนท่อทางวิ่งน้ำโลหะทรงตัน	55
3.3 การกระจายตัวของกระแสนำหนักของรูปแบบบรรทุกบนถนนยืน	56
3.4 ค่าความเค้นจากการตัดโคลั่งกระทำต่อพื้นที่หน้าแปลนของชิ้นส่วนท่อทางวิ่งน้ำ โลหะซึ่งต่อประภากับชิ้นส่วนที่รองรับน้ำโลหะที่เกิดขึ้นในช่วงเริ่มต้นการหมุน เหวี่ยง	58
3.5 ภาพประกอบรัศมีภายในรัศมีภายนอกและบริเวณที่เกิดค่าความเค้นจากการตัดโคลั่ง ของชิ้นส่วนท่อทางวิ่งน้ำโลหะ	59
3.6 ขนาดของหน้าแปลนและขนาดของสลักเกลียวที่ใช้	62
3.7 ลักษณะส่วนประกอบต่างๆ ของสลักเกลียว	63
3.8 องค์ประกอบการจัดยึดของสลักเกลียวที่มีปะเก็น	65
4.1 เตาหลอมโลหะชนิดกดความด้านทาน	78
4.2 เตาเผาอุณหภูมิต่ำ (Lindberg/Blue Moldatherm 1100°C Box Furnace)	79
4.3 เครื่องอัดตัวอย่างไฮโดรลิกส์	79
4.4 เครื่องทดสอบความแข็งแบบร็อกเวลต์	80
4.5 อุปกรณ์ทดสอบหาค่าความด้านทานต่อการสีกหรอ	80
4.6 กล้องจุลทรรศน์แบบแสง	81
4.7 เครื่องขัดแบบงานคู่	81
4.8 กล้องจุลทรรศน์อิเล็กตรอนแบบส่อง粒	82
4.9 เครื่องวัดอุณหภูมิและหัววัดอุณหภูมิ	82
4.10 ชุดอุปกรณ์สำหรับการอัดชิ้นรูปชิ้นงานซิลิโคนคาร์ไบด์อัดชิ้นรูป	83
4.11 ชุดอุปกรณ์เผาอุ่น	83
4.12 กรวยประคองน้ำโลหะ	84

รายการรูป (ต่อ)

รูปที่	หน้า
4.13 เครื่องหล่อเหลว	84
4.14 เครื่องควบคุมความถี่ไฟฟ้ากระแสสลับ	85
4.15 กระบวนการทดสอบวัตถุคิบและขึ้นรูปชิ้นงานซิลิโคนคาร์บอนด้วยเครื่องรีดขึ้นรูป	86
4.16 การตัวอย่างทดสอบ (ผงซิลิโคนคาร์บอนด้วยเครื่องรีดขึ้นรูป) สำหรับการทดสอบวัตถุคิบและทดสอบวัตถุคิบ	86
4.17 การนำชุดอุปกรณ์การอัดชิ้นงานที่ภายในบรรจุวัตถุคิบและทดสอบวัตถุคิบไปเข้าเครื่องอัดไฮโดรลิกส์	87
4.18 การนำวัตถุคิบและทดสอบวัตถุคิบที่อัดขึ้นรูปแล้วนำเข้าเตาเผาที่อุณหภูมิ $1,000^{\circ}\text{C}$ เป็นเวลา 4 ชั่วโมง	87
4.19 ตัวอย่างชิ้นงานซิลิโคนคาร์บอนด้วยเครื่องรีดขึ้นรูปที่ได้จากการผลิต (a) SiC 25, 68, 100 μm (b) SiC 13.5 μm	87
4.20 การหลอมแท่งอะลูมิเนียมเกรด A356 ในเตาหลอมโลหะไฟฟ้านิรดลวดความร้อนทาน	90
4.21 การใช้ไฟเผาอุ่นชุดระบบการหล่อเหลวเพื่อเพิ่มความดันสูง	90
4.22 การปิดล็อกฝาเครื่องหล่อเหลวเพื่อเพิ่มความดันสูงและตรวจสอบความถูกต้องของน้ำโลหะ เพื่อป้องกันอันตรายจากการหล่อเหลวเพื่อเพิ่มความดันสูง	91
4.23 การร้อยลวดโลหะเหล็กขนาดใหญ่เข้ารูปสลักเกลียวที่ฐานของชิ้นส่วนที่รองรับน้ำโลหะเพื่อเป็นหูหิ้ว	92
4.24 การนำชิ้นส่วนท่อทางวิ่งน้ำโลหะใส่เข้าในแก้วโลหะแทนเลส	92
4.25 ทำการกดชิ้นงานด้วยเครื่องวัดความแข็งแบบรี็คเวลด์	94
4.26 การนำชิ้นงานมาทำการหล่อเรซินกับท่อประปาพีวีซี	95
4.27 การนำชิ้นงานมาประกอบกับอุปกรณ์ทดสอบหาค่าความต้านทานต่อการสึกหรอและจับยึดกับเครื่องขัดแบบงานคู่ พร้อมกับการถ่วงด้วยโหลดน้ำหนัก 1.5 kg	95
4.28 เปิดเครื่องขัดแบบงานคู่ทำการขัดกับกระดาษทรายเบอร์ 150 C.C. ใช้โหลดน้ำหนัก 1.5 kg ความเร็วในการหมุนขัด 252 rpm พร้อมน้ำเพื่อการหล่อคืน	95

รายการรูป (ต่อ)

รูปที่	หน้า
5.1 ลักษณะชิ้นงานวัสดุผสมเนื้ออัลูมิเนียม (a) ชิ้นงานที่ได้หลังการทดลองก่อนการกลึงปอกเชรามิกเคลือบออก (b) ชิ้นงานหลังการทดลองหลังจากการกลึงปอกเชรามิกเคลือบออก กรณี SiC 100 μm ความดันที่ใช้ในการแทรกซึม 4.26 MPa	96
5.2 จุดตรวจสอบ 5 จุด ที่ใช้เครื่องวัดอุณหภูมิและหัววัดอุณหภูมิมาทำการวัดอุณหภูมิชุดระบบการหล่อเหลวของความดันสูง	98
5.3 ความสัมพันธ์ระหว่างจุดตรวจสอบ 5 จุด และอุณหภูมิที่วัดค่าชุดระบบการหล่อเหลวของความดันสูง ได้โดยเครื่องวัดอุณหภูมิ กรณีวัสดุผสมเนื้ออัลูมิเนียมขนาดอนุภาคผงซิลิโคนคาร์บไบด์ 100 μm	99
5.4 ลักษณะของชิ้นงานวัสดุผสมเนื้ออัลูมิเนียมที่ความดันจากการหมุนเหลว 4.26 MPa (1,800 rpm) (a) AMC 13.5 μm (b) 25 μm (c) 68 μm (d) 100 μm	103
5.5 ค่าความหนาแน่นรวมเทียบกับชนิดของชิ้นทดสอบชนิดต่างๆ	105
5.6 ค่าร้อยละความพรุนเทียบกับชิ้นงานวัสดุผสมเนื้ออัลูมิเนียมที่ขนาดอนุภาคผงซิลิโคนคาร์บไบด์ 4 ขนาด	105
5.7 ค่าความแข็งของชิ้นงานวัสดุผสมเนื้ออัลูมิเนียมที่ความดันน้ำโลหะอัลูมิเนียม เหลวจากการหมุนเหลว 4.26 MPa (1,800 rpm)	108
5.8 การเปรียบเทียบระหว่างค่าร้อยละของน้ำหนักที่หายไปกับเวลา (นาที) ของการทดสอบความด้านทานต่อการสึกหรอที่ความดันจากการหมุนเหลว 4.26 MPa (1,800 rpm) (a) AMC 13.5, 25, 68, 100 μm (b) AMC 13.5,25,68,100 μm , Al A356 (c) Al เกรด A356	112
5.9 ภาพผิวหน้าของชิ้นงานอะลูมิเนียม เกรด A356 กำลังขยาย 10X ที่ได้จากการถ่ายด้วยกล้องจุลทรรศน์แบบแสง	116
5.10 ภาพผิวหน้าชิ้นงานวัสดุผสมเนื้ออัลูมิเนียม กรณีขนาดอนุภาคผงซิลิโคนคาร์บไบด์ 13.5 μm กำลังขยาย 10X ที่ได้จากการถ่ายด้วยกล้องจุลทรรศน์แบบแสง	116
5.11 ภาพผิวหน้าชิ้นงานวัสดุผสมเนื้ออัลูมิเนียม กรณีขนาดอนุภาคผงซิลิโคนคาร์บไบด์ 25 μm กำลังขยาย 10X ที่ได้จากการถ่ายด้วยกล้องจุลทรรศน์แบบแสง	116

รายการรูป (ต่อ)

รูปที่	หน้า
5.12 ภาพผิวน้ำชื่นงานวัสดุพสมเนื้ออ่อนลูมิเนียม กรณีขนาดอนุภาคผงซิลิโคนคาร์บอนด์ 68 μm กำลังขยาย 10X ที่ได้จากการถ่ายด้วยกล้องจุลทรรศน์แบบแสง	117
5.13 ภาพผิวน้ำชื่นงานวัสดุพสมเนื้ออ่อนลูมิเนียม กรณีขนาดอนุภาคผงซิลิโคนคาร์บอนด์ 100 μm กำลังขยาย 10X ที่ได้จากการถ่ายด้วยกล้องจุลทรรศน์แบบแสง	117
5.14 ภาพโครงสร้างระดับจุลภาคของชื่นงานอะลูมิเนียม เกรด A356 จากการถ่ายด้วยกล้องจุลทรรศน์อิเล็กตรอนแบบส่อง粒化 ที่กำลังขยาย (a) 350X (b) 5000X ตามลำดับ	117
5.15 ภาพโครงสร้างระดับจุลภาคของชื่นงานวัสดุพสมเนื้ออ่อนลูมิเนียม กรณีขนาดอนุภาคผงซิลิโคนคาร์บอนด์ขนาด 13.5 μm จากการถ่ายด้วยกล้องจุลทรรศน์อิเล็กตรอนแบบส่อง粒化 ที่กำลังขยาย (a) 500X และ (b) 5000X ตามลำดับ	118
5.16 ภาพโครงสร้างระดับจุลภาคของชื่นงานวัสดุพสมเนื้ออ่อนลูมิเนียม กรณีขนาดอนุภาคผงซิลิโคนคาร์บอนด์ 25 μm จากการถ่ายด้วยกล้องจุลทรรศน์อิเล็กตรอนแบบส่อง粒化 ที่กำลังขยาย(a) 300X และ (b) 3000X ตามลำดับ	118
5.17 ภาพโครงสร้างระดับจุลภาคของชื่นงานวัสดุพสมเนื้ออ่อนลูมิเนียมกรณีขนาดอนุภาคผงซิลิโคนคาร์บอนด์ 68 μm จากการถ่ายด้วยกล้องจุลทรรศน์อิเล็กตรอนแบบส่อง粒化 ที่กำลังขยาย (a) 200X (b) 3000X ตามลำดับ	119
5.18 ภาพโครงสร้างระดับจุลภาคของชื่นงานวัสดุพสมเนื้ออ่อนลูมิเนียมกรณีขนาดอนุภาคผงซิลิโคนคาร์บอนด์ 100 μm จากการถ่ายด้วยกล้องจุลทรรศน์อิเล็กตรอนแบบส่อง粒化 ที่กำลังขยาย (a) 100X (b) 3000X ตามลำดับ	119
5.19 ร้อยละของระยะทางในการเข้าแทรกซึมของน้ำโลหะอะลูมิเนียมเหลวที่เข้าแทรกซึมในชื่นงานซิลิโคนคาร์บอนด์อัดขึ้นรูปที่มีขนาดซิลิโคนคาร์บอนด์ 100 μm ที่ความเร็วในการหมุนเหวี่ยงขนาดต่างๆ	124
5.20 ร้อยละของระยะทางในการเข้าแทรกซึมของน้ำโลหะอะลูมิเนียมเหลวที่เข้าแทรกซึมในชื่นงานซิลิโคนคาร์บอนด์อัดขึ้นรูป ที่มีขนาดซิลิโคนคาร์บอนด์ 100 μm ที่ความดันของน้ำโลหะอะลูมิเนียมเหลวขนาดต่างๆ	124

รายการรูป (ต่อ)

รายการรูป (ต่อ)

รูปที่	หน้า
5.28 ชิ้นงานวัสดุผสมเนื้ออัลูมิเนียม กรณีขนาดอนุภาคผงซิลิโคนคาร์บอ妮ค์ $100 \mu\text{m}$ ความดันน้ำโลหะอะลูมิเนียมเหลว 4.26 MPa (a) หลังการตัดและขัดให้เรียบ (b) บริเวณเนื้ออัลูมิเนียม (c) บริเวณรอยต่อระหว่างเนื้ออัลูมิเนียมและวัสดุผสมเนื้ออัลูมิเนียม (d) บริเวณวัสดุผสมเนื้ออัลูมิเนียม	131
ก1 แบบงานชุดระบบการหล่อเทวีรย์ความดันสูง แบบประกอบเสร็จ	147
ก2 แบบงานชิ้นส่วนที่รองรับน้ำโลหะของชุดระบบการหล่อเทวีรย์ความดันสูง	148
ก3 แบบงานชิ้นส่วนท่อทางวิ่งน้ำโลหะของชุดระบบการหล่อเทวีรย์ความดันสูง	149
ก4 แบบงานชิ้นส่วนแม่พิมพ์ของชุดระบบการหล่อเทวีรย์ความดันสูง	150
ข1 ชุดอุปกรณ์การอัดขึ้นรูปชิ้นงานซิลิโคนคาร์บอ妮ค์อัดขึ้นรูป แบบประกอบเสร็จ	152
ข2 ฐานอุปกรณ์การอัดขึ้นรูปชิ้นงานซิลิโคนคาร์บอ妮ค์อัดขึ้นรูป	153
ข3 เป้าอัดชิ้นงานซิลิโคนคาร์บอ妮ค์อัดขึ้นรูป	154
ข4 ตัวอัดชิ้นงานซิลิโคนคาร์บอ妮ค์อัดขึ้นรูป	155
ข5 ฐานปลดชิ้นงานซิลิโคนคาร์บอ妮ค์อัดขึ้นรูป	156
ค1 รายประคงน้ำโลหะ	158
ง1 ชุดอุปกรณ์เผาอุ่นแบบประกอบเสร็จ	160
ง2 ชั้นวางหัวเผา	161
ง3 ขาตั้ง	162

ສັນລັກໝາຍ່ອແລະຕ້ວຍ່ອ

A_o	ພື້ນທີ່ພິວນອກ
A	ພື້ນທີ່
Al	ໂລໜ້າໜີດອະລູມິນີ້ຍມ (aluminum)
AMC	ວັສດຸຜສມເນື້ອອະລູມິນີ້ຍມ (aluminum matrix composite)
A_g	ພື້ນທີ່ຮັບແຮງຄດຂອງປະເກີນ (Gasket)
A_s	ພື້ນທີ່ຫຼັກເດັດຂອງສລັກເກລີຍວສ່ວນທີ່ໄມ້ມີເກລີຍວ
A_t	ພື້ນທີ່ຮັບຄວາມເຄີນ (Stress area) ຂອງສລັກເກລີຍວ
Bulk Density	ຄວາມໜາແນ່ນຮ່ວມຂອງວັສດຸຜສມເນື້ອອະລູມິນີ້ຍມ
C	ຄໍາຮົມປາຍສຸດຂອງຫື່ນໍສ່ວນທ່ອທາງວິ່ງນໍ້າໂລໜ້າ
c	ຄໍາຄົງທີ່ (constant) ໃນກຽນ reusuable joint
CMC	ວັສດຸຜສມເນື້ອເຊຣາມິກ (ceramic matrix composite)
CN	ໂຄອອົບດິເນັ້ນ (Coordination)
C_p	ຄໍາຄວາມຈຸຄວາມຮ້ອນຂອງໂລໜ້າ
CTE	ຄໍາສົມປະສິທໍກາຮ່າຍຕ້ວນເອງຈາກຄວາມຮ້ອນ (Coefficient Thermal Expansion)
d	ເສັ້ນຝາກສູນຢັກລາງກາຍນອກຂອງສລັກເກລີຍວ
D	ຄວາມຍາວເສັ້ນຝາກສູນຢັກລາງຫື່ນິຈານ
D_{gi}	ເສັ້ນຝາກສູນຢັກລາງກາຍໃນຂອງພື້ນທີ່ຮັບແຮງຄດຂອງປະເກີນ (Gasket)
D_{go}	ເສັ້ນຝາກສູນຢັກລາງກາຍນອກຂອງພື້ນທີ່ຮັບແຮງຄດຂອງປະເກີນ (Gasket)
D_{i1}	ເສັ້ນຝາກສູນຢັກລາງກາຍໃນຂອງຫື່ນໍສ່ວນທ່ອທາງວິ່ງນໍ້າໂລໜ້າ
D_{i2}	ເສັ້ນຝາກສູນຢັກລາງກາຍໃນປາຍສຸດຂອງຫື່ນໍສ່ວນທ່ອທາງວິ່ງນໍ້າໂລໜ້າ
D_o	ເສັ້ນຝາກສູນຢັກລາງກາຍນອກຂອງຫື່ນໍສ່ວນທ່ອທາງວິ່ງນໍ້າໂລໜ້າ
D_p	ຄໍາເນີລີບນາດເສັ້ນຝາກສູນຢັກລາງອນຸກາກເຊຣາມິກ
E	ຄໍາໂມຄູລໍສັບຍິດຫູ່ນ (Elastic modulus) ຂອງສລັກເກລີຍວເຫັດກ
EDX	ເກຣືອງວິເຄຣະຫ້າປຣິມານຫາຕູອງກໍປະກອບໃນສາງຕ້ວອຍ່າງ (Energy Dispersive X-ray Analyzer)
E_g	ຄໍາມອດຸລໍສຂອງສກາພື້ບຍິດຫູ່ນ (Young's modulus) ຂອງປະເກີນ (Gasket)
F_b	ແຮງດຶງທີ່ເກີດຫື່ນໃນສລັກເກລີຍວ

ສัญลักษณ์คำย่อและตัวย่อ (ต่อ)

$F_{\text{Centrifugal}}$	แรงดันนำ้โลหะฟุ่งออกในแนวหนีศูนย์กลาง
FRP	วัสดุพสมที่มีไข้แก้วฝังอยู่ในเนื้อพลาสติก (Fiberglass Reinforced Plastic)
F_j	แรงกดที่เกิดในหน้าแปลน (joint plates)
F_i	แรงดึงที่เกิดขึ้นภายในสลักเกลียวซึ่งมีผลมาจากการขันน็อต (nut) จนแน่น
h	ความสูงชิ้นงาน
\bar{h}	ค่าสมประสิทธิ์การถ่ายเทความร้อนด้วยการพา
HB	หน่วยวัดความแข็งแบบบรีนอล (Brinell hardness)
H_M	ค่าความร้อนแผงของการหลอมเหลวของโลหะ
I	ค่าโมเมนต์ความเฉื่อยหน้าแปลนของชิ้นส่วนท่อทางวิ่งนำ้โลหะซึ่งต่อประกนกับชิ้นส่วนที่รองรับนำ้โลหะ
I_1	ค่าโมเมนต์ความเฉื่อยของหั้นชิ้นส่วนท่อทางวิ่งนำ้โลหะ
I_2	ค่าโมเมนต์ความเฉื่อยหน้าแปลนของชิ้นส่วนท่อทางวิ่งนำ้โลหะที่ต่อประกนกับชิ้นส่วนที่รองรับนำ้โลหะ
k	ค่าอุปสรรคใช้น้ำหน้าหน่วย ประเภท กิโล ($\text{kilo}, 10^3$)
k_b	ค่าความแข็งแกร่ง (Stiffness) ของสลักเกลียว
k_g	ค่าความแข็งแกร่ง (Stiffness) ของข้อต่อกรณีมีปะเก็น (Gasket) รองรับ
L	ค่าระยะความยาวชิ้นส่วนท่อทางวิ่งนำ้โลหะรวมกับแม่พิมพ์ซึ่งตั้งจากกันนำ้หนัก
l_c	ค่าระยะจากจุดหมุนถึงจุดเชนทรอยด์
L_r	ค่าระยะจากจุดหมุนถึงปลายสุดชิ้นส่วนท่อทางวิ่งนำ้โลหะ
L_2	ระดับของนำ้โลหะในชิ้นส่วนท่อทางวิ่งนำ้โลหะ
LPG	ก๊าซปิโตรเลียมเหลว (liquefied petroleum gas)
L_s	ระยะในการจับเข็ด (clamp) ส่วนที่ไม่เป็นเกลียวของความหนา
L_t	ระยะในการจับเข็ด (clamp) ส่วนที่เป็นเกลียวของความหนา
L_T	ค่าระยะความยาวชิ้นส่วนท่อทางวิ่งนำ้โลหะ
$L_{T/2}$	ค่าระยะความยาวเฉลี่ยชิ้นส่วนท่อทางวิ่งนำ้โลหะ
M	ค่าอุปสรรคใช้น้ำหน้าหน่วย ประเภท เมกะ ($\text{mega}, 10^6$)
M_{Cen}	ค่าโมเมนต์ที่เกิดจากการหมุนเหวี่ยง

ສັນລັກຂໍ້ມູນຄໍາຢ່ອແລະຕ້ວຍ່ອ (ຕ່ອ)

$M_{bending}$	ຄ່າໂນມເມນຕົດ
$m_{lv, T}$	ຄ່າມວລວມຂອງນ້ຳໄລທະແລະຊື່ນສ່ວນທ່ອທາງວິ່ງນ້ຳໄລທະ
$m_{Al, T}$	ຄ່າມວລວມຂອງນ້ຳໄລທະອະລຸມືນີຍມແລະຊື່ນສ່ວນທ່ອທາງວິ່ງນ້ຳໄລທະ
$m_{T, m}$	ຄ່າມວລວມຂອງຊື່ນສ່ວນທ່ອທາງວິ່ງນ້ຳໄລທະແລະຊື່ນສ່ວນແມ່ພິມພໍ
m	ຄໍາອຸປະກອບໃຊ້ນ້າໜ້າໜ່ວຍ ປະເທດ ມິລິ (milli, 10^{-3})
MMC	ວັດຈຸດຜົມເນື້ອໄລທະ (metal matrix composite)
OM	ກລືອງຈຸດທຣສັນແບບແສ (Optical Microscopes)
P	ນ້ຳໜັກຮົມຂອງທັງຊື່ນສ່ວນທ່ອທາງວິ່ງນ້ຳໄລທະແລະຊື່ນສ່ວນແມ່ພິມພໍ
p	ແຮງຕຶງທີ່ເກີດຈາກກາຮ່າມຸນເຫຊງ
Pa	ປາສຄາລ ຄື່ອໜ່ວຍວັດຂອງກວາມດັນ ຜຶ່ງເປັນໜ່ວຍ SI unit
P_c	ຄ່າກວາມດັນຂອງນ້ຳໄລທະທີ່ເກີດຂຶ້ນໃນຊື່ນສ່ວນທ່ອທາງວິ່ງນ້ຳໄລທະ
P_{max}	ຄ່າກວາມດັນສູງສຸດທີ່ເກີດຂຶ້ນໃນຮະບົນ
PMC	ວັດຈຸດຜົມເນື້ອພອລິເມອີ (polymer matrix composite)
PVC	ທ່ອປະປາປີ່ຈີ (Poly vinyl chloride)
P_{th}	ຄ່າກວາມດັນເຮັ່ມຕົ້ນທີ່ໃຊ້ໃນກາຮ່າມຸນເຫຊງ
Q	ອັຕຣາກາຮ່າຍເທກວານຮ້ອນ
r_{i1}	ຄ່າຮັກມືກາຍໃນຂອງຊື່ນສ່ວນທ່ອທາງວິ່ງຂອງນ້ຳໄລທະ
r_{i2}	ຄ່າຮັກມືກາຍໃນປລາຍສຸດຂອງຊື່ນສ່ວນທ່ອທາງວິ່ງນ້ຳໄລທະທີ່ປະກບກັບຊື່ນສ່ວນແມ່ພິມພໍ
RHB	ໜ່ວຍວັດກວາມແຂ້ງແບບຮັກແວດ (Rockwell hardness)
r_o	ຄ່າຮັກມືກາຍນອກຂອງຊື່ນສ່ວນທ່ອທາງວິ່ງນ້ຳໄລທະ
ROM	ກົງຂອງກາຮ່າມຸນ (rule of mixtures)
rpm	ໜ່ວຍວັດກວາມເຮົວອົບຂອງກາຮ່າມຸນເຫຊງປະເທດອົບຕ່ອນາທີ (revolutions per minute)
SAE	ສາມາຄມວິຊາວຽກຮົມຍານຍົດ (Society of Automotive Engineer)
SEM	ກລືອງຈຸດທຣສັນອີເລີກຕອນແບບສ່ອງກາດ (Scanning Electron Microscope)
SF_u	ຄ່າປັ້ງຂໍ້ການປລອດກັບ (Safety factor)

ສັນລັກຂໍ້ມູນຄໍາຢ່ອແລະຕ້ວຍຢ່ອ (ຕ່ອ)

SiC	ເຊຣາມີກົນດິຈິດໂຄນຄາຣີໄບດໍ (Silicon carbide)
S_p	ຄໍາກາຮາງຈຸດຢຶດດ້ວຍກາຮົມ (proof strength) ຂອງສລັກເກລື້ອຍາຕາມ SAE Standard J1199
S_y	ຄໍາກຳລັງຄຣາກ (Yield strength) ຂອງຕາຮາງມາຕຣູານຄວາມແປ້ງແຮງຂອງສລັກເກລື້ອຍາຕາມ SAE Class
t	ຄວາມໜານຂອງປະເກີນ (Gasket, $t = 5$ mm)
T_{∞}	ອຸນຫກົມຂອງໄຫດ
T_M	ອຸນຫກົມຂອງນໍາໄລທະ
T_O	ອຸນຫກົມຂອງເກຣື່ອງມືອ
T_W	ອຸນຫກົມທີ່ພັນງ
t_r	ຮະບະເວລາທີ່ນໍາໄລທະເຄລື່ອນຕ້າງເຂົ້າໃນຫີ່ນໍາສ່ວນແມ່ພິມພົ້ນທີ່ລັງຈາກກາຮານນໍາໄລທະ
t_s	ເວລາໃນກາຮັບແປ້ງຕ້ວງຂອງນໍາໄລທະ
$T_{\text{ຮ່ວມຮັບ}}$	ຄໍາອຸນຫກົມທີ່ຫີ່ນໍາສ່ວນທີ່ຮ່ວມຮັບນໍາໄລທະຂອງຫຼຸດຮະບນກາຮານຫລ່ອເຫຊນກວາມດັນສູງ
$T_{\text{ທ່ອຖາວິງ}}$	ຄໍາອຸນຫກົມທີ່ຫີ່ນໍາສ່ວນທ່ອທາວິງນໍາໄລທະຂອງຫຼຸດຮະບນກາຮານຫລ່ອເຫຊນກວາມດັນສູງ
$T_{\text{ແມ່ພິມພົ້ນ}}$	ຄໍາອຸນຫກົມທີ່ຫີ່ນໍາສ່ວນແມ່ພິມພົ້ນຂອງຫຼຸດຮະບນກາຮານຫລ່ອເຫຊນກວາມດັນສູງ
V	ປັບປຸງການ
V_p	ຄໍາສັດສ່ວນຂອງປັບປຸງການຂອງອຸນຫກົມແລະຫີ່ນໍາເຊຣາມີກົນດິຈິດຂຶ້ນຮູບ (Preform)
$\frac{v^2}{r}$	ຄໍາຄວາມເຮັດເຊີງນຸ່ມ
W	ນໍາຫັກຂອງຫີ່ນໍາສ່ວນບຣຽດແພ່ສໍາເນົມ
W_1	ນໍາຫັກຂອງຕ້າວຍ່າງທີ່ອື່ມຕ້າວໜໍ້າໜີ້ໜໍ້າໃນນໍາ
W_2	ນໍາຫັກຂອງຕ້າວຍ່າງແໜ້ງໜີ້ໜໍ້າໃນອາການ
W_{Dry}	ນໍາຫັກແໜ້ງຂອງຫີ່ນໍາຈຳນວດວັນວັນ
W_w	ນໍາຫັກຂອງເສັ້ນລວດໃນນໍາ
W_{Wet}	ນໍາຫັກທີ່ໜີ້ໃນນໍາຂອງຫີ່ນໍາຈຳນວດວັນວັນ
XRD	ເຄຣື່ອງວິເຄຣະຫຼັກສາປະກອບໃນສາຮຕ້າວຍ່າງດ້ວຍຮັງສີ X (X-Ray Diffraction)
10X	ກຳລັງຂໍາຍຂອງກາຮານຄໍາຢ່ອ
%Infiltrated distance	ຮ້ອຍລະຂອງຮະບະທາງໃນກາຮານເຂົ້າແທກໜີ້

ສัญลักษณ์คำย่อและตัวย่อ (ต่อ)

$\% \text{Porosity}$	ร้อยละความพรุนของชิ้นงาน
$\% \text{weight loss}$	ค่าร้อยละของน้ำหนักที่หายไป
ρ	ความหนาแน่นของน้ำโลหะ
ρ_{Al}	ความหนาแน่นของน้ำโลหะอะลูมิเนียมเหลว
$\rho_{\text{Exp.}}$	ค่าความหนาแน่นทางการทดลองของชิ้นงาน
ρ_M	ความหนาแน่นของน้ำโลหะ
ρ_m	ความหนาแน่นเฉลี่ยของตัวอย่าง
ρ_{Theory}	ค่าความหนาแน่นทางทฤษฎีของชิ้นงาน
ρ_w	ความหนาแน่นของน้ำที่อุณหภูมิขัมระที่ทำการวัด
σ_{bending}	ค่าความเค้นจากการดัดโค้ง
$\sigma_{\text{Centrifugal}}$	ค่าความเค้นในแนวหนีศูนย์กลาง
σ_{nwt}	ค่าความเค้นของสลักเกลียว
$\sigma_{\text{totalweight}}$	ค่าความเค้นจากน้ำหนักรวม
σ_u	ค่าความแข็งแรงดึงสูงสุด (Ultimate tensile strength) ของโลหะที่นำมาใช้สร้างชุดระบบการหล่อเทวีียงความดันสูง
σ_{weight}	ค่าความเค้นที่เกิดจากน้ำหนัก (Weight, W) ที่庇ุ่่งลงตามแรงโน้มถ่วงโลก
$\sigma_{\text{พื้นที่ 1}}$	ความเค้นบริเวณพื้นที่หน้าแปลนชิ้นส่วนท่อทางวิ่งน้ำโลหะซึ่งต่อกับชิ้นส่วนที่รองรับน้ำโลหะ
$\sigma_{\text{พื้นที่ 2}}$	ความเค้นที่บริเวณพื้นที่กึ่งกลางความยาวของชิ้นส่วนท่อทางวิ่งน้ำโลหะ
$\sigma_{\text{พื้นที่ 3}}$	ความเค้นบริเวณพื้นที่หน้าแปลนชิ้นส่วนท่อทางวิ่งน้ำโลหะซึ่งต่อกับชิ้นส่วนแม่พิมพ์
ω	ค่าความเร็วรอบเชิงมุม
Ω	ความเร็วเชิงเส้นในการหมุน
$\alpha, \frac{d\omega}{dt}$	ค่าความเร่งเชิงมุม
λ	ค่าปัจจัยที่ถูกต้องสำหรับสภาพผิวน้ำและความคลาดเคลื่อนของทรงกลม

ສັນລັກຂໍ້ມູນຄໍາຍ່ອແລະຕ້ວຍ່ອ (ຕ່ອ)

γ_{lv}	ຄ່າຄວາມຕຶງຜົວໜ້າຂອງນໍາໄລທະ
θ	ຄ່າມຸນທີ່ອນຸພາດເຊຣານິກທຳມຸນໃນຮະນາບເດືອກນັ້ນ
ΔT	ຄ່າອຸປະກູນນິບອອງໄລທະທີ່ມີຄ່າອຸປະກູນນິສູງກວ່າຈຸດເຄືອດປົກຕິ
μ	ຄໍາອຸປະກູນໃຫ້ໜ້າໜ້າໜ່ວຍ ປະເກດ $\text{ໄມໂຄຣ (micro, } 10^{-6})$

บทที่ 1

บทนำ

1.1 ความสำคัญและที่มาของหัวข้อวิจัย

จากการที่ธุรกิจโรงงานอุตสาหกรรมมีตลาดการแบ่งชั้นที่สูงขึ้น แต่ก็อาจเกิดข้อจำกัดของผลิตภัณฑ์ในการผลิตและการนำไปใช้งาน ทำให้ต้องพัฒนาและผลิตวัสดุที่สามารถใช้งานได้ตามแต่ละสภาพที่ต้องการ วัสดุผสมเนื้อโลหะนั้นมีการใช้งานในปัจจุบันที่กว้างและมีสมบัติที่เหมาะสมมากกว่าเมื่อทำการเปรียบเทียบกับโลหะธรรมด้า เช่น ความแข็งแรงที่สูง มีความต้านทานต่อการกัดกร่อนที่มากกว่า ในปัจจุบันนั้นได้เกิดมีวิธีการผลิตวัสดุผสมเนื้อโลหะขึ้นอย่างมากมาย การที่จะเลือกใช้วิธีการผลิตใดก็ขึ้นอยู่กับความต้องการและความเหมาะสมของงานอุตสาหกรรมที่จะนำวัสดุผสมเนื้อโลหะไปใช้งาน แต่ละวิธีก็มีผลดีและผลเสียแตกต่างกันไป เช่น การกดอัดขึ้นรูปโลหะหลอมเหลว (Squeeze casting) เป็นวิธีการที่มีอัตราการผลิตที่สูงแต่ขึ้นงานวัสดุก็อาจเสียรูปได้ง่าย หรือการแทรกซึมที่เกิดขึ้นเองโดยธรรมชาติ (Spontaneous infiltration) มีข้อจำกัดของสมบัติแต่เป็นวิธีการผลิตที่ง่าย เป็นต้น วิธีการหล่อโลหะแบบเหวี่ยง (Centrifugal casting) ซึ่งเป็นวิธีการใหม่และมีข้อเสียที่น้อยมาก การหล่อโลหะแบบเหวี่ยงเป็นวิธีที่เท่าน้ำโลหะเข้าสู่ชิ้นส่วนที่รองรับน้ำโลหะและใช้แรงหนีศูนย์เหวี่ยงน้ำโลหะเข้าไปในชิ้นส่วนแม่พิมพ์ (ภายใต้บรรยากาศเชวนามิกอัดขึ้นรูปที่ใช้สำหรับเสริมแรง) ที่กำลังหมุน จนกระทั่งน้ำโลหะทำการแทรกซึมในช่องว่างระหว่างอนุภาคผงเชรามิกอัดขึ้นรูปและเกิดการแข็งตัวภายในวัสดุผสมเนื้อโลหะ ในกระบวนการนี้จะเกิดการหล่อโลหะที่อยู่ในชิ้นส่วนที่รองรับน้ำโลหะจะถูกเหวี่ยงให้เข้าสู่ในชิ้นส่วนแม่พิมพ์หล่อโลหะด้วยความดัน โดยความดันนี้จะถูกใช้เพื่อให้น้ำโลหะรักษาสภาพเป็นของเหลวและมีค่าเพียงพอที่ผ่านเข้าไปแทรกซึมกับผงเชรามิกอัดขึ้นรูปที่ภายในชิ้นส่วนแม่พิมพ์หล่อโลหะ เมื่อเร็วๆ นี้ได้เกิดเทคนิควิธีการแบบใหม่ของการหล่อโลหะแบบเหวี่ยงคือใช้แรงหนีศูนย์เหวี่ยงน้ำโลหะเข้าไปในแบบหล่อด้วยความดันสูง (High pressure centrifugal casting) โดยจะเกิดการเหวี่ยงให้เท่าน้ำโลหะเข้าไปในเตมทึ่งที่ทางเดินน้ำโลหะและแม่พิมพ์ เกิดความดันสูงซึ่งจะเพิ่มประสิทธิภาพให้ผงเชรามิกเข้าแทรกซึมเสริมแรง โลหะดีขึ้น แต่ในขั้นตอนเทคนิควิธีนี้เคยเริ่มทดลองใช้กับโลหะดีบุก ซึ่งเป็นโลหะที่มีอุณหภูมิหลอมเหลวไม่สูงและขอบเขตการใช้งานไม่

บทที่ 1

บทนำ

1.1 ความสำคัญและที่มาของหัวข้อวิจัย

จากการที่ธุรกิจโรงงานอุตสาหกรรมมีตลาดการแข่งขันที่สูงขึ้น แต่ก็อาจเกิดข้อจำกัดของผลิตภัณฑ์ในการผลิตและการนำไปใช้งาน ทำให้ต้องพัฒนาและผลิตวัสดุที่สามารถใช้งานได้ตามแต่ละสภาพที่ต้องการ วัสดุผสมเนื้อโลหะนั้นมีการใช้งานในปัจจุบันที่กว้างและมีสมบัติที่เหมาะสมมากกว่าเมื่อทำการเปรียบเทียบกับโลหะธรรมด้า เช่น ความแข็งแรงที่สูง มีความต้านทานต่อการกัดกร่อนที่มากกว่า ในปัจจุบันนี้ได้เกิดมีวิธีการผลิตวัสดุผสมเนื้อโลหะขึ้นอย่างมากมาย การที่จะเลือกใช้วิธีการผลิตใดก็ขึ้นอยู่กับความต้องการและความเหมาะสมของงานอุตสาหกรรมที่จะนำวัสดุผสมเนื้อโลหะไปใช้งาน แต่ละวิธีก็มีผลดีและผลเสียแตกต่างกันไป เช่น การกดอัดขึ้นรูปโลหะหลอมเหลว (Squeeze casting) เป็นวิธีการที่มีอัตราการผลิตที่สูงแต่ขึ้นงานวัสดุก็อาจเสียรูปได้ง่าย หรือการแทรกซึมที่เกิดขึ้นเองโดยธรรมชาติ (Spontaneous infiltration) มีข้อจำกัดของสมบัติแต่เป็นวิธีการผลิตที่ง่าย เป็นต้น วิธีการหล่อโลหะแบบเหวี่ยง (Centrifugal casting) ซึ่งเป็นวิธีการใหม่และมีข้อเสียที่น้อยมาก การหล่อโลหะแบบเหวี่ยงเป็นวิธีที่เท่าน้ำโลหะเข้าสู่ชิ้นส่วนที่รองรับน้ำโลหะและใช้แรงหนีศูนย์เหวี่ยงน้ำโลหะเข้าไปในชิ้นส่วนแม่พิมพ์ (ภายใต้บรรยากาศเชวนามิกอัดขึ้นรูปที่ใช้สำหรับเสริมแรง) ที่กำลังหมุน จนกระทั่งน้ำโลหะทำการแทรกซึมในช่องว่างระหว่างอนุภาคผงเชรามิกอัดขึ้นรูปและเกิดการแข็งตัวภายในวัสดุผสมเนื้อโลหะ ในกระบวนการรอบแกนนั้นน้ำโลหะที่อยู่ในชิ้นส่วนที่รองรับน้ำโลหะจะถูกเหวี่ยงให้เข้าสู่ในชิ้นส่วนแม่พิมพ์หล่อโลหะด้วยความดัน โดยความดันนั้นจะถูกใช้เพื่อให้น้ำโลหะรักษาสภาพเป็นของเหลวและมีค่าเพียงพอที่ผ่านเข้าไปแทรกซึมกับผงเชรามิกอัดขึ้นรูปที่ภายในชิ้นส่วนแม่พิมพ์หล่อโลหะ เมื่อเร็วๆ นี้ได้เกิดเทคนิควิธีการแบบใหม่ของการหล่อโลหะแบบเหวี่ยงคือใช้แรงหนีศูนย์เหวี่ยงน้ำโลหะเข้าไปในแบบหล่อด้วยความดันสูง (High pressure centrifugal casting) โดยจะมีการเหวี่ยงให้เท่าน้ำโลหะเข้าไปในเต็มทั้งที่ทางเดินน้ำโลหะและแม่พิมพ์ เกิดความดันสูงซึ่งจะเพิ่มประสิทธิภาพให้ผงเชรามิกเข้าแทรกซึมเสริมแรง โลหะดีขึ้น แต่ในขั้นตอนเทคนิควิธีนี้เคยเริ่มทดลองใช้กับโลหะดีบุก ซึ่งเป็นโลหะที่มีอุณหภูมิหลอมเหลวไม่สูงและขอบเขตการใช้งานไม่กว้างเท่านั้น โลหะจะถูกนีบมันเป็นวัสดุทางการค้าที่มีการใช้งานที่กว้างขวางและมีอุณหภูมิ

กิจกรรมที่นักเรียนนับเป็นวัสดุทางการค้าที่มีการใช้งานที่กว้างขวางและมีอุปทานมีผลลัพธ์ที่สูงกว่าเดิมมาก การที่จะหล่อเหลี่ยมด้วยความดันสูงเพื่อเพิ่มสมบัติให้ดีขึ้นจึงเป็นเรื่องที่ยากมาก

1.2 วัตถุประสงค์

- 1.2.1 เพื่อพัฒนาระบวนการหล่อโลหะที่จะใช้กับเครื่องหล่อเหลี่ยมด้วยความดันสูง
- 1.2.2 เพื่อผลิตวัสดุผสมเนื้อโลหะ (MMC) และทำการทดสอบวัสดุผสมเนื้อโลหะที่ได้จากการเปลี่ยนค่าตัวแปรต่างๆ เช่น ความดันและขนาดของผงเชรามิก
- 1.2.3 เพื่อศึกษาถึงปัญหาต่างๆ ในการผลิตวัสดุผสมเนื้อโลหะซึ่งเป็นประโยชน์สำหรับการพัฒนาวิธีการผลิตต่อไป

1.3 สมมติฐานการวิจัย

สามารถพัฒนาระบวนการหล่อโลหะที่จะใช้กับเครื่องหล่อเหลี่ยมด้วยความดันสูงและผลิตวัสดุผสมเนื้ออะลูมิเนียมได้

1.4 ขอบเขตการวิจัย

ศึกษาระบวนการหล่อโลหะของเครื่องหล่อเหลี่ยมด้วยความดันสูง เพื่อผลิตวัสดุผสมชนิดวัสดุผสมเนื้ออะลูมิเนียม วิเคราะห์และทดสอบสมบัติของวัสดุผสมเนื้ออะลูมิเนียมที่ผลิตได้

1.5 ประโยชน์ที่คาดว่าจะได้รับ

- 1.5.1 สามารถพัฒนาระบวนการหล่อแบบใหม่เพื่อผลิตวัสดุผสมเนื้อโลหะ ที่สามารถนำไปใช้ในงานอุตสาหกรรมได้
- 1.5.2 ทำให้ทราบถึงผลกระทบของตัวแปร ปัจจัย ในการผลิตวัสดุผสมเนื้อโลหะให้มีคุณภาพดี และเป็นตัวอย่างของการผลิตวัสดุผสมเนื้อโลหะ เพื่อให้เกิดการพัฒนาของอุตสาหกรรมทางศ้านนี้

บทที่ 2

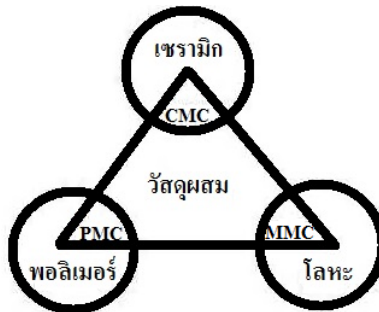
ทฤษฎีและงานวิจัยที่เกี่ยวข้อง

ในการวิจัยครั้งนี้มีแนวคิดที่จะพัฒนาระบวนการหล่อโลหะแบบใหม่ด้วยความดันสูงสำหรับการแทรกซึมโดยการใช้เซรามิกซิลิโคนคาร์ไบด์ (Silicon carbide, SiC) เป็นวัสดุเสริมแรงและโลหะอะลูมิเนียม (Aluminum, Al) เกรด A356 เป็นเนื้อหลัก เพื่อผลิตวัสดุผสมเนื้ออะลูมิเนียม (Aluminum matrix composite, AMC) ที่ได้จากการเปลี่ยนค่าตัวแปรต่างๆ เช่น ความดันของน้ำโลหะอะลูมิเนียมเหลว, ขนาดของผงเซรามิก ซึ่งมีทฤษฎีต่างๆ ที่เกี่ยวข้องดังนี้

2.1 ทฤษฎีและหลักการ

2.1.1 รายละเอียดของวัสดุผสม

วัสดุผสม หรือ Composite materials เป็นของแข็งเชิงซ้อนซึ่งประกอบด้วยวัสดุสองชนิดหรือมากกว่าในระดับมหาภาค วัสดุผสมจะถูกออกแบบขึ้นเพื่อให้มีสมบัติเดียวกัน คุณภาพดีที่สุด การผสมวัสดุสองชนิดหรือมากกว่าสองชนิด อาจจะผสมทางกายภาพ ซึ่งจะตรงกันข้ามกับพันธะทางเคมีที่เกิดขึ้นในวัสดุที่มีเนื้อเดียวกัน วัสดุผสมที่แท้จริงจะต้องมีเนื้อหลัก (matrix) ล้อมรอบด้วยวัสดุเสริมแรง (reinforcing materials) ซึ่งเป็นที่ที่ภาค 2 ภาคกระทำต่อ กันเพื่อทำให้มีสมบัติใหม่ที่แตกต่างกับสมบัติของ สารแต่ละสารส่วนผสมหลักในวัสดุผสมจะไม่สูญเสียสมบัติที่เป็นเอกลักษณ์ไป



รูปที่ 2.1 วัสดุผสมซึ่งผลิตมาจากวัสดุหลักทั้งสามกลุ่ม
ที่มา : เล็ก สีคง (2540)

จากรูปที่ 2.1 แสดงไดอะแกรมที่เป็นนิยามของวัสดุผสมชนิดต่างๆ ที่มาจากวัสดุหลักคือ เซรามิก โลหะ และพอลิเมอร์ แบ่งเป็น CMC (ceramic matrix composite) MMC (metal matrix composite) และ PMC (polymer matrix composite) ซึ่งแต่ละกลุ่มก็แบ่งเป็นชนิดต่างๆ ตามลักษณะชนิดของการเสริมแรง เช่น ลามินาร์ (เป็นชั้น) เส้นใย และอนุภาค ตามที่กล่าวมาแล้วในข้อด้าน

2.1.1.1 โครงสร้างและสมบัติของวัสดุผสม

ตามที่กล่าวแล้วว่าสมบัติของวัสดุผสมจะขึ้นอยู่กับโครงสร้าง สมรรถนะรวมของวัสดุผสมจะขึ้นอยู่กับสมบัติขององค์ประกอบโดยรวม กล่าวคือ สมบัติของเส้นใย สมบัติของเมทริกซ์ สมบัติของสารเติมต่างๆ เป็นต้น ดังนั้นสมบัติโดยรวมของวัสดุผสมจะเป็นไปตามกฎของการผสม (rule of mixtures, ROM) ซึ่งเป็นค่าที่รวมจากสารประกอบแต่ละตัว ซึ่งมีองค์ประกอบหลักคือเส้นใยและเมทริกซ์หรือเรซิโน (ในการพิจัยของวัสดุผสมเส้นใยเสริมแรง) ตัวอย่างเช่น วัสดุผสมชนิด FRP มีเส้นใยแก้วฝังอยู่ในเนื้อพลาสติก เส้นใยแก้วจะมีความแข็งแรงในการดึงสูงมาก แต่จะไม่สามารถใช้โดยลำพัง ได้ในขณะที่เรซิโนพลาสติกจะอ่อนแอกว่าและเหนียวมาก เมื่อฝังเส้นใยแก้วในเนื้อพลาสติก ถ้ามีโลดคล Rodrทำในทิศทางหนานกับเส้นใยที่เรียงตัวเป็นระเบียบในทิศทางเดียว องค์ประกอบทั้งสองอย่าง (เส้นใยและเมทริกซ์) จะต้านต่อโลดพร้อมๆ กัน โดยจะเปลี่ยนรูปร่างจากการแบ่งการรับโลด ซึ่งจะทำให้วัสดุผสมมีความแข็งแรงมากกว่าองค์ประกอบเดี่ยวๆ

2.1.1.2 ชนิดของวัสดุผสม

การเสริมแรงในวัสดุผสมมีลักษณะต่างๆ กัน เช่น เป็นลามินาร์ (เรียงตัวเป็นชั้นๆ) เสริมแรงด้วยอนุภาคเส้นใหญ่ทออย่างต่อเนื่อง เส้นไขขนาดสั้นเป็นเกล็ด และ โครงสร้างรังผึ้ง เป็นต้น การจัดแบ่งชนิดสามารถจัดเป็นกลุ่มใหญ่ๆ โดยจัดแบ่งตามชนิดของเมทริกซ์ กล่าวคือเมทริกซ์ชนิด พอลิเมอร์ โลหะ และเซรามิก วัสดุผสมที่มีโลหะเป็นเนื้อ (MMC) เศษส่วนปริมาตรของวัสดุ เสริมแรงต่อมেทริกซ์และปฏิกิริยาระหว่างพิวหน้า (ระหว่างวัสดุเสริมแรงและเมทริกซ์) จะแสดงถึง สมบัติที่สำคัญ วัสดุผสมชนิดนี้มีเมทริกซ์เป็นโลหะและเสริมแรงด้วยเส้นใหญ่ต่อเนื่องหรือเส้นยาวไม่ ต่อเนื่องในรูปของอนุภาค วิธีสังเคราะห์วัสดุผสมที่มีโลหะเป็นเนื้อจะใช้วิธีการมาตรฐานที่ใช้กับ โลหะ เช่น การฉีดอัด การตี การหล่อร้อน การขึ้นรูปแบบซุปเปอร์พลาสติก โลหะวิทยา โลหะพง การปล่อยของเหลวหลอม ไอลซิม และการรีด วิธีการสมัยใหม่คือ กระบวนการ Mix alloy ซึ่งจะใช้ พวยของโลหะเหลว 2 ชนิดนิดผสมกันในห้องปิด ลดลงของการผสมกันของโลหะทำให้โลหะแข็งตัว อย่างรวดเร็วและได้โครงสร้างระดับจุลภาคตามต้องการ วิธีการนี้สามารถผลิตอนุภาคโนโนร์ดขนาด นาโนสเกล (50 nm-Br) ใช้สำหรับในเมทริกซ์ทองแดง ขนาดของอนุภาคที่ขนาดใหญ่จะได้จากการ ควบคุมสภาพการผสม ในกรณีที่องเหลวและบรอนซ์จะแข็งแรงขึ้นด้วยการเสริมอนุภาคโนโนร์ด (Br^-)

การผสมวิสเคอร์ในวัสดุผสมที่มีโลหะเป็นเนื้อหลัก จะทำให้ได้วัสดุผสมที่มีความ แข็งแรงมาก เส้นใย SiC , Al_2O_3 และ Si_3N_4 จะเสริมแรงของเนื้อโลหะต่างๆ เช่น Al , Mg , Ti และ Cu วิธีการ โลหะวิทยา โลหะพงหรือวิธีการปล่อยให้ของเหลวไอลซิม (liquid-melt infiltration methods) จะใช้สำหรับสังเคราะห์ผงโลหะละเอيدและวิสเคอร์ด้วยการผสม และทำให้แข็งตัวเพื่อ ผลิตองค์ประกอบที่มีรูปร่างใกล้เคียงกัน (เด็ก สีคง, 2540)

2.1.1.3 ตัวอย่างประโยชน์และการนำไปใช้งานของวัสดุผสมเนื้อโลหะ

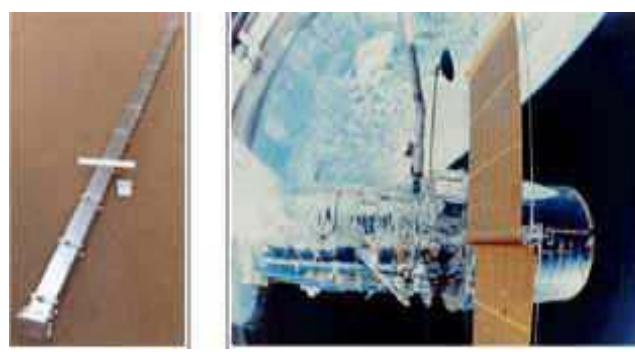
(1) โลหะผสมโนบอรอนและอะลูมิเนียม (B/Al) ซึ่งใช้เป็นชิ้นส่วนโครงข้อหมุนและ โครงข้อยึดในส่วนกึ่งกลางลำตัวของเครื่องบินและส่วนเชื่อมระหว่างข้อเหวี่ยงเครื่องจักรกับก้าน ของอุปกรณ์การลงจอดของyan กะสวายอากาศ และหลาຍฯ ส่วนของห่อโนบอรอนและอะลูมิเนียมจะ ประกอบไปด้วยปโลกวงแหวน ไทเทเนียมที่บริเวณปลายสุดซึ่งเป็นการผลิตสำหรับแต่ละกระสวาย อวากาศ ดังแสดงในรูปที่ 2.2 ในการใช้งานของห่อโนบอรอนและอะลูมิเนียมภายในตัวที่ช่วยลด ปริมาณ 45% ของน้ำหนักซึ่งน้อยกว่าพื้นฐานการออกแบบด้วยโลหะอะลูมิเนียม



รูปที่ 2.2 โครงสร้างกึ่งกลางลำตัวของกระสวยอากาศซึ่งแสดงให้เห็นถึงห่อโลหะผสม โนรอน และอะลูมิเนียม

ที่มา : Rawal (2009)

(2) โลหะผสมแกร์ ไฟต์และอะลูมิเนียม (Gr/Al) ซึ่งเป็นเนื้อหลักของแผ่นขยายสัญญาณสำหรับกล้องโทรทรรศน์ที่ถูกสร้างขึ้นเพื่อที่จะใช้ในอวกาศ (Hubble Space Telescope) ดังรูปที่ 2.3 ซึ่งทำขึ้นด้วยการกระจายตัวเชื่อมพนักแ朋โลหะของเส้นไยแกร์ ไฟต์ ชนิด P100 ในอะลูมิเนียม เกรด 6061 ได้ออกแบบให้มีความหนึ่งวะและมีค่าสัมประสิทธิ์การขยายตัวเนื่องจากความร้อน (Coefficient thermal expansion, CTE) ที่ต่ำ เพื่อรักษาตำแหน่งของแผ่นขยายสัญญาณระหว่างการเคลื่อนที่ของกระสวยอากาศออกจากนั้น โลหะผสมนี้ยังมีสมบัตินำไฟฟ้าได้อย่างดีเยี่ยมทำให้สามารถส่งสัญญาณไฟฟาระหว่างกระสวยอากาศและจานแผ่นขยายสัญญาณได้ มีราคาถูก



(a)

(b)

รูปที่ 2.3 ตัวอย่างการใช้ประโยชน์วัสดุผสมเนื้อโลหะ (a) แผ่นโลหะของเส้นไยแกร์ ไฟต์ ชนิด P100 ในอะลูมิเนียม เกรด 6061 (b) แผ่นขยายสัญญาณกระสวยอากาศ

ที่มา : Rawal (2009)

(3) โลหะผสมแกรไฟต์และทองแดง (Gr/Cu) ด้วยมีค่าความร้อนที่สูงได้มีการพัฒนาให้มีโครงสร้างนำความร้อนที่สามารถใช้งานได้ในอุณหภูมิสูงๆ ได้ เพื่อใช้เป็นตัวระบายความร้อนระหว่างสองแผ่นวงจริวทัยที่เป็นแพลงพิมพ์ เพื่อจัดการความร้อนและป้องกันการโก่งอ และสั่นสะเทือนของแพลงวงจร และวัสดุผสมซิลิโคนคาร์ไบด์และอะลูมิเนียม (SiC/Al) และวัสดุผสมแกรไฟต์และอะลูมิเนียม (Gr/Al) จะใช้ในการคมนาคมสื่อสารของดาวเทียมในการนำไฟฟ้า และยังเป็นส่วนประกอบของอุปกรณ์ควบคุมระยะไกลด้วยคลื่นวิทยุ (Remote control) ซึ่งส่วนประกอบของดาวมันนี้จะมีน้ำหนักเบาลงได้กว่าน้ำหนักเดิมถึง 80%

(4) โลหะผสมไทเทเนียมและซิลิโคนคาร์ไบด์ (Ti/SiC) เป็นวัสดุที่ได้ถูกพัฒนามา รองรับอุตสาหกรรมการบินนานาชาติ เหล็กเครื่องมือและอุตสาหกรรมเหล็กแแตนเลส เนื่องจากมีสมบัติที่สามารถทำงานได้ที่อุณหภูมิสูงๆ มีส่วนประกอบในการต่อต้านการสึกกร่อน (Rawal, 2009)

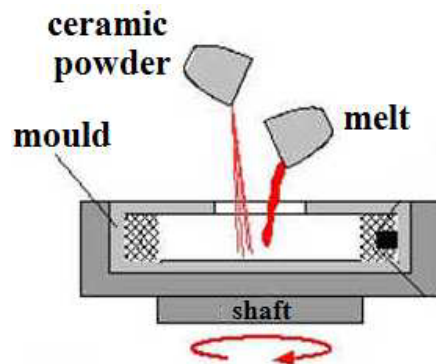
2.2 วิธีหลักๆ ในการผลิตวัสดุผสมเนื้อโลหะ

ในส่วนนี้จะเป็นการกล่าวถึงวิธีหลักๆ ในการผลิตวัสดุผสมเนื้อโลหะ จากที่กล่าวมาวัสดุผสมเนื้อโลหะมีวิธีอื่นๆ อีกมากที่สามารถผลิตขึ้นมาได้ แต่ละวิธีก็มีข้อดีข้อเสีย ความยากง่ายต่างกัน วิธีอื่นๆ ที่ใช้ในการผลิตวัสดุผสมเนื้อโลหะมีรายละเอียดดังต่อไปนี้

2.2.1 การหล่อโลหะแบบเหวี่ยง (Centrifugal casting)

หลักการของวิธีการหล่อแบบนี้ คือเทน้ำโลหะเหลวเข้าสู่แม่พิมพ์จากนั้นใช้แรงโน้มถ่วงเหวี่ยงโลหะเข้าไปในแบบหล่อที่กำลังหมุนอยู่ซึ่งอาจจะหมุนทั้งในแนวแกนนอกและแกนตั้ง จนกระทั่งน้ำโลหะมีการแข็งตัวหมด ดังแสดงในรูปที่ 2.4 ความหนาของชิ้นงานที่หล่อได้ขึ้นอยู่กับการเทโลหะเหลวใส่ภาชนะแบบหล่อรอบๆ ไว้ด้วยวัสดุทนไฟและแต่งให้เหมาะสมแก่การใช้งานได้นานและให้ชิ้นงานที่หล่อได้แยกตัวหลุดออกจากง่ายผิวภายในของห้องท่อเหล็กที่หล่อได้ปกติก่อนข้างหายาก แต่ไม่ใช่ข้อเสีย เพราะหลังจากหล่อแล้วสามารถเคลือบแต่งผิวภายในห้องท่อเหล็กได้ ข้อดีคือไม่จำเป็นต้องใช้แกนกลาง (Core) ของกระบวนการ ด้วยความหนาของผนังนั้นจะถูกควบคุมง่ายๆ โดยการควบคุมน้ำหนักของโลหะที่เท จากแนวความคิดนี้เทคนิคหล่อโลหะแบบเหวี่ยงสามารถดัดแปลงในการแทรกซึ่งพรีฟอร์ม (Preforms) เพื่อสร้างการเสริมแรงโลหะผสม การเสริมแรงวัสดุเพื่อผลิตในวัสดุผสมเนื้อโลหะนั้นจะเป็นการกระจายตัวแบบเหมือนๆ กัน ความเร็วในการหมุนยัง

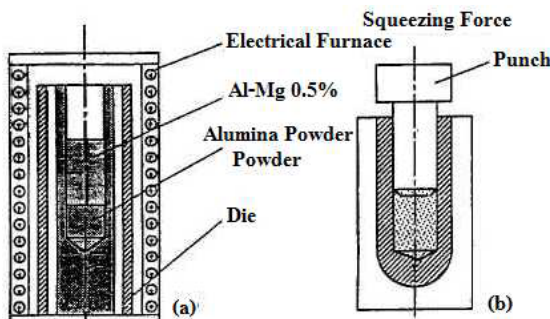
มากสามารถก่อให้เกิดแรงเหวี่ยงหนึ่งสูนย์ที่มีค่าเพียงพอให้น้ำโลหะซึมผ่านทะลุและเกิดแรงไห้น้ำโลหะยึดติดแน่นในเซรามิกอัดขึ้นรูปได้ (เสน่ห์ ชัยชาดาลักษณ์, 2538)



รูปที่ 2.4 การหล่อโลหะแบบเหวี่ยง
ที่มา : Schriefer (2009)

2.2.2 การกดอัดขึ้นรูปโลหะหลอมเหลว (Squeeze casting)

การกดอัดขึ้นรูปโลหะหลอมเหลวจะใช้แรงบีบอัดกับน้ำโลหะ ซึ่งเหมือนกันกับการใช้เครื่องดันด้วยความร้อน โลหะผสมจะเกิดรูปร่างโดยการแทรกซึมของน้ำโลหะกับผงเซรามิก โดยน้ำโลหะจะไหลดผ่านรูซ่องว่างระหว่างอนุภาคของเซรามิกภายในได้แรงอัดดังกล่าว ซึ่งในระบบการหล่อแบบนี้จะมีเดาหลอมไฟฟ้าเพื่อคืออุ่นแม่พิมพ์ให้ความร้อนแก่โลหะ ส่วนผงเซรามิกนี้จะอยู่ที่ก้นแม่พิมพ์ จากนั้นจะใช้แรงอัดเพื่อบีบให้น้ำโลหะไหลดลงไปผสมกับผงโลหะ ปล่อยให้เย็นตัว อนุภาคเซรามิกจะเข้าไปผสมกับน้ำโลหะจนกลายเป็นโลหะผสม ดังแสดงในรูปที่ 2.5 การใช้ความดันในวิธีการกดอัดขึ้นรูปโลหะหลอมเหลวนั้นโดยทั่วไปมีค่าสูง ซึ่งค่านั้นจะอยู่ในช่วง 50 - 100 MPa ค่าความดันที่สูงสามารถช่วยเพิ่มความเร็วของการหล่อ ควบคุมปฏิกิริยาเคมีที่มีมากได้ โครงสร้างของเนื้อหลักปราศจากการแตกหักและชิ้นผลิตภัณฑ์มีความลึกที่ดีโดยตลอด ทั้งกระบวนการหดตัวรวมกันเป็นของแข็ง มีอัตราการผลิตที่สูง นับว่าเป็นตัวเลือกที่ดีในการผลิตชิ้นส่วนประกอบรถ แต่ข้อเสียก็คือ ค่าเงินลงทุนและความต้องการในการติดตั้งที่สูง รูปร่างความเป็นเรขาคณิตมีข้อจำกัด มีโอกาสที่รูปร่างของพรีฟอร์มจะผิดรูปร่าง โลหะวัสดุอุปกรณ์ติดตั้งมีค่าจุดหลอมเหลวที่ต่ำ (Wannasin, 2004)



รูปที่ 2.5 การหล่อวัสดุผสมเนื้อโลหะแบบการกดอัดขึ้นรูปโลหะหลอมเหลว (a) หลักการหล่อแบบการกดอัดขึ้นรูปโลหะหลอมเหลว (b) ส่วนประกอบของแม่แม่พิมพ์ที่มา : Taha and El-Mahallawy (1998)

2.2.3 การแทรกซึมที่เกิดขึ้นเองโดยธรรมชาติ (Spontaneous infiltration)

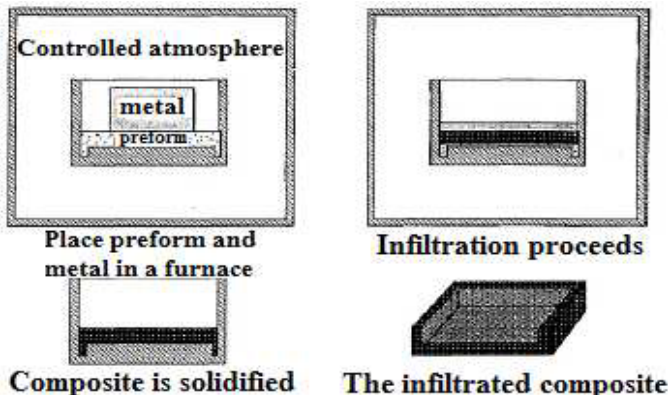
การแทรกซึมที่เกิดขึ้นเองโดยธรรมชาติเป็นอีกหนึ่งกระบวนการแทรกซึมของน้ำโลหะ ซึ่งไม่จำเป็นต้องความดันภายนอก กระบวนการนี้จะขึ้นอยู่กับ น้ำโลหะ พريفอร์ม อุณหภูมิก๊าซบรรยายกาศ เพื่อเป็นตัวควบคุมให้ออยู่ในสภาพภาวะปีกชื้น ชิ้นงานอัดขึ้นรูปและเนื้อหลักจะอยู่ภายในเตาหลอมที่ถูกควบคุมบรรยายกาศ วิธีการคือนำน้ำโลหะจะเคลื่อนตัวไปหลอมเข้าสู่ชิ้นงานอัดขึ้นรูปแล้วจึงเกิดการแข็งตัวเป็นของแข็ง บางกรณีได้มีการใช้สุญญากาศและความดันเพียงเล็กน้อย เพื่อช่วยสนับสนุนการแทรกซึม ดังแสดงในรูปที่ 2.6 ที่ผ่านมากกว่า 20 ปี ที่ได้มีการพัฒนาระบบการแทรกซึมที่เกิดขึ้นเองโดยธรรมชาติตามตลาด เช่น การเพิ่มลิเทียมเข้าไปในอะลูมิเนียมสำหรับการเสริมแรงออกไซด์พريفอร์ม (Oxide preforms) หรือกระบวนการ Lanxide R° Primex ซึ่งเป็นการขับเคลื่อนโดยปฏิกิริยาระหว่างแมgnีเซียมและอะลูมิเนียมในเนื้อหลักและบรรยายกาศ ในโครงสร้างของเด็กๆ ของชิ้นงานอัดขึ้นรูป เทคนิคการแทรกซึมที่เกิดขึ้นเองโดยธรรมชาติ มีข้อดีคือเป็นวิธีการผลิตที่ง่ายและมีค่าใช้จ่ายในการลงทุนค่อนข้างต่ำ แต่ก็ขึ้นอยู่กับกระบวนการผลิตและวัสดุ ส่วนข้อเสียก็จะมี

(1) การควบคุมปฏิกิริยาเคมี เพื่อให้มีความปีกชื้นที่ดี แต่บางครั้งการควบคุมจำกัด ทางเคมีจะเป็นตัวขัดขวางการให้สมบัติที่ดีที่สุดของโลหะผสม หรือจำกัดผลของสมบัติโลหะผสมที่จะสมบูรณ์ คือในระหว่างแทรกซึมการเสริมแรงอาจจะมีค่าต่ำสุดโดยผลกระทบทางเคมี

(2) อัตราการแทรกซึม หลายๆ ครั้งจะมีค่าต่ำ

(3) ในบางครั้งที่ทำการผลิต ลักษณะของรูพรุนจะยังคงเหลืออยู่ในของผสม เพราะ

ว่าแต่ละอนุภาคเซรามิกอาจจะยังมีความชื้นไม่เพียงพอ ซึ่งทำให้เกิดการแทรกซึมแค่บางจุด
(Wannasin, 2004)



รูปที่ 2.6 การหล่อวัสดุผสมเนื้อโลหะแบบการแทรกซึมที่เกิดขึ้นเองโดยธรรมชาติ
ที่มา : Wannasin (2004)

2.2.4 การแทรกซึมโดยความดันกําช (Gas pressure infiltration)

หลักการวิธีของการหล่อแบบนี้คือ ความดันจะเป็นตัวขับแรงให้โลหะไหลเข้าสู่พรีฟอร์มของช่วงเฟสการเสริมแรง ซึ่งอาจจะใช้กําชอาร์กอน (Ar) ที่เป็นกําชเฉื่อยปกคลุม ส่วนชิ้นงานอัดขึ้นรูปจะอยู่ในแม่พิมพ์ ภายในระบบมีท่อความดันและถูกให้ความร้อน บริเวณที่ตั้งเบ้าหลอม โลหะจะอยู่สูงกว่าแม่พิมพ์ เบ้าหลอม โลหะมีอุปกรณ์ เปิด-ปิดรูเพื่ออยู่ปล่อยน้ำโลหะให้ไหลลงสู่แม่พิมพ์คือ เมื่อเพิ่มความดันกําชผ่านท่อความดัน น้ำโลหะจะถูกผลักดันเข้าสู่พรีฟอร์ม น้ำโลหะที่ถูกผลักดันจะถูกทำให้ติดกับพื้นเบ้าหลอม โลหะด้วยความเย็น ซึ่งเนื้อหลักในของผสมจะเป็นตัวชักนำให้เกิดเป็นของแข็งและช่วยลดเหตุการณ์ของแข็งหดตัว ดังแสดงในรูปที่ 2.7

ความดันที่ใช้อยู่ภายในได้ช่วง 1-50 MPa ผนังของเครื่องมือ จะถูกความดันกดดันเพื่อให้เป็นความร้อนสมดุล ในช่วง 1-10 MPa ซึ่งเมื่อเปรียบเทียบกับวิธีการกดอัดขึ้นรูปโลหะหลอมเหลวแล้ว วิธีการแทรกซึมโดยความดันกําจะมีข้อดีมากกว่า คือ

(1) อุณหภูมิหลอมเหลวของเนื้อหลักมีค่าสูงและสามารถผลิตให้มีโครงสร้างที่มีความซับซ้อนและความแม่นยำทางเรขาคณิตมากกว่า วัสดุที่ใช้ทำแม่พิมพ์มีความยืดหยุ่น เพราะแม่พิมพ์จะถูกกล้อมรอบโดยความดันแก๊สที่เพิ่มขึ้น ทำให้มันอยู่ได้ในสภาพความเด่นของการกดดัน ซึ่งในการหล่อแบบวิธีการกดอัดขึ้นรูปโลหะหลอมเหลวแม่พิมพ์ไม่ยืดหยุ่นในการใช้งาน

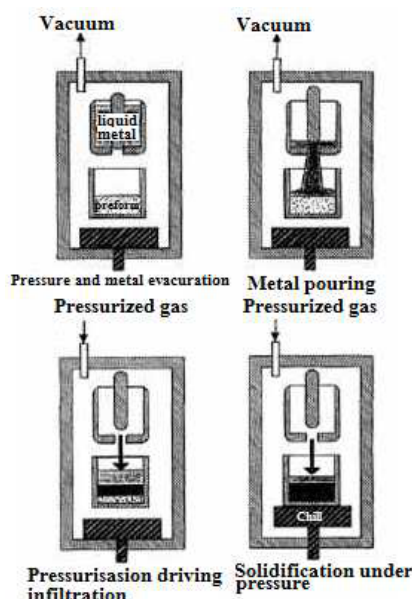
(2) การเคลื่อนย้ายนำโลหะก่อนเข้าสู่พรีฟอร์มจะไม่เกิดการแทรกซึมและในเวลาเดียวกัน เนื้อหลักที่ยังไม่ถูกลายเป็นของแข็ง ดังนั้นทั้งชิ้นงานอัดขึ้นรูปและแม่พิมพ์สามารถให้อุณหภูมิมี ความร้อนที่มากกว่าช่วงระยะที่เนื้อหลักจะถูกลายเป็นของแข็งได้ ส่วนความดันต่ำที่ต้องใช้นั้นเพรา ความสามารถซึมผ่านได้ เป็นตัวช่วยไม่ให้น้ำโลหะเกิดการแข็งตัวก่อนเวลาอันควรคือเพื่อไม่ให้น้ำ โลหะ ไหลลงไปแข็งตัวอุดทางลงเข้าชิ้นงานอัดขึ้นรูป ดังนั้นชิ้นงานอัดขึ้นรูปจะไม่เสียรูปทรง ระหว่างแทรกซึม แต่วิธีการแทรกซึมโดยความดันก๊าซก็มีข้อเสียคือ

(2.1) อัตราการผลิตต่ำกว่าวิธีการกดอัดขึ้นรูปโลหะหลอมเหลว

(2.2) จะมีค่าใช้จ่ายเพิ่มมากขึ้น เพราะมีการใช้ก๊าซเหลือข้ามรับซ่วยเพิ่มความดัน ก๊าซปกคุณ

(2.3) ต้องมีสำนึก ความระมัดระวัง เป็นอย่างสูงในเรื่องการออกแบบและการใช้งาน เครื่องมือ เพราะต้องใช้กับความดันที่มากกว่า 1 MPa

(2.4) ในเรื่องการปราศจากเป็นรูปร่าง รวมตัวกันเป็นของแข็ง จะมีอัตราที่ต่ำกว่า วิธีการกดอัดขึ้นรูปโลหะหลอมเหลว (Wannasin, 2004)



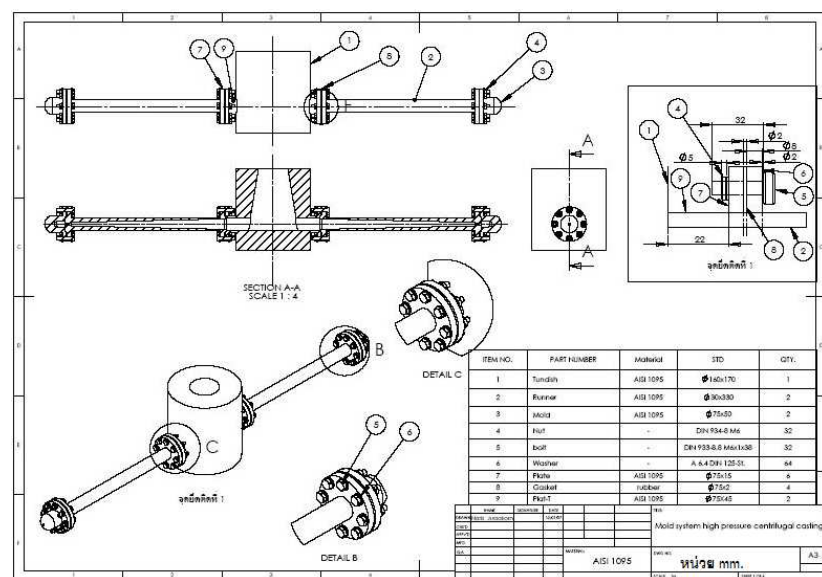
รูปที่ 2.7 การหล่อวัสดุผสมเนื้อโลหะแบบการแทรกซึมโดยความดันก๊าซ
ที่มา : Wannasin (2004)

2.3 ทฤษฎีและเนื้อหาที่เกี่ยวกับชุดระบบการหล่อเหลวเพื่อเพิ่มความดันสูงของเครื่องหล่อโลหะแบบเหลว

ในส่วนนี้จะเป็นการกล่าวถึงทฤษฎีและเนื้อหาที่เกี่ยวกับชุดระบบการหล่อเหลวเพื่อเพิ่มความดันสูงของเครื่องหล่อโลหะแบบเหลว ด้วยความดันสูง เช่น การออกแบบหรือเจียนแบบชุดระบบการหล่อเหลวเพื่อเพิ่มความดันสูงด้วยโปรแกรมคอมพิวเตอร์เพื่อกำหนดรูปร่าง ลักษณะ รูปแบบ ให้มีความเป็นไปได้ในการจัดสร้างและการทดลองวิจัยโดยต้องคำนึงถึงทฤษฎีเรื่องการออกแบบเครื่องจักรและค่าที่มีผลต่อการทดลองวิจัยเป็นหลัก ซึ่งแบบงาน (Drawing plates) ที่ได้ทำการออกแบบและทฤษฎีเนื้อหาที่มีผลต่อชุดระบบการหล่อเหลวเพิ่มความดันสูง มีดังต่อไปนี้

2.3.1 รูปแบบชุดระบบการหล่อเหลวเพิ่มความดันสูงของเครื่องหล่อโลหะแบบเหลวเพิ่มด้วยความดันสูงออกแบบด้วยโปรแกรม Solid Edge V.16

ชุดระบบการหล่อเหลวเพิ่มความดันสูงของเครื่องหล่อโลหะแบบเหลวเพิ่มด้วยความดันสูงที่ได้ทำการออกแบบด้วยโปรแกรม Solid Edge V.16 มีส่วนประกอบหลัก 3 ส่วน คือชินส่วนที่รองรับน้ำโลหะ ท่อทางวิ่งน้ำโลหะ แม่พิมพ์ เมื่อนำมาประกอบเพื่อเตรียมทดลองวิจัยการหล่อโลหะแบบเหลวเพิ่มด้วยความดันสูง แสดงดังรูปที่ 2.8



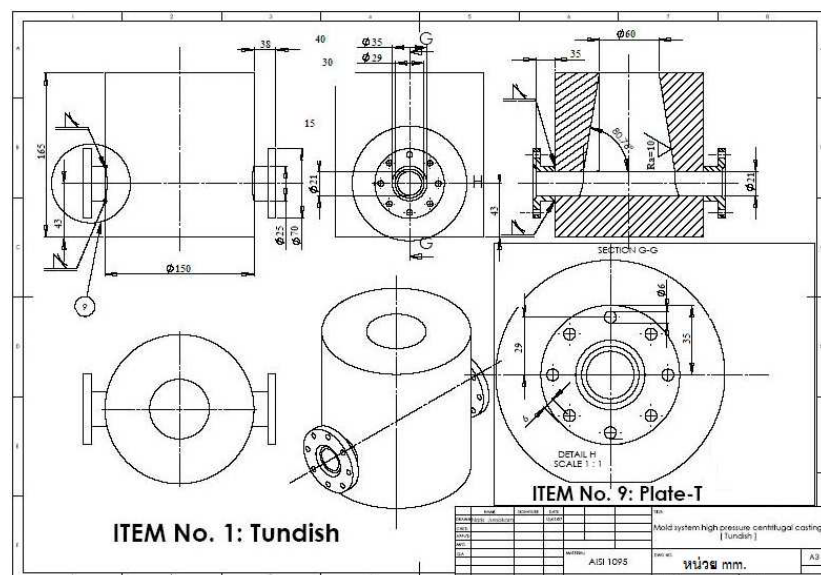
รูปที่ 2.8 รูปแบบชุดระบบการหล่อเหลวเพิ่มความดันสูงของเครื่องหล่อโลหะแบบเหลว

ด้วยความดันสูงออกแบบโดยโปรแกรม Solid Edge V.16

ชุดระบบการหล่อเหลวที่มีความดันสูงของเครื่องหล่อโลหะให้ความดันสูงที่ออกแบบ มีส่วนประกอบหลัก 3 ส่วน คือ

2.3.1.1 ชิ้นส่วนที่รองรับน้ำโลหะ

ชิ้นส่วนที่รองรับน้ำโลหะ ดังแสดงในรูปที่ 2.9 ของชุดระบบการหล่อเหลวที่มีความดันสูง มีจำนวน 1 ชิ้น เป็นชิ้นส่วนที่ประกอบต่อกับชิ้นส่วนท่อทางวิ่งน้ำโลหะ โดยการจับเข้าด้วยสลักเกลี้ยง มีหน้าที่ในการรับน้ำโลหะอะลูมิเนียมเหลวจากการเทก่อนที่จะส่งผ่านน้ำโลหะให้เข้าทางท่อทางวิ่งน้ำโลหะ ชิ้นส่วนที่รองรับน้ำโลหะช่วยรับน้ำโลหะอะลูมิเนียมเหลวจากการเท จะถูกออกแบบให้เป็นลักษณะเทเปอร์ (Taper) เพื่อเพิ่มความสะดวกในการทำความสะอาดเศษน้ำโลหะอะลูมิเนียมที่แข็งตัวก้างอยู่ในชิ้นส่วนที่รองรับน้ำโลหะ

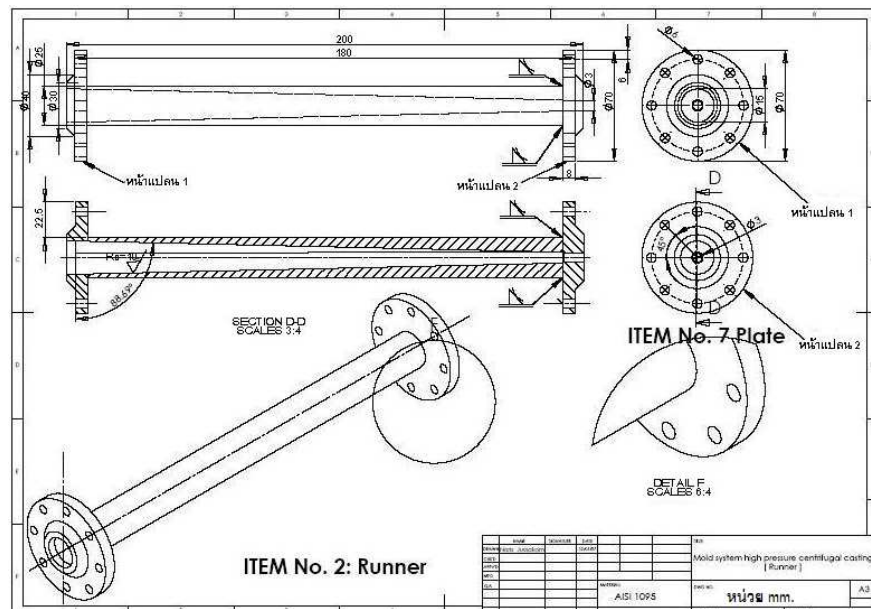


รูปที่ 2.9 ชิ้นส่วนที่รองรับน้ำโลหะของชุดระบบการหล่อเหลวที่มีความดันสูงออกแบบโดยโปรแกรม Solid Edge V.16

2.3.1.2 ชิ้นส่วนท่อทางวิ่งน้ำโลหะ

ชิ้นส่วนท่อทางวิ่งน้ำโลหะ ดังแสดงในรูปที่ 2.10 ของชุดระบบการหล่อเหลวที่มีความดันสูง มีจำนวน 2 ชิ้น เป็นชิ้นส่วนที่ต่อประกอบกับชิ้นส่วนที่รองรับน้ำโลหะและแม่พิมพ์โดยจับเข้าด้วยสลักเกลี้ยง มีหน้าที่รับน้ำโลหะอะลูมิเนียมเหลวจากชิ้นส่วนที่รองรับน้ำโลหะก่อน

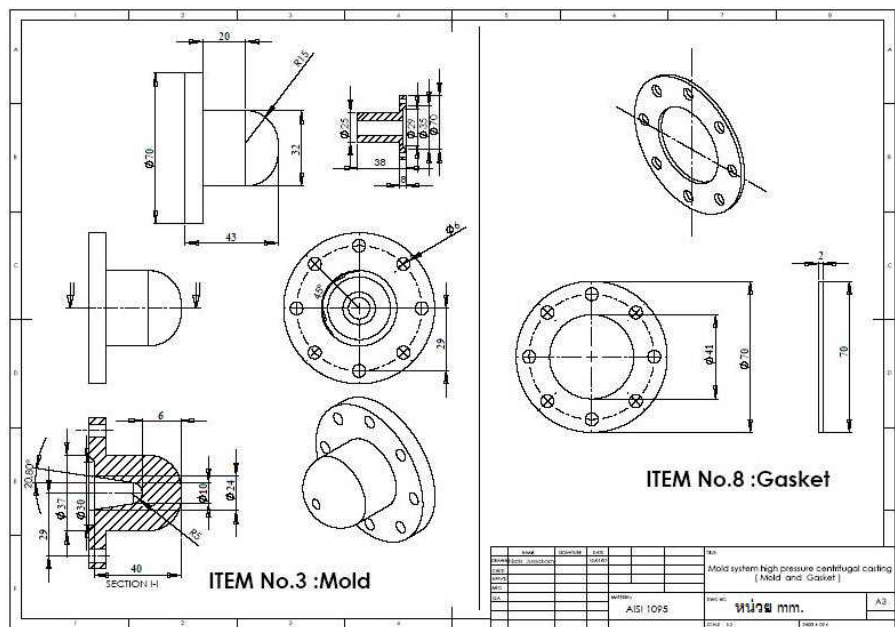
ส่งผ่านน้ำโลหะให้เข้าแม่พิมพ์ ชิ้นส่วนท่อทางวิ่งน้ำโลหะมีช่องว่างภายในสำหรับรับน้ำโลหะ อะลูมิเนียมเหลวจากชิ้นส่วนที่รองรับน้ำโลหะ ถูกออกแบบให้เป็นลักษณะเทปอร์ (Taper) เพื่อเพิ่มความสะดวกในการทำความสะอาดเศษน้ำโลหะอะลูมิเนียมที่แข็งตัวอยู่ในชิ้นส่วนท่อทางวิ่งน้ำโลหะ



รูปที่ 2.10 ชิ้นส่วนท่อทางวิ่งน้ำโลหะของชุดระบบการหล่อเหลวที่ออกแบบโดยโปรแกรม Solid Edge V.16

2.3.1.3 ชิ้นส่วนแม่พิมพ์

ชิ้นส่วนแม่พิมพ์ ดังแสดงในรูปที่ 2.11 ของชุดระบบการหล่อเหลวที่มีความคันสูง มีจำนวน 2 ชิ้น เป็นชิ้นส่วนที่ประกอบต่อกันชิ้นส่วนท่อทางวิ่งน้ำโลหะ โดยการจับยึดด้วยสลักเกลียว มีหน้าที่รับน้ำโลหะอะลูมิเนียมเหลวจากชิ้นส่วนท่อทางวิ่งน้ำโลหะและเป็นชิ้นส่วนสำหรับใส่ชิ้นงานซิลิโคนคาร์บอนด์อัดชิ้นรูป (SiC Preform) ชิ้นส่วนแม่พิมพ์มีช่องว่างภายในสำหรับรับน้ำโลหะอะลูมิเนียมเหลวจากท่อทางวิ่งน้ำโลหะและใส่ชิ้นงานซิลิโคนคาร์บอนด์อัดชิ้นรูป ถูกออกแบบให้เป็นลักษณะเทปอร์ (Taper) เพื่อเพิ่มความสะดวกในการทำความสะอาดเศษน้ำโลหะอะลูมิเนียมที่แข็งตัวอยู่ในชิ้นส่วนแม่พิมพ์



รูปที่ 2.11 ชิ้นส่วนแม่พิมพ์ที่สำหรับไว้ใส่ชิ้นงานซิลิโคนการ์ไบค์อัดขึ้นรูปของชุดระบบการหล่อเทวีงความดันสูงที่ออกแบบโดยใช้โปรแกรม Solid Edge V.16

2.3.2 ค่าความดันของน้ำโลหะที่เกิดขึ้นในชิ้นส่วนท่อทั่วจังหวะ

ค่าความดันของน้ำโลหะที่เกิดขึ้นในชิ้นส่วนท่อทั่วจังหวะน้ำโลหะ คือค่าความดันของน้ำโลหะที่เกิดจากวิธีการหล่อโลหะแบบการใช้แรงหนีศูนย์เทวีงน้ำโลหะเข้าไปในชิ้นส่วนแม่พิมพ์ด้วยความดันสูงในชิ้นส่วนท่อทั่วจังหวะน้ำโลหะ ใช้สมการ (Wannasin and Flemings, 2005)

$$P_c = \frac{1}{2} \rho \omega^2 (L_2^2) ; \omega = \frac{2\pi\Omega}{60} \quad (2.1)$$

โดยที่ P_c คือค่าความดันของน้ำโลหะที่เกิดขึ้น ρ คือความหนาแน่นของน้ำโลหะ Ω คือความเร็วเชิงเส้นในการหมุน L_2 คือระดับของน้ำโลหะ ω คือค่าความเร็วรอบเชิงมุม

2.3.3 ค่าความดันเริ่มต้น (Threshold pressure, P_{th})

ค่าความดันเริ่มต้นคือความดันน้อยที่สุดที่น้ำโลหะจะใช้สำหรับการแทรกซึมเข้าในระหว่างช่องว่างของอนุภาคเซรามิกของเซรามิกอัดขึ้นรูปที่มีแรงด้านทานภายในระหว่างอนุภาค

เซรามิก ใช้สมการ (Wannasin and Flemings, 2005)

$$P_{th} = -\delta \lambda \gamma_{lv} \cos \theta \frac{V_p}{D_p (1 - V_p)} \quad (2.2)$$

โดยที่ P_{th} คือค่าความดันเริ่มต้นที่ใช้ในการแทรกเข้าไประหว่างช่องแต่ละอนุภาคเซรามิก λ คือค่าปัจจัยที่ถูกต้องสำหรับสภาพผิวน้ำและความคงคลน γ_{lv} คือค่าความตึงผิวน้ำของน้ำโลหะ θ คือค่ามุมที่อนุภาคเซรามิกทำมุมกับ V_p คือค่าสัดส่วนของปริมาตรระหว่างอนุภาคและชิ้นงานเซรามิกอัดขึ้นรูป (Volume fraction) D_p คือค่าเฉลี่ยขนาดเส้นผ่าศูนย์กลางอนุภาคเซรามิก

2.3.4 ค่าความดันสูงสุด (Maximum pressure, P_{max})

ความดันสูงสุดคือค่าความดันสูงสุดที่สามารถเกิดขึ้นได้ในห้องความดัน (Pressure Vessel) หรือชิ้นส่วนท่อทางวิ่งของน้ำโลหะ โดยนำค่ารัศมีภายใน (r_i) และรัศมีภายนอก (r_o) ของชิ้นส่วนท่อทางวิ่งน้ำโลหะมาคำนวณหา ใช้สมการ (Wannasin, 2004)

$$P_{max} = \frac{\sigma_u}{SF_u} \frac{\left(r_o^2 - r_{il}^2 \right)}{\left(r_o^2 + r_{il}^2 \right)} \quad (2.3)$$

โดยที่ P_{max} คือค่าความดันสูงสุดที่เกิดขึ้นในระบบ σ_u คือค่าความแข็งแรงดึงสูงสุด (Ultimate tensile strength) ของโลหะที่นำมาใช้สร้างชุดระบบการหล่อเหลวของความดันสูง SF_u คือค่าปัจจัยความปลอดภัย (Safety factor) r_o คือค่ารัศมีภายนอกของชิ้นส่วนท่อทางวิ่งน้ำโลหะ r_{il} คือค่ารัศมีภายในของชิ้นส่วนท่อทางวิ่งของน้ำโลหะ

2.3.5 ค่าความเค้นในแนวหน้าศูนย์กลาง ($\sigma_{Centrifugal}$) ที่เกิดจากแรงดันน้ำโลหะพุ่งออกแนวหน้าศูนย์กลาง

ค่าความเค้นในแนวหน้าศูนย์กลางเกิดเมื่อชุดระบบการหล่อเหลวของความดันสูงเกิด

การหมุนที่คงที่ น้ำโลหะที่เติมเข้าไปในชิ้นส่วนที่รองรับน้ำโลหะจะถูกเหวี่ยงให้ผ่านทางชิ้นส่วนท่อทางวิ่งน้ำโลหะและดันน้ำโลหะผ่านเข้าไปสู่ชิ้นส่วนแม่พิมพ์ ซึ่งน้ำโลหะที่ถูกเหวี่ยงนั้นจะเป็นแรงดันน้ำโลหะพุ่งออกในแนวหนีศูนย์กลาง ($F_{Centrifugal}$) ทำให้เกิดความเค้นในแนวหนีศูนย์กลาง

$$F_{Centrifugal} = m_{lv,T} \frac{v^2}{r}; r = L_r \text{ และ } v = \Omega L_r$$

$$\therefore F_{Centrifugal} = m_{lv,T} \Omega^2 L_r \quad (2.4)$$

โดยที่ $F_{Centrifugal}$ คือแรงดันน้ำโลหะพุ่งออกในแนวหนีศูนย์กลาง $m_{lv,T}$ คือค่ามวลรวมของน้ำโลหะและชิ้นส่วนท่อทางวิ่งน้ำโลหะ $\frac{v^2}{r}$ คือค่าความเร่งเชิงมุม Ω คือค่าความเร็วรอบเชิงมุม L_r คือค่าระยะจากจุดหมุนถึงปลายสุดชิ้นส่วนท่อทางวิ่งน้ำโลหะ

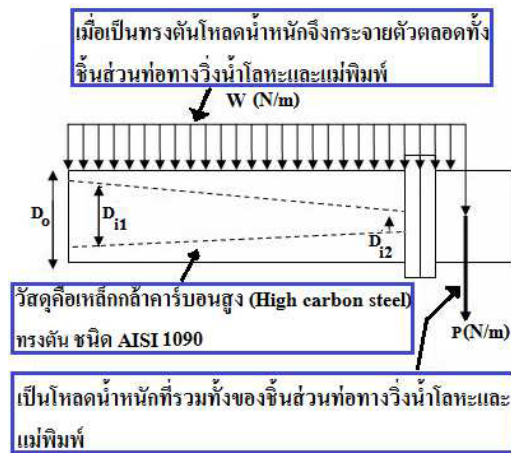
2.3.6 ค่าความเค้นน้ำหนักรวม ($\sigma_{total weight}$) ที่เกิดจากแรงน้ำหนัก (Weight)

ค่าความเค้นจากน้ำหนักเกิดเมื่อชุดระบบการหล่อเหลวขึ้นสูงเกิดการหมุนที่คงที่แล้ว น้ำโลหะที่ถูกเติมเข้าไปในชิ้นส่วนที่รองรับน้ำโลหะและเหวี่ยงน้ำโลหะเข้าชิ้นส่วนท่อทางวิ่งน้ำโลหะ, แม่พิมพ์ จะเกิดการแข็งตัวทำให้เกิดน้ำหนักทิศพุ่งลงตามแรงโน้มถ่วงโลกกระทำต่อชิ้นส่วนท่อทางวิ่งน้ำโลหะ ดังรูปที่ 2.12 ทำให้เกิดความเค้นจากน้ำหนัก (σ_{weight})

$$M_{bending} = PL + \frac{W}{2}L^2$$

$$\sigma_{weight} = \frac{M_{bending} \times C}{I}; I = \frac{\pi}{64} \left(D_o^4 \right) \quad (2.5)$$

โดยที่ $M_{bending}$ คือค่าโมเมนต์ดัด P คือน้ำหนักรวมของชิ้นส่วนท่อทางวิ่งน้ำโลหะ และแม่พิมพ์ L คือระยะความยาวชิ้นส่วนท่อทางวิ่งน้ำโลหะรวมกับแม่พิมพ์ซึ่งตั้งจากกับน้ำหนัก W คือน้ำหนักของชิ้นส่วนบรรทุกแบบแผ่นสำลีสมอ C คือค่ารัศมีปลายสุดของชิ้นส่วนท่อทางวิ่งน้ำโลหะ I คือค่าโมเมนต์ความเฉื่อยหน้าแปลนของชิ้นส่วนท่อทางวิ่งน้ำโลหะซึ่งต่อประกอบกับชิ้นส่วนที่รองรับน้ำโลหะ D_o คือเส้นผ่าศูนย์กลางของชิ้นส่วนท่อทางวิ่งน้ำโลหะ σ_{weight} คือค่าความเค้นที่เกิดจากน้ำหนัก (Weight, W) ทิศพุ่งลงตามแรงโน้มถ่วงโลก



รูปที่ 2.12 ภาระน้ำหนักที่กระทำต่อชิ้นส่วนท่อทางวิ่งน้ำโลหะ

2.3.7 ความเค้นจากการดัดโค้ง ($\sigma_{bending}$)

เป็นการหาค่า โมเมนต์ความเบี้ยงในช่วงเริ่มต้นของการหมุนเหวี่ยง คือ โมเมนต์ที่ต่อต้านการเคลื่อนที่ (จากที่ชิ้นงานอยู่นิ่ง) ของชิ้นงาน ตามกฎข้อที่ 1 ของนิวตัน โมเมนต์ความเบี้ยยนี้จะทำให้เกิดค่าความเค้นจากการดัดโค้ง กระทำต่อชิ้นส่วนท่อทางวิ่งน้ำโลหะซึ่งต่อประกอบกับหน้าแปลนของชิ้นส่วนที่รองรับน้ำโลหะ

$$M = I_1 \frac{d\omega}{dt}, I_1 = \frac{1}{12} m_{T,m} l^2$$

$$\sigma_{bending} = \frac{MC}{I_2}, I_2 = \frac{\pi}{64} \left(D_o^4 - D_{il}^4 \right) \quad (2.6)$$

โดยที่ $m_{T,m}$ คือค่ามวลรวมของชิ้นส่วนท่อทางวิ่งน้ำโลหะและชิ้นส่วนแม่พิมพ์ α , $\frac{d\omega}{dt}$ คือค่าความเร่งเชิงมุม ω คือค่าความเร็วรอบเชิงมุม $\sigma_{bending}$ คือค่าความเค้นจากการดัดโค้ง M คือค่า โมเมนต์ที่เกิดจากการหมุนเหวี่ยง C คือค่ารัศมีปลายสุดของชิ้นส่วนท่อทางวิ่งน้ำโลหะ I_1 คือค่า โมเมนต์ความเบี้ยของทั้งชิ้นส่วนท่อทางวิ่งน้ำโลหะ I_2 คือค่าโมเมนต์ความเบี้ยของหน้าแปลนของชิ้นส่วนท่อทางวิ่งน้ำโลหะที่ต่อประกอบกับชิ้นส่วนที่รองรับน้ำโลหะ I_c คือค่าระยะจากจุดหมุนถึงจุดเซนทรอยด์ D_o คือเส้นผ่าศูนย์กลางภายในของชิ้นส่วนท่อทางวิ่งน้ำโลหะ D_{il} คือ เส้นผ่าศูนย์กลางภายในของชิ้นส่วนท่อทางวิ่งน้ำโลหะ

2.4 การถ่ายเทความร้อนด้วยการพา (Convection Heat Transfer)

กระบวนการถ่ายเทความร้อนด้วยการพา สามารถสังเกตได้จากกระบวนการถ่ายเทความร้อน ส่วนค่าของอุณหภูมินั้นก็ขึ้นอยู่กับอัตราของของไอลที่นำความร้อนออกไป หากมีความเร็วสูงก็จะทำให้มีค่าการพาความร้อนที่มีอุณหภูมิสูงด้วย ดังนั้นค่าอุณหภูมิที่บริเวณผนังนั้นจะขึ้นอยู่กับสถานการไอล การแสดงผลกราฟทบทวนของการแสดงการพาความร้อน ใช้กฎของนิวตันว่าด้วยการระบายความร้อน จะได้

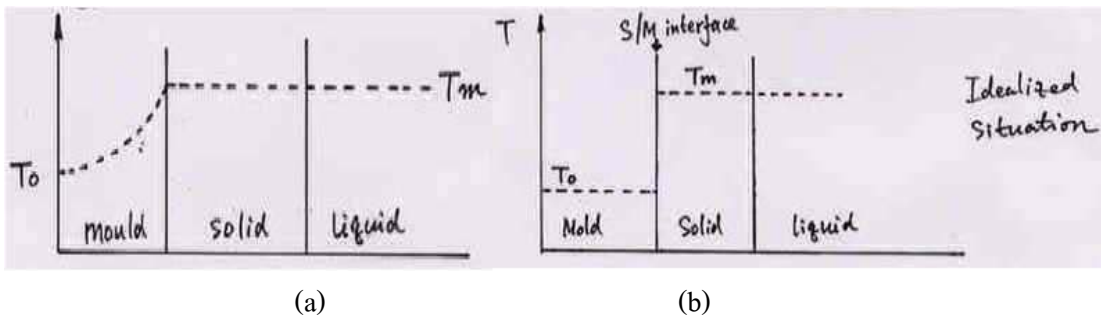
$$Q = \bar{h} A (T_w - T_{infinity}) \quad (2.7)$$

โดยที่ Q คืออัตราการถ่ายเทความร้อน \bar{h} คือค่าสัมประสิทธิ์การถ่ายเทความร้อนด้วยการพา A คือพื้นที่ผิว $T_w - T_{infinity}$ คืออุณหภูมิที่แตกต่างรวมทั้งหมดระหว่างผนังกับของไอล

การวิเคราะห์ผลคำนวณค่า \bar{h} อาจนำไปใช้ได้ในบางระบบ ค่าสัมประสิทธิ์การถ่ายเทความร้อนบางครั้งเรียกว่า การนำผ่านฟิล์ม เพราะว่าความสัมพันธ์ตั้งกล่าวเบื้องกระบวนการนำความร้อนในชั้นบางๆ ของของไอลที่บริเวณผิวของผนัง จากสมการด้านบน กำหนดค่าถ่ายเทความร้อนด้วยการพาขึ้นอยู่กับคุณสมบัติทางความร้อนของของไอล (ค่าสภาพการนำความร้อน ความร้อนจำเพาะ ความหนาแน่น) เพราะอิทธิพลความหนืดที่มีต่อสภาพของความเร็วที่เปลี่ยนแปลงจากผิวผนังจนถึงชั้นของขอบเขตความเร็วที่เกิดขึ้นจริง และความสอดคล้องของอัตราการถ่ายเทพลังงานในขอบเขตที่ใกล้กับผนัง (ธนาคม ศุนทรัชยนาคแสง, 2547)

2.5 เวลาในการแข็งตัวของชิ้นโลหะ (Solidification Time)

การแข็งตัวของชิ้นงานโลหะคือยา เริ่มจากผิวนอกไปถึงตรงกลาง เวลาทั้งหมดในระหว่างการแข็งตัวของชิ้นงานโลหะคือยา เริ่มจากผิวนอกไปถึงตรงกลาง เวลาทั้งหมดในระหว่างการแข็งตัวจากผิวนอกถึงตรงกลางเป็นสัดส่วน โดยตรงกับ $\frac{V}{A_o}$ อัตราส่วนระหว่างปริมาตรของชิ้นงาน (V) และพื้นที่ผิวนอก (A_o) ซึ่งเป็นส่วนของชิ้นงานที่ส่งความร้อนให้สิ่งแวดล้อม สำหรับวิธีการหล่อโลหะแบบเที่ยงน้ำจะเป็นการหล่อที่มีแม่พิมพ์เป็นโลหะ (Metal mold) มิใช่การหล่อด้วยทราย (Sand mold) (หริส สุตตะบุตร, 2537) ดังรูปที่ 2.13



รูปที่ 2.13 กราฟรูปแบบของการเย็นตัว (a) Sand casting (b) Die casting
ที่มา : Melbourne school of engineering (2010)

เวลาในการแข็งตัวของน้ำโลหะในชิ้นส่วนแม่พิมพ์นั้นมีผลต่อการหล่อโลหะ เหวี่ยงเป็นอย่างมาก เพราะเป็นค่าที่บ่งบอกว่าน้ำโลหะที่ถูกเหวี่ยงหนีศูนย์เข้าแทรกซึมระหว่าง ช่องว่างอนุภาคเซรามิกของเซรามิกอัดขึ้นรูป (Ceramic Preform) ในชิ้นส่วนแม่พิมพ์ดังที่ ใช้เวลานานเท่าไหร่จะแข็งตัว จากสมการเวลาในการแข็งตัวของชิ้นส่วนแม่พิมพ์โลหะ

$$\begin{aligned}
 t_s &= k \left(\frac{V}{A} \right)^l \\
 \text{โดยที่ } Q &= -\bar{h}A(T_M - T_O) = \rho_M H_M A \frac{ds}{dt} \\
 \text{และ } k &= \frac{\rho_M H_M}{\bar{h}(T_M - T_O)} \\
 \text{ทำให้ได้ } t_s &= \frac{\rho_M H_M V}{\bar{h}(T_M - T_O) A} \\
 \therefore t_s &= \frac{\rho_M (H_M + C_p \Delta T)}{\bar{h}(T_M - T_O)} \times r_{i2} \quad (2.8)
 \end{aligned}$$

โดยที่ t_s คือเวลาในการแข็งตัวของน้ำโลหะ \bar{h} คือค่าสัมประสิทธิ์การถ่ายเทความร้อนด้วยการพา T_M คืออุณหภูมิของน้ำโลหะ T_O คืออุณหภูมิของเครื่องมือ ρ_M คือความหนาแน่นของน้ำโลหะ H_M คือค่าความร้อนแห้งของการหลอมเหลวของโลหะ C_p คือค่าความจุความร้อนของโลหะ ΔT คือค่าอุณหภูมิของโลหะที่มีค่าอุณหภูมิสูงกว่าจุดเดือดปกติ r_{i2} คือขนาดรัศมีภายในปลายสุดของชิ้นส่วนท่อทางวิ่งน้ำโลหะที่ต่อประกอบกับชิ้นส่วนแม่พิมพ์

2.6 วิธีการทดสอบและตรวจสอบวัสดุพสมเนื้อโลหะ

ในส่วนนี้จะเป็นการกล่าวถึงทฤษฎีและเนื้อหาที่เกี่ยวกับตรวจสอบวัสดุพสมเนื้อโลหะ วัสดุพสมเนื้อโลหะที่ผลิตขึ้นมาได้จากวิธีหล่อโลหะหรือด้วยความดันสูงนั้นต้องทำการทดสอบและตรวจสอบสมบัติเพื่อคุณสมบัติที่เปลี่ยนแปลงไปและเปรียบเทียบกับสมบัติของวัสดุที่เป็นเนื้อหลัก ในงานวิจัยนี้ทางผู้วิจัยได้ทำการเลือกใช้ทดสอบคือความหนาแน่น การตรวจสอบโครงสร้างระดับจุลภาคและสมบัติเชิงกลคือหาค่าความแข็งและค่าความต้านทานต่อการสึกหรอ ซึ่งมีรายละเอียดการทดสอบอยู่ในบทที่ 4 ทฤษฎีและเนื้อหาที่เกี่ยวกับตรวจสอบวัสดุพสมเนื้อโลหะมีดังต่อไปนี้

2.6.1 การตรวจสอบวัสดุพสมเนื้อโลหะ

การตรวจสอบโครงสร้างของโลหะ สามารถกระทำได้ 2 ลักษณะคือการตรวจสอบโครงสร้างระดับมหภาค (Macroscopic) และการตรวจสอบโครงสร้างระดับจุลภาค (Microscopic) เพื่อต้องการทราบอิทธิพลของชาตุพสมในโลหะที่ทำการตรวจสอบนั้นๆ อีกทั้งยังสามารถตรวจสอบปฏิกิริยาที่เกิดขึ้นภายหลังจากการกระทำการทำทางความร้อนสินสุดลงอีกด้วย ข้อมูลที่ได้จากการตรวจสอบโครงสร้างสามารถนำไปใช้ในการออกแบบชิ้นส่วนเครื่องมือ เครื่องจักร และอุปกรณ์ต่างๆ ได้อย่างเหมาะสม การตรวจสอบโครงสร้างมีรายละเอียดดังต่อไปนี้

2.6.1.1 การตรวจสอบโครงสร้างระดับมหภาค

เป็นการตรวจสอบโครงสร้างด้วยการมองด้วยตาเปล่า หรือถ้าใช้กล้องขยายก็มีกำลังขยายไม่เกิน 50 เท่า การเตรียมชิ้นงานเพื่อการตรวจสอบโครงสร้างมหภาคนั้นไม่ยุ่งยาก เพราะว่าเป็นการตรวจสอบรูพรุนภายในของโลหะ การแยกชิ้นของผลึก รอยร้าว รอยแตก หน้าตัดที่ถูกดึงจนขาด และปริมาตรชาตุพสมในโลหะ เป็นต้น

(1) การตรวจสอบโดยวิธีการพิมพ์ภาพแบบเบามันน์ (Baumann) การตรวจสอบมหภาคโดยวิธีนี้จะสามารถทราบได้ว่ามีการแพร่กระจายของตัวเสริมแรงในโลหะมากน้อยเพียงใด ขั้นตอนคือตัดชิ้นงานแล้วทำการขัด จากนั้นล้างผิวขัดให้สะอาด นำกระดาษอัดรูปถ่ายตอนกลางวัน จุ่มลงในครดกำมะถันเจือจาง นำกระดาษออกปล่อยให้แห้งแล้วนำไปขัด ล้างกระดาษด้วยน้ำเปล่า จากนั้นนำไป เช่นน้ำยาคงตัว และนำกระดาษไป เช่นน้ำเปล่าอีกจากนั้นเป่าให้แห้งด้วยลมร้อนก็จะ

ปรากฏภาพที่บนอากาศอัครูป

2.6.1.2 การตรวจสอบโครงสร้างระดับจุลภาค

กระทำได้โดยการใช้กล้องจุลทรรศน์ที่มีกำลังขยายสูง ถ้าเป็นกล้องที่ใช้แสงจากหลอดไฟจะให้กำลังขยายไม่เกิน 2,000 เท่า แต่ถ้าเป็นกล้องที่ใช้ลำแสงอิเล็กตรอนจะสามารถให้กำลังขยายได้สูงถึง 5,000 เท่า หรือมากกว่า

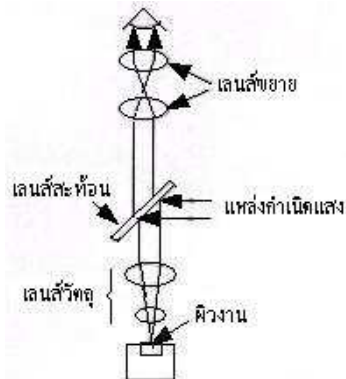
กล้องจุลทรรศน์แบบแสง (Optical microscope, OM) ดังรูปที่ 2.14 เป็นเครื่องมือสำหรับดูสิ่งของที่มีขนาดเล็กมากๆ ที่ไม่สามารถมองเห็นได้ด้วยตาเปล่า เช่น โครงสร้างหรือเกรนการวิเคราะห์ซึ่งจะทำได้กับวัสดุทั้งแบบเป็นเนื้อเดียวกัน (Homogeneous) หรือไม่เป็นเนื้อเดียวกัน (Heterogeneous) รวมทั้งอาจจะเป็นเฟสเดียวหรือหลายเฟส ในการวิเคราะห์โครงสร้างสั่งสำคัญ คือ การตรวจสอบดูถึงจำนวนของเฟสหรือเกรน และสัดส่วนของเกรนแต่ละชนิดของโลหะนั้น รวมทั้งขนาด รูปร่าง และการจัดการจราจรส่องเกรนแต่ละเกรน

หลักการทำงานของกล้องจุลทรรศน์นั้นจะมีหลักการทำงานที่คล้ายคลึงกัน ไม่ว่าจะเป็นกล้องจุลทรรศน์แบบใดก็ตาม โดยมีหลักการทำงานด้วยการปล่อยแสงจากแหล่งกำเนิดไปยังชิ้นตรวจสอบ ทำให้แสงที่ตกกระทบลงบนผิวงานที่เรียบและตั้งฉากกับลำแสงจะสะท้อนแสงได้ดีกว่า โดยแสงจะสะท้อนกลับเข้าไปยังเลนส์ขยาย (Eye Piece) และเข้าสู่สายตาของผู้ตรวจสอบ ทำให้เห็นภาพดังกล่าวมีขนาดใหญ่ขึ้น ดังรูปที่ 2.15 แต่ถ้าลำแสงจากจุดกำเนิดแสงตกกระทบลงบนผิวงานที่ไม่เรียบและไม่ตั้งฉากกับลำแสง การสะท้อนจะไม่ดีเท่าที่ควร โดยที่จะมีแสงบางส่วนสะท้อนกลับไปยังเลนส์ขยายและเข้าสู่สายตาของผู้ตรวจสอบหรือในบางครั้งอาจไม่มีการสะท้อนเข้ามาผู้ตรวจสอบเลย จึงทำให้ผู้ตรวจสอบเห็นเป็นสีดำ (G.precision engineering LTD., 2010)



รูปที่ 2.14 ภาพกล้องจุลทรรศน์

ที่มา : Microscope world (2010)

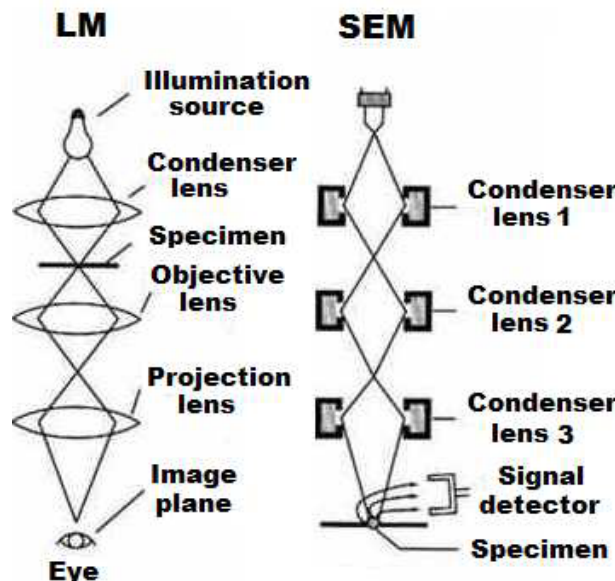


รูปที่ 2.15 หลักการทำงานของกล้องจุลทรรศน์
ที่มา : G.precision engineering LTD. (2010)

นอกจากกล้องจุลทรรศน์ขยายลำแสงธรรมด้าดังกล่าวมาแล้ว ยังมีกล้องขยายที่ใช้ ลำแสงอิเล็กตรอนแทนแสงจากหลอดไฟ และยังสามารถบังคับด้วยระดับแม่เหล็กไฟฟ้าให้ลำแสง อิเล็กตรอนวิ่งไปกระทบกับผิวของชิ้นงานตรวจสอบจะสะท้อนกลับไปเข้าเครื่องรับสัญญาณต่างๆไป ขยายต่อ รวมทั้งส่งไปยังจอภาพจะปรากฏภาพโครงสร้างที่มีแรงขยายสูงถึง 5,000 เท่าหรือมากกว่า กล้องที่กล่าวมานี้เรียกว่ากล้องจุลทรรศน์อิเล็กตรอนแบบส่องกราด (Scanning Electron Microscope, SEM) ดังแสดงในรูปที่ 2.16 – 2.18

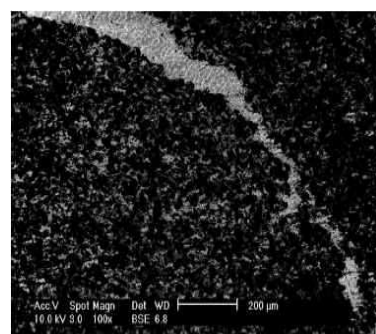


รูปที่ 2.16 กล้องจุลทรรศน์อิเล็กตรอนแบบส่องกราด
ที่มา : Maryland nanocenter (2010)



รูปที่ 2.17 การเปรียบเทียบการทำงานของกล้องจุลทรรศน์อิเล็กตรอนกับกล้องขยายแบบ
ธรรมชาติทั่วไป

ที่มา : Central microscopy (2010)



รูปที่ 2.18 ตัวอย่างของภาพที่ถ่ายด้วยกล้องจุลทรรศน์อิเล็กตรอนแบบส่องกราด

ที่มา : Wannasin และ Flemings (2005)

2.6.2 การหาความหนาแน่นวัสดุผสมเนื้อโลหะ

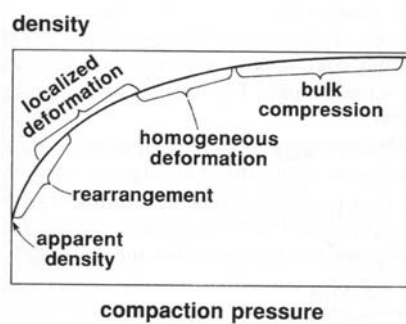
การหาความหนาแน่นของวัสดุผสมเนื้อโลหะสามารถที่จะหาได้ง่ายๆ โดยใช้ความสัมพันธ์ระหว่างปริมาตรและมวล อีกทั้งยังมีเทคนิคพิเศษเฉพาะในการหาความหนาแน่นนี้ก็คือ หลักการเข้าแทนที่ของน้ำ (Archimedes density) “ของแข็งที่หนาแน่นกว่าของเหลว จะจมอยู่ใต้ของเหลวนั้น และปริมาตรของเหลวที่ถูกแทนที่ เท่ากับปริมาตรของแข็งนั้น” จากหลักการเข้าแทนที่ของน้ำเพื่อหาความหนาแน่นวัสดุผสมเนื้อโลหะ (บุญชิษฐ์ เจริญศรี, 2542) จะได้

$$\rho_m = \frac{W_2}{W_2 - (W_1 - W_w)} \times \rho_w \quad (2.9)$$

โดยที่ ρ_m คือความหนาแน่นเฉลี่ยของตัวอย่าง ρ_w คือความหนาแน่นของน้ำที่อุณหภูมิคงที่ทำการวัด W_1 คือน้ำหนักของตัวอย่างที่อ่อนตัวด้วยน้ำซึ่งชั่งในน้ำ W_2 คือน้ำหนักของตัวอย่างแห้งซึ่งชั่งในอากาศ (อบในเตาด้วยอุณหภูมิกองที่ 105°C เป็นเวลา 5 ชม.) W_w คือน้ำหนักของเส้นลวดในน้ำ

2.7 ทฤษฎีการอัดขึ้นรูป

จากรูปที่ 2.19 พบว่าอัตราการแน่นต้นเริ่มต้นมีค่าสูงตามความดันที่ให้อย่างไรก็ตามเมื่อการเปลี่ยนรูปดำเนินต่อไปอัตราการเพิ่มความหนาแน่นต่อความดันลดลงซึ่งให้เห็นว่าอนุภาคเกิดความแข็งแยบเปริ่งหรือเดนนิง (Work Hardening)

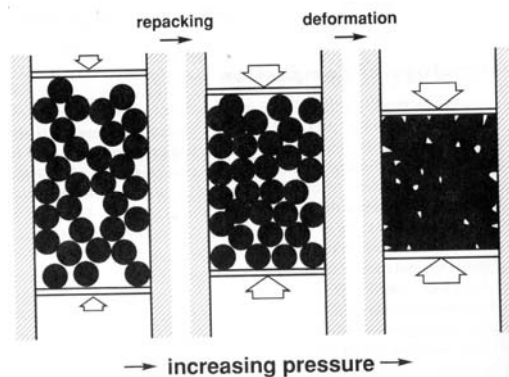


รูปที่ 2.19 ความสัมพันธ์ของความหนาแน่นกับความดันในการอัดแน่นแสดงขั้นตอนสำคัญและ
ความสามารถในการอัดลดลงเมื่อความหนาแน่นเพิ่มขึ้น

ที่มา : ประทุมรัตน์ หนูยัง (2551)

ภาพลำดับขั้นตอนการอัดแน่นผงวัสดุในรูปที่ 2.20 แสดงหลักเกณฑ์ในการนิยามขั้นตอนการอัดแน่น การอัดแน่นเริ่มต้นที่ความหนาแน่นประมาณเท่ากับความหนาแน่นปรากฏ มีช่องว่างระหว่างอนุภาคปรากฏโดยทั่วไป เมื่อมีการขยายความหนาแน่นสูงสุดที่ได้ก็อความหนาแน่นเค้า ผงที่อยู่ในสภาวะหลอมยังคงมีช่องว่างอยู่ ไม่มีความแข็งแรง และจำนวนโโคออร์ดิเนชัน (Coordination, CN) หรือจำนวนอนุภาคที่สัมผัสอยู่ร้อนบนอนุภาคหนึ่งๆ มีค่าต่ำ เมื่อเริ่มให้ความดันการตอบรับแรกสุดคือการจัดเรียงตัวใหม่ของอนุภาค โดยอนุภาคมีการเติมในรูพรุนขนาด

ให้ญี่ก่อนส่งผลให้จำนวนการสัมผัสกับอนุภาครอบข้างสูงขึ้น ซึ่งมีความคล้ายคลึงกับการเขย่าหรือสั่นผง การจัดเรียงตัวใหม่ให้ผลดีเมื่อพื้นผิวของอนุภาคเรียบและแข็ง



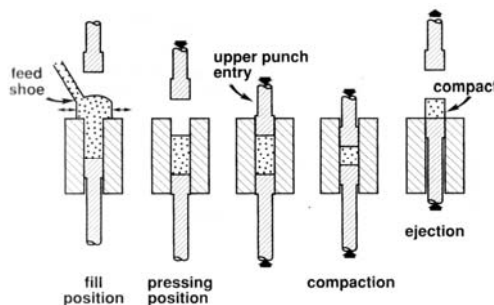
รูปที่ 2.20 ขั้นตอนการอัดผงโลหะ เริ่มต้นมีการจัดเรียงตัวโดยลดบริจาระหว่างอนุภาคเมื่อแรงอัดสูงขึ้นการแน่นตัวเกิดจากการเสียรูปของอนุภาค

ที่มา : ประทุมรัตน์ หนูยัง (2551)

2.7.1 การอัดขันรูปการอัดในแนวแกนเดียว (Uniaxial Compaction)

ลำดับขั้นตอนการเคลื่อนที่ของเครื่องมือขันรูปอัดแน่นแสดงในรูปที่ 2.21 โดยเริ่มต้นจากบรรจุผงโลหะลงในแม่พิมพ์และอัดผ่านพันช์ (Punch) ซึ่งเป็นพันช์ตัวเดียว (ส่วนใหญ่เป็นตัวบน) ทำให้เกิดแรงดันด้านข้าง ก่อนที่จะเทผงโลหะลงในแม่พิมพ์จะต้องเลื่อนพันช์ตัวบนออกมาร้านอกก่อน ส่วนพันช์ตัวล่างอยู่ในตำแหน่งที่เรียกว่าตำแหน่งเติมในแม่พิมพ์ ถ้ามีการคำนวณปริมาณของผงโลหะจากความสูงของช่องว่างในแม่พิมพ์และความหนาแน่นปรากฏของผงจะทำให้ทราบปริมาณที่จะเติมลงในแม่พิมพ์ ผงโลหะถูกบรรจุลงแม่พิมพ์โดยอุปกรณ์สำหรับเติมผง (Feed Shoe) อาจผ่านกระบวนการสั่นและเขย่าลงสู่แม่พิมพ์ ตำแหน่งสำหรับเติมผงของพันช์ตัวล่างแตกต่างจากตำแหน่งที่ใช้ในการอัดเพื่อทำให้การอัดผงเข้าสู่ตระกูลของแม่พิมพ์ ตำแหน่งของพันช์ตัวล่างสามารถปรับเปลี่ยนได้เพื่อให้เกิดความสม่ำเสมอของผงทั่วทั้งชิ้น หลังการเติมผงโลหะแล้ว เลื่อนพันช์ตัวล่างให้อۇยู่ในตำแหน่งที่จะอัดและเลื่อนพันช์ตัวบนเข้าสู่แม่พิมพ์ การเพิ่มความเค้นให้กับผงโลหะอาจเลื่อนทั้งพันช์ตัวบนและตัวล่างเข้าหากัน หรือเลื่อนเฉพาะพันช์ตัวบนเพียงตัวเดียวในขณะที่พันช์ตัวล่างอยู่กับที่ ขั้นตอนสุดท้ายของการอัดแน่นผงวัสดุมีความเค้นสูงสุด และเมื่ออัดเสร็จพันช์ตัวบนถูกเลื่อนออกไป ใช้พันช์ตัวล่างเป็นตัวดันเอาชิ้นงานออกจากแม่พิมพ์ และเริ่มวัสดุจากการอัดใหม่โดยการเติมผงโลหะลงแม่พิมพ์ ถึงแม้ว่าการเคลื่อนที่ของพันช์ตัวบน

และตัวล่างจะดูไม่ยุ่งยาก แต่ในการทำงานจริงขั้นตอนการอัดแบบแต่ละชิ้นส่วนมีความซับซ้อนมาก โดยปกตินิยมใช้แท่งแกนกลาง (Core Rod) เป็นตัวบวกกดตำแหน่งของพันธ์ด้านในหรือทำรูไว้ในชิ้นงาน โดยทั่วไปปัญหาเรื่องการสึกหรอของแม่พิมพ์เกิดขึ้นเมื่อต้องใช้แรงในการอัดสูง และสามารถควบคุมได้ด้วยการเติมสารหล่อลื่นผสมลงในผงวัสดุ เครื่องมือที่ใช้ส่วนใหญ่ทำจากเหล็กกล้าเครื่องมือ หรือซีเมนต์คาร์บอนด์เพื่อให้มีอายุการใช้งานนาน (ประทุมรัตน์ หนูยัง, 2551)

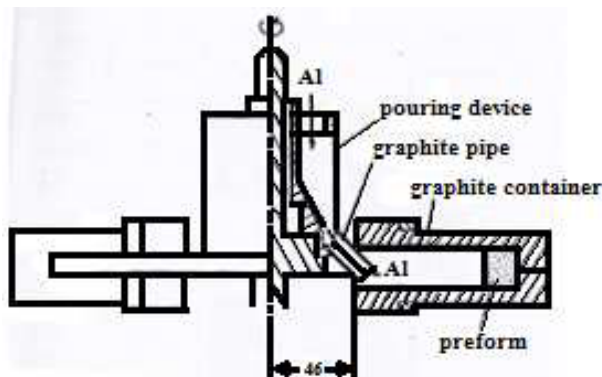


รูปที่ 2.21 ลำดับขั้นตอนการเคลื่อนที่ของเครื่องมือในวัสดุกระบวนการอัดแน่นผง
ที่มา : ประทุมรัตน์ หนูยัง (2551)

2.8 งานวิจัยที่เกี่ยวข้อง

Nishida และคณะ (1996) พบว่าเป็นงานวิจัยที่ศึกษาถึงการแทรกซึมเด็นไยในชิ้นงานอะลูминิอาอัดขึ้นรูป (Al_2O_3 , Preform) ด้วยน้ำอะลูมิเนียม โดยวิธีแรงหมุนเหวี่ยง คือเมื่อความเร็วในการหมุนเหวี่ยงถึงค่าที่ต้องการ นำน้ำอะลูมิเนียมเหลวเทเข้าใส่อุปกรณ์รองรับชิ้นจะมีเพลาแกรไฟต์กลวง 2 ข้างต่ออยู่โดยที่ปลายเพลาไม่ชิ้นงานอะลูминิอาอัดขึ้นรูปบรรจุอยู่ภายใน ดังแสดงในรูปที่ 2.22 ทำให้เมื่อกีดการหมุนเหวี่ยงน้ำอะลูมิเนียมเหลวจะถูกเหวี่ยงให้เข้าไปหาชิ้นงานอะลูминิอาอัดขึ้นรูป ความเร็วในการหมุนเหวี่ยงที่สูงย่อมก่อให้เกิดความดันน้ำอะลูมิเนียมที่สูงตามไปด้วย อุณหภูมิในการเผาอุ่นเม็ดดังนี้ ที่บริเวณใส่ชิ้นงานอะลูминิอาอัดขึ้นรูปมีอุณหภูมิ 430°C ที่ชิ้นส่วนเพลากลวงมีอุณหภูมิ 400°C และที่อุปกรณ์รองรับน้ำโลหะมีอุณหภูมิ 450°C อุณหภูมิของน้ำอะลูมิเนียมเหลวใช้ 800°C ชิ้นงานอะลูминิอาอัดขึ้นรูปมีค่าเคลือบเด็นผ่าศูนย์กลางของอนุภาคอะลูминิาที่ 3 mm และมีค่าสัดส่วนปริมาตรระหว่างอนุภาคและชิ้นงานเซรามิก (Volume Fraction, V_p) ที่ $6, 9, 13\text{ pct}$ ชิ้นงานอะลูминิอาอัดขึ้นรูปมีค่าเคลือบเด็นผ่าศูนย์กลาง 24 mm ความสูง 20 mm สำหรับค่าสัดส่วนปริมาตรระหว่างอนุภาคและชิ้นงานเซรามิก 6 pct ความสูง 19 mm สำหรับค่าสัดส่วนปริมาตร

ระหว่างอนุภาคและชิ้นงานเซรามิก 9 pct และความสูง 18 mm สำหรับค่าสัดส่วนปริมาตรระหว่างอนุภาคและชิ้นงานเซรามิก 13 pct ระยะทางจากศูนย์การหมุนถึงผิวน้ำชิ้นงานอะลูมินาอัดขึ้นรูปคือ 0.12 mm จากผลการทดลองสามารถนำมาใช้เป็นกราฟความสัมพันธ์ระหว่างความเร็วของ การหมุนเหวี่ยงและระยะทางที่น้ำอะลูมิเนียมเหลวสามารถเข้าแทรกซึมได้ในกรณีของค่าสัดส่วน

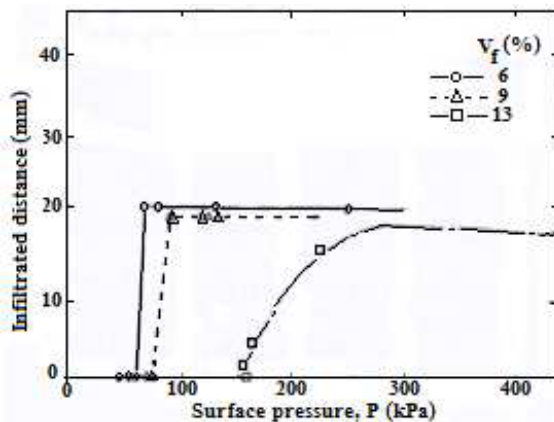


รูปที่ 2.22 แผนผังของเครื่องมือที่ใช้ในการดำเนินดแรงหมุนเหวี่ยงสำหรับการแทรกซึมของอะลูมิเนียม

ที่มา : Nishida และคณะ (1996)

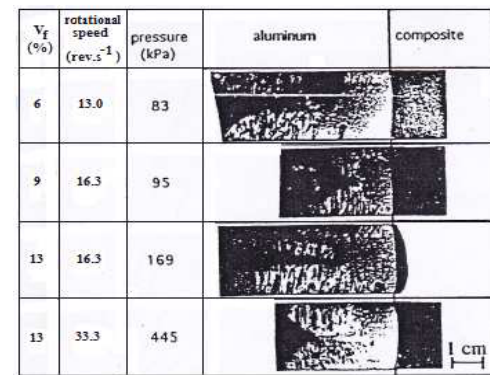
ปริมาตรระหว่างอนุภาคและชิ้นงานเซรามิก 6 pct คือตั้งแต่ความเร็ว (N) 0-10 rev.s⁻¹ จะไม่เกิดการแทรกซึมแต่เกิดการแทรกซึมเต็มที่ที่ความเร็ว 11 rev.s⁻¹ กรณีค่าสัดส่วนปริมาตรระหว่างอนุภาคและชิ้นงานเซรามิก 9 pct ตั้งแต่ที่ความเร็ว 0-16 rev.s⁻¹ แต่เข้าแทรกซึมเต็มที่ที่ความเร็ว 17 rev.s⁻¹ กรณีค่าสัดส่วนปริมาตรระหว่างอนุภาคและชิ้นงานเซรามิก 13 pct ตั้งแต่ที่ความเร็ว 0-22 rev.s⁻¹ แต่ที่ความเร็ว 26 rev.s⁻¹ น้ำอะลูมิเนียมเหลวจะเริ่มเข้าแทรกซึม แต่ที่ความเร็ว 32 rev.s⁻¹ ถึงจะเข้าแทรกซึมชิ้นงานอะลูมินาอัดขึ้นรูปได้เต็มที่ จากข้อมูลการทดลองของความเร็วในการหมุนเหวี่ยงสามารถเปลี่ยนแปลงความสัมพันธ์ระหว่างความดันของการหมุนเหวี่ยงและระยะทางที่น้ำอะลูมิเนียมเหลวเริ่มเข้าแทรกซึมที่ความดัน 66 kPa สำหรับค่าสัดส่วนปริมาตรระหว่างอนุภาคและชิ้นงานเซรามิก 9 pct และความดัน 81 kPa สำหรับค่าสัดส่วนปริมาตรระหว่างอนุภาคและชิ้นงานเซรามิก 13 pct ในกรณีค่าสัดส่วนปริมาตรระหว่างอนุภาคและชิ้นงานเซรามิก 13 pct นั้นความดันของการหมุนเหวี่ยงที่ทำให้น้ำอะลูมิเนียมเหลวเริ่มเข้าไปแทรกซึม (156 kPa) แต่ก็เป็นระเบียบการแทรกซึมเพียงเล็กน้อยเท่านั้น ต้องใช้ความดันการหมุนเหวี่ยงถึง 300 kPa ถึงน้ำอะลูมิเนียมเหลวจะเข้าไปแทรกซึมในชิ้นงาน

อะลูมินาอัดขึ้นรูปได้อ่าย่างเต็มที่ ดังแสดงในรูปที่ 2.24 จากผลการทดลองพบว่าหากความดันของ การหมุนเหวี่ยงมีค่ามากกว่าค่าความดันเริ่มต้น การแทรกซึมของน้ำอะลูมิเนียมเหลวจะเริ่มขึ้น (Nishida *et al.*, 1996)



รูปที่ 2.23 ความสัมพันธ์ระหว่างความดันและ
ระยะทางในการเข้าแทรกซึม

ที่มา : Nishida และคณะ (1996)

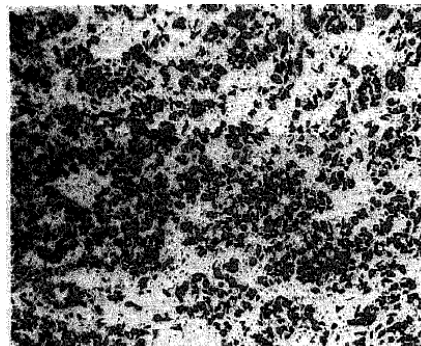


รูปที่ 2.24 โครงสร้างระดับจุลภาคของชิ้นงาน
วัสดุผสมเนื้อโลหะจากการเหวี่ยง

ที่มา : Nishida และคณะ (1996)

Xiandong และคณะ (1997) พบว่า ได้ทำการผลิตและศึกษาสมบัติของอนุภาคเสริมแรงของวัสดุ ผสมเนื้อโลหะ ซึ่งโลหะที่ใช้เป็นเนื้อหลักในการศึกษาการหล่อ มี 2 ชนิดคือ aluminum - silicon alloy (ZL-109) และ zinc - aluminium alloy (ZA-27) ส่วนอนุภาคที่ใช้สำหรับเสริมแรงคือ SiC, Si₃N₄, B₄C, Al₂O₃, graphic flakes โดยที่อะลูมิเนียมอัลลอยด์ก่อนหลอมเหลวจะถูกทำให้อุณหภูมิ เกินกว่าจุดเดือดของน้ำ (superheat) 100 °C และอนุภาคเสริมแรงก็จะถูกทำความสะอาดด้วยลามไส้ อุลตร้าโซนิก (ultrasonic) ในสารละลายอะเซตอีตอน (acetone) ด้วยอุณหภูมิ 900 °C เป็นเวลา 6 ชั่วโมง สำหรับ SiC, Si₃N₄, B₄C, Al₂O₃ และ 600 °C เป็นเวลา 6 ชั่วโมง สำหรับ graphic flakes ก่อนการทดลองหล่อโลหะ กระบวนการหล่อโลหะ ได้เลือกใช้ 2 วิธีคือการหล่อโลหะแบบเหวี่ยง สำหรับโลหะ ZL-109 และการกดอัดขึ้นรูปโลหะหลอมเหลวสำหรับโลหะ ZA-27 การหล่อโลหะ อะลูมิเนียมแบบเหวี่ยงจะเป็นแบบการหล่อเหวี่ยงในแนวแกนนอน ด้วยแม่พิมพ์ทรงกระบอก เส้นผ่าศูนย์กลางภายใน 100 mm และความยาว 150 mm อุณหภูมิโลหะในการเท 700 °C ใช้เวลาในการเท 4 วินาที ในส่วนของการกดอัดขึ้นรูปโลหะหลอมเหลว ใช้สภาวะอุณหภูมิเผาอุ่นแม่พิมพ์ 150 - 250 °C ความดันในการกดอัด 70 - 100 MPa ระยะเวลาในการคงตัวของความดันกดอัด 1 นาที นอกจากนี้ยังได้มีการทดสอบสมบัติของวัสดุผสมเนื้อโลหะที่ผลิตขึ้นได้ เช่น การทดสอบแรงต้าน

การเสียดสีและการทดสอบความสึกหรอ โดยเครื่อง Model MM-200 ด้วยงานเหล็กหมุนขัด เส้นผ่าศูนย์กลาง 46.8 mm โหลดน้ำหนัก 147 N ความเร็วในการหมุน 400 rpm ระยะทางในการ試驗 1.78 km สำหรับกรณีมีการหล่อลีนและ 597 m สำหรับกรณีไม่มีการหล่อลีน การทดสอบความแข็งแบบบริเนล โหลดน้ำหนัก 62.5 kg ขนาดเส้นผ่าศูนย์กลางหัวกด 2.5 mm ทดสอบด้วยเครื่อง HRC 60. การทดสอบตรวจโครงสร้างได้ใช้กล้องจุลทรรศน์อิเล็กตรอนแบบส่องกราด ชนิด S-550 จากผลการทดสอบจะเห็นได้ว่าอนุภาคที่เข้าไปเสริมแรงนั้นจะกระจายอยู่ทั่วๆ ไปตามผิวนี้ ชั้นนอกของวัสดุผสมเนื้อโลหะ ดังแสดงในรูปที่ 2.25 และสมบัติต่างๆ ของวัสดุผสมเนื้อโลหะที่ผ่านการเสริมแรงแล้วนั้นให้ผลที่ดีกว่าโลหะเนื้อหลักที่ไม่ได้รับการเสริมแรง เช่น ค่าสัมประสิทธิ์การขยายตัวออกของโลหะผสมจะมีค่าน้อยกว่าโลหะเนื้อหลักแบบธรรมชาติ



รูปที่ 2.25 การกระจายตัวของอนุภาคเสริมแรง B_4C ในโลหะเนื้อหลักด้วยวิธีการผลิตแบบการกดอัดขึ้นรูปโลหะหลอมเหลว

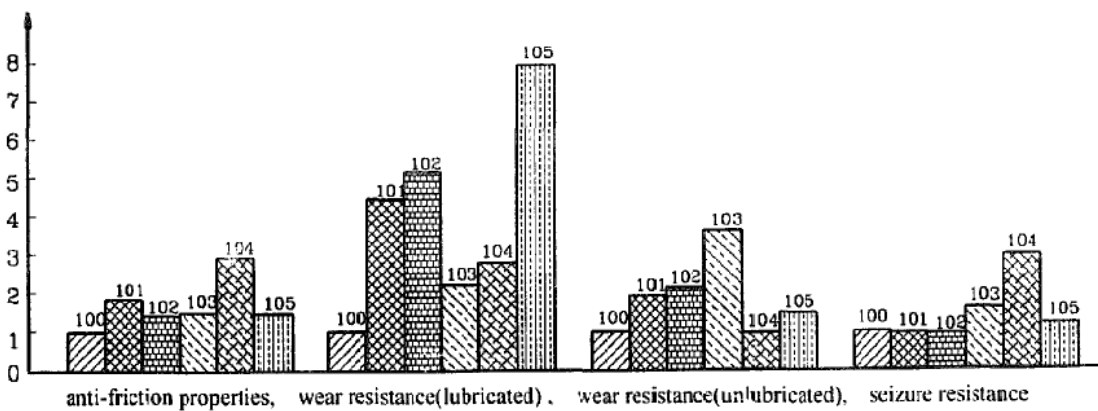
ที่มา : Xiandong และคณะ (1997)

ความแข็งและความยืดหยุ่นตัวในการดึงของวัสดุผสมเนื้อโลหะจะมีมากกว่าโลหะเนื้อหลักแบบธรรมชาติ เป็นต้น โดยเฉพาะ โลหะ ZA-27 ที่ได้รับการเสริมแรงด้วยอนุภาค B_4C จะเป็นวัสดุผสมเนื้อโลหะที่มีสมบัติที่ได้จากการทดสอบดีที่สุดเมื่อเทียบกับวัสดุผสมเนื้อโลหะที่ได้รับการเสริมแรงด้วยอนุภาคอิก 4 ชนิด ดังแสดงในตารางที่ 2.1 และรูปที่ 2.26 เช่น มีความแข็งมากที่สุดและมีความต้านทานความสึกหรอในสภาพการหล่อลีน ได้อย่างดีเยี่ยม ซึ่งความต้องการสมบัติต่างๆ นั้นขึ้นอยู่กับการเติมสารอนุภาคและสมบัติพื้นฐานของโลหะ (Xiandong *et al.*, 1997)

ตารางที่ 2.1 สมบัติทางกลของวัสดุผสมเนื้อโลหะ

No.	Material	Hardness (HB)	Tensile strength (MPa)	Elongation %	Density (g/cm ³)
100	ZA-27 unreinforced	116	410	8.5	5.01
101	ZA-27 10% (vol.) SiC (28 - 40 µm)	120	350	4.2	4.89
102	ZA-27 10% (vol.) Si ₃ N ₄ (20µm)	123	361	2.0	4.84
103	ZA-27 10% (vol.) Al ₂ O ₃ (40 µm)	116	347	3.5	4.68
104	ZA-27 10% (vol.) graphite (30 µm)	88	245	0.5	4.44
105	ZA-27 10% (vol.) B ₄ C (20 µm)	135			4.62
200	ZL-109 10% unreinforced	92			
201	ZL-109 30% (vol.) SiC (28 - 40 µm)	116			

ที่มา : Xiandong และคณะ (1997)

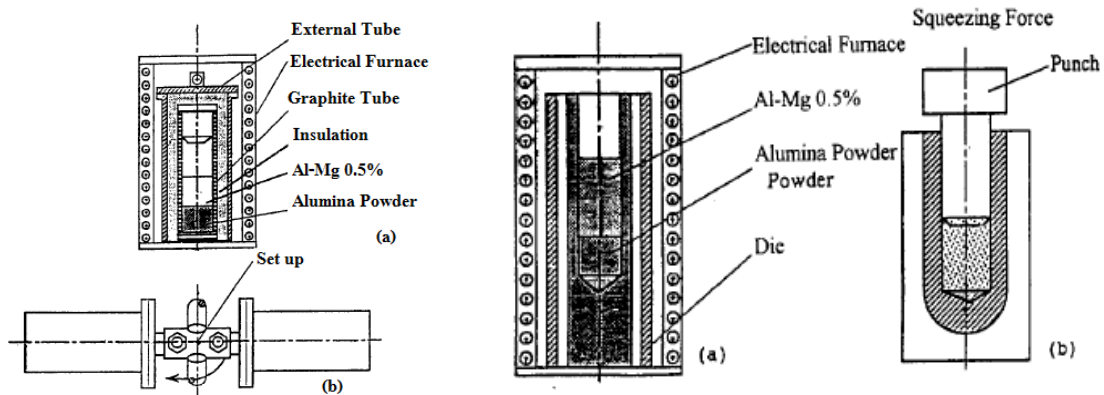


รูปที่ 2.26 การเปรียบเทียบความสัมพันธ์ 3 สมบัติของวัสดุผสมเนื้อโลหะที่มีโลหะชนิด ZA-27 เป็นเนื้อหลัก

ที่มา : Xiandong และคณะ (1997)

Taha และ El-Mahallawy (1998) พบว่าได้ทำการศึกษาวิธีการสร้างวัสดุผสมเนื้อโลหะด้วยการพัฒนาและประยุกต์ในการใช้ความดันของน้ำโลหะกับผงเซรามิก การประยุกต์ใช้ความดันเกิดขึ้นโดย 2 เทคนิคคือการหล่อโลหะแบบheavying และการกดอัดขึ้นรูปโลหะหลอมเหลว ดังแสดงในรูปที่ 2.27 และ 2.28 ตามลำดับ ทั้งสองวิธีถูกค้นพบในการทำให้อลูมิเนียมและอลูминินา ($Al-Al_2O_3$) เป็นวัสดุผสมเนื้อโลหะ ในที่นี้ได้ใช้ผงอลูминินา (Al_2O_3) ใส่เข้าไปในท่อและตามด้วยชิ้นอะลูมิเนียมให้เต็มท่อ โดยที่อะลูมิเนียมจะต้องถูกทำให้มีอุณหภูมิร้อนถึงจุดหลอมเหลวของอลูมิเนียม ให้เต็มท่อ โดยที่อะลูมิเนียมจะต้องถูกทำให้มีอุณหภูมิร้อนถึงจุดหลอมเหลวของอลูมิเนียม ให้เต็มท่อ โลหะแบบheavying ท่อจะถูกทำให้หมุนรอบๆ แกนซึ่งตั้งฉากกับท่อ และทำให้เกิดแรงหนีบ

เห็นได้ชัดว่า โลหะ ส่วนของวิธีการกดอัดขึ้นรูปโลหะหลอมเหลวจะใช้แรงบีบกับน้ำโลหะ ซึ่ง เมื่อกัดกับการใช้เครื่องดันด้วยความร้อน ของผสมจะเกิดรูปร่างโดยการแทรกซึมของน้ำโลหะ น้ำโลหะจะไหลผ่านรูพรุนของเซรามิกภายในได้แรงดังกล่าว การแทรกซึมของทั้ง 2 วิธี ถูกพบว่า ต่างกันแบบตรงกันข้าม



รูปที่ 2.27 แผนผังของ (a) หลักการของเทคนิค การหล่อโลหะแบบเที่ยง (b) การ ประกอบแม่พิมพ์

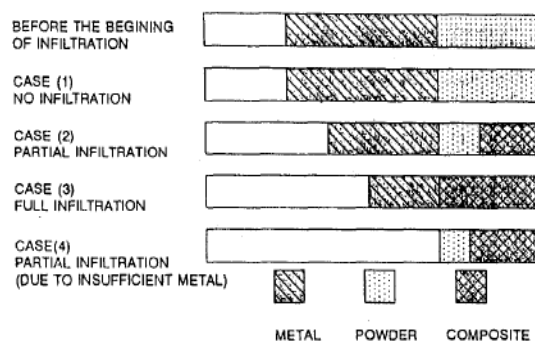
ที่มา : Taha และ El-Mahallawy (1998)

รูปที่ 2.28 แผนผังของ (a) หลักการของเทคนิค การหล่อโลหะแบบกดอัดขึ้นรูปโลหะ หลอมเหลว (b) การประกอบแม่พิมพ์

ที่มา : Taha และ El-Mahallawy (1998)

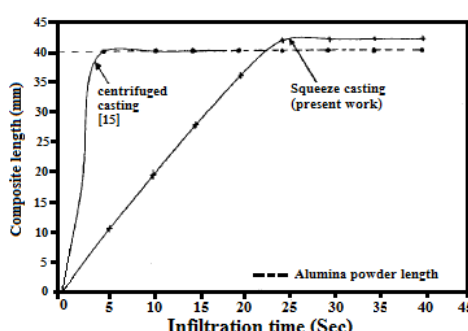
แต่อย่างไรก็ตาม 4 กรณีของการแทรกซึมที่นำมาได้ในทั้ง 2 วิธี นั้นแสดงในรูปที่ 2.29 มี 1. ไม่เกิด การแทรกซึมเลย เพราะว่าความดันที่ใช้นั้นต่ำกว่าความดันที่ทำให้ถอยกลับของผิวน้ำ 2. เกิดการ แทรกซึมไม่สมบูรณ์โดยยังเหลือทั้งโลหะและผงเซรามิก เพาะการใช้เวลาที่เริ่วเกินไป 3. เกิดการ แทรกซึมสมบูรณ์คือพอเหมาะสมทั้งการใช้น้ำโลหะและพอเหมาะสมในเวลา 4. แทรกซึมไม่สมบูรณ์คือใช้ น้ำโลหะไม่พอเหมาะสมในการแทรกซึม ทั้ง 2 วิธี แนะนำให้ไปดูในการประยุกต์และสภาพของ กระบวนการ ความแตกต่างของขนาดผงอะลูминินาในการใช้ประโยชน์กับอะลูมิเนียม และ Al – Si alloy ลักษณะโครงสร้างของวัสดุ กล่าวคือการกระจายตัวของอนุภาคทั้งของโลหะและเซรามิก จะต้องเข้ากันอย่างมั่นคง ให้ศึกษาเปรียบเทียบระหว่างโครงสร้างที่ได้มาของทั้ง 2 วิธี โดยค่า สัดส่วนของปริมาตรระหว่างอนุภาคของผงอะลูминินาควรอยู่ในช่วงระหว่าง 50 – 65% ผลการ ทดลองที่ได้คือขนาดผงอะลูминินาจะมีผลต่อระยะในการเข้าแทรกซึมของวัสดุผสานเนื้อโลหะคือหาก ขนาดผงอะลูминินาสูงมีขนาดเล็ก ความดันที่ใช้ในการเข้าแทรกซึมของวัสดุผสานเนื้อโลหะจะมีแนว โน้มที่สูงขึ้นตาม สำหรับวิธีหล่อโลหะแบบเที่ยง ความยาวและขนาดผงคือ 40 mm และ 47 μm

ตามลำดับ การเพิ่มความเร็วในการหมุนเหวี่ยงก็จะเป็นการเพิ่มความดันของการหมุนเหวี่ยง ซึ่งก็จะทำให้ระยำในการเข้าแทรกซึมของวัสดุผสมเนื้อโลหะเพิ่มขึ้น เช่นเดียวกัน แสดงในรูปที่ 2.30 โดยความดันที่ทำให้ระยำในการเข้าแทรกซึมของวัสดุผสมเนื้อโลหะเต็มที่มากที่สุดคือ 130 kPa สำหรับวิธีการกดอัดขึ้นรูปโลหะหลอมเหลว ความยาวคือ 40 mm ของทุกขนาดของอลูмин่า ความดันที่ทำให้ระยำในการเข้าแทรกซึมของวัสดุผสมเนื้อโลหะเต็มที่มากที่สุดเริ่มคือ 65, 90, 130 และ 180 kPa ของทุกขนาดของอลูмин่า ได้แก่ 80, 95, 115 μm (Taha and El-Mahallawy, 1998)



รูปที่ 2.29 ภาพร่างแสดงให้เห็นถึงความแตกต่างในการเข้าแทรกซึมของกรณีการหล่อโลหะแบบเหวี่ยง

ที่มา : Taha และ El-Mahallawy (1998)



รูปที่ 2.30 ระยะของวัสดุผสมเนื้อโลหะเปรียบเทียบกับเวลาในการเข้าแทรกซึมของทั้งสองกรณีการหล่อโลหะ

ที่มา : Taha และ El-Mahallawy (1998)

Pech-Canul และคณะ (2000) ได้ศึกษาหาสภาวะที่เหมาะสมของการแทรกซึมซิลิคอนคาร์ไบด์ อัดขึ้นรูปด้วยอะลูมิเนียมอัลลอยด์โดยกระบวนการแทรกซึมด้วยความดันต่ำ ซึ่งตัวแปรที่ต้องทำการตรวจสอบคือขนาดอนุภาคซิลิคอนคาร์ไบด์ ระยะเวลาการเข้าแทรกซึม ความสูงของซิลิคอน

การ์ไบค์อัดขึ้นรูป ร้อยละของซิลิคอนคาร์ไบด์ในชิ้นงานอัดขึ้นรูป การเคลือบสารซิลิคอนบนอนุภาคซิลิคอนคาร์ไบค์อัดขึ้นรูป จากสมการการหาค่าความดันที่น้อยที่สุดหรือค่าความดันเริ่มต้นที่ใช้สำหรับการแทรกซึม ไปในระหว่างช่องว่างของอนุภาคเซรามิกของเซรามิกอัดขึ้นรูปที่มีแรงต้านทานภายในระหว่างอนุภาคเซรามิก ที่สถานะค่าความตึงผิวน้ำหนักองศา โลหะ 375 mN/m ค่าสัมประสิทธิ์ของอนุภาคเซรามิก 0.5 พนว่าค่ามุมที่อนุภาคเซรามิกทำมุมกัน (θ) หาก $\theta > 90^\circ$ จะทำให้ผลของค่าความดันที่น้อยที่สุด ได้ผลเป็นลบ ซึ่งหมายความว่าความดันภายนอกมีความจำเป็นในการช่วยเหลือแทรกซึม ในอีกด้านหนึ่งหาก $\theta < 90^\circ$ จะทำให้ผลของค่าความดันที่น้อยที่สุด ได้ผลเป็นบวก ซึ่งหมายความว่าค่าความดันที่น้อยที่สุดมีความเป็นไปได้ในการแทรกซึมด้วยความดันต่ำนี้ จากผลการคำนวณทางทฤษฎีของทาเกชิ (Taguchi methods) สำหรับการออกแบบและดำเนินการที่ต้องการที่มีผลต่อสมบัติทางกลและโครงสร้างระดับจุลภาคดังที่กล่าวมาแล้ว ให้ผลดังตารางที่ 2.2

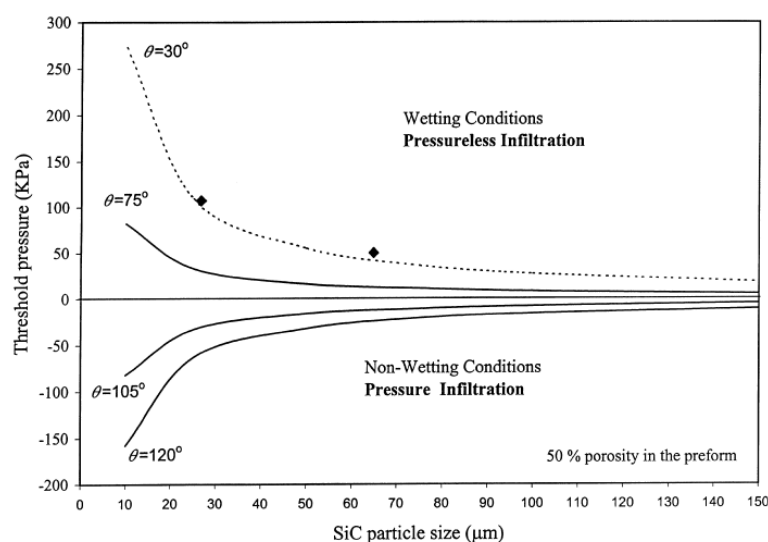
ตารางที่ 2.2 จากทฤษฎีของทาเกชิแสดงให้เห็นค่าตัวแปรที่สนใจ

No.	Infiltration time (min)	Particle size (mm)	1x2 ^a	Preform height (mm)	1x4 ^a	Preform Porosity (%)	SiC surface condition
1	45	65		32		50	Uncoated
2	45	65		44		60	Coated
3	45	25		32		60	Coated
4	45	25		44		50	Uncoated
5	60	65		32		50	Coated
6	60	65		44		60	Uncoated
7	60	25		32		60	Uncoated
8	60	25		44		50	Coated

ที่มา : Pech-Canul และคณะ (2000)

กรรมวิธีการผลิตซิลิคอนคาร์ไบค์อัดขึ้นรูปนั้นคือ ใช้ส่วนผสมของซิลิคอนคาร์ไบด์ที่มีขนาดอนุภาค $25 \mu\text{m}$ และ $65 \mu\text{m}$ ด้วยอัตรา 10% ผสมกับแป้งและสารเวกอิมัลชัน (wax emulsion) ด้วยอัตรา 5% ตักใส่แม่พิมพ์และอัดขึ้นรูปให้ได้กักษณะเป็นทรงกระบอกขนาดเส้นผ่าศูนย์กลาง 20 mm นำชิ้นงานอัดขึ้นรูปไปอบໄไปร์แป้งและสารเวกอิมัลชันให้หายไปที่อุณหภูมิ 225°C เป็นเวลามากกว่า 2

ช้าโ摩ง ในส่วนของกรรมวิธีการหล่อโลหะกึ่งนำชิ้นงานอัดขึ้นรูปใส่เข้าไปในท่อฉุมินาแนวอนที่มีขนาดเส้นผ่าศูนย์กลาง 6.5 cm จากนั้นนำไปเข้าสู่ระบบกระบวนการแทรกซึมด้วยความดันต่ำสถานะความดันสูญญากาศ 3.5×10^{-2} atm และให้ความร้อนชิ้นงานอัดขึ้นรูปซึ่งอยู่ในท่อฉุมินาให้บริสุทธิ์ด้วยก๊าซอะร์กอนอัตรา $15 \text{ }^{\circ}\text{Cmin}^{-1}$ จนถึงอุณหภูมิ $1,050 \text{ }^{\circ}\text{C}$ จากนั้นให้ความร้อนให้บริสุทธิ์มากยิ่งขึ้นด้วยก๊าซในโตรเจนด้วยอัตราเดjm/jnถึงอุณหภูมิ $1,235 \text{ }^{\circ}\text{C}$ คงสถานะไว้ 45 -60 นาที โดยอนุภาคได้ทำมุมกับ 31° และมีแรงตึงผิวน้ำระห่ำกว่าอนุภาค 375 mN/m ให้ผลค่าความดันที่น้อยที่สุด ดังรูปที่ 2.31 จากนั้นนำชิ้นงานวัสดุผสมเนื้อโลหะที่ผลิตได้มาตรวจและทดสอบสมบัติ เช่น การหาค่าความหนาแน่น การถ่ายด้วยกล้องจุลทรรศน์แบบแสงและกล้องจุลทรรศน์อิเล็กตรอน



รูปที่ 2.31 ค่าความดันที่น้อยที่สุดที่ใช้ในสภาพการเข้าแทรกซึมของงานในครั้งนี้
ที่มา : Pech-Canul และคณะ (2000)

แบบส่องกราด การวิเคราะห์ห้องค์ประกอบทางเคมีด้วยเครื่อง Energy Dispersive X-ray Analyzer (EDX) และการวิเคราะห์ห้าโครงสร้างผลึกของของแข็งด้วยเครื่อง X-Ray Diffraction (XRD) การหาโมดูลสภาวะยึดหยุ่น การหาโมดูลสภาวะแตกหัก ซึ่งให้ผลดังตัวอย่างตารางที่ 2.3 และ 2.4 ซึ่งแสดงให้เห็นถึงค่าที่มีความเหมาะสมของตัวแปรที่ได้ทำการสนใจและส่งผลทำให้ค่าสมบัติที่ทำการทดสอบมีค่าที่ดี (Pech-Canul *et al.*, 2000)

ตารางที่ 2.3 การวัดค่าสมบัติของวัสดุผสมเนื้อโลหะ ชนิด Al/SiC

Composite No.	Density (g/cm³)	Porosity (%)	E (GPa)^a	MOR (MPa)^a
1	2.79	5.4	226	183
2	2.75	3.9	162	184
3	2.75	3.9	164	157
4	2.73	7.5	165	251
5	2.85	2.1	235	193
6	2.67	7.9	185	190
7	2.82	2.8	206	298
8	2.83	2.8	232	219

* E คือ โมดูลัสการยึดหยุ่นและ MOR คือ โมดูลัสการแตกหัก

ที่มา : Pech-Canul และคณะ (2000)

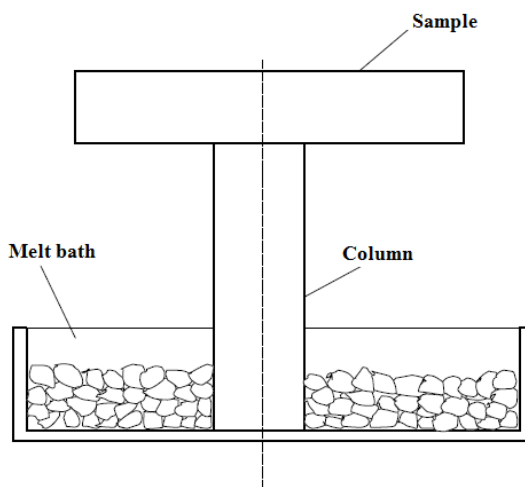
ตารางที่ 2.4 ค่าของตัวแปรที่มีความเหมาะสมในการที่ทำให้สมบัติโมดูลัสการยึดหยุ่นมีค่าที่ดี

Infiltration time (min)	60
SiC particle size (mm)	65
Preform height (mm)	32
Preform porosity (%)	50
SiC surface condition	Coated with a thin layer of Si metal

ที่มา : Pech-Canul และคณะ (2000)

Pan และคณะ (2003) เป็นงานวิจัยที่ศึกษาถึงโครงสร้างระดับจุลภาค (Microstructures) และสมบัติการแทรกซึมชิลิกอนคาร์บอน ไปด้วยขั้นรูปด้วยวิธีการแทรกซึมที่เกิดขึ้นเองโดยธรรมชาติ ของสารประกอบเหล็กชิลิกอน โดยที่สารประกอบเหล็กชิลิกอนที่ใช้ทดลองมี 3 ชนิดคือ Fe_3Si , Fe_5Si_3 และ $FeSi$ สารชิลิกอนคาร์บอน ไปด้วยชิลิกอนคาร์บอน ไปด้วยขั้นรูป คือ α -silicon carbide powder แบบ NF0/860 และ UF-15 ชิ้นตัวอย่างชิลิกอนคาร์บอน ไปด้วยขั้นรูป ถูกอัดจากเป็นผงให้เป็นรูปร่างเป็นจานวงกลม (เส้นผ่าศูนย์กลาง 45 mm ความหนา 5-6 mm) ด้วยแรงอัด 120 MPa การแทรกซึม

ซิลิคอนคาร์ไบด์อัดขึ้นรูปด้วยสารประกอบเหล็กซิลิคอนทั้ง 3 ชนิดทำในเตาเผา Astro furnace ด้วยอัตราความร้อนที่ $50 \text{ }^{\circ}\text{C min}^{-1}$ จนถึง $1,600 \text{ }^{\circ}\text{C}$ และคงอุณหภูมิไว้ 60 นาที แล้วปิดเครื่องปล่อยให้เย็นตัวในเตา โดยจัดให้เสากอลัมน์ตั้งอยู่ในอ่างที่มีก้อนเศษสารประกอบเหล็กซิลิโอนกระจายล้อมรอบและที่ปลายด้านบนของเสากอลัมน์วางซิลิคอนคาร์ไบด์อัดขึ้นรูป ดังแสดงในรูปที่ 2.32



รูปที่ 2.32 แผนผังของวิธีการแทรกซึมที่เกิดขึ้นเองโดยธรรมชาติ
ที่มา : Pan และคณะ (2003)

ผลการวิจัยที่ได้จากการส่องดูด้วยกล้องจุลทรรศน์แบบแสงและกล้องจุลทรรศน์อิเล็กตรอนแบบส่อง粒粒 คือ โครงสร้างระดับจุลภาคของซิลิคอนคาร์ไบด์ แบบ NF0/860 ที่ถูกแทรกซึมด้วย Fe_3Si พบร่วมกับกากคาร์บอนซึ่งมีสีดำไม่มีดีเกะต่อเนื่องกัน ส่วนของ Fe_3Si และ FeSi кар์บอนยึดเกาะต่อเนื่องกันและอนุภาคซิลิคอน (Silicon, Si) ที่กระจายตัวเป็นอย่างดี และสำหรับสมบัติทางกลแสดงในตารางที่ 2.5 ของทั้งความแข็งแบบวิกเกอร์ (Vickers) ความแข็งแรงในการหันต่อการดัดโค้ง และค่าไวนูลมอดูลัส (Weibull moduli) ของผสม $\text{SiC}/\text{Fe}_3\text{Si}$, $\text{SiC}/\text{Fe}_5\text{Si}_3$, SiC/FeSi ที่ได้จากวิธีการแทรกซึมที่เกิดขึ้นเองโดยธรรมชาติ มีดังนี้ SiC (NFO/860)/ Fe_3Si มีค่ากำลังในการรับแรงดัด (Flexure strength) และค่าไวนูลมอดูลัสต่ำที่สุด ส่วน SiC (NF0/860)/ Fe_5Si_3 และ SiC (NF0/860)/ FeSi มีค่าความแข็งระดับจุลภาคและค่าความแข็งแรงต่อการดัดโค้ง (Bending strength) สูงกว่า และค่าไวนูลมอดูลัสต่ำกว่าก้อนสารประกอบเหล็กซิลิคอนเพียงเล็กน้อยเป็นสิ่งที่ชี้แนะได้ว่าอนุภาคซิลิคอนคาร์ไบด์แข็งแรงขึ้นโดยได้รับผลกระทบจาก Fe_3Si_3 และ FeSi และสำหรับ SiC (UF-15)/ Fe_5Si_3 เป็นวัสดุที่แข็งที่สุดแต่มีค่าไวนูลมอดูลัสต่ำ ค่าความแข็งระดับจุลภาค (Microhardness) ของ SiC (NF0/860)/ Fe_5Si_3 และ SiC (NF0/860)/ FeSi และ SiC (UF-15)/ Fe_5Si_3 มีค่ามากกว่าค่าความแข็ง

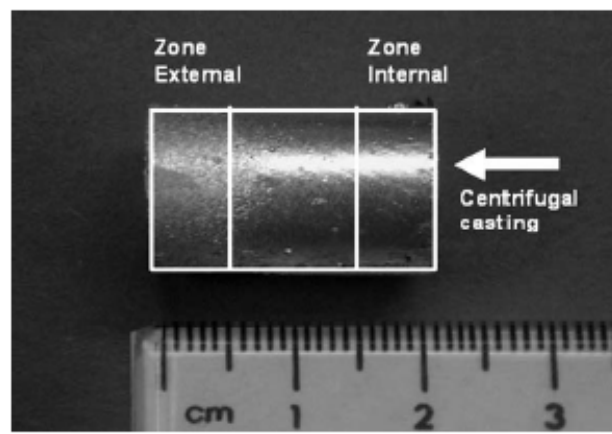
ระดับจุลภาคของแต่ละสารประกอบซิลิคอน แต่ในส่วนของ SiC (NF0/860)/Fe₃Si กลับไม่มีผลต่อความแข็งแรงดับจุลภาคเพรากการไม่รวมยึดติดกันของอนุภาคคาร์บอนที่เกิดขึ้นในวัสดุผสม (Pan *et al.*, 2003)

ตารางที่ 2.5 สมบัติทางกลของซิลิคอนคาร์ไบด์ที่ได้แทรกซึมด้วยซิลิคอน

Infiltrate	SiC	Vickers microhardness	Flexure strength (MPa)	Weibull modules
Fe ₃ Si	NFO/860	-	375	10
Fe ₅ Si ₃	NFO/860	1380	635	27
FeSi	NFO/860	1400	420	28
Fe ₅ Si ₃	UF-15	1550	610	14
Fe ₃ Si	Monolithic	700	410	25
Fe ₅ Si ₃	Monolithic	750	485	28
FeSi	Monolithic	850	280	20

ที่มา : Pan และคณะ (2003)

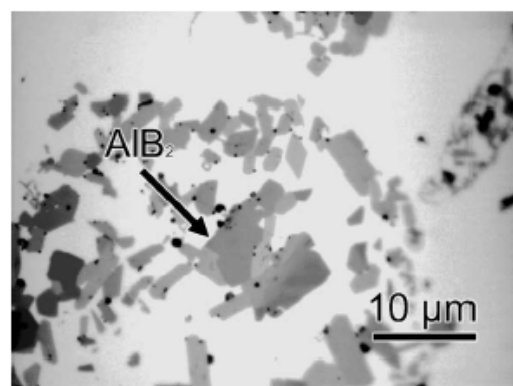
Duque และคณะ (2005) ได้ศึกษาการแบ่งชั้นตามหน้าที่ของวัสดุผสมเนื้ออะลูมิเนียมที่ได้ผลิตโดยวิธีการหล่อโลหะแบบหัวร้อน การผลิตซึ่งมีอะลูมิเนียมอัลลอยด์เป็นเนื้อหลัก และแบ่งชั้นตามวัสดุตามหน้าที่ด้วยกรรมวิธีการหล่อโลหะแบบหัวร้อนและเสริมแรงด้วยอนุภาค AlB₂ โดยสนิใจใน 3 กรณีของผสมการหล่อหัวร้อนซึ่งมีสปอร์ชบาร์รัฟเป็นตัวควบคุมการหมุนให้ไปข้างหน้ายังบริเวณที่รองรับ ซึ่งมีรูปร่างเป็นทรงกระบอกเส้นผ่าศูนย์กลาง 89.9 mm และความยาว 27 mm ในกระบวนการหล่อโลหะแบบหัวร้อนนี้ใช้ความเร็วในการหมุน 400 rpm อุณหภูมิโลหะเหลวในการเท 750 °C สุดท้ายจะได้ชิ้นงานวัสดุผสมเนื้อโลหะมีลักษณะเป็นทรงกระบอกขนาดเส้นผ่าศูนย์กลาง 1.6 cm ความยาว 2 cm การวัดความแข็งแบบรีคเวลด์ 15 W การวิเคราะห์โครงสร้างระดับจุลภาค และค่าสัดส่วนปริมาตรระหว่างอนุภาคและชิ้นงานเซรามิกจะเป็นตัวกำหนดการแทรกซึมของอนุภาคสังเกตได้จากการตัดขวาง โดยแบ่งเป็นบริเวณภายในอกซึ่งเกิดการแทรกซึมกลาญเป็นวัสดุผสมเนื้ออะลูมิเนียม และบริเวณภายนอกที่ไม่เกิดการแทรกซึม (การแข็งตัวจะค่อยๆ เริ่มจากบริเวณผิวนอกของชิ้นงานไปถึงภายในบริเวณตรงกลาง) ดังแสดงในรูปที่ 2.33 การวิเคราะห์โครงสร้าง



รูปที่ 2.33 ภาพถ่ายของชิ้นงานจากการหล่อโลหะแบบเหวี่ง ซึ่งแสดงให้เห็นบริเวณต่างๆ ตามทิศทางแนวยาว

ที่มา : Duque และคณะ (2005)

ระดับจุลภาค ได้ทำการศึกษาการกระจายตัวของการเสริมแรงในค่าสัดส่วนปริมาตรระหว่างอนุภาค และชิ้นงานเซรามิก ถ่ายโดยใช้กล้องจุลทรรศน์แบบแสง รุ่น Nikon Epiphot2 ดังแสดงในรูปที่ 2.34

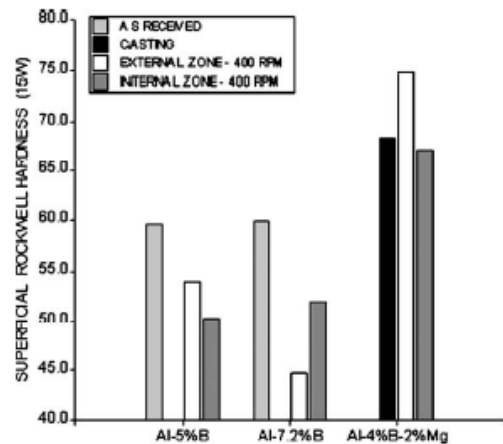


รูปที่ 2.34 ภาพโจรร่างระดับจุลภาคที่ได้จากการถ่ายด้วยกล้องจุลทรรศน์แบบแสงของวัสดุผสม Al-B เสริมแรงด้วย 5 wt.% B ของการหล่อโลหะแบบเหวี่ง

ที่มา : Duque และคณะ (2005)

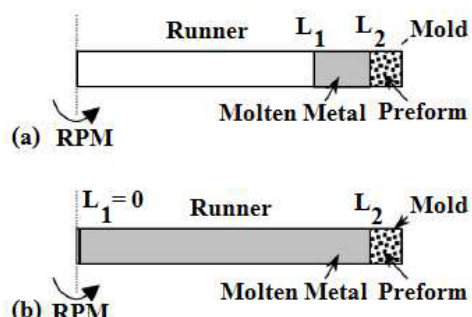
การศึกษาอัตราการกัดกร่อนของวัสดุผสมเนื้ออัลูมิเนียมด้วยสารละลายโซเดียมคลอไรด์ (NaCl) ความเข้มข้น 3.5% จากผลการทดสอบทั้งหมดพบว่าผลการทดลองหล่อโลหะแบบเหวี่ยงแสดงให้เห็นว่าที่บริเวณภายนอกจะมีค่าสัดส่วนปริมาตรระหว่างอนุภาคและชิ้นงานเซรามิกดีกว่า (ค่าร้อย

และความพรุนของชิ้นงานน้อย) และมีค่าความแข็งแบบรือคเวลด์มากกว่าที่บริเวณภายในของชิ้นงานดังแสดงในรูปที่ 2.35 อะลูมิเนียมที่เป็นเนื้อหลักจะมีอัตราการกัดกร่อนมากกว่าของวัสดุผสมเนื้ออะลูมิเนียมที่ได้จากการหล่อโลหะแบบเหวี่ยง (Duque *et al.*, 2005)



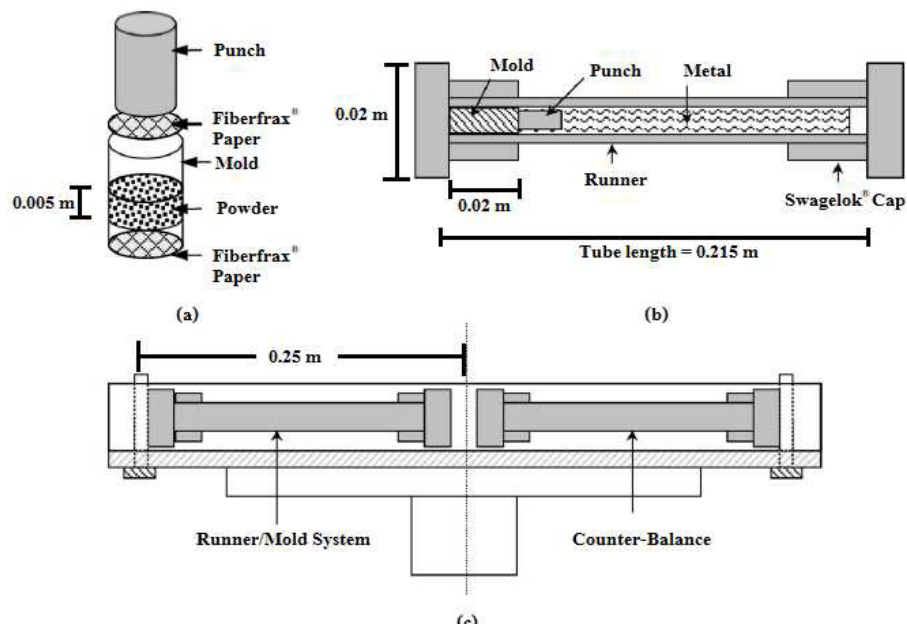
รูปที่ 2.35 การวัดความแข็งแบบรือคเวลด์ 15 W บนรูปแบบแนวขวาง
ที่มา : Duque และคณะ (2005)

Wannasin และ Flemings (2005) ได้เสนอสิ่งประดิษฐ์ที่มีวิธีการทำให้เกิดวัสดุผสมเนื้อโลหะโดยใช้วิธีการหล่อโลหะแบบเหวี่ยงด้วยความดันสูงซึ่งมีความแตกต่างจากวิธีการหล่อโลหะแบบเหวี่ยงธรรมดาก็อวิธีการหล่อโลหะแบบเหวี่ยงด้วยความดันสูงปริมาณน้ำโลหะที่เติมในการหล่อจะเติมทั้งที่ชินส่วนแม่พิมพ์และชินส่วนท่อทางวิงน้ำโลหะซึ่งปริมาณน้ำโลหะนี้จะมากกว่าวิธีการหล่อโลหะแบบเหวี่ยงธรรมด้า แสดงในรูปที่ 2.36



รูปที่ 2.36 ภาพวาดแผนผังของ (a) กระบวนการหล่อโลหะแบบเหวี่ยงธรรมด้า (b) กระบวนการหล่อโลหะแบบเหวี่ยงด้วยความดันสูง
ที่มา : Wannasin และ Flemings (2005)

และวัสดุผสมเนื้อโลหะที่ว่านี้ก็จะเป็นการใช้โลหะเป็นวัสดุหลักแต่มีวัสดุอื่นมาช่วยเสริมสิ่งประดิษฐ์ชนิดนี้ประกอบไปด้วยส่วนของแม่พิมพ์หล่อโลหะและส่วนของท่อทางวิ่งน้ำโลหะ ซึ่งปลายด้านหนึ่งของท่อทางเดินน้ำโลหะจะติดกับที่ร่องรับน้ำโลหะส่วนอีกปลายติดกับแม่พิมพ์ภายในแม่พิมพ์จะมีเส้นใยเซรามิกพรุน เมื่อแม่พิมพ์หล่อโลหะเริ่มเกิดการหมุนรอบแกนหมุนน้ำโลหะที่อยู่ในที่ชิ้นส่วนรองรับน้ำโลหะก็จะถูกเหวี่ยงหนีศูนย์ให้เข้าสู่ในส่วนของแม่พิมพ์ด้วยความดันระดับหนึ่ง แสดงในรูปที่ 2.37



รูปที่ 2.37 แผนผังของ (a) ชิ้นงานเซรามิกอัดขึ้นรูปและแม่พิมพ์ (b) ระบบท่อทางวิ่งน้ำโลหะและแม่พิมพ์ (c) ระบบการหล่อโลหะแบบเหวี่ยง

ที่มา : Wannasin และ Flemings (2005)

ความดันน้ำจะต้องคงที่ตลอดไม่ว่าในขณะที่เซรามิกเกิดการแทรกซึมกับน้ำโลหะหรือหลังจากที่เกิดการแทรกซึมแล้ว แม่พิมพ์หล่อโลหะจะอยู่ภายใต้แรงกดที่ต้องมีประดิษฐ์อยู่ในแม่พิมพ์ที่ใส่เพิ่มเข้าไปเพื่อรักษาความดันให้คงที่ กระบวนการทำงานนี้จะต้องมีประดิษฐ์อยู่ในแม่พิมพ์ที่ใส่เพิ่มเข้าไปเพื่อรักษาความดันให้คงที่ เวลาและความดันที่เหมาะสม ประดิษฐ์จะต้องมีกลไกที่ค่อยเปิด-ปิดสามารถที่จะทำปฏิกิริยาโดยตอบสนองกับน้ำโลหะได้ โดยควบคุมการเปิดและปิดด้วยการหมุนรอบของแม่พิมพ์ที่ความดันที่พอเหมาะสม ประดิษฐ์จะประกอบไปด้วยสลักกรูพรุนที่มีลักษณะเฉพาะในการรับความดันที่แทรกซึม คือเมื่อได้รับความดันที่เหมาะสมน้ำโลหะก็จะไหลผ่านสลักกรูพรุนเพื่อเคลื่อนที่เข้าสู่แม่พิมพ์ และเมื่อน้ำโลหะไหลเข้าสู่แม่พิมพ์ก็จะเกิดการแทรกซึมกับเซรามิก ทำให้โลหะที่มี

เซรามิกเป็นตัวช่วยเสริมสมบัติให้ดีขึ้น ในการทดลองจะมีวิธีการและผลการคำนวณความดันของน้ำโลหะที่เกิดในชิ้นส่วนท่อทั้งวิ่งน้ำโลหะและค่าความดันเริ่มต้น (Threshold pressure, P_{th}) ที่ใช้ในการแทรกซึมเข้าไปในระหว่างช่องของอนุภาคผงเซรามิก ผงเซรามิกที่ใช้ในการทดลองคือซิลิโคนคาร์ไบด์ขนาด $24 \mu\text{m}$ และอะลูมินาขนาด 300 nm โลหะที่ใช้ในการทดลองคือดีบุก (Tin) การเพิ่มความเร็วในการหมุนเหวี่ยงก็จะเป็นการเพิ่มความดันของของน้ำโลหะที่เกิดในชิ้นส่วนท่อทั้งวิ่งน้ำโลหะเช่นเดียวกัน โดยความเร็วในการหมุนเหวี่ยงสูงสุดและต่ำสุดคือ $2,700 \text{ rpm}$ และ 603 rpm ซึ่งทำให้เกิดความดันของน้ำโลหะที่เกิดในชิ้นส่วนท่อทั้งวิ่งน้ำโลหะที่มีค่าสูงสุดและต่ำสุดคือ 0.73 MPa และ 15 MPa ตามลำดับ แสดงในตารางที่ 2.6 ในส่วนของค่าความดันเริ่มต้นที่ใช้ในการแทรกซึมเข้าไปในระหว่างช่องของอนุภาคผงเซรามิก ที่ได้จากการคำนวณและที่เกิดขึ้นจริงในการทดลองก็มีค่าใกล้เคียงกันซึ่งเป็นไปสมมุตฐานและความเป็นจริง (Wannasin and Flemings, 2005)

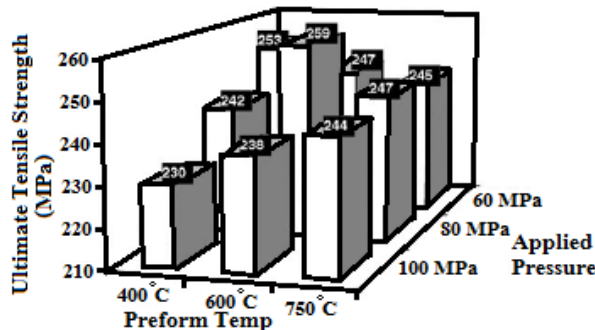
ตารางที่ 2.6 ค่าความดันเริ่มต้นสำหรับการแทรกซึมจากการทดลองและการคำนวณ

Sample	D (μm)	V_p	Calculated P_{th} (MPa)	Experimental P_{th} (MPa)
S24	19.49	0.56	0.59	1.05
T2	1.7	0.59	7.69	6.50
A1d	0.9	0.48	9.32	9.65
A03d	0.58	0.41	10.89	9.58

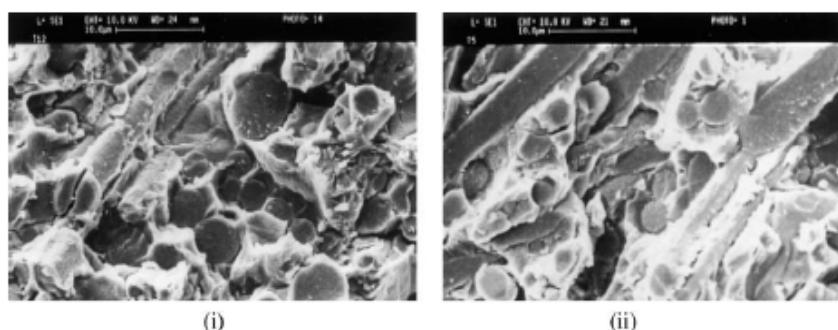
ที่มา : Wannasin และ Flemings (2005)

Yong และ Clegg (2005) ได้ค้นคว้าหาระบวนการที่เหมาะสมสำหรับเทคนิควิธีการกดอัดขึ้นรูปโลหะหลอมเหลว เพื่อสร้างแมกนีเซียมอัลลอยด์ให้เป็นวัสดุผสมเนื้อโลหะ โดยใช้ เส้นไขชาฟลัด (Safill) เป็นตัวเสริม ความดันที่เริ่มใช้จะเริ่มจาก 0.1 MPa ไปจนถึง 120 MPa และอุณหภูมิที่เริ่มจาก 250°C ไปจนถึง 750°C ซึ่งจากการทดลองทำให้พบว่า ความดันที่เหมาะสมต่อการใช้งานประมาณ 80 MPa และอุณหภูมิที่เหมาะสมเพื่อให้เกิดการแทรกซึมมีค่าประมาณ 600°C นอกจากนี้ยังได้นำเสนอ การทดสอบสมบัติที่ได้จากชิ้นงานโดยใช้วิธีทดสอบต่างๆ เช่น การทดสอบความแข็ง การทดสอบด้วยแรงดึง แสดงในรูปที่ 2.32 การตรวจสอบคุณภาพของโลหะที่ทำ

การทดสอบแล้วด้วยกล้องจุลทรรศน์เพื่อคุณภาพเข้าไปแทรกซึมของเส้นใยในเนื้อโลหะผสม แสดงในรูปที่ 2.38 (Yong and Clegg, 2005)



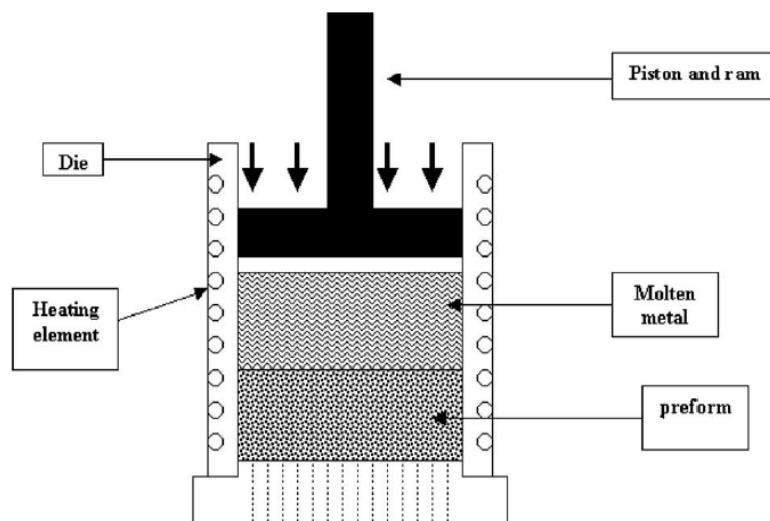
รูปที่ 2.38 ค่าความแข็งแรงในการดึงสูงสุดสำหรับวัสดุผสมเนื้อโลหะชนิด RZ5DF-14 vol.% Saffil ของแต่ละค่าความดันและอุณหภูมิของเซรามิกอัดขึ้นรูป
ที่มา : Yong และ Clegg (2005)



รูปที่ 2.39 ภาพที่ได้จากการถ่ายด้วยกล้องจุลทรรศน์อิเล็กตรอนแบบส่องการดูของผิวน้ำวัสดุผสมเนื้อโลหะชนิด RZ5DF-14 vol.% Saffil ที่กรณิอุณหภูมิเซรามิกอัดขึ้นรูป
(i) 400 °C (ii) 600°C ตามลำดับ
ที่มา : Yong และ Clegg (2005)

Seyed Reihani (2006) ได้ศึกษากระบวนการก่ออัดขึ้นรูปโลหะหลอมเหลวและลักษณะเฉพาะของวัสดุผสมเนื้อโลหะชนิดโลหะอะลูมิเนียม เกรด 6061 ที่ใช้เป็นเนื้อหลัก และอนุภาคที่ใช้สำหรับเสริมแรงคือซิลิโคนคาร์บีบีด ซึ่งมีค่าเฉลี่ยขนาดอนุภาค $16 \text{ } \mu\text{m}$ และ $22 \text{ } \mu\text{m}$ ค่าสัดส่วนปริมาตรระหว่างอนุภาคและชิ้นงานเซรามิก 30% โดยที่ซิลิโคนคาร์บีบีดอัดขึ้นรูป ถูกผลิตโดยการผสมสารอนุภาคซิลิโคนคาร์บีบีดและโคลอไซดิลิเก้ (colloidal silica) กระบวนการหล่อโลหะจะเริ่มจาก การเติมซิลิโคนคาร์บีบีดอัดขึ้นรูปเข้าใส่แม่พิมพ์ ซึ่งมีความสูง 20 mm และขนาดเส้นผ่าศูนย์กลาง

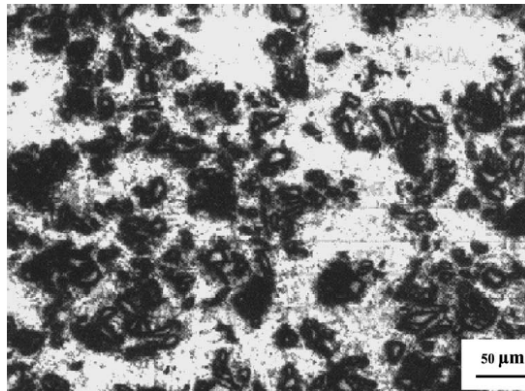
100 mm ชิลิคอนคาร์บไบด์อัดขึ้นรูปจะถูกอบให้ความร้อนที่อุณหภูมิ 120 °C เป็นเวลา 24 ชั่วโมง ต่อมาจะถูกอบพนักที่อุณหภูมิ 1,000 °C เป็นเวลา 4 ชั่วโมง ทำให้ชิ้นงานชิลิคอนคาร์บไบด์อัดขึ้นรูป มีค่าสัดส่วนปริมาตรระหว่างอนุภาคและชิ้นงานเซรามิก 30% และความพรุน 70% ของปริมาตร จากนั้นทั้งแม่พิมพ์และชิลิคอนคาร์บไบด์อัดขึ้นรูปจะถูกเผาอุ่นให้ความร้อนที่อุณหภูมิ 300 °C โดยอะลูมิเนียม เกรด 6061 ที่หลอมเหลวแล้วถูกเทเข้าแม่พิมพ์ที่อุณหภูมิ 800 °C จากนั้นจะถูกกดอัดขึ้นรูปด้วยความดัน 100 MPa โดยเครื่องอัดตัวอย่างไฮดรอลิกส์ โดยอะลูมิเนียม เกรด 6061 เหลว จะเข้าทำการแทรกซึมและแข็งตัวในชิลิคอนคาร์บไบด์อัดขึ้นรูป ต่อมาจะถูกอบให้ความร้อนที่อุณหภูมิ 530 °C เป็นเวลา 3 ชั่วโมง เพื่อให้กล้ายเป็นเนื้อดียวกัน แสดงในรูปที่ 2.40 หลังจากนั้นจะนำวัสดุ ผสมเนื้อโลหะมาทำการทดสอบสมบัติของวัสดุผสมเนื้อโลหะที่ผลิตขึ้นได้ เช่น การทดสอบความ



รูปที่ 2.40 แผนภาพการทำงานของเครื่องมือกระบวนการรากอัดขึ้นรูปโลหะหลอมเหลว
ที่มา : Seyed Reihani (2006)

แข็งแบบบริเนล์โหลดน้ำหนัก 15 kg และ 30 kg ขนาดเส้นผ่าศูนย์กลางหัวกด 2.5 mm การทดสอบ ความสึกหรอ ซึ่งจะมี 2 แบบ คือการขัดลีกความสึกหรอ (abrasive wear) ด้วยผงทราย โดยเครื่อง ASTM G65 สภาพะโหลดน้ำหนัก 150 N ความเร็วในการหมุน 2000 rpm อัตราไฟลของผงทราย 350 gmin⁻¹ และการทดสอบความสึกหรอแบบเคลื่อนที่กลับไปกลับมา (reciprocating wear) ด้วย สภาพะโหลดน้ำหนัก 10 kg อัตราการสไลด์ 17 cms⁻¹ การทดสอบตรวจโครงสร้างได้ใช้กล้อง จุลทรรศน์อิเล็กตรอนแบบส่องรากและกล้องจุลทรรศน์แบบแสง จากผลการทดสอบเห็นได้ว่า โลหะอะลูมิเนียม เกรด 6061 ที่หลอมเหลวสามารถแทรกซึมเข้าระหว่างอนุภาคชิลิคอนคาร์บ

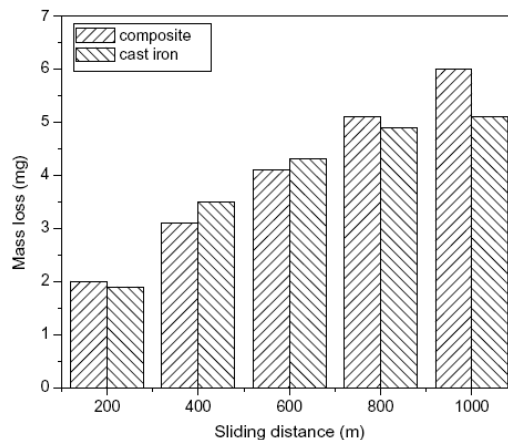
ไบค์ไดดีและอนุภาคซิลิโคนคาร์ไบค์ไดดีจะมีส่วนช่วยการเพิ่มปริมาตร ลดรูพรุน และการรวมตัวกันของอนุภาคซิลิโคนคาร์ไบค์ไดดี ดังแสดงในรูปที่ 2.41



รูปที่ 2.41 ภาพโกรงสร้างระดับจุลภาคของวัสดุผสมเนื้ออัลูมิเนียม เกรด 6061 และเสริมแรงด้วยซิลิโคนคาร์ไบค์ ค่าสัดส่วนปริมาตรระหว่างอนุภาคและชิ้นงานเซรามิก 30% ซึ่งถูกผลิตด้วยวิธีกระบวนการการกดอัดขึ้นรูปโดยหลอมเหลว

ที่มา : Seyed Reihani (2006)

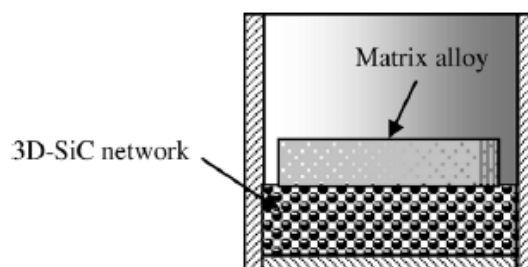
(บริเวณที่เป็นสีดำคืออนุภาคซิลิโคนคาร์ไบค์) ในส่วนของสมบัติทางกลให้ผลดังต่อไปนี้ วัสดุผสมเนื้อโลหะมีค่าความแข็งมากกว่าโลหะอะลูมิเนียม เกรด 6061 ที่เป็นเนื้อหลัก วัสดุผสมเนื้อโลหะมีค่าโมดูลส่วนยืดหยุ่นเพิ่มขึ้นจาก 70 MPa เป็น 83 MPa ด้วยการเพิ่มซิลิโคนคาร์ไบค์ ซึ่งมีค่าสัดส่วนปริมาตรระหว่างอนุภาคและชิ้นงานเซรามิก 30% ค่าเฉลี่ยขนาดอนุภาค 22 μm ค่ากำลังครากเพิ่มขึ้นจาก 110 MPa เป็น 144 MPa ค่าความแข็งแรงดึงสูงสุดเพิ่มขึ้นจาก 172 MPa เป็น 194 MPa ตามลำดับ ค่ามวลที่หายไปจากการทดสอบความสึกหรอของวัสดุผสมเนื้ออัลูมิเนียม เกรด 6061 และเสริมแรงด้วยซิลิโคนคาร์ไบค์จะมีค่าน้อยกว่าเมื่อเทียบกับเหล็กหล่อเทาประเภท pearlitic cast iron และแสดงในรูปที่ 2.42 (Seyed Reihani, 2006)



รูปที่ 2.42 ค่ามวลที่หายไปจากการทดสอบความสึกหรอแบบเคลื่อนที่กลับไปกลับมาของวัสดุผสมเนื้ออัลูมิเนียม เกรด 6061 เสริมแรงดึงด้วยซิลิโคนคาร์บไบด์และเหล็กหล่อเทาประเทตpearlitic cast iron เทียบกับระยะทางในการสไลด์ด้วยสภาพ荷载น้ำหนัก 10 kg อัตราการสไลด์ 17 cms^{-1}

ที่มา : Seyed Reihani (2006)

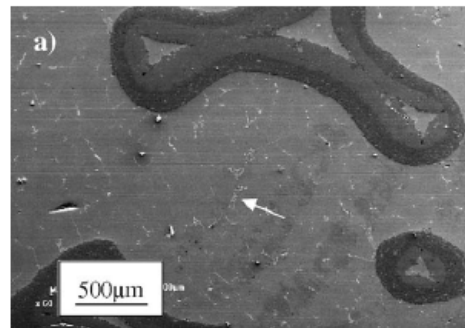
Chen และคณะ (2006) คิดค้นวัสดุผสมเนื้อโลหะที่เสริมแรงดึงด้วยโครงข่ายซิลิโคนคาร์บไบด์สามมิติโดยวิธีการแทรกซึมด้วยความดันต่ำ กระบวนการคือจัดโครงข่ายซิลิโคนคาร์บไบด์สามมิติไว้ที่ก้นภาชนะและนำก้อนอัลูมิเนียมอัลลอยด์ให้เป็นเนื้อหลัก (Al matrix alloy) วางไว้ด้านบนเข้าเดาเพาสูญญาการที่อุณหภูมิ $1,360^\circ\text{C}$ ความดันมากกว่า $5 \times 10^3 \text{ Pa}$ ก้อนอัลลอยด์ที่เป็นเนื้อหลักจะถูกหลอมที่อุณหภูมิ 900°C และให้ค้างที่อุณหภูมิไว้ 30 นาที ปล่อยให้เย็นตัวลงที่อุณหภูมิห้องแสดงในรูปที่ 2.43 สำหรับโครงข่ายซิลิโคนคาร์บไบด์สามมิติมีขนาด $20 \text{ mm} \times 10 \text{ mm} \times 10 \text{ mm}$



รูปที่ 2.43 ภาพแผนผังเครื่องมือของวิธีการแทรกซึมโดยความดันต่ำ
ที่มา : Chen และคณะ (2006)

และชูนเคลือบด้วยนิกเกิล ผลการทดลองได้เปรียบเทียบกับโครงข่ายซิลิโคนคาร์บไบด์สามมิติที่ไม่

ได้ชุบเคลือบนิกเกิล (Nickel, Ni) ผลคือโครงข่ายซิลิคอนคาร์ไบด์ที่ชุบเคลือบนิกเกิลเกิดเป็นวัสดุผสมเนื้อโลหะ ส่วนที่ไม่ชุบนิกเกิลไม่เกิดเป็นวัสดุผสมเนื้อโลหะ ที่ชั้นในปฏิกริยาขังคงเหลือเศษซิลิคอนและเกิดมีรอยแตก (ในระหว่างปฏิกริยาโครงข่ายซิลิคอนคาร์ไบด์สามมิติ เกิดหดตัว ความเก็บเม็ดมากกว่าความแข็งทำให้โครงข่ายซิลิคอนคาร์ไบด์เกิดรอยแตกขึ้น) คาดว่าจะเกิดในช่วงการผสม ซึ่งปฏิกริยาระหว่างก้อนอัลลอยด์ที่เป็นเนื้อหลักและซิลิคอนคาร์ไบด์สามมิติส่วนใหญ่ประกอบด้วยซิลิคอนและอะลูมิเนียม โดยที่ไม่พบชั้นนิกเกิลเคลือบอยู่ เพราะชั้นนิกเกิลเคลือบที่เป็นตัวช่วยในการกระบวนการแทรกซึมจะถลอกตัวในน้ำอะลูมิเนียมระหว่างการเกิดปฏิกริยาซิลิคอนคาร์ไบด์และอะลูมิเนียม จากการส่องดูกล้องจุลทรรศน์อิเล็กตรอนแบบส่อง粒จะพบบริเวณอะลูมิเนียมและนิกเกิลส่วนยูเทกติก (Al-Ni eutectic) ในอะลูมิเนียมเนื้อหลัก แสดงในรูปที่ 2.44



รูปที่ 2.44 ภาพถ่ายด้วยกล้องจุลทรรศน์อิเล็กตรอนแบบส่อง粒ของรูปแบบวัสดุผสมเนื้ออะลูมิเนียมที่เสริมแรงด้วยโครงข่ายซิลิคอนคาร์ไบด์ 3 มิติ แสดงรูปแบบอะลูมิเนียมและนิกเกิลส่วนยูเทกติกในเนื้อหลัก

ที่มา : Chen และคณะ (2006)

จากการผลการศึกษางานวิจัยที่เกี่ยวข้องพบว่า การที่จะทำการผลิตวัสดุผสมเนื้อโลหะนั้นมีหลายวิธี ซึ่งก็ตรงกับเนื้อหาในหัวข้อ 2.2 วิธีหลักๆ ในการผลิตวัสดุผสมเนื้อโลหะ เช่น การหล่อโลหะแบบหัวรียง การกดอัดขึ้นรูปโลหะหลอมเหลว การแทรกซึมด้วยความดันต่ำ การแทรกซึมที่เกิดขึ้นเอง โดยธรรมชาติ และวัสดุผสมเนื้อโลหะที่ผลิตได้ก็มีหลายชนิด เช่น Al/Al₂O₃, Mg/Safill, Al/AIB₂, Al/SiC โดยเฉพาะวัสดุผสมเนื้อโลหะชนิด Al/SiC นั้นเป็นวัสดุผสมเนื้อโลหะชนิดเดียวกันกับงานวิจัยครั้งนี้ แต่อาจจะต่างกันที่วิธีการผลิต ผลการทดลอง สมบัติของวัสดุผสมเนื้อโลหะที่ผลิตได้ อีกทั้งงานวิจัยที่เกี่ยวข้องที่ทำการศึกษานั้นยังแสดงถึงวิธีการทดสอบและการทดสอบสมบัติของวัสดุผสมเนื้อโลหะที่ผลิตได้อีกด้วย เช่น การทดสอบแรงด้านการเสียดสี การทดสอบความสึกหรอ การทดสอบความแข็งทั้งแบบบรินเดล แบบรือคเวลด์ และแบบวิกเกอร์ ความแข็งแรงในการทน

ต่อการดัดโค้ง ค่าไวนูลมอคูลี ค่าโนมคูลัสความยืดหยุ่น ความหนาแน่น การตรวจโครงสร้างด้วยกล้องจุลทรรศน์ทั้งแบบอิเล็กตรอนแบบส่องกราดและจุลทรรศน์แบบแสง จากผลการศึกษางานวิจัยที่เกี่ยวข้องทำให้ทางผู้วิจัยมีข้อมูลเนื้อหาและทราบถึงผลกระทบ ตัวแปรที่มากเพียงพอ ที่อาจส่งผลต่อแนวทางในการพัฒนาระบบการหล่อโลหะแบบเหวี่ยงด้วยความดันสูงสำหรับการแทรกซึมโดยการใช้เซรามิกซิลิโคนคาร์บอนเป็นวัสดุเสริมแรงและโลหะอะลูมิเนียม เกรด A356 เป็นเนื้อหลัก เพื่อผลิตวัสดุผสมเนื้ออะลูมิเนียมได้จริง สมบัติที่ทำการทดสอบมีผลที่ดีขึ้นเมื่อเทียบกับโลหะเนื้อหลัก (Chen *et al.*, 2006)

บทที่ 3

การวิเคราะห์และผลการคำนวณค่าต่างๆ ที่มีผลต่อการผลิตวัสดุพสมเนื้ออะลูมิเนียมและออกแบบชุดระบบการหล่อเหลวเพื่อความดันสูง

ในการวิจัยครั้งนี้มีแนวคิดที่จะพัฒนาระบบการหล่อโลหะแบบเหลวเพื่อความดันสูงสำหรับการแทรกซึม โดยการใช้โดยการใช้เซรามิกซิลิโคนคาร์บอนเป็นวัสดุเสริมแรงและโลหะอะลูมิเนียมเป็นเนื้อหลัก เพื่อผลิตวัสดุพสมเนื้ออะลูมิเนียมที่ได้จากการเปลี่ยนค่าตัวแปร ซึ่งจะต้องมีการคำนวณค่าต่างๆ ที่เกี่ยวข้องกับงานวิจัยครั้งนี้ทั้งทางตรงและทางอ้อม เช่น การออกแบบชุดระบบการหล่อเหลวเพื่อความดันสูง ค่าความดันน้ำโลหะ ซึ่งมีตัวอย่างผลการคำนวณค่าต่างๆ ดังนี้

3.1 การวิเคราะห์และออกแบบชุดระบบการหล่อเหลวเพื่อความดันสูง

จากที่ได้กล่าวมาในบทที่ 2 เรื่องทฤษฎีและเนื้อหาที่เกี่ยวกับชุดระบบการหล่อเหลวเพื่อความดันสูงของเครื่องหล่อโลหะแบบเหลวเพื่อความดันสูง โดยคำนึงถึงทฤษฎีเรื่องการออกแบบเครื่องจักรและค่าที่มีผลต่อการทดลองวิจัยเป็นหลัก ซึ่งผลการคำนวณค่าที่มีผลต่อการออกแบบชุดระบบการหล่อเหลวเพื่อความดันสูงและการทดลองวิจัยหล่อโลหะแบบเหลวเพื่อความดันสูงเพื่อผลิตวัสดุพสมเนื้ออะลูมิเนียม มีดังต่อไปนี้

3.1.1 ค่าความดันของน้ำโลหะที่เกิดขึ้นในชิ้นส่วนท่อทั้งวิ่งน้ำโลหะ

ค่าความดันของน้ำโลหะที่เกิดขึ้นในชิ้นส่วนท่อทั้งวิ่งน้ำโลหะคือความดันของน้ำโลหะอะลูมิเนียมเหลวที่ได้จากการหมุนเหลวเพื่อความเร็วสูง ซึ่งเกิดในชิ้นส่วนท่อทั้งวิ่งน้ำโลหะ ค่าความดันของน้ำโลหะอะลูมิเนียมเหลวนี้จะมีผลอย่างมากต่อการผลิตวัสดุพสมเนื้ออะลูมิเนียม หากมีค่ามากเพียงพอน้ำโลหะอะลูมิเนียมเหลวจะสามารถเข้าแทรกซึมในช่องว่างระหว่างอนุภาคเซรามิกของชิ้นงานเซรามิกอัดขึ้นรูป ก่อให้เกิดชิ้นงานวัสดุพสมเนื้ออะลูมิเนียม คำนวณหาค่าได้จากสมการที่ 2.1 ของบทที่ 2

ตัวอย่างผลการคำนวณหาค่าความดันของน้ำโลหะอะลูมิเนียมเหลวที่เกิดในชิ้นส่วนท่อทางวิ่งน้ำโลหะ โดยที่ $\rho_{Al} = 2,670 \frac{kg}{m^3}$, $L_2 = L_r = 300 \text{ mm}$ และ $\Omega = 343, 800, 1000, 1200, 1800 \text{ rpm}$ ซึ่งแสดงค่าในตารางที่ 3.1

ตารางที่ 3.1 ผลคำนวณหาค่าความดันน้ำโลหะอะลูมิเนียมเหลวในชิ้นส่วนท่อทางวิ่งน้ำโลหะ

ผลคำนวณค่าความดันน้ำโลหะอะลูมิเนียมเหลวในชิ้นส่วนท่อทางวิ่งน้ำโลหะ			
$\rho_{Al}, \frac{kg}{m^3}$	$\Omega, \text{ rpm}$	$L_2, \text{ mm}$	$P_c, \text{ MPa}$
2,670	343	300	0.15
2,670	800	300	0.84
2,670	1,000	300	1.32
2,670	1,200	300	1.90
2,670	1,800	300	4.26

จากผลการคำนวณหาค่าความดันน้ำโลหะอะลูมิเนียมเหลวที่เกิดในชิ้นส่วนท่อทางวิ่งน้ำโลหะซึ่งแสดงค่าในตารางที่ 3.1 แสดงให้เห็นว่าค่าความดันน้ำโลหะอะลูมิเนียมเหลว (P_c) กรณีระดับน้ำโลหะเต็มทั้งในระบบทางคูคูหมุนถึงปลายสุดชั้นระบบการหล่อเทวีงความดันสูง จะขึ้นกับความเร็วเชิงเส้น (Ω) ในการหมุนเทวีง หากความเร็วเชิงเส้นในการหมุนเทวีงมีค่ามากย่อมทำให้ค่าความเร็วรอบเชิงมุม (ω) และค่าความดันของน้ำโลหะอะลูมิเนียมเหลวที่เกิดในชิ้นส่วนท่อทางวิ่งน้ำโลหะมีแนวโน้มค่ามากขึ้นตาม ความเร็วในการหมุนเทวีงสูงสุดและต่ำสุดที่ใช้ในการทดลองวิจัยครั้งนี้คือ 1,800 rpm และ 343 rpm เกิดความดันของน้ำโลหะอะลูมิเนียมเหลวที่เกิดในชิ้นส่วนท่อทางวิ่งน้ำโลหะที่มีค่าสูงสุดและต่ำสุดคือ 4.26 MPa และ 0.15 MPa ตามลำดับ

3.1.2 ผลการคำนวณค่าความดันเริ่มต้น (Threshold pressure, P_{th})

ค่าความดันเริ่มต้นคือค่าความดันที่น้อยที่สุดที่น้ำโลหะใช้แทรกซึมเข้าไปในระหว่างช่องว่างของอนุภาคเซรามิก ถ้าความดันนี้มีค่าน้อยกว่าหรือเท่ากับแรงต้านทานภายในระหว่างอนุภาคเซรามิกในชิลล์คอนเคร็ตจะขึ้นรูป ซึ่งจะทำให้การไหลของน้ำโลหะหยุด และน้ำโลหะเกิดการแข็งตัวก่อนเข้าแทรกซึมระหว่างช่องว่างอนุภาคเซรามิกได้เพียงพอ ซึ่งคำนวณหาค่า

ได้จากสมการที่ 2.2 ของบทที่ 2

ตัวอย่างผลการคำนวณหาค่าความดันเริ่มต้นที่ใช้ในการแทรกซึมเข้าไประหว่างช่องว่างของอนุภาคซิลิโคนคาร์บไบด์ โดยที่ $\lambda = 3.00$, $\gamma_{lv} = 0.86 \text{ N/m}$, $\theta = 180^\circ$, $D_p = 13.5, 25, 68, 100 \mu\text{m}$, $V_p = 0.5, 0.6$ ทำให้สามารถหาค่าความดันเริ่มต้นได้ ซึ่งแสดงค่าในตารางที่ 3.2

ตารางที่ 3.2 ผลการคำนวณหาค่าความดันเริ่มต้น

$D_p, \mu\text{m}$	V_p	Threshold pressure, MPa
13.5	0.5	1.15
13.5	0.6	1.72
25	0.5	0.62
25	0.6	0.93
68	0.5	0.23
68	0.6	0.34
100	0.5	0.15
100	0.6	0.23

จากผลการคำนวณหาค่าความดันเริ่มต้นที่ใช้ในการแทรกซึมเข้าไประหว่างช่องว่างของอนุภาคซิลิโคนคาร์บไบด์ ซึ่งแสดงค่าในตารางที่ 3.2 นั้น แสดงให้เห็นว่าหากค่าเฉลี่ยขนาดเส้นผ่าศูนย์กลางอนุภาคซิลิโคนคาร์บไบด์มีค่าน้อยและค่าสัดส่วนของปริมาตรระหว่างอนุภาคและชิ้นงานเซรามิกมาก ยิ่งทำให้ค่าความดันเริ่มต้นที่ใช้ในการแทรกซึมเข้าไประหว่างช่องว่างของอนุภาคซิลิโคนคาร์บไบด์มีค่ามากขึ้น เช่น ค่าเฉลี่ยขนาดเส้นผ่าศูนย์กลางอนุภาคซิลิโคนคาร์บไบด์ $13.5 \mu\text{m}$ และค่าสัดส่วนของปริมาตรระหว่างอนุภาคและชิ้นงานเซรามิก 0.6 ทำให้เกิดค่าความดันเริ่มต้น 1.72 MPa เมื่อนำมาเปรียบเทียบกับค่าความดันของน้ำโลหะอะลูминียมเหลวที่เกิดขึ้นในชิ้นส่วนท่อทั้งวิ่งน้ำโลหะ ในข้อ 3.1.1 นั้น พ布ว่าที่กรณิค์ความเร็วเชิงเส้นในการหมุนเหวี่ยง $1,800 \text{ rpm}$ ค่าความดันของน้ำโลหะอะลูминียมเหลวที่เกิดขึ้นในชิ้นส่วนท่อทั้งวิ่งน้ำโลหะมีค่ามากกว่าค่าความดันเริ่มต้นที่ใช้ในการแทรกซึมเข้าไประหว่างช่องว่างของอนุภาคซิลิโคนคาร์บไบด์ทุกค่าเฉลี่ยขนาดเส้นผ่าศูนย์กลางอนุภาคซิลิโคนคาร์บไบด์และค่าสัดส่วนของปริมาตรระหว่างอนุภาคและชิ้นงานเซรามิก แสดงให้เห็นว่าน้ำโลหะอะลูминียมเหลวมีค่าความดันเพียงพอที่จะเข้าไปแทรกซึมในระหว่างช่องว่างของอนุภาคซิลิโคนคาร์บไบด์ได้

3.1.3 ผลการคำนวณค่าความดันสูงสุด (Maximum pressure, P_{max})

ค่าความดันสูงสุดคือค่าความดันสูงสุดของน้ำโลหะอะลูมิเนียมเหลวที่สามารถเกิดขึ้นได้ในท่อทางวิ่งน้ำโลหะ โดยค่าความดันสูงสุดนี้มีค่าขึ้นอยู่กับรัศมีภายในและรัศมีภายนอกของชิ้นท่อทางวิ่งน้ำโลหะ ซึ่งคำนวณหาค่าได้จากการที่ 2.3 ของบทที่ 2

ตัวอย่างผลคำนวณหาค่าความดันสูงสุดของน้ำโลหะอะลูมิเนียมเหลวที่สามารถเกิดขึ้นได้ โดยที่ $r_o = 12.5 \text{ mm}$, $r_{ii} = 7.5 \text{ mm}$, $\sigma_u^{T=450^\circ\text{C}} = 593 \text{ MPa}$ และ $SF_u = 5, 10, 15, 20$ แสดงค่าในตารางที่ 3.3

ตารางที่ 3.3 ผลคำนวณหาค่าความดันสูงสุดของน้ำโลหะอะลูมิเนียมเหลวที่สามารถเกิดขึ้นได้ในท่อทางวิ่งน้ำโลหะ

ผลคำนวณค่าความดันสูงสุดของน้ำโลหะอะลูมิเนียมเหลว					
$r_o, \text{ mm}$	$r_{ii}, \text{ mm}$	$\sigma_u^{T=450^\circ\text{C}}, \text{ MPa}$	SF_u	$P_{max}, \text{ MPa}$	
12.5	7.5	593	5	55.80	
12.5	7.5	593	10	27.90	
12.5	7.5	593	15	18.60	
12.5	7.5	593	20	13.95	

จากผลการคำนวณหาค่าความดันสูงสุดของน้ำโลหะอะลูมิเนียมเหลวที่สามารถเกิดขึ้นได้ ซึ่งแสดงค่าในตารางที่ 3.3 นั้น พบว่าค่าความดันของน้ำโลหะอะลูมิเนียมเหลวที่เกิดขึ้นในชิ้นส่วนท่อทางวิ่งน้ำโลหะ ในข้อ 3.1.1 แม้ที่ความเร็วเชิงเส้นในการหมุนเหวี่ยงสูงสุด 1,800 rpm ก่อให้เกิดความดันของน้ำโลหะอะลูมิเนียมเหลว 4.26 MPa จะมีค่าน้อยกว่าเมื่อนำมาปรับเทียบกับค่าความดันสูงสุดของน้ำโลหะอะลูมิเนียมเหลวที่สามารถเกิดขึ้นได้ ซึ่งมีค่าความดันสูงสุด 13.97 MPa ในกรณีค่าปัจจัยความปลอดภัย (Safety factor, SF_u) เท่ากับ 20 ซึ่งแสดงให้เห็นว่าชุดระบบการหล่อเหวี่ยงความดันสูงที่ออกแบบมาจะไม่เกิดการเสียหายและมีความเป็นไปได้ที่จะใช้งานได้จริง

3.1.4 ผลการคำนวณค่าความเค้นในแนวหนีศูนย์กลาง ($\sigma_{\text{Centrifugal}}$) ที่เกิดจากแรงดันน้ำโลหะพุ่งออกในแนวหนีศูนย์กลาง ($F_{\text{Centrifugal}}$)

เมื่อชุดระบบการหล่อเหลวที่เติมเข้าในชิ้นส่วนที่รองรับจะถูกเหวี่ยงให้ผ่านทางชิ้นส่วนท่อทางวิ่งและดันน้ำโลหะอะลูมิเนียมเหลวให้ผ่านเข้าสู่ชิ้นส่วนแม่พิมพ์ ซึ่งน้ำโลหะอะลูมิเนียมเหลวที่ถูกเหวี่ยงจะเป็นแรงดันน้ำโลหะอะลูมิเนียมเหลวพุ่งออกในแนวหนีศูนย์กลางทำให้เกิดความเค้นในแนวหนีศูนย์กลาง ซึ่งคำนวณหาค่าได้จากสมการที่ 2.4 ของบทที่ 2

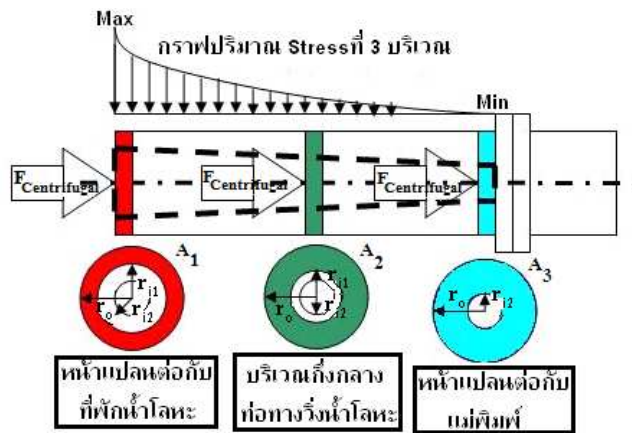
ตัวอย่างผลคำนวณหาค่าแรงดันน้ำโลหะพุ่งออกในแนวหนีศูนย์กลาง โดยที่

$r_o = 12.5 \text{ mm}$, $r_{i1} = 7.5 \text{ mm}$, $r_{i2} = 1 \text{ mm}$, $m_{lv,T} = m_{Al,T} = 1.71 \text{ kg}$, $L_r = 300 \text{ mm}$ และ $\Omega = 300, 500, 1000, 1500, 1800 \text{ rpm}$ ได้ตามตารางที่ 3.4

ตารางที่ 3.4 ผลคำนวณหาค่าแรงดันน้ำโลหะพุ่งออกในแนวหนีศูนย์กลาง

Ω, rpm	$m_{Al,T}, \text{kg}$	r_o, mm	r_{i1}, mm	r_{i2}, mm	L_r, mm	$F_{\text{Centrifugal}}, \text{kN}$
300	1.71	12.5	7.5	1	300	0.51
500	1.71	12.5	7.5	1	300	1.40
1,000	1.71	12.5	7.5	1	300	5.61
1,500	1.71	12.5	7.5	1	300	12.62
1,800	1.71	12.5	7.5	1	300	18.18

นำค่าแรงดันน้ำโลหะอะลูมิเนียมเหลวพุ่งออกในแนวหนีศูนย์กลาง ที่หาได้ไปหาค่าความเค้น (Stress) ที่บริเวณ 3 พื้นที่ของชิ้นส่วนท่อทางวิ่งน้ำโลหะ ตัวอย่างผลคำนวณค่าความเค้นในแนวหนีศูนย์กลาง แสดงในรูปที่ 3.1 และตารางที่ 3.5 ซึ่งแสดงให้เห็นปริมาณค่าความเค้นในแนวหนีศูนย์กลางและบริเวณพื้นที่ชิ้นส่วนท่อทางวิ่งน้ำโลหะ 3 บริเวณ



รูปที่ 3.1 ความคื้นที่เกิดขึ้นในพื้นที่ 3 บริเวณของชิ้นส่วนท่อทางวิ่งน้ำโลหะ

ทำให้ทราบว่าชิ้นส่วนท่อทางวิ่งน้ำโลหะที่ขนาดรัศมี $r_o = 12.5 \text{ mm}$, $r_{i1} = 7.5 \text{ mm}$, $r_{i2} = 1 \text{ mm}$ ของชิ้นส่วนท่อทางวิ่งน้ำโลหะที่ประกอบกับชิ้นส่วนแม่พิมพ์ เกิดแรงดันน้ำโลหะพุ่งออกในแนวนี้สูนย์กลางและจะก่อให้เกิดค่าความคื้นในแนวนี้สูนย์กลางสูงที่สุด ที่บริเวณพื้นที่หน้าแบลนของชิ้นส่วนท่อทางวิ่งน้ำโลหะซึ่งต่อ กับชิ้นส่วนที่รองรับน้ำโลหะ ซึ่งจะช่วยในการพิจารณาการออกแบบชุดระบบการหล่อเทวีของความดันสูง

ตารางที่ 3.5 ผลคำนวณหาค่าความคื้นในแนวนี้สูนย์กลางพื้นที่ 3 บริเวณของท่อทางวิ่งน้ำโลหะ

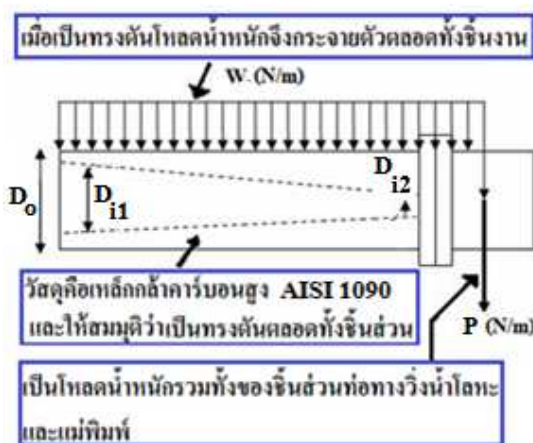
$\Omega, \text{ rpm}$	$F_{\text{Centrifugal}}, \text{ N}$	$\sigma_{\text{พื้นที่ } 1}, \text{ MPa}$	$\sigma_{\text{พื้นที่ } 2}, \text{ MPa}$	$\sigma_{\text{พื้นที่ } 3}, \text{ MPa}$
300	510	1.61	1.26	1.04
500	1,403	4.47	3.50	2.88
1,000	5,610	18.87	14.00	11.51
1,500	12,620	40.20	31.50	25.89
1,800	18,180	57.89	45.36	37.29

จากผลการคำนวณหาค่าแรงดันน้ำโลหะพุ่งออกในแนวนี้สูนย์กลาง ซึ่งแสดงค่าในตารางที่ 3.4 และ 3.5 นั้น พบว่าแรงดันน้ำโลหะพุ่งออกในแนวนี้สูนย์กลางสูงสุดทำให้เกิดแรงดันให้น้ำโลหะพุ่งออกในแนวนี้สูนย์กลาง 18.18 kN กรณีความเร็วเชิงเส้น $1,800 \text{ rpm}$ และจะก่อให้เกิดค่าความเดินในแนวนี้สูนย์กลาง 57.89 MPa สูงที่สุด ที่บริเวณพื้นที่หน้าแบลนของชิ้นส่วนท่อทางวิ่งน้ำโลหะซึ่งต่อ กับชิ้นส่วนที่รองรับน้ำโลหะ แต่มีการทำการเปรียบเทียบกับสมบัติ

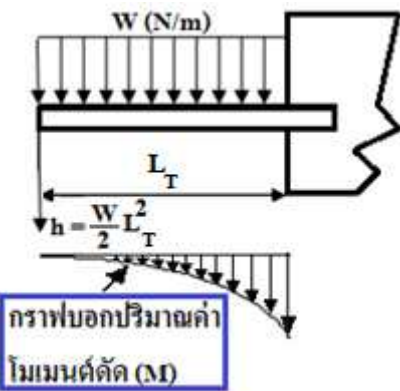
ของเหล็กกล้าคาร์บอนสูง ชนิด AISI 1090 ที่อุณหภูมิ 450°C ซึ่งเป็นโลหะที่ได้ทำการเลือกใช้ในสร้างชุดระบบการหล่อเหลวเพื่อความดันสูง ให้ค่าความแข็งแรงดีสูงสุด 593 MPa ได้ค่าปัจจัยความปลอดภัยรองรับถึงระดับ 10 ซึ่งแสดงให้เห็นว่าค่าแรงดันน้ำโลหะพุ่งออกในแนวโน้มศูนย์กลางและค่าความเค้นในแนวโน้มศูนย์กลางแทนจะไม่มีผลต่อการทำงานของชุดระบบการหล่อเหลวเพื่อความดันสูง

3.1.5 ผลการคำนวณค่าความเค้นน้ำหนักรวม ($\sigma_{\text{totalweight}}$) ที่เกิดจากแรงน้ำหนัก (Weight)

เมื่อชุดระบบการหล่อเหลวเพื่อความดันสูงเกิดการหมุนที่คงที่แล้ว น้ำโลหะจะลุกนิ่งขึ้นส่วนที่ถูกเติมเข้าไปในชิ้นส่วนที่รองรับน้ำโลหะ, ท่อทางวิ่งน้ำโลหะ, แม่พิมพ์ จะเกิดการแข็งตัวทำให้เกิดน้ำหนัก (Weight, W) ที่สิ่งของตามแรงโน้มถ่วงโลกและเกิดการกระจายตัวของการน้ำหนักในรูปแบบบรรทุกบนถนนยืน แสดงในรูปที่ 3.2 และ 3.3 ตามลำดับ ซึ่งในที่นี่ทำการสมมุติให้ชิ้นส่วนท่อทางวิ่งน้ำโลหะและชิ้นส่วนแม่พิมพ์เป็นเหล็กกล้าคาร์บอนสูง ชนิด AISI 1090 ทรงตันตลอดเพื่อศึกษาดูว่า หากชิ้นส่วนทั้ง 2 ชิ้นนี้ สามารถทนต่อน้ำหนักทรงตันได้กี่ย่อนที่จะทนต่อชิ้นส่วนวัสดุโลหะทรงกลวงและอัลูมิเนียมที่แข็งตัวอย่างในไได้เช่นกัน (ความหนาแน่นของเหล็กกล้าคาร์บอนสูงมีค่ามากกว่าอัลูมิเนียม) ซึ่งคำนวณหาค่าได้จากการที่ 2.5 ของบทที่ 2



รูปที่ 3.2 การน้ำหนักที่กระทำต่อชิ้นส่วนท่อทางวิ่งน้ำโลหะทรงตัน



รูปที่ 3.3 การกระจายตัวของภาระน้ำหนักของรูปแบบบรรทุกบนคานยื่น

ผลการคำนวณหาค่าโมเมนต์ดัดของชิ้นส่วนท่อทางวิ่งน้ำโลหะที่มีขนาดเส้นผ่าศูนย์กลางภายนอก (D_o) 25 mm โดยที่ $P = 4.27 \text{ N}$, $L = 235 \text{ mm}$, $W = 17.27 \text{ N}$ แสดงในตารางที่ 3.6

ตารางที่ 3.6 ผลการคำนวณหาโมเมนต์ดัดของชิ้นส่วนท่อทางวิ่งน้ำโลหะที่มีขนาดเส้นผ่าศูนย์กลางภายนอก 25 mm

D_o, m	P, N	L, mm	W, N	$M_{\text{bending}}, \text{N}\cdot\text{m}$
0.025	4.27	235	17.27	1.48

จากผลการคำนวณหาค่าโมเมนต์ดัด ให้นำไปใส่สมการหาค่าความเค้นที่เกิดจากน้ำหนัก (σ_{weight}) ซึ่งคำนวณหาค่าได้จากการที่ 2.5 ของบทที่ 2

ผลการคำนวณหาค่าความเค้นจากน้ำหนักที่ชิ้นส่วนท่อทางวิ่งน้ำโลหะขนาด $D_o = 25 \text{ mm}$ โดยที่ $M = 1.48 \text{ N}\cdot\text{m}$, $C = 12.5 \text{ mm}$, $I_I = 1.92 \times 10^{-8} \text{ m}^4$ แสดงในตารางที่ 3.7

ตารางที่ 3.7 ผลการคำนวณค่าความเค้นจากน้ำหนักของชิ้นส่วนท่อทางวิ่งน้ำโลหะ

D_o, mm	$M_{\text{bending}}, \text{N}\cdot\text{m}$	C, mm	I_I, m^4	$\sigma_{\text{weight}}, \text{MPa}$
25	1.48	12.5	1.92×10^{-8}	0.96

จากนั้นให้นำค่าความเค้น (σ) ทั้งของความเค้นในแนวโน้มศูนย์กลาง (ใช้ค่าความเค้นของบริเวณพื้นที่ส่วนที่ 1 เพราะเป็นบริเวณที่เกิดความเค้นมากที่สุดเมื่อเปรียบเทียบกับ

อีก 2 พื้นที่) และความเค้นจากน้ำหนักมาร่วมกันเพราะความเค้นทั้งสองมีความสัมพันธ์ร่วมกัน ในกรณี $r_o = 12.5 \text{ mm}$, $r_{il} = 7.5 \text{ mm}$, $r_{iz} = 1 \text{ mm}$ และ $\Omega = 300, 500, 1000, 1500, 1800 \text{ rpm}$ แสดงในตารางที่ 3.8

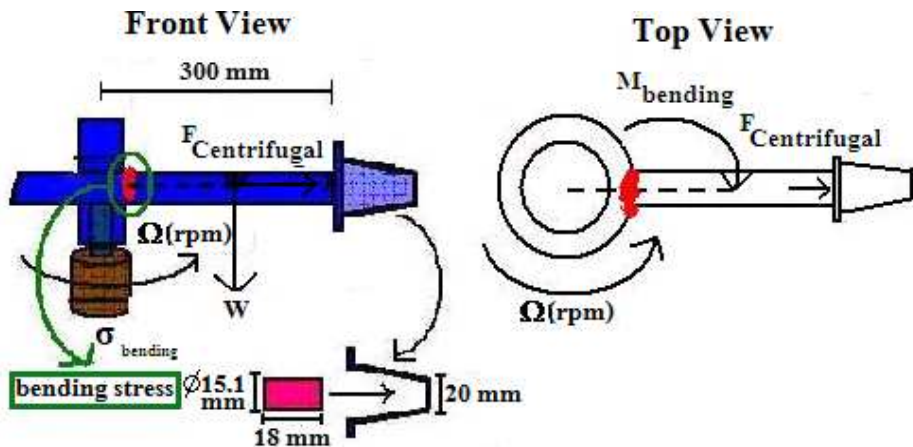
ตารางที่ 3.8 ผลการคำนวณหาค่าความเค้นจากน้ำหนักรวมที่เกิดขึ้นกับชิ้นส่วนท่อท่างวิงน้ำโลหะ

Ω, rpm	$\sigma_{\text{Centrifugal}}, \text{MPa}$	$\sigma_{\text{weight}}, \text{MPa}$	$\sigma_{\text{total weight}}, \text{MPa}$
300	1.04	0.96	2.00
500	2.88	0.96	3.84
1,000	11.51	0.96	12.47
1,500	25.89	0.96	26.85
1,800	37.29	0.96	38.25

จากผลการคำนวณหาค่าความเค้นจากน้ำหนักรวมที่เกิดขึ้นกับชิ้นส่วนท่อท่างวิงน้ำโลหะซึ่งแสดงค่าในตารางที่ 3.8 นี้ พบว่าที่เส้นผ่าศูนย์กลางภายนอกชิ้นส่วนท่อท่างวิงน้ำโลหะ 25 mm และความเร็วเชิงเส้นในการหมุนให้วางสูงสุด 1,800 rpm เกิดแรงให้วางหนีศูนย์กลาง 18.18 kN และจะก่อให้เกิดค่าความเค้นจากน้ำหนักรวม 38.25 MPa สูงที่สุดที่บริเวณพื้นที่หน้าแปลนของชิ้นส่วนท่อท่างวิงน้ำโลหะซึ่งต่อ กับชิ้นส่วนที่รองรับน้ำโลหะ แต่เมื่อทำการเปรียบเทียบ กับสมบัติของเหล็กกล้าคาร์บอนสูง ชนิด AISI 1090 ที่อุณหภูมิ 450 °C ซึ่งให้ค่าความแข็งแรงดึงสูงสุด 593 MPa ได้ค่าปัจจัยความปลดภัยรองรับถึงระดับ 15 ซึ่งแสดงให้เห็นว่าค่าความเค้นจากน้ำหนักรวมแทบทะไม่มีผลต่อการทำงานของชุดระบบการหล่อให้วางความดันสูง

3.1.6 ผลการคำนวณค่าความเค้นจากการดัดโค้ง (σ_{bending})

ความเค้นจากการดัดโค้ง คือโมเมนต์ที่เกิดขึ้นเริ่มต้นของการหมุนหรือโมเมนต์ความเบี้ยว ซึ่งเป็นโมเมนต์ที่ต่อต้านการเคลื่อนที่ (จากที่ชิ้นงานอยู่นั่ง) ของชิ้นงาน ตามกฎข้อที่ 1 ของนิวตัน โมเมนต์ความเบี้ยวจะทำให้เกิดค่าความเค้นจากการดัดโค้งกระทำต่อหน้าแปลนของชิ้นส่วนท่อท่างวิงน้ำโลหะซึ่งต่อประกับกับชิ้นส่วนที่รองรับน้ำโลหะ ดังรูปที่ 3.4 และรูปที่ 3.5 สามารถคำนวณหาค่าได้จากสมการที่ 2.6 ของบทที่ 2



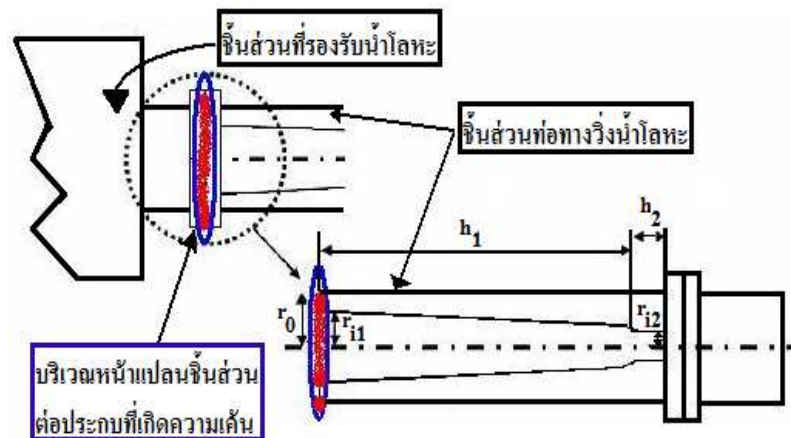
รูปที่ 3.4 ค่าความเค้นจากการดัด โถงกระทำต่อพื้นที่หน้าแปลนของชิ้นส่วนท่อทางวิ่งน้ำโลหะซึ่งต่อประกนกับชิ้นส่วนที่รองรับน้ำโลหะที่เกิดขึ้นในช่วงเริ่มต้นการหมุนแหีง

แรงในแนวตั้งจากกับการหมุน (F_r) ที่บริเวณพื้นที่หน้าแปลนของชิ้นส่วนท่อทางวิ่งน้ำโลหะซึ่งต่อประกนกับชิ้นส่วนที่รองรับน้ำโลหะ ทำให้เกิดค่าความเค้นจากการดัด โถงกระทำต่อชิ้นส่วนท่อทางวิ่งน้ำโลหะซึ่งต่อประกนกับหน้าแปลนของชิ้นส่วนที่รองรับน้ำโลหะ

ตัวอย่างผลการคำนวณหาค่าความเค้นจากการดัด โถงที่เกิดขึ้นกับพื้นที่หน้าแปลนของชิ้นส่วนท่อทางวิ่งน้ำโลหะซึ่งต่อ กับชิ้นส่วนที่รองรับน้ำโลหะ โดยที่ $r_o = 12.5 \text{ mm}$, $r_{il} = 7.5 \text{ mm}$, $r_{i2} = 1 \text{ mm}$, $m_{T,m} = 1.45 \text{ kg}$, $l_c = 313 \text{ mm}$, $C = 12.5 \text{ mm}$, $I_1 = 0.012 \text{ kg} \cdot \text{m}^2$ และ $\Omega = 300, 500, 1000, 1500, 2000 \text{ rpm}$ แสดงค่าในตารางที่ 3.9

ตารางที่ 3.9 ผลการคำนวณหาค่าความเค้นจากการดัด โถงที่เกิดขึ้นกับพื้นที่หน้าแปลนของชิ้นส่วนท่อทางวิ่งน้ำโลหะซึ่งต่อ กับชิ้นส่วนที่รองรับน้ำโลหะ

$m_{T,m}, \text{kg}$	$I_1, \text{kg} \cdot \text{m}^2$	Ω, rpm	$\frac{d\omega}{dt}, \text{s}^{-1}$	$M_{Cen}, \text{N} \cdot \text{m}$	I_2, m^4	$\sigma_{bending}, \text{MPa}$
1.45	0.012	300	1.05	0.012	1.67×10^{-8}	0.00093
1.45	0.012	500	1.74	0.021	1.67×10^{-8}	0.0015
1.45	0.012	1,000	3.49	0.041	1.67×10^{-8}	0.0031
1.45	0.012	1,500	5.23	0.062	1.67×10^{-8}	0.0046
1.45	0.012	1,800	6.98	0.074	1.67×10^{-8}	0.0056



รูปที่ 3.5 ภาพประกอบรัศมีภายใน รัศมีภายนอก และบริเวณที่เกิดค่าความเค้นจากการดัดโถงของชิ้นส่วนท่อทางวิ่งน้ำโลหะ

จากการคำนวณหาค่าความเค้นจากการดัดโถง ที่กระทำต่อพื้นที่หน้าแปลนของชิ้นส่วนท่อทางวิ่งน้ำโลหะซึ่งต่อ กับชิ้นส่วนที่รองรับน้ำโลหะ แสดงค่าในตารางที่ 3.9 พบว่าที่รัศมีภายนอก 12.5 mm รัศมีภายใน (r_{i1}) ขนาด 7.5 mm รัศมีภายในปลายสุด (r_{i2}) ขนาด 1 mm ของชิ้นส่วนท่อทางวิ่งน้ำโลหะและแม่พิมพ์ ซึ่งมีมวลของเหล็กกล้าครึ่งบอนสูง ชนิด AISI 1090 มีค่าเท่ากับ 1.45 kg และความเร็วเชิงเส้นในการหมุนเหวี่ยงสูงสุด 1,800 rpm ก่อให้เกิดค่าความเค้นจากการดัดโถง 0.0056 MPa สูงที่สุดที่บริเวณพื้นที่หน้าแปลนของชิ้นส่วนท่อทางวิ่งน้ำโลหะซึ่งต่อ กับชิ้นส่วนที่รองรับน้ำโลหะ แต่เมื่อทำการเบริกบที่ยกับสมบัติของเหล็กกล้าครึ่งบอนสูง ชนิด AISI 1090 ที่อุณหภูมิ 450 °C ซึ่งให้ค่าความแข็งแรงคงสูงสุด 593 MPa แสดงให้เห็นว่าค่าความเค้นจากการดัดโถงแทบจะไม่มีผลต่อการทำงานของชุดระบบการหล่อเหวี่ยงความดันสูง

3.1.7 ผลการคำนวณเวลาในการแข็งตัวของน้ำโลหะ (Solidification Time, t_s)

เวลาในการแข็งตัวของน้ำโลหะในชิ้นส่วนแม่พิมพ์นี้ จะเป็นค่าที่บ่งบอกว่าน้ำโลหะอะลูมิเนียมเหลวที่ถูกเหวี่ยงหนีศูนย์กลางเข้าแทรกซึ่งช่องว่างระหว่างอนุภาคเซรามิกของเซรามิกอัดขึ้นรูป (Ceramic Preform) ในชิ้นส่วนแม่พิมพ์ ต้องใช้เวลานานเท่าใดจึงจะแข็งตัว ซึ่งคำนวณหาค่าได้จากสมการที่ 2.8 ของบทที่ 2

ตัวอย่างผลคำนวณหาค่าเวลาในการแข็งตัวของน้ำโลหะอะลูมิเนียมเหลว โดยที่ $T_M = 750 \text{ } ^\circ\text{C}$, $\bar{h} = 500 \frac{\text{cal}}{\text{m}^2 \text{s}^\circ\text{C}}$, $\rho_{\text{Al}} = 2,670 \frac{\text{kg}}{\text{m}^3}$, $H_M = 92,000 \frac{\text{cal}}{\text{kg}}$, $\Delta T = 100 \text{ } ^\circ\text{C}$, $r_{i2} = 1 \text{ mm}$,

$$C_p = 230 \frac{\text{cal}}{\text{kg}^\circ\text{C}}, T_o = 25, 150, 250, 350, 450, 750 \text{ }^\circ\text{C} \text{ ซึ่งแสดงค่าในตารางที่ 3.10}$$

ตารางที่ 3.10 ผลคำนวณหาค่าเวลาในการแข็งตัวของน้ำโลหะอะลูมิเนียมเหลว

ปัจจัยที่มีผลต่อเวลาในการแข็งตัวของน้ำโลหะอะลูมิเนียมเหลว						
T _M , °C	T _O , °C	$\bar{h}, \frac{\text{cal}}{\text{m}^2 \text{s}^\circ\text{C}}$	$\rho_{\text{Al}}, \frac{\text{kg}}{\text{m}^3}$	H _M , $\frac{\text{cal}}{\text{kg}}$	C _p , $\frac{\text{cal}}{\text{kg}^\circ\text{C}}$	t _s , s
750	25	500	2,670	92,000	230	0.85
750	150	500	2,670	92,000	230	1.02
750	250	500	2,670	92,000	230	1.23
750	350	500	2,670	92,000	230	1.54
750	450	500	2,670	92,000	230	2.05
750	550	500	2,670	92,000	230	3.07

ระยะเวลาที่น้ำโลหะอะลูมิเนียมเหลวที่ถูกให้วิ่งหนีศูนย์เคลื่อนตัวเข้าไปในชิ้นส่วนแม่พิมพ์ใช้สมการ

$$\nu = \frac{(2\pi\Omega)}{60} \times L_{T/2} \text{ และจาก } \nu = \frac{L}{t_r} \longrightarrow t_r = \frac{L}{\nu}$$

$$\therefore t_r = \frac{L \times 60}{2\pi\Omega \times L_{T/2}} \quad (3.2)$$

ตัวอย่างผลคำนวณหาค่าระยะเวลาที่น้ำโลหะอะลูมิเนียมเหลวที่ถูกให้วิ่งหนีศูนย์เคลื่อนตัวเข้าไปในชิ้นส่วนแม่พิมพ์ โดยที่ $L_{T/2} = 150 \text{ m}$, $L_r = 300 \text{ m}$, $\Omega = 300, 500, 1000, 1500, 2000 \text{ rpm}$ ซึ่งแสดงค่าในตารางที่ 3.11

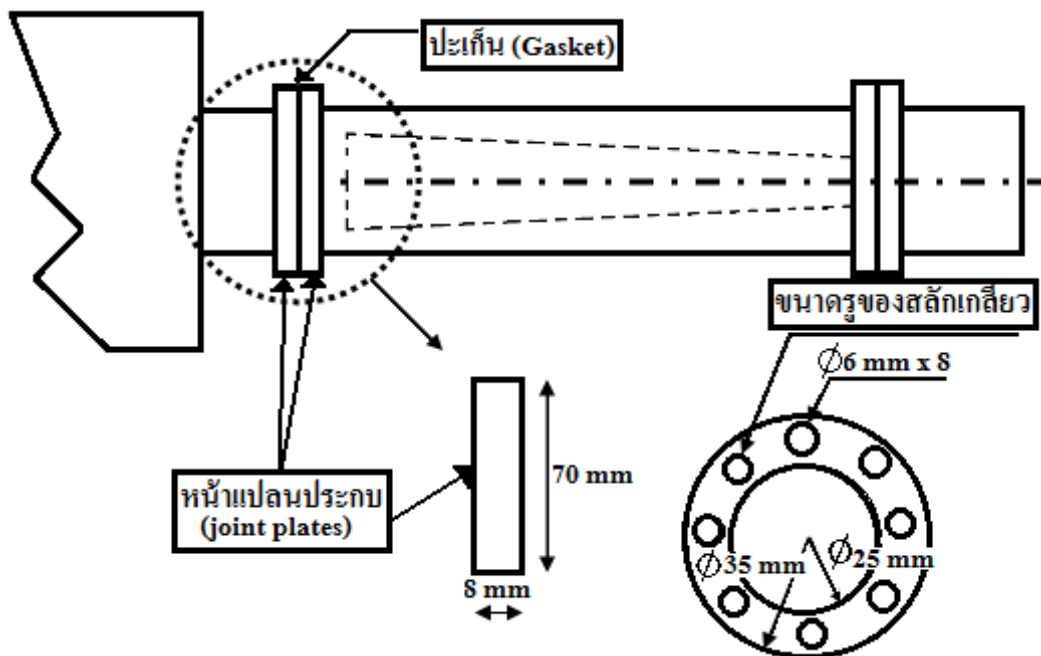
ตารางที่ 3.11 ผลคำนวณหาค่าระยะเวลาที่นำโลหะอะลูมิเนียมเหลวที่ถูกเที่ยงหนีสูนย์เคลื่อนตัวเข้าไปในชิ้นส่วนแม่พิมพ์

Ω , rpm	$L_{T/2}$, mm	v, m/s	L_r , mm	t_r , s
300	150	4.71	300	0.064
500	150	7.85	300	0.038
1,000	150	15.70	300	0.019
1,500	150	23.60	300	0.013
1,800	150	28.70	300	0.011

จากผลการคำนวณหาค่าเวลาในการแข็งตัวของนำโลหะอะลูมิเนียมเหลวในชิ้นส่วนแม่พิมพ์และค่าระยะเวลาที่นำโลหะอะลูมิเนียมเหลวที่ถูกเที่ยงหนีสูนย์เคลื่อนตัวเข้าไปในชิ้นส่วนแม่พิมพ์ ซึ่งแสดงค่าในตารางที่ 3.10 และ 3.11 นั้น พบว่าที่อุณหภูมิของเครื่องมือ 25°C ซึ่งเป็นอุณหภูมิของเครื่องมือที่มีค่าต่ำมาก เวลาในการแข็งตัวของนำโลหะอะลูมิเนียมเหลวในชิ้นส่วนแม่พิมพ์ได้ค่าเวลาในการแข็งตัวที่ 0.85 s แต่เมื่อทำการเปรียบเทียบกับระยะเวลาที่นำโลหะอะลูมิเนียมเหลวที่ถูกเที่ยงหนีสูนย์ใช้ในการเคลื่อนตัวเข้าไปในชิ้นส่วนแม่พิมพ์ในการผีความเร็วเชิงเส้น ในการหมุนเวียน $1,800 \text{ rpm}$ จะใช้เวลาเพียง 0.011 s ซึ่งแสดงว่านำโลหะอะลูมิเนียมเหลวที่ถูกเที่ยงเข้าในชุดระบบการหล่อเที่ยงความดันสูงจะไม่แข็งตัวก่อนเข้าไปในชิ้นส่วนแม่พิมพ์

3.1.8 ผลการคำนวณค่าความเค้นที่เกิดขึ้นกับสลักเกลียวสำหรับจับยึดชิ้นส่วนประกอบของชุดระบบการหล่อเที่ยงความดันสูง

เมื่อสามารถคำนวณและออกแบบชุดระบบการหล่อเที่ยงความดันสูงได้แล้ว จำเป็นต้องคำนวณหาค่าความเค้นที่สลักเกลียวต้องรับการ เพื่อที่จะนำไปพิจารณาความสามารถในการจับยึดชิ้นส่วนชุดระบบการหล่อเที่ยงความดันสูงของสลักเกลียว ในที่นี้จะทำการวิเคราะห์เฉพาะสลักเกลียวที่ไวสำหรับจับยึดหน้าแปลนประกอบระหว่างชิ้นส่วนที่รองรับนำโลหะ กับชิ้นส่วนท่อทางวิงนำโลหะของชุดระบบการหล่อเที่ยงความดันสูง ดังรูปที่ 3.6 เพราะว่าที่บริเวณนี้จะเกิดค่าความเค้นสูงที่สุดเมื่อเทียบกับบริเวณอื่นๆ สังเกตจากหัวข้อ 3.1.4 และ 3.1.6



รูปที่ 3.6 ขนาดของหน้าแปลนและขนาดของสลักเกลียวที่ใช้

สมการหาแรงดึงที่เกิดขึ้นในสลักเกลียว (F_b)

$$F_b = F_i + \left[\frac{k_b}{k_b + k_g} \right] p \quad (3.3)$$

สมการหาแรงกดที่เกิดในหน้าแปลน (F_j)

$$F_j = F_i - \left[\frac{k_g}{k_b + k_g} \right] p \quad (3.4)$$

โดยที่ F_b คือแรงดึงที่เกิดขึ้นในสลักเกลียว F_j คือแรงกดที่เกิดในหน้าแปลน F_i คือแรงดึงที่เกิดขึ้นภายในสลักเกลียวซึ่งมีผลมาจากการขันน็อต (nut) จนแน่น k_b คือค่าความแข็งแกร่ง (Stiffness) ของสลักเกลียว k_g คือค่าความแข็งแกร่งของข้อต่อกรณีมีปะเก็น (Gasket) รองรับ p คือแรงดึงที่เกิดจากการหมุนเหวี่ยง

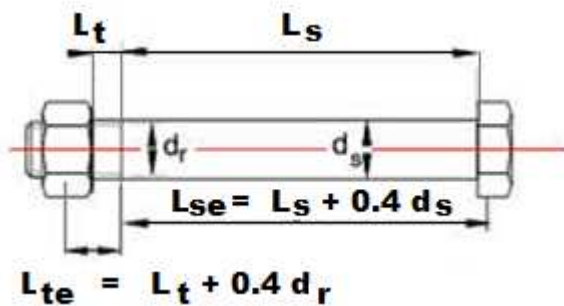
แรงดึงภายในสลักเกลียวซึ่งมีผลมาจากการขันน็อตจนแน่น (initial tension, F_i)

$$F_i = cA_t S_p \quad (3.5)$$

โดยที่ F_i คือแรงดึงที่เกิดขึ้นภายในสลักเกลียวซึ่งมีผลมาจากการขันน็อต (nut) จนแน่น c คือค่าคงที่ (constant) ในกรณี reusable joint ($c = 0.75$) A_t คือพื้นที่รับความเค้น (stress area) ของสลักเกลียว ($A_t = 20.1 \text{ mm}^2$) S_p คือค่าการหาจุดยึดค้ำยกราฟ (proof strength) ของสลักเกลียวตามตารางมาตรฐานความแข็งแรงของสลักเกลียว (SAE Standard J1199) 830 MPa

ค่าแรงดึงภายในสลักเกลียวซึ่งมีผลมาจากการขันน็อตจนแน่น คำนวณได้จากสมการที่ 3.5

$$\begin{aligned} F_i &= c A_t S_p \\ F_i &= (0.75) \times (20.1) \times (830) \\ \text{แทนค่า} &= 12,510 \text{ N} \\ \text{จึงได้ว่า} & F_i = 12.51 \text{ kN} \end{aligned}$$



รูปที่ 3.7 ลักษณะส่วนประกอบต่างๆ ของสลักเกลียว
ที่มา : Beardmore (2010)

ค่าความแข็งแกร่งของสลักเกลียว (k_b)

$$k_b = \frac{A_t A_s E}{(L_s A_s + L_t A_t)} \quad (3.6)$$

โดยที่ k_b คือค่าความแข็งแกร่งของสลักเกลียว A_t คือพื้นที่รับความเค้น (Stress area) ของสลักเกลียว ($A_t = 20.1 \text{ mm}^2$) A_s คือพื้นที่หน้าตัดของสลักเกลียวส่วนที่ไม่มีเกลียว E คือค่าโมดูลัสยึดหยุ่นสลักเกลียวเหล็ก ($E = 210 \text{ GPa}$) L_t คือระยะในการจับยึด (Clamp) ส่วนที่เป็นเกลียวของความหนา ($L_t = 40 \text{ mm}$) L_s คือระยะในการจับยึดส่วนที่ไม่เป็นเกลียวของความหนา ($L_s = 0$)

ค่าความแข็งแกร่งของสลักเกลียว คำนวณได้โดย (จากสมการที่ 3.6 และรูปที่ 3.7) เนื่องจากเลือกใช้สลักเกลียวที่เป็นเกลียวตัดหักด้าม ($L_s = 0$) จะได้ $A_s = A_t$ และ $L_s + L_t = L$

สมการหาค่าความแข็งแกร่งของสลักเกลียวจึงกลายเป็น

$$k_b = \frac{A_t E}{L}$$

โดยที่ $A_s = \frac{\pi d^2}{4}$
 เพราะฉะนั้น $A_s = \frac{\pi(6)^2}{4} = 28.3 \text{ mm}^2$ เลือกใช้สลักเกลียวที่เป็นเกลียวตัดหักด้าม ($L_s = 0$)

แทนค่า

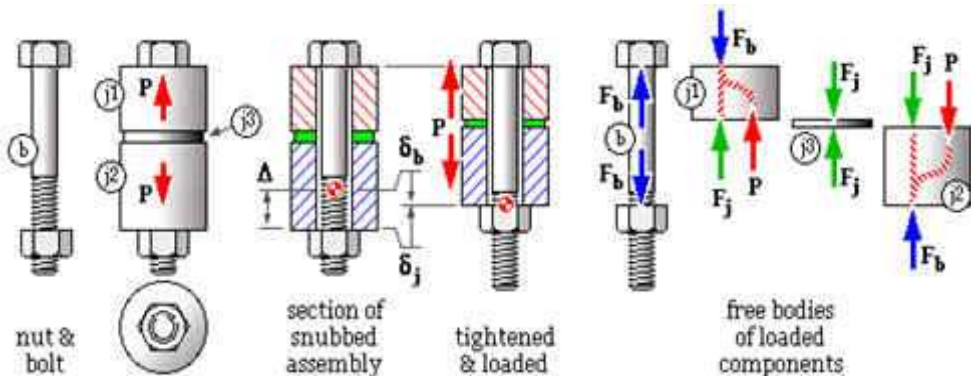
$$k_b = \frac{(20.1 \times 10^{-6})(210 \times 10^9)}{(0.04)}$$

จึงได้ว่า $k_b = 105.5 \frac{\text{MN}}{\text{m}}$

ค่าความแข็งแกร่งของข้อต่อ (k_g)

$$k_g = \frac{A_g E_g}{t} \quad (3.7)$$

โดยที่ k_g คือค่าความแข็งแกร่งของข้อต่อกรณีมีปะเก็นรองรับ A_g คือพื้นที่รับแรงกดของปะเก็น E_g คือค่ามอดุลัสของสภาวะปะเก็น t คือความหนาของปะเก็น (5 mm) D_{go} คือเส้นผ่าศูนย์กลางภายในของพื้นที่รับแรงกดของปะเก็น D_{gi} คือเส้นผ่าศูนย์กลางภายในของพื้นที่รับแรงกดของปะเก็น ดังรูปที่ 3.8



รูปที่ 3.8 องค์ประกอบของการจับยึดของสลักเกลียวที่มีปะเก็น

ที่มา : Wright (2005)

โดยที่

$$A_g = \frac{\pi}{4} (D_{go}^2 - D_{gi}^2) \quad (3.8)$$

และ

$$D_{go} = 1.5d + \left[\frac{L_s + L_t}{t} \right] \quad (3.9)$$

และ

$$D_{gi} = 1.5d \quad (3.10)$$

แทนค่าหา D_{go} และ D_{gi} ได้

$$D_{go} = 1.5(0.006) + \frac{0 + 0.04}{\left(5 \times 10^{-3}\right)} = 8.009 \text{ m}$$

$$D_{gi} = 1.5(0.006) = 0.009 \text{ m}$$

แทนค่าหา A_g คือ A_g = $\frac{\pi}{4} \left((8.009^2) - (0.009^2) \right) = 50.4 \text{ m}^2$

แทนค่าความแข็งแกร่งของข้อต่อได้ (จากสมการที่ 3.7)

$$k_g = \frac{(50.38) \times (4 \times 10^6)}{(5 \times 10^{-3})} = 40,300 \frac{\text{MN}}{\text{m}}$$

แรงที่ทำให้เกิดความเค้นมากที่สุดคือแรงดันน้ำโลหะพุ่งออกในแนวหน้าสูญญ์กลาง 18.18 kN ในกรณีความเร็วเชิงเส้นในการหมุนเหวี่ยง $1,800 \text{ rpm}$ เนื่องจากมีจำนวนสลักเกลียว (n) 8 ตัว เพราะจะนั่นสลักเกลียว 1 ตัว รับแรง (F) 2.27 kN นำมาบวกกับค่าแรงดึงภายในสลักเกลียวซึ่งมีผลมาจากการขันนื้อตจนแน่น จากสมการที่ 3.5 ซึ่งทำให้ได้ค่า $F_i = 2.27 + 12.51 = 14.78 \text{ kN}$

แรงดึงที่เกิดขึ้นในสลักเกลียว 1 ตัว (จากสมการที่ 3.3)

$$F_b = F_i + \left[\frac{k_b}{k_b + k_g} \right] p$$

แทนค่า $F_b = (14.78 \text{ kN}) + \left[\frac{105.5}{105.5 + 40,304} \right] (18.18 \text{ kN}) = 14.82 \text{ kN}$
 $\therefore \text{Stress}(\sigma_{\text{nut}}) = \frac{F_b}{A} = \frac{(14.82 \times 10^3)}{(2.01 \times 10^{-5})} = 737 \text{ MPa}$

จากผลการคำนวณหาค่าความเค้นของสลักเกลียว 1 ตัว เปรียบเทียบกับตารางมาตรฐานความแข็งแรงของสลักเกลียวตาม SAE Class พบว่าสลักเกลียวขนาด 6 mm จำนวน 1 ตัว ต้องรับค่าความเค้นของสลักเกลียว 737 MPa ซึ่งยังไม่เกินค่ากำลังคราก (Yield strength, S_y) ของตารางมาตรฐานความแข็งแรงของสลักเกลียวตาม SAE Class ขนาด 6 mm ที่มีขนาดเท่ากับ 940 MPa ทำให้ได้ค่าปัจจัยความปลอดภัยของรับออยู่ที่ 1.28 จึงนับได้ว่าสลักเกลียวขนาด 6 mm ที่เลือกใช้สามารถรับแรงดันน้ำโลหะพุ่งออกในแนวหน้าสูญญ์กลางได้ทำให้ชุดระบบการหล่อเหลว ความดันสูงสามารถทำงานและผลิตวัสดุผสมเนื้ออัลูมิเนียมได้จริง

3.2 สรุปผลจากการวิเคราะห์และคำนวณค่าต่างๆ ที่มีผลต่อการผลิตวัสดุผสมเนื้ออัลูมิเนียมและการออกแบบชุดระบบการหล่อเหลว ความดันสูง

จากผลการวิเคราะห์และคำนวณค่าต่างๆ ที่มีผลต่อการผลิตวัสดุผสมเนื้ออัลูมิเนียมและการออกแบบชุดระบบการหล่อเหลว ความดันสูงทั้งหมด ทำให้สามารถสรุปผลการวิเคราะห์และคำนวณค่าต่างๆ ได้ดังนี้

3.2.1 สรุปผลค่าความดันของน้ำโลหะที่เกิดขึ้นในชิ้นส่วนท่อทางวิ่งน้ำโลหะ

ค่าความดันของน้ำโลหะอะลูมิเนียมเหลวที่เกิดในชิ้นส่วนท่อทางวิ่งน้ำโลหะของกระบวนการหล่อโลหะแบบเหวี่ยงด้วยความดันสูงจะขึ้นคำนึงถึงความเร็วเชิงเส้นในการหมุนเหวี่ยง ซึ่งสามารถสังเกตได้จากสมการที่ 2.1 หากความเร็วเชิงเส้นในการหมุนเหวี่ยงมีค่ามากย่อมทำให้ค่าความเร็วรอบเชิงมุมและค่าความดันของน้ำโลหะอะลูมิเนียมเหลวที่เกิดในชิ้นส่วนท่อทางวิ่งน้ำโลหะมีแนวโน้มที่มีค่ามากขึ้นตามสังเกตได้จากตารางที่ 3.1 โดยที่ค่าความดันของน้ำโลหะอะลูมิเนียมเหลวที่เกิดในชิ้นส่วนท่อทางวิ่งน้ำโลหะเป็นค่าที่มีผลอย่างมากต่อการผลิตวัสดุพลาสติกเนื่องจากมีค่าความดันสูงคือหากค่าความดันของน้ำโลหะอะลูมิเนียมเหลวที่เกิดในชิ้นส่วนท่อทางวิ่งน้ำโลหะมีค่าที่มีผลอย่างมากต่อการผลิตวัสดุพลาสติกเนื่องจากมีค่าความดันสูงคือหากค่าความดันเริ่มต้น ซึ่งเป็นค่าแรงต้านทานภายในระหว่างอนุภาคเซรามิกในชิลลิคอนคาร์ไบด์อัดขึ้นรูป เช่น ที่ความเร็วเชิงเส้นในการหมุนเหวี่ยง 1,800 rpm ก่อให้เกิดความดันของน้ำโลหะอะลูมิเนียมเหลวที่เกิดในชิ้นส่วนท่อทางวิ่งน้ำโลหะ 4.26 MPa ซึ่งมีค่ามากกว่าค่าความดันเริ่มต้น 1.72 MPa ของกรณีค่าเฉลี่ยขนาดเส้นผ่าศูนย์กลางอนุภาคชิลลิคอนคาร์ไบด์ 13.5 μm และค่าสัดส่วนของปริมาตรระหว่างอนุภาคและชิ้นงานเซรามิก 0.6 อยู่มากทำให้สามารถผลิตวัสดุพลาสติกเนื่องจากมีค่าความดันสูงคือหากค่าความดันของน้ำโลหะอะลูมิเนียมเหลวที่เกิดในชิ้นส่วนท่อทางวิ่งน้ำโลหะมีค่าข้อยกว่าค่าความดันสูงสุด ซึ่งเป็นค่าที่ความดันสูงสุดของน้ำโลหะอะลูมิเนียมเหลวที่สามารถเกิดขึ้นได้ เช่น ที่ค่าความเร็วรอบเชิงมุมในการหมุนเหวี่ยงและความดันของน้ำโลหะอะลูมิเนียมเหลวที่เกิดในชิ้นส่วนท่อทางวิ่งน้ำโลหะในกรณีเดียวกัน พ布ว่าค่าความดันของน้ำโลหะอะลูมิเนียมเหลวที่เกิดในชิ้นส่วนท่อทางวิ่งน้ำโลหะ 4.26 MPa มีค่าข้อยกว่าค่าความดันสูงสุด 13.97 อยู่มาก ที่กรณีค่าวัสดุมีภายนอกของชิ้นส่วนท่อทางวิ่งน้ำโลหะ 12.5 mm ค่าวัสดุมีภายนอกของชิ้นส่วนท่อทางวิ่งน้ำโลหะ 7.5 mm และค่าปัจจัยความปลดออกกําลัง 20 ทำให้ชุดระบบการหล่อเหวี่ยงความดันสูงสามารถทำงานได้อย่างดี ไม่เกิดความเสียหาย

3.2.2 สรุปผลค่าความดันเริ่มต้น

ค่าความดันเริ่มต้นเป็นค่าความดันที่น้อยที่สุดที่นำโลหะอะลูมิเนียมเหลวใช้แทรกซึมเข้าไปในระหว่างช่องว่างของอนุภาคผงเซรามิก ซึ่งแสดงค่าในตารางที่ 3.2 นั้น แสดงให้เห็นว่า หากค่าเฉลี่ยขนาดเส้นผ่าศูนย์กลางอนุภาคชิลลิคอนคาร์ไบด์มีค่าน้อยและค่าสัดส่วนของปริมาตรระหว่างอนุภาคและชิ้นงานเซรามิกมีค่ามาก ยิ่งทำให้ค่าความดันเริ่มต้นที่ใช้ในการแทรกซึมเข้าไป

ระหว่างช่องว่างของอนุภาคซิลิโคนคาร์บอนดีมีค่ามากขึ้น เช่น กรณีค่าเฉลี่ยขนาดเส้นผ่าศูนย์กลางอนุภาคซิลิโคนคาร์บอนดี 13.5 μm และค่าสัดส่วนของปริมาตรระหว่างอนุภาคและชิ้นงานเซรามิก 0.6 ก่อให้เกิดค่าความดันเริ่มต้น 1.72 MPa นับเป็นค่าความดันที่สูงมาก โดยหากความดันของน้ำโลหะอะลูมิเนียมเหลวที่เกิดในชิ้นส่วนท่อทางวิ่งน้ำโลหะนี้มีค่าน้อยกว่าหรือเท่ากับค่าความดันเริ่มต้น ซึ่งเป็นแรงด้านทานภายในระหว่างอนุภาคเซรามิกในซิลิโคนคาร์บอนดีอัดขึ้นรูปทำให้การไหลของน้ำโลหะอะลูมิเนียมเหลวหยุดและเกิดการแข็งตัวก่อนเข้าแทรกซึมระหว่างช่องว่างของอนุภาคเซรามิกได้เพียงพอ และเมื่อนำค่าความดันเริ่มต้นขึ้นมาเปรียบเทียบกับค่าความดันของน้ำโลหะอะลูมิเนียมเหลวที่เกิดขึ้นในชิ้นส่วนท่อทางวิ่งน้ำโลหะของหัวข้อ 3.1.1 นั้น พบว่าถึงแม้ว่าค่าความดันเริ่มต้นที่กล่าวมาข้างต้นจะมีค่าที่สูงมากถึง 1.72 MPa แต่ค่าความดันของน้ำโลหะอะลูมิเนียมเหลวที่เกิดขึ้นในชิ้นส่วนท่อทางวิ่งน้ำโลหะ ในกรณีความเร็วเชิงเส้นในการหมุนเหวี่ยง 1,800 rpm ก่อให้เกิดความดันของน้ำโลหะอะลูมิเนียมเหลวที่เกิดในชิ้นส่วนท่อทางวิ่งน้ำโลหะ 4.26 MPa ถึงมีค่ามากกว่าค่าความดันเริ่มต้นแสดงให้เห็นว่าน้ำโลหะอะลูมิเนียมเหลวนี้มีค่าความดันที่มากเพียงพอที่จะเข้าไปแทรกซึมในระหว่างช่องว่างของอนุภาคซิลิโคนคาร์บอนดีสามารถผลิตเป็นวัสดุผสมเนื้ออะลูมิเนียมได้จริงและที่กรณีความเร็วเชิงเส้นในการหมุนเหวี่ยง 1,800 rpm ชุดระบบการหล่อเหวี่ยงความดันสูงสามารถทำงานได้เป็นอย่างดี ไม่เกิดความลื่ຍหาย

3.2.3 สรุปผลค่าความดันสูงสุด

ค่าความดันสูงสุดคือค่าความดันสูงสุดของน้ำโลหะอะลูมิเนียมเหลวที่สามารถเกิดขึ้นได้ในชิ้นส่วนท่อทางวิ่งน้ำโลหะ ซึ่งหมายความว่าเป็นค่าความดันสูงสุดของน้ำโลหะอะลูมิเนียมเหลวที่สามารถเกิดขึ้นได้ในชิ้นส่วนท่อทางวิ่งน้ำโลหะ หากค่าความดันของน้ำโลหะอะลูมิเนียมเหลวที่เกิดขึ้นในชิ้นส่วนท่อทางวิ่งน้ำโลหะซึ่งมีความสัมพันธ์กับความเร็วเชิงเส้นในการหมุนเหวี่ยงมีค่ามากกว่าค่าความดันสูงสุด ชุดระบบการหล่อเหวี่ยงความดันสูงอาจไม่สามารถทำงานได้อよ่างเต็มที่หรืออาจเกิดความเสียหายได้ โดยค่าความดันสูงสุดนี้มีค่าขึ้นอยู่กับรัศมีภายในและรัศมีภายนอกของชิ้นส่วนท่อทางวิ่งน้ำโลหะ จากผลการคำนวณหาค่าความดันสูงสุดของน้ำโลหะอะลูมิเนียมเหลวที่สามารถเกิดขึ้นได้ ซึ่งแสดงค่าในตารางที่ 3.3 นั้น พบว่าค่าความดันของน้ำโลหะอะลูมิเนียมเหลวที่เกิดขึ้นในชิ้นส่วนท่อทางวิ่งน้ำโลหะ ในข้อ 3.1.1 แม้ที่ความเร็วเชิงเส้นในการหมุนเหวี่ยง 1,800 rpm ที่ก่อให้เกิดความดันของน้ำโลหะอะลูมิเนียมเหลวที่เกิดในชิ้นส่วนท่อทางวิ่งน้ำโลหะ 4.26 MPa จะมีค่าน้อยกว่าเมื่อนำมาเปรียบเทียบกับค่าความดันสูงสุดของน้ำโลหะอะลูมิเนียมเหลวที่สามารถเกิดขึ้นได้ในชิ้นส่วนท่อทางวิ่งน้ำโลหะ ซึ่งมีค่า 13.95 MPa ในกรณีค่า

ปัจจัยความปลอดภัยเท่ากับ 20 แสดงให้เห็นว่าถึงแม้ที่ความเร็วเชิงเส้นในการหมุนเหวี่ยงสูงสุดซึ่งก่อให้เกิดค่าความดันของน้ำโลหะอะลูมิเนียมเหลวที่สูงสุดที่เกิดในชิ้นส่วนท่อทางวิ่งน้ำโลหะแต่ชุดระบบการหล่อเหลวที่อุ่นความดันสูงที่ออกแบบมาดังนี้จะไม่เกิดการเสียหายและมีความเป็นไปได้ที่จะใช้งานในการผลิตเป็นวัสดุผสมเนื้ออัลูมิเนียม ได้จริง โดยมีค่าปัจจัยความปลอดภัยรองรับอยู่ถึงในระดับ 20

3.2.4 สรุปผลค่าความเดินในแนวหน้าศูนย์กลางที่เกิดจากแรงดันน้ำโลหะพุ่งออกแนวหน้าศูนย์กลาง

ความเดินในแนวหน้าศูนย์กลางเกิดเมื่อน้ำโลหะอะลูมิเนียมเหลวที่เติมเข้าในชุดระบบการหล่อเหลวที่อุ่นความดันสูงในขณะที่เกิดการหมุนเหวี่ยงคงที่จะถูกเหวี่ยงให้เข้าชิ้นส่วนที่รองรับผ่านทางชิ้นส่วนท่อทางวิ่งและดันน้ำโลหะอะลูมิเนียมเหลวให้ผ่านเข้าสู่ชิ้นส่วนแม่พิมพ์ซึ่งน้ำโลหะอะลูมิเนียมเหลวที่ถูกเหวี่ยงจะเป็นแรงดันน้ำโลหะอะลูมิเนียมเหลวพุ่งออกในแนวหน้าศูนย์กลางทำให้เกิดความเดินในแนวหน้าศูนย์กลาง ซึ่งแสดงค่าในตารางที่ 3.4 และ 3.5 นั้น พบว่าแรงดันน้ำโลหะพุ่งออกในแนวหน้าศูนย์กลางสูงสุดทำให้เกิดแรงดันให้น้ำโลหะพุ่งออกในแนวหน้าศูนย์กลาง 18.18 kN กรณีความเร็วเชิงเส้นในการหมุนเหวี่ยงสูงสุด 1,800 rpm และก่อให้เกิดค่าความเดินในแนวหน้าศูนย์กลาง 57.89 MPa สูงที่สุดที่บริเวณพื้นที่หน้าแปลนของชิ้นส่วนท่อทางวิ่งน้ำโลหะซึ่งต่อ กับชิ้นส่วนที่รองรับน้ำโลหะของชุดระบบการหล่อเหลวที่อุ่นความดันสูง ค่าความเดินในแนวหน้าศูนย์กลางที่คำนวนได้นั้นถึงจะมีมากแต่เมื่อทำการเปรียบเทียบกับสมบัติของเหล็กกล้าคาร์บอนสูง ชนิด AISI 1090 ที่เป็นวัสดุโลหะที่ใช้ในการออกแบบและสร้างชุดระบบการหล่อเหลวที่อุ่นความดันสูง ที่อุณหภูมิ 450 °C ซึ่งเป็นค่าอุณหภูมิสำหรับการทดสอบกระบวนการหล่อโลหะแบบเหวี่ยงด้วยความดันสูง พบว่ามีค่าสมบัติความแข็งแรงดึงสูงสุด 593 MPa เมื่อพิจารณาของทั้งค่าความเดินในแนวหน้าศูนย์กลางและค่าสมบัติความแข็งแรงดึงสูงสุดของเหล็กกล้าคาร์บอนสูง ชนิด AISI 1090 ข้างต้น พบว่าชุดระบบการหล่อเหลวที่อุ่นความดันสูงที่ได้ทำการออกแบบและสร้างมีค่าปัจจัยความปลอดภัยรองรับอยู่ถึงในระดับ 10 ซึ่งแสดงให้เห็นว่าค่าแรงดันน้ำโลหะพุ่งออกในแนวหน้าศูนย์กลางและค่าความเดินในแนวหน้าศูนย์กลางแทนจะไม่มีผลต่อการทำงานของชุดระบบการหล่อเหลวที่อุ่นความดันสูง ไม่เกิดการเสียหายและมีความเป็นไปได้ที่จะใช้งานในการผลิตเป็นวัสดุผสมเนื้ออัลูมิเนียม ได้จริง

3.2.5 สรุปผลค่าความเค้นน้ำหนักรวมที่เกิดจากแรงน้ำหนัก

ทำการสมมุติให้ชิ้นส่วนท่อทางวิ่งน้ำโลหะและชิ้นส่วนแม่พิมพ์เป็นเหล็กกล้าคาร์บอนสูง ชนิด AISI 1090 ทรงตันตลอดเพื่อศึกษาดูว่าหากชิ้นส่วนทั้ง 2 ชิ้นนี้ สามารถทนต่อน้ำหนักทรงตันได้กี่ย่อนที่จะทนต่อชิ้นส่วนวัสดุโลหะทรงกลวงและอะลูมิเนียมที่แข็งตัวอยู่ภายในได้เช่นกัน (ความหนาแน่นของเหล็กกล้าคาร์บอนสูงมีค่ามากกว่าอะลูมิเนียม) เมื่อชุดระบบการหล่อเหลี่ยงความดันสูงเกิดการหมุนที่คงที่แล้ว น้ำโลหะอะลูมิเนียมเหลวที่ถูกเติมเข้าไปในชิ้นส่วนที่รองรับน้ำโลหะ, ท่อทางวิ่งน้ำโลหะ, แม่พิมพ์ จะเกิดการแข็งตัวทำให้เกิดน้ำหนักทิศพุ่งลงตามแรงโน้มถ่วงโลก จากผลการคำนวณหาค่าความเค้นจากน้ำหนักรวมที่เกิดขึ้นกับชิ้นส่วนท่อทางวิ่งน้ำโลหะและชิ้นส่วนแม่พิมพ์ของชุดระบบการหล่อเหลี่ยงความดันสูงที่ได้ทำการออกแบบและจัดสร้าง แสดงค่าในตารางที่ 3.8 นั้น พบว่าที่เส้นผ่าศูนย์กลางภายนอกชิ้นส่วนท่อทางวิ่งน้ำโลหะ 25 mm ความเร็วเชิงเส้นในการหมุนเหลี่ยงสูงสุด 1,800 rpm เกิดแรงเหลี่ยงหนีศูนย์กลาง 18.18 kN และจะก่อให้เกิดค่าความเค้นจากน้ำหนักรวม 38.25 MPa สูงที่สุดที่บริเวณพื้นที่หน้าแปลนของชิ้นส่วนท่อทางวิ่งน้ำโลหะซึ่งต่อ กับชิ้นส่วนที่รองรับน้ำโลหะ แต่เมื่อทำการเปรียบเทียบกับสมบัติของเหล็กกล้าคาร์บอนสูง ชนิด AISI 1090 ที่เป็นวัสดุโลหะที่ใช้ในการออกแบบและสร้างชุดระบบการหล่อเหลี่ยงความดันสูง ที่อุณหภูมิ 450 °C ซึ่งเป็นค่าอุณหภูมิสำหรับการทดสอบกระบวนการหล่อโลหะแบบเหลี่ยงด้วยความดันสูง พบว่ามีค่าสมบัติความแข็งแรงคงที่สูงสุด 593 MPa เมื่อพิจารณาของทั้งค่าความเค้นจากน้ำหนักรวมและค่าสมบัติความแข็งแรงคงที่สูงสุดของเหล็กกล้าคาร์บอนสูง ชนิด AISI 1090 ข้างต้น พบว่าชุดระบบการหล่อเหลี่ยงความดันสูงในส่วนของชิ้นส่วนท่อทางวิ่งน้ำโลหะและชิ้นส่วนแม่พิมพ์ทรงตันมีค่าปัจจัยความปลดภัยรองรับอยู่ถึงในระดับ 15 ซึ่งแสดงให้เห็นว่าค่าความเค้นจากน้ำหนักรวมแทบทะลไม่มีผลต่อการทำงานของชุดระบบการหล่อเหลี่ยงความดันสูงที่ได้ทำการออกแบบและจัดสร้าง ไม่เกิดการเสียหายและมีความเป็นไปได้ที่จะใช้งานในการผลิตเป็นวัสดุผสมเนื้ออะลูมิเนียมได้จริง

3.2.6 สรุปผลค่าความเค้นจากการดัดโค้ง

ความเค้นจากการดัดโค้งเกิดจากโมเมนต์ที่เกิดช่วงเริ่มต้นของการหมุนหรือโมเมนต์ความเฉื่อย ซึ่งเป็นโมเมนต์ที่ต่อต้านการเคลื่อนที่ (จากที่ชิ้นงานอยู่นิ่ง) ของชิ้นงานตามกฎข้อที่ 1 ของนิวตัน ที่กระทำต่อหน้าแปลนของชิ้นส่วนท่อทางวิ่งน้ำโลหะซึ่งต่อประกับกับชิ้นส่วนที่รองรับน้ำโลหะของชุดระบบการหล่อเหลี่ยงความดันสูงที่ได้ทำการออกแบบและจัดสร้าง

ผลการคำนวณหาค่าความเดินจาก การดัดโค้ง และงค่าในตารางที่ 3.9 พบว่าที่รัศมีภายในนอกขนาด 12.5 mm รัศมีภายในขนาด 7.5 mm รัศมีภายในปลายสุดขนาด 1 mm ของชิ้นส่วนท่อทางวิ่งน้ำโลหะและมวลของเหล็กกล้าคาร์บอนสูง ชนิด AISI 1090 มีค่าเท่ากับ 1.45 kg ก่อให้เกิดค่าความเดินจาก การดัดโค้ง 0.0056 MPa สูงที่สุดที่บริเวณพื้นที่หน้าแปลนของชิ้นส่วนท่อทางวิ่งน้ำโลหะซึ่งต่อ กับชิ้นส่วนที่รองรับน้ำโลหะ แต่เมื่อทำการเปรียบเทียบกับสมบัติของเหล็กกล้าคาร์บอนสูง ชนิด AISI 1090 ที่เป็นวัสดุโลหะที่ใช้ในการออกแบบและสร้างชุดระบบการหล่อโลหะแบบ เหวี่ยงด้วยความดันสูงที่ อุณหภูมิ 450 °C ซึ่งเป็นค่าอุณหภูมิสำหรับการทดลองกระบวนการหล่อโลหะแบบเหวี่ยงด้วยความดันสูง (เนื่องจากก่อนการปิดเครื่องเพื่อหมุนเหวี่ยงหรือกีดีการทดลองกระบวนการหล่อโลหะ แบบเหวี่ยงด้วยความดันสูงทางผู้วิจัยจำเป็นต้องทำการเผาอุ่นชุดระบบการหล่อเหวี่ยงความดันสูง ให้ได้อุณหภูมิตั้งค่าไว้) พบว่ามีค่าสมบัติความแข็งแรงดึงสูงสุด 593 MPa จากการเปรียบเทียบ ระหว่างค่าความเดินจาก การดัดโค้งที่กระทำต่อหน้าแปลนของชิ้นส่วนท่อทางวิ่งน้ำโลหะซึ่งต่อ ประกบกับชิ้นส่วนที่รองรับน้ำโลหะและค่าสมบัติความแข็งแรงดึงสูงสุดของเหล็กกล้าคาร์บอนสูง ชนิด AISI 1090 พบว่าค่าความเดินจาก การดัดโค้งมีค่าที่น้อยมากจนแทบจะ ไม่มีผลต่อการทำงาน ของชุดระบบการหล่อเหวี่ยงความดันสูงที่ได้ทำการออกแบบและจัดสร้าง ไม่เกิดการเสียหายและมี ความเป็นไปได้ที่จะใช้งานในการผลิตเป็นวัสดุสมเนื้ออະลูมิเนียม ได้จริง

3.2.7 สรุปผลเวลาในการแข็งตัวของน้ำโลหะ

เมื่อทำการทดลองกระบวนการหล่อโลหะแบบเหวี่ยงด้วยความดันสูง น้ำโลหะ อะลูมิเนียมเหลวที่ถูกเทเข้าชุดระบบการหล่อเหวี่ยงความดันสูง โดยเข้าทางชิ้นส่วนที่รองรับผ่าน ทางชิ้นส่วนท่อทางวิ่งและดันน้ำโลหะอะลูมิเนียมเหลวให้ผ่านเข้าสู่ชิ้นส่วนแม่พิมพ์ ซึ่งภายใน บรรจุชุดคอนกรีตอัดขึ้นรูป น้ำโลหะอะลูมิเนียมเหลวจะถูกเหวี่ยงหนีศูนย์กลางให้เข้าไปแทรก ซึ่งช่องว่างระหว่างอนุภาคชิุดคอนกรีตอัดขึ้นรูป ซึ่งเวลาในการแข็งตัว ของน้ำโลหะเป็นการหาว่าจะต้องใช้เวลานานเท่าใดน้ำโลหะอะลูมิเนียมเหลวจะแข็งตัว จากการคำนวณหาค่าเวลาในการแข็งตัวของน้ำโลหะอะลูมิเนียมเหลวและค่าระยะเวลาที่น้ำโลหะ อะลูมิเนียมเหลวถูกเหวี่ยงหนีศูนย์ให้เคลื่อนตัวเข้าไปในชิ้นส่วนแม่พิมพ์ แสดงค่าในตารางที่ 3.10 และ 3.11 พบว่าที่อุณหภูมิของเครื่องมือ 25 °C ซึ่งเป็นอุณหภูมิของเครื่องมือที่มีค่าต่ำกว่าจุด เริ่ยกได้เป็นอุณหภูมิห้อง (ในความเป็นจริงอุณหภูมิของเครื่องมือจะเป็น 450 °C เพราะเป็นอุณหภูมิที่ ใช้ในการเผาอุ่นชุดระบบการหล่อเหวี่ยงความดันสูงสำหรับการทดลองกระบวนการหล่อโลหะ แบบเหวี่ยงด้วยความดันสูง) เวลาในการแข็งตัวของน้ำโลหะอะลูมิเนียมเหลวในชิ้นส่วนแม่พิมพ์ได้

ค่าเวลาในการแข็งตัวที่ 0.85 s ซึ่งหากทำการสังเกต ตารางที่ 3.10 จะพบว่าหากอุณหภูมิของ เครื่องมือยิ่งมีค่าที่มากขึ้นเวลาในการแข็งตัวของน้ำโลหะอะลูมิเนียมเหลวในชิ้นส่วนแม่พิมพ์ก็จะมี แนวโน้มที่มากขึ้นเช่นกัน และเมื่อทำการเปรียบเทียบกับระยะเวลาที่น้ำโลหะอะลูมิเนียมเหลวที่ถูก เหวี่ยงหนีศูนย์เคลื่อนตัวเข้าไปในชิ้นส่วนแม่พิมพ์ในการณ์ความเร็วเชิงเด่นในการหมุนเหวี่ยง 1,800 rpm จะใช้เวลาเพียง 0.011 s พนว่าระยะเวลาที่น้ำโลหะอะลูมิเนียมเหลวที่ใช้ในการเคลื่อนตัวเข้าไป ในชิ้นส่วนแม่พิมพ์มีค่าน้อยกว่าเวลาในการแข็งตัวของน้ำโลหะอะลูมิเนียมเหลวอยู่มาก ซึ่ง หมายความว่าน้ำโลหะอะลูมิเนียมเหลวจะถูกเหวี่ยงหนีศูนย์กลางให้เข้าไปในชิ้นส่วนแม่พิมพ์ ก่อนที่น้ำโลหะอะลูมิเนียมเหลวจะเกิดการแข็งตัว ถึงแม้ชุดระบบการหล่อเหวี่ยงความดันสูงจะ ไม่ได้ถูกเพาอุ่นจนอุณหภูมิของเครื่องมือมีค่าที่ต่ำมากจนแทนเป็นอุณหภูมิห้อง ซึ่งหากเป็นอุณหภูมิที่ ใช้ในการเพาอุ่นชุดระบบการหล่อเหวี่ยงความดันสูงจริงสำหรับใช้ในการทดลองกระบวนการหล่อ โลหะแบบเหวี่ยงด้วยความดันสูงยังเป็นสิ่งที่ชี้ได้ว่าน้ำโลหะอะลูมิเนียมเหลวที่ถูกเทเข้าในชุดระบบ การหล่อเหวี่ยงความดันสูงจะไม่แข็งตัวก่อนเข้าไปในชิ้นส่วนแม่พิมพ์

3.2.8 สรุปผลค่าความเค้นที่เกิดขึ้นกับสลักเกลียวสำหรับจับยึดชิ้นส่วนประกอบของชุดระบบ การหล่อเหวี่ยงความดันสูง

หลังจากคำนวณและออกแบบชุดระบบการหล่อเหวี่ยงความดันสูงได้แล้ว จำเป็นต้องคำนวณหาค่าความเค้นที่สลักเกลียว เพื่อที่น้ำโลหะจะสามารถจับยึด ชิ้นส่วนของชุดระบบการหล่อเหวี่ยงความดันสูงของสลักเกลียว ซึ่งที่หน้าแปลนประกอบระบุว่าง ชิ้นส่วนที่รองรับน้ำโลหะกับชิ้นส่วนท่อทางวิ่งน้ำโลหะของชุดระบบการหล่อเหวี่ยงความดันสูง เป็นบริเวณที่จะเกิดค่าความเค้นสูงที่สุดเมื่อเทียบกับบริเวณอื่นๆ พิจารณาจากหัวข้อ 3.1.4 และ 3.1.6 ผลการคำนวณค่าความเค้นของสลักเกลียว 1 ตัว ที่บริเวณหน้าแปลนประกอบระบุว่างชิ้นส่วนที่ รองรับน้ำโลหะกับชิ้นส่วนท่อทางวิ่งน้ำโลหะของชุดระบบการหล่อเหวี่ยงความดันสูง พนว่าสลัก เกลียวขนาด 6 mm จำนวน 1 ตัว (ตามที่ได้ออกแบบชุดระบบการหล่อเหวี่ยงความดันสูงนั้น ที่ บริเวณหน้าแปลนประกอบระบุว่างชิ้นส่วนที่รองรับน้ำโลหะกับชิ้นส่วนท่อทางวิ่งน้ำโลหะต้องใช้ สลักเกลียว 8 ตัว แต่พิจารณาสลักเกลียวเพียง 1 ตัว เนื่องจากค่าความเค้นที่สลักเกลียวต้องรับภาระ เป็นแบบการกระจาย) ต้องรับค่าความเค้นของสลักเกลียว 737 MPa เมื่อทำการเปรียบเทียบกับ ตารางมาตรฐานความแข็งแรงของสลักเกลียวตาม SAE Class พนว่ายังไม่เกินค่ากำลังครากของสลัก เกลียวตาม SAE Class ขนาด 6 mm ที่มีขนาดเท่ากับ 940 MPa ทำให้ได้ค่าปัจจัยความปลอดภัย รองรับอยู่ที่ในระดับ 1.28 ซึ่งหมายความว่าค่าความเค้นของสลักเกลียวขนาด 6 mm ที่ต้องรับภาระ

ที่บีริเวณหน้าแปลนประกอบระหว่างชั้นส่วนที่รองรับน้ำโลหะกับชั้นส่วนท่อทางวิ่งน้ำโลหะมีค่าที่น้ำอยมากจนແບບจะไม่มีผลต่อการทำงานของชุดระบบการหล่อเทวียงความดันสูงที่ได้ทำการออกแบบและจัดสร้าง ไม่เกิดการเสียหายและมีความเป็นไปได้ที่จะใช้งานในการผลิตเป็นวัสดุผสมเนื้ออะลูมิเนียมได้จริง

บทที่ 4

วิธีการวิจัย

ในการวิจัยครั้งนี้มีแนวคิดที่จะพัฒนาระบวนการหล่อโลหะแบบใหม่เพื่อช่วยความดันสูงสำหรับการแทรกซึมโดยการใช้โลหะอะลูมิเนียมเป็นเนื้อหลัก เพื่อผลิตวัสดุผสมเนื้ออะลูมิเนียมที่ได้จากการเปลี่ยนค่าตัวแปร โดยใช้น้ำโลหะอะลูมิเนียม เกรด A356 เหลวให้เข้าไปแทรกซึมในผงซิลิโคนคาร์ไบด์ที่ได้ทำการอัดขึ้นรูปแล้ว จากนั้นนำไปทดสอบสมบัติทางกล และโครงสร้างระดับบุลภาคนโดยในการวิจัยนี้จะศึกษาอิทธิพลของตัวแปรควบคุมในกระบวนการมีดังนี้

1. ขนาดของผงซิลิโคนคาร์ไบด์ (100μ , 68μ , 25μ และ 13.5μ)
2. ค่าความดันของน้ำโลหะอะลูมิเนียมเหลว (4264.67 , 1895.41 , 1316.26 , 842.40 , 339.68 , 288.29 , 193.08 , 154.85 kPa)
3. ค่าสัดส่วนของปริมาตรระหว่างอนุภาคและชิ้นงานเซรามิกอัดขึ้นรูปของซิลิโคนคาร์ไบด์อัดขึ้นรูป 54 ± 6
4. อุณหภูมิเผาอุ่นชุดกระบวนการหล่อเหลวที่ความดันสูง ($T_{\text{ท่อร้อน}} \geq 472^{\circ}\text{C}$, $T_{\text{ท่อหางร่วง}} \geq 615^{\circ}\text{C}$, $T_{\text{แม่พิมพ์}} \geq 320^{\circ}\text{C}$)

ผู้วิจัยได้กำหนดครรภ์เบียบวิธีวิจัยโดยมีขั้นตอนดำเนินงานดังนี้

4.1 วัสดุที่ใช้ในการวิจัย

วัสดุสำคัญที่ใช้ในการวิจัยนี้คือ อะลูมิเนียม เกรด A356 และผงซิลิโคนคาร์ไบด์ซึ่งอะลูมิเนียม เกรด A356 และผงซิลิโคนคาร์ไบด์ มีสมบัติดังตารางที่ 4.1-4.2 ตามลำดับ

4.1.1 สมบัติทางกายภาพของอะลูมิเนียม เกรด A356-T61

ในการทดลองวิจัยการหล่อโลหะแบบเทวียงด้วยความดันสูงสำหรับการแทรกซึมเพื่อผลิตวัสดุผสมเนื้ออัลูมิเนียม ได้ทำการเลือกใช้โลหะอะลูมิเนียม เกรด A356 เป็นเนื้อหลัก ทางผู้จัดจึงต้องทำการศึกษาและหาข้อมูลสมบัติของอะลูมิเนียม เกรด A356 ซึ่งแสดงดังตารางที่ 4.1

ตารางที่ 4.1 สมบัติของอะลูมิเนียม เกรด A356-T61

สมบัติ	หน่วย Metric	หน่วย English
Physical Properties		
- Density	2.67 g/cm ³	0.0965 lb/in ³
Mechanical Properties		
- Hardness, Brinell	70.0 – 100	70.0 – 100
- Hardness, Knoop	109	109
- Hardness, Rockwell A	36	36
- Hardness, Rockwell B	53	53
- Hardness, Vickers	96	96
- Ultimate Tensile Strength	255 MPa	37.0 ksi
- Tensile Yield Strength	179 MPa	26.0 ksi
- Elongation at Break	5.00%	5.00%
- Modulus of Elasticity	72.4 GPa	10,500 ksi
- Compressive Yield Strength	195 MPa	28,300 ksi
- Poissons Ratio	0.33	0.33
- Machinability	50%	50%
- Shear Modulus	27.2 GPa	3,950 ksi
- Shear Strength	155 MPa	22,500 ksi
Electrical Properties		
- Electrical Resistivity	0.00000440 ohm-cm	0.00000440 ohm-cm

ตารางที่ 4.1 (ต่อ) สมบัติของอะลูมิเนียม เกรด A356-T61

สมบัติ	หน่วย Metric	หน่วย English
Thermal Properties		
- Heat of Fusion	389 J/g	167 BTU/lb
- CTE, linear	21.4 $\mu\text{m}/\text{m} \cdot ^\circ\text{C}$	11.9 $\mu\text{in}/\text{in} \cdot ^\circ\text{F}$
- Specific Heat Capacity	0.963 J/g- $^\circ\text{C}$	0.230 BTU/lb- $^\circ\text{F}$
- Thermal Conductivity	151 W/m-K	1040 BTU-in/hr-ft ² - $^\circ\text{F}$
- Melting Point	557.2 - 612.8 $^\circ\text{C}$	1035 - 1135 $^\circ\text{F}$
- Solidus	557.2 $^\circ\text{C}$	1035 $^\circ\text{F}$
- Liquidus	612.8 $^\circ\text{C}$	1135 $^\circ\text{F}$
Processing Properties		
- Melt Temperature	677 - 816 $^\circ\text{C}$	1250 - 1500 $^\circ\text{F}$
- Solution Temperature	535 - 540.6 $^\circ\text{C}$	995 - 1005 $^\circ\text{F}$
- Casting Temperature	677 - 788 $^\circ\text{C}$	1250 - 1450 $^\circ\text{F}$

ที่มา : Automation Creations, Inc. (2010)

4.1.2 สมบัติทางกายภาพของซิลิโคนคาร์บีด

ในการทดลองวิจัยการหล่อโลหะแบบเทวีงด้วยความดันสูงสำหรับการแทรกซึมเพื่อผลิตวัสดุผสมเนื้ออัลูมิเนียม ได้ทำการเลือกใช้เซรามิกซิลิโคนคาร์บีดเป็นวัสดุเสริมแรง ทางผู้วิจัยจึงต้องทำการศึกษาและหาข้อมูลสมบัติของซิลิโคนคาร์บีด ซึ่งแสดงดังตารางที่ 4.2

ตารางที่ 4.2 สมบัติของซิลิคอนคาร์ไบด์

สมบัติ	แอลฟ่า-ซิลิคอนคาร์ไบด์ $\alpha - SiC$	บีตา-ซิลิคอนคาร์ไบด์ $\beta - SiC$
สมบัติทางระบบผลึก		
- น้ำหนักโมเลกุล (M. W.)	40.10	40.10
- ความหนาแน่นทางทฤษฎี (TD, g/cm ³)	3.21	3.21
- โครงสร้างผลึก (crystal structure)	ເສກະໂກນອດ	ຄົວບົກ
สมบัติทางเทอร์โมໄໂຄນາມີກແລະ ຄວາມຮ້ອນ		
- ຄວາມຈຸຄວາມຮ້ອນທີ່ຄວາມດັນຄົງທີ່ (C_p , J/mol.K) ^l	298-662 (ເຄລວິນ) ^a	298-678 (ເຄລວິນ) ^c
- ເອນຫາລົງ (Δ _f H° ₂₉₈ , kJ/mol)	662-3200 (ເຄລວິນ) ^b	678-3200 (ເຄລວິນ) ^d
- ພັດງານເສົ້າຂອງກົບສົ່ງ (Δ _f G° ₂₉₈ , kJ/mol)	-71.6	-73.2
- ເອນໂທຣີ (S° ₂₉₈ , J/mol.K)	-69.1	-70.9
- ຈຸດທອມເໜລວ (T _{mp} , K)	16.5	16.6
- ສັນປະຕິທີ່ການຂາຍຕ້ວຖາງຄວາມຮ້ອນ (α, 10 ⁻⁶ /K)	3103	-
- 5.12 (298-1273 ເຄລວິນ)	5.48 (298-1773 ເຄລວິນ)	3.8 (473 ເຄລວິນ)
- 5.77 (298-2273 ເຄລວິນ)	41.0 (293 ເຄລວິນ)	4.3 (673 ເຄລວິນ)
- 33.5 (873 ເຄລວິນ)	42.0 (300 ເຄລວິນ)	4.8 (873 ເຄລວິນ)
- 25.5 (1073 ເຄລວິນ)	19.0 (1000 ເຄລວິນ)	42.0 (300 ເຄລວິນ)
- 13.0 (1500 ເຄລວິນ)		
สมบัติทางกล		
(ທີ່ອຸນຫກົມ 293 ເຄລວິນ)		
- ຍັງມອດຽ້ສ (E, GPa)	408	432
- ຄວາມທນແຮງດັດ ໂດັ່ງ (σ _{bend} , MPa)	350 ± 40	560
สมบัติทางไฟฟ້າ		
(ທີ່ອຸນຫກົມ 293 ເຄລວິນ)		
ຄວາມຕ້ານຫານໄຟຟ້າ (ρ × 10 ⁸ , Ω.m)	4x10 ⁵	(0.17-1)x10 ⁶

ที่มา : ศิริพร ลาภເກີຍຕິດາວ (2547)

4.2 เครื่องมือและอุปกรณ์

ในการทดลองวิจัยการหล่อโลหะแบบหัวยงด้วยความดันสูงสำหรับการแทรกซึมเพื่อผลิตวัสดุผสมเนื้ออัลูมิเนียม ทำการเลือกใช้โลหะอะลูมิเนียม เกรด A356 เป็นเนื้อหลักและเซรามิกซิลิโคนคาร์บอนด์เป็นวัสดุเสริมแรง นอกจากวัสดุทั้งสองชนิดนี้แล้วในการทดลองวิจัยยังคงมีเครื่องมือและอุปกรณ์ซึ่งมีผลต่อการผลิตวัสดุผสมเนื้ออัลูมิเนียม ทางผู้วิจัยจึงต้องทำการศึกษาและเลือกใช้เครื่องมือและอุปกรณ์ให้มีความเหมาะสม เพื่อให้การหล่อโลหะแบบหัวยงด้วยความดันสูงเพื่อผลิตวัสดุผสมเนื้ออัลูมิเนียมประสบความสำเร็จได้ดียิ่งขึ้น ซึ่งเครื่องมือและอุปกรณ์ที่ได้ทำการเลือกมีดังต่อไปนี้

4.2.1 เตาหลอมโลหะชนิดคลอดความต้านทาน (Resistance furnace)

เตาหลอมโลหะชนิดคลอดความต้านทานใช้เพื่อในการหลอมอะลูมิเนียม เกรด A356 ให้เหลวเพื่อเตรียมสำหรับทดลองการหล่อโลหะแบบหัวยงด้วยความดันสูงและทำการสะอาดชุดระบบการหล่อหัวยงความดันสูง ดังรูปที่ 4.1



รูปที่ 4.1 เตาหลอมโลหะชนิดคลอดความต้านทาน

4.2.2 เตาเผาอุณหภูมิต่ำ

เตาเผาอุณหภูมิต่ำที่เลือกใช้เป็นเตาเผานิด Lindberg/Blue Moldatherm 1100 °C Box Furnace ซึ่งมีช่วงอุณหภูมิในการใช้งานอยู่ในช่วง 100 °C - 1,100 °C มีขนาดพื้นที่ภายใน

9" (228 mm) x 14" (356 mm) x 9" (228 mm) ใช้ในการอบผนังชิ้นงานซิลิคอนคาร์บอนค์อัดขึ้นรูปให้มีความแข็งตัวและคงรูปอยู่ได้ ดังรูปที่ 4.2



รูปที่ 4.2 เตาเผาอุณหภูมิคงตัว (Lindberg/Blue Moldatherm 1100 °C Box Furnace)

4.2.3 เครื่องอัดตัวอย่างไฮดรอลิกส์ (Hydraulic press machine)

เครื่องอัดชิ้นงานซิลิคอนคาร์บอนค์อัดขึ้นรูปที่เลือกใช้เป็นเครื่องอัดไฮดรอลิกส์ชนิด HERZOG, Cap.200kN ใช้เพื่อการอัดชิ้นรูปชิ้นงานซิลิคอนคาร์บอนค์อัดขึ้นรูป ดังรูปที่ 4.3



รูปที่ 4.3 เครื่องอัดตัวอย่างไฮดรอลิกส์

4.2.4 เครื่องทดสอบความแข็ง (Hardness Test)

ชิ้นงานวัสดุผสมเนื้ออัลูมิเนียมที่ผลิตได้ทั้งหมดจากการหล่อโลหะแบบเหวี่ยงด้วยความดันสูงจะถูกนำมาทดสอบเพื่อหาค่าสมบัติความแข็ง โดยการทดสอบความแข็งจะเป็นการ

ทดสอบแบบรีอคเวลต์ (Rockwell hardness test) ชนิด FUTURE-TECN รุ่น FR-LeA ดังรูปที่ 4.4



รูปที่ 4.4 เครื่องทดสอบความแข็งแบบรีอคเวลต์

4.2.5 อุปกรณ์ทดสอบหาค่าความด้านทานต่อการสึกหรอ

ชิ้นงานวัสดุพสมเนื้ออะลูมิเนียมที่ผลิตได้ทั้งหมดจากการหล่อโลหะแบบหัวเย็บ ตัวความดันสูงจะถูกนำมายทดสอบเพื่อหาสมบัติค่าความด้านทานต่อการสึกหรอ โดยทำการทดสอบด้วยอุปกรณ์ทดสอบหาค่าความด้านทานต่อการสึกหรอ ดังรูปที่ 4.5



รูปที่ 4.5 อุปกรณ์ทดสอบหาค่าความด้านทานต่อการสึกหรอ

4.2.6 กล้องจุลทรรศน์แบบแสง

กล้องจุลทรรศน์แบบแสงใช้ในการตรวจสอบโครงสร้างระดับจุลภาคของผิวน้ำวัสดุพสมเนื้ออะลูมิเนียม ที่ผลิตได้จากการหล่อโลหะแบบหัวเย็บตัวความดันสูง ดังรูปที่ 4.6



รูปที่ 4.6 กล้องจุลทรรศน์แบบแสง

4.2.7 เครื่องขัดแบบงานคู่ (Grinder/Polisher)

เครื่องขัดแบบงานคู่ ขนาด 8" ชนิด METKON รุ่น GRIPPO 2V ใช้ร่วมกับอุปกรณ์ทดสอบหาค่าความต้านทานต่อการสึกหรอ เพื่อหาค่าความต้านทานต่อการสึกหรอของชิ้นงานวัสดุ ผสมเนื้ออะลูมิเนียมที่ผลิตได้ทั้งหมดจากการหล่อโลหะแบบเทวีงด้วยความดันสูง ดังรูปที่ 4.7



รูปที่ 4.7 เครื่องขัดแบบงานคู่

4.2.8 กล้องจุลทรรศน์อิเล็กตรอนแบบส่องกราด

กล้องจุลทรรศน์อิเล็กตรอนแบบส่องกราดเป็นกล้องจุลทรรศน์ที่มีกำลังขยายสูง โดยใช้ลำแสงอิเล็กตรอนแทนแสงปกติและใช้สนามแม่เหล็กไฟฟ้าแทนเลนส์แก้ว มีแรงขยายสูงถึง 5,000 เท่า หรือมากกว่า ใช้ในการตรวจสอบโครงสร้างระดับจุลภาคชิ้นงานวัสดุผสมเนื้ออะลูมิเนียม ที่ผลิตได้ทั้งหมดจากการหล่อโลหะแบบเทวีงด้วยความดันสูง ดังรูปที่ 4.8



รูปที่ 4.8 กล้องจุลทรรศน์อิเล็กตรอนแบบส่องกราด

4.2.9 เครื่องชั่งน้ำหนักความละเอียด 2 ตำแหน่ง

เครื่องชั่งน้ำหนักความละเอียด 2 ตำแหน่ง ใช้สำหรับชั่งน้ำหนักของชิ้นงานวัสดุ พสมเนื้ออัลูมิเนียมที่ผลิตได้ทั้งหมดจากการหล่อโลหะแบบเทวีงค์ความดันสูง เพื่อกำนวนหา ความหนาแน่นของชิ้นงาน

4.2.10 เครื่องวัดอุณหภูมิและหัววัดอุณหภูมิ (Thermometer and thermocouple probe)

เครื่องวัดอุณหภูมิใช้ในการวัดอุณหภูมิชุดระบบการหล่อเทวีงความดันสูง หลังจากการเผาอุ่นชุดระบบการหล่อเทวีงความดันสูง โดยทำการใช้งานร่วมกับหัววัดอุณหภูมิ ดัง รูปที่ 4.9



รูปที่ 4.9 เครื่องวัดอุณหภูมิและหัววัดอุณหภูมิ

4.2.11 ชุดอุปกรณ์การอัดขึ้นรูปชิ้นงาน

ชุดอุปกรณ์การอัดขึ้นรูปชิ้นงานเป็นอุปกรณ์ที่ใช้สำหรับอัดผงซิลิโคนคาร์บไบด์ให้เป็นซิลิโคนคาร์บไบด์อัดขึ้นรูป ซึ่งมีลักษณะเป็นแท่งทรงกระบอกขนาดเส้นผ่าศูนย์กลาง 15.1 mm ความสูง 18 -20 mm ดังรูปที่ 4.10



รูปที่ 4.10 ชุดอุปกรณ์สำหรับการอัดขึ้นรูปชิ้นงานซิลิโคนคาร์บไบด์อัดขึ้นรูป

4.2.12 ชุดอุปกรณ์เผาอุ่น

ชุดอุปกรณ์เผาอุ่น ประกอบด้วยหัวเผาก๊าซบีโตรเลียมเหลว (Heavy duty LPG torch) ตอกกับถังก๊าซบีโตรเลียมเหลว (liquefied petroleum gas, LPG) ขนาด 16.8 kg และขาตั้งซึ่งมีไว้สำหรับจับหัวเผา ใช้ทั้งหมด 3 ชุด ดังรูปที่ 4.11



รูปที่ 4.11 ชุดอุปกรณ์เผาอุ่น

4.2.13 รายประคงน้ำโลหะ

รายประคงน้ำโลหะเป็นอุปกรณ์ช่วยเหลือโลหะอะลูมิเนียมเหลวและจะถูกใช้ร่วมด้วยทางเข้าของชุดระบบการหล่อเทวีงความดันสูง ดังรูปที่ 4.12



รูปที่ 4.12 รายประคงน้ำโลหะ

4.2.14 เครื่องหล่อเทวีง

เครื่องหล่อเทวีง ดังรูปที่ 4.13 เป็นเครื่องที่มีไว้ใช้สำหรับการทดลองวิจัยหล่อโลหะแบบเทวีงด้วยความดันสูง และป้องกันอันตรายจากการหล่อโลหะแบบเทวีงด้วยความดันสูง ซึ่งภายในมีแท่นจานหมุนซึ่งจะต่อ กับชุดระบบการหล่อเทวีงความดันสูง โดยใช้มอเตอร์เป็นตัวขับและเครื่องควบคุมความถี่ไฟฟ้ากระแสสลับเป็นตัวควบคุมความเร็วในการหมุน



รูปที่ 4.13 เครื่องหล่อเทวีง

4.2.15 เครื่องควบคุมความถี่ไฟฟ้ากระแสสลับ (Inverter)

เป็นอุปกรณ์ไว้สำหรับปรับและควบคุมความเร็วของมอเตอร์ให้ได้ความเร็วในการหมุนเหวี่ยงตามที่ต้องการ ดังรูปที่ 4.14



รูปที่ 4.14 เครื่องควบคุมความถี่ไฟฟ้ากระแสสลับ

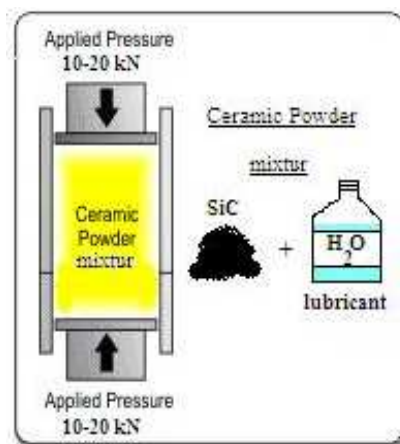
4.3 วิธีการดำเนินงาน

ในการผลิตวัสดุผสมเนื้ออะลูมิเนียมนั้น ได้ทำการศึกษาอิทธิพลของขนาดของผงซิลิคอนคาร์ไบด์ ขนาดของความเร็วที่ใช้ในการหมุนเหวี่ยง ค่าเฉลี่ยสัดส่วนของปริมาตรระหว่างอนุภาคและชิ้นงานเซรามิกของซิลิคอนคาร์ไบด์อัดขึ้นรูป อุณหภูมิเผาอุ่นชุดระบบการหล่อเทวียง ความดันสูง ความแข็งแรงเชิงกลและการสึกหรอ ซึ่งมีรายละเอียดในขั้นตอนต่าง ๆ ดังนี้

4.3.1 ขั้นตอนการผลิตชิ้นงานซิลิคอนคาร์ไบด์อัดชิ้นรูป (SiC Preform)

นำผงซิลิคอนคาร์ไบด์ 6.5 g ผสมกับน้ำ 1.25 ml ซึ่งเป็นสารเชื่อมประสาน (binder) ตกลงในชิ้นส่วนเม้าอัดชิ้นงาน (ซึ่งได้ประกอบกับชิ้นส่วนฐานแล้ว) ของอุปกรณ์การอัดชิ้นรูป ชิ้นงาน จากนั้นประกอบอุปกรณ์การอัดชิ้นงานให้เรียบร้อยแล้วนำไปอัดด้วยเครื่องอัดตัวอย่างไฮดรอลิกส์ที่ความดัน 20 kPa นำชิ้นงานออกจากชิ้นส่วนเม้าอัดชิ้นงานโดยการเปลี่ยนจากชิ้นส่วนฐานมาเป็นชิ้นส่วนฐานปลดชิ้นงาน ประกอบอุปกรณ์การอัดชิ้นงานให้เรียบร้อยอีกครั้งแล้วจึงนำไปอัดด้วยเครื่องอัดตัวอย่างไฮดรอลิกส์ อัดจนชิ้นงานซิลิคอนคาร์ไบด์อัดชิ้นรูปหลุดออกจากชิ้นส่วนเม้าอัดชิ้นงานและตกลงสู่ชิ้นส่วนฐานปลดชิ้นงานของอุปกรณ์การอัดชิ้นงาน ก่อนนำ

ชิ้นงานซิลิคอนคาร์บไบด์อัดขึ้นรูปที่ได้หลังจากทำการอัดไปอบผนึกในเตาเผาอุณหภูมิต่ำด้วยอัตรา $10\text{ }^{\circ}\text{C}/\text{min}$ อุณหภูมิจะถูกให้คงตัวไว้ที่ $1,000\text{ }^{\circ}\text{C}$ เป็นเวลา 4 ชั่วโมง ดังรูปที่ 4.15-4.19 เมื่อเสร็จสิ้น การอบผนึกจะต้องร้อนอุณหภูมิชิ้นงานลดลงสู่อุณหภูมิห้องจึงนำชิ้นงานออกมาน้ำเพื่อให้ได้โครงสร้างระดับจุลภาคและสมบัติที่ต้องการ ในระหว่างอบผนึกนั้น ไอออนจะแพร่ไปตามขอบเขตของกรน และพื้นผิวไปสู่จุดสัมผัสระหว่างอนุภาค และเกิดการเชื่อมต่อระหว่างกรน เมื่อเวลาผ่านไปการคีบคลานแบบกระจายตามขอบเม็ด (grain boundary) จะทำให้ช่องว่างมีขนาดเล็กลงและกลมขึ้น ความหนาแน่นของวัสดุมาก



รูปที่ 4.15 กระบวนการผสมวัตถุคิบและขึ้นรูปชิ้นงานซิลิคอนคาร์บไบด์อัดขึ้นรูป



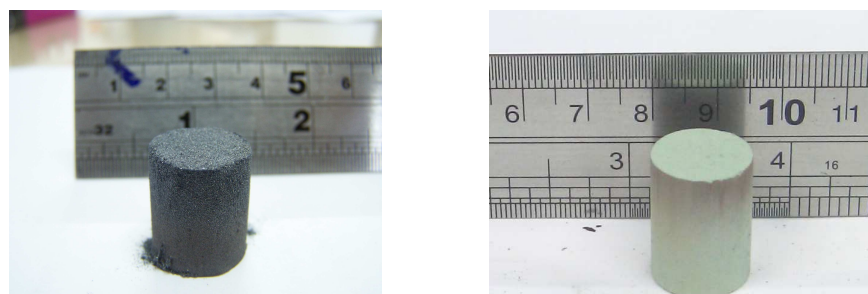
รูปที่ 4.16 การตักวัตถุคิบผสม (ผงซิลิคอนคาร์บไบด์ผสมกับน้ำ) ใส่ลงในชิ้นส่วนเบ้าอัดชิ้นงาน



รูปที่ 4.17 การนำชุดอุปกรณ์การอัดขึ้นงานที่ภายในบรรจุวัตถุคิบผสมไปเข้าเครื่องอัดไฮโดรลิกส์



รูปที่ 4.18 การนำวัตถุคิบผสมที่อัดขึ้นรูปแล้วนำเข้าเตาเผาที่อุณหภูมิ $1,000^{\circ}\text{C}$ เป็นเวลา 4 ชั่วโมง



รูปที่ 4.19 ตัวอย่างชิ้นงานซิลิโคนคาร์บอนดัดอัดขึ้นรูปที่ได้จากการผลิต (a) SiC 25,
68, 100 μm (b) SiC 13.5 μm

4.3.1.1 ขั้นตอนการหาค่าเฉลี่ยสัดส่วนของปริมาตรระหว่างอนุภาคและชิ้นงานเซรามิกของซิลิคอนคาร์ไบด์อัดขึ้นรูป

เมื่อได้ชิ้นงานซิลิคอนคาร์ไบด์อัดขึ้นรูปที่ได้จากการผลิตแล้วให้นำมาวัดค่าหามวล ความสูง และความยาวเส้นผ่าศูนย์กลาง จากนั้นนำไปคำนวณโดยใช้สมการดังนี้

สมการปริมาตรชิ้นงานคือ

$$V = \frac{\pi}{4} D^2 h \quad (4.1)$$

โดยที่ V คือปริมาตรชิ้นงาน D คือความยาวเส้นผ่าศูนย์กลางชิ้นงาน h คือความสูงชิ้นงาน

ค่าร้อยละความพรุนของชิ้นงานซิลิคอนคาร์ไบด์อัดขึ้นรูป (% Porosity) (Pech-Canul et al., 2000) คือ

$$\% \text{Porosity} = \frac{\rho_{\text{Theory}} - \rho_{\text{Exp.}}}{\rho_{\text{Theory}}} \times 100 \quad (4.2)$$

โดยที่ $\% \text{Porosity}$ คือร้อยละความพรุนของชิ้นงานซิลิคอนคาร์ไบด์ $\rho_{\text{Exp.}}$ คือค่าความหนาแน่นทางการทดลองของชิ้นงานซิลิคอนคาร์ไบด์อัดขึ้นรูป

สมการหาค่าความหนาแน่นทางการทดลองของชิ้นงาน ($\rho_{\text{Exp.}}$) คือ

$$\rho_{\text{Exp.}} = \frac{m}{V} \quad (4.3)$$

โดยที่ $\rho_{\text{Exp.}}$ คือค่าความหนาแน่นทางการทดลองของชิ้นงานซิลิคอนคาร์ไบด์อัด

ขึ้นรูป m คือมวลของชิ้นงานซิลิคอนคาร์บไบด์อัดขึ้นรูปหลังผ่านกระบวนการผลิต V คือปริมาตรของชิ้นงานซิลิคอนคาร์บไบด์อัดขึ้นรูปหลังผ่านกระบวนการผลิต

ค่าเฉลี่ยสัดส่วนของปริมาตรระหว่างอนุภาคและชิ้นงานเซรามิก (Volume Fraction, V_p) คือ

$$V_p = 100 - \% \text{Porosity} \quad (4.4)$$

โดยที่ V_p คือค่าสัดส่วนของปริมาตรระหว่างอนุภาคและชิ้นงานเซรามิก %Porosity คือค่าร้อยละความพรุนของชิ้นงานซิลิคอนคาร์บไบด์อัดขึ้นรูป

4.3.2 ขั้นตอนการผลิตชิ้นงานวัสดุผสมเนื้ออัลูมิเนียม

เริ่มจากใช้ผงปูนทนไฟ (Refractory Mortar) ที่มีองค์ประกอบทางเคมีส่วนใหญ่เป็นวัสดุอะลูมิโนซิลิเกต (Aluminosilicate) เช่น Al_2O_3 หรือ SiO_2 ซึ่งสามารถใช้เป็นสารเซรามิกเคลือบ (Ceramic coating) ได้ ผสมน้ำพอประมาณท่าให้ทั่วบริเวณที่น้ำโลหะจะไหลผ่าน เพื่อไม่ให้น้ำโลหะอะลูมิเนียมเหลวเกิดแข็งตัวติดแน่นกับชุดระบบการหล่อเทวีงความดันสูงและช่วยในการนำชิ้นงานและอะลูมิเนียมที่แข็งตัวออกได้โดยง่าย จากนั้นนำชิ้นงานซิลิคอนคาร์บไบด์อัดขึ้นรูปใส่เข้าไปในช่องว่างในชิ้นส่วนแม่พิมพ์ของชุดระบบการหล่อเทวีงความดันสูงโดยใช้ผงปูนทนไฟอัดระหว่างช่องว่างชิ้นส่วนแม่พิมพ์และชิ้นงานซิลิคอนคาร์บไบด์อัดขึ้นรูป เพื่อไม่ให้ชิ้นงานซิลิคอนคาร์บไบด์อัดขึ้นรูปเกิดการเคลื่อนตัว จากนั้นทำการประกอบชุดระบบการหล่อเทวีงความดันสูงด้วยสลักเคลือบและปะเก็น (Gasket) ให้เสร็จสมบูรณ์ นำชุดระบบการหล่อเทวีงความดันสูงที่ทำการประกอบเสร็จแล้วไปต่อ กับงานหมุนของเครื่องหล่อ ต่อมานำแท่งอะลูมิเนียมปริมาณ 1 kg ไปหลอมในเตาหลอมโลหะชนิดคลอดความด้านทานให้เหลวที่อุณหภูมิประมาณ 750°C ขณะที่กำลังหลอมอยู่นั้นก็ให้ทำการเผาอุ่นชุดระบบการหล่อเทวีงความดันสูงด้วยชุดอุปกรณ์เผาอุ่น เพื่อไม่ให้ชุดระบบการหล่อเทวีงความดันสูงมีอุณหภูมิเย็นตัว ซึ่งทำให้น้ำโลหะอะลูมิเนียมเหลวไม่เกิดการพาความร้อนและแข็งตัวเร็วเกินจนยังไม่แทรกซึมเข้าไปยังในช่องว่างระหว่างอนุภาคของชิ้นงานซิลิคอนคาร์บไบด์อัดขึ้นรูปได้เต็มที่ เมื่ออุณหภูมิของทั้งชุดระบบการหล่อเทวีงความดันสูงและน้ำโลหะอะลูมิเนียมเหลวได้ตามที่ต้องการจากการวัดอุณหภูมิด้วยเครื่องวัดอุณหภูมิและหัววัดอุณหภูมิทำการปิดและล็อกฝาเครื่องหล่อเทวีงแล้วจึงเริ่มเปิดเดินเครื่องควบคุมความถี่ไฟฟ้ากระแสสลับเพื่อปรับความเร็วของมอเตอร์ให้ได้ความเร็วในการหมุนเทวีงตามที่ต้องการ ทำการเท

น้ำโลหะอะลูมิเนียมเหลวเข้าใส่ในรูปแบบน้ำโลหะ (ซึ่งเป็นอุปกรณ์ประดิษฐ์ช่วยเทน้ำโลหะอะลูมิเนียมเหลวและจะเชื่อมต่อไปถึงทางเข้าของชุดระบบการหล่อเหลว) ดังรูปที่ 4.20-4.22 ชุดระบบการหล่อเหลวใช้เกิดความดันสูงจนเหลวไหลออกเพื่อเคลือบชิ้นงานซึ่งมีพิมพ์จากนั้นปล่อยให้ชุดระบบการหล่อเหลวหายใจความดันสูงหล่อเย็นตัวลงและทำการแกะนำชิ้นงานวัสดุผสมเนื้ออะลูมิเนียมออกจากเพื่อคุณภาพการหล่อเหลวที่ดีที่สุด



รูปที่ 4.20 การหลอมแท่งอะลูมิเนียม เกรด A356 ในเตาหลอมโลหะชนิดขดลวดความต้านทาน



รูปที่ 4.21 การใช้ไฟเผาอุ่นชุดระบบการหล่อเหลวที่ดีที่สุด



รูปที่ 4.22 การปิดล็อกฝาเครื่องหล่อเหลวเพื่อป้องกันอันตรายจาก การหล่อเหลวที่ด้วยความดันสูง

4.3.2.1 ขั้นตอนการทำความสะอาดชุดระบบการหล่อเหลวที่ด้วยความดันสูง

หลังจากที่ได้ชิ้นงานวัสดุผสมเนื้ออัลูมิเนียมที่ได้จากการหล่อเหลวที่ด้วยความดันสูงแล้ว จะปราบภูมิเศษน้ำโลหะอะลูมิเนียมที่เกิดการแข็งตัวค้างอยู่ในชุดระบบการหล่อเหลวที่ด้วยความดันสูงเป็นปริมาณมาก จึงต้องทำความสะอาดชุดระบบการหล่อเหลวที่ด้วยความดันสูงเพื่อถ่างและนำเศษน้ำโลหะอะลูมิเนียมที่ค้างตัวอยู่ออกให้หมด มีขั้นตอนดังนี้เริ่มจากการไขสลักเกลียว ซึ่งเป็นอุปกรณ์ยึดจับชิ้นส่วนชุดระบบการหล่อเหลวที่ด้วยความดันสูงเข้าไว้ด้วยกันให้ออกให้หมด จนน้ำโลหะอะลูมิเนียมที่ค้างตัวอยู่ริเวณจุดต่อนั้นๆ เมื่อชิ้นส่วนท่อทั้งวิ่งน้ำโลหะและชิ้นส่วนที่รองรับน้ำโลหะแยกออกจากกันแล้ว ให้นำ漉ดโลหะเหล็กขนาดใหญ่มาร้อยเข้ารูสลักเกลียวที่ฐานของชิ้นส่วนที่รองรับน้ำโลหะให้กลายเป็นหูที่ ดังรูปที่ 4.23 ทำการจับยกหูที่วายกชิ้นส่วนที่รองรับน้ำโลหะเข้าใส่ในเตาหลอมโลหะชนิดคลอดความด้านทานตั้งอุณหภูมิไว้ที่ประมาณ 750°C จนเศษน้ำโลหะอะลูมิเนียมที่แข็งตัวเกิดการหลอมเหลวยกที่รองรับน้ำโลหะออกจากเตาหลอมโลหะชนิดคลอดความด้านทาน ใช้漉ดโลหะแข็งขนาดเล็กทำการแคบและคว้านเศษน้ำโลหะอะลูมิเนียมเหลวที่ติดตามผนังภายในของชิ้นส่วนที่รองรับน้ำโลหะออกให้หมด จากนั้นนำชิ้นส่วนท่อทั้งวิ่งน้ำโลหะใส่เข้าในแก้วโลหะสแตนเลสที่มีขนาดความกว้างของปากกระบอกใหญ่กว่าชิ้นส่วนท่อทั้งวิ่งน้ำโลหะเล็กน้อยในแนวตั้ง ดังรูปที่ 4.24 เพื่อให้เศษน้ำโลหะอะลูมิเนียมที่แข็งตัวค้างอยู่ในชิ้นส่วนท่อทั้งวิ่งน้ำโลหะเมื่อได้รับความร้อนจากเตาหลอมโลหะชนิดคลอดความด้านทาน น้ำโลหะอะลูมิเนียมที่แข็งตัวจะเกิดการหลอมเหลวและไหหลงสู่แก้วโลหะสแตนเลสที่เป็นภาชนะรองรับ จากนั้นก็ทำเหมือนขั้นตอนกระบวนการทำความสะอาดชิ้นส่วนที่รองรับน้ำโลหะ



**รูปที่ 4.23 การร้อยลวดโลหะเหล็กขนาดใหญ่เข้าสู่สลักเกลียวที่ฐานของชิ้นส่วนที่รองรับนำ
โลหะเพื่อเป็นหูหิ้ว**



รูปที่ 4.24 การนำชิ้นส่วนท่อทางวิ่งนำโลหะใส่เข้าในแก้วโลหะสแตนเลส

4.3.3 การทดสอบหาสมบัติต่างๆ ของชิ้นงานวัสดุผสมเนื้ออัลูมิเนียม

การทดสอบหาสมบัติต่าง ๆ ของชิ้นงานวัสดุผสมเนื้ออัลูมิเนียม ได้แก่ ความหนาแน่น การตรวจสอบโครงสร้างระดับจุลภาคและสมบัติเชิงกลคือหาค่าความแข็งและความต้านทานต่อการสึกหรอ ซึ่งมีรายละเอียดดังต่อไปนี้

4.3.3.1 การคำนวณหาความหนาแน่นรวมชิ้นงานวัสดุผสมเนื้ออัลูมิเนียม

นำชิ้นงานวัสดุผสมเนื้ออัลูมิเนียมที่ผลิตได้ไปชั่งน้ำหนัก จากนั้นนำชิ้นงานวัสดุผสมเนื้ออัลูมิเนียมไปแช่น้ำและซั่งน้ำหนักในน้ำ แล้วนำค่าที่ได้มาคำนวณหาความหนาแน่น จากสมการที่ 4.5 (ศิริพร ลาภกีรติavar, 2547)

$$BulkDensity = \frac{W_{Dry}}{W_{Dry} - W_{Wet}} \quad (4.5)$$

เมื่อ Bulk Density คือ ความหนาแน่นรวมของวัสดุผสมเนื้ออະลูมิเนียม (g/cc)
 W_{Dry} คือ น้ำหนักแห้งของชิ้นงานวัสดุผสมเนื้ออະลูมิเนียม (g)
 W_{Wet} คือ น้ำหนักที่ซึ่งในน้ำของชิ้นงานวัสดุผสมเนื้ออະลูมิเนียม (g)

4.3.3.2 การตรวจสอบโครงสร้างระดับจุลภาคชิ้นงานวัสดุผสมเนื้ออະลูมิเนียม

การตรวจสอบโครงสร้างระดับจุลภาคชิ้งหาได้จากการส่องและถ่ายภาพด้วยกล้องจุลทรรศน์แบบแสง และกล้องจุลทรรศน์อิเล็กตรอนแบบส่อง粒ด ดังรูปที่ 4.6 และ 4.8 ตามลำดับ

4.3.3.3 การทดสอบวัดความแข็งชิ้นงานวัสดุผสมเนื้ออະลูมิเนียม

วิธีการนี้เป็นการวัดค่าความแข็งของวัสดุที่ไม่ทำให้วัสดุเสียรูป โดยใช้เครื่องวัดความแข็งแบบร็อกเวลต์ ชนิด FUTURE-TECN รุ่น FR-LeA ด้วยสถานะร็อกเวลต์ สเกล B ขนาดหัว 1/16" Ball load 100 kg แสดงในรูปที่ 4.4 ทดสอบความแข็งชิ้นงานละ 5 จุด แล้วจึงหาค่าเฉลี่ยความแข็ง จำนวนนี้ทำการแปลงค่าความแข็งจากค่าร็อกเวลต์ สเกล B ให้เป็นความแข็งแบบบรินอล ขนาดหัว 10mm Ball steel load 500 kg ทำการทดสอบตามขั้นตอนดังนี้

- ก. นำชิ้นงานวัสดุผสมเนื้ออະลูมิเนียมมาขัดให้ชิ้นงานมีผิวเรียบ
- ข. วางชิ้นงานที่เครื่องทดสอบ
- ค. ทำการกดชิ้นงานเลือกจุดตามแนวยาวของชิ้นงาน 5 จุด ดังรูปที่ 4.25
- ง. บันทึกค่าความแข็งที่ได้เป็นแบบร็อกเวลต์ หน่วย RHB
- จ. แปลงค่าความแข็งให้เป็นแบบบรินอล (Brinell hardness) หน่วย HB



รูปที่ 4.25 ทำการกดซิ้นงานด้วยเครื่องวัดความแข็งแบบเบร็อกเวลต์

4.3.3.4 การทดสอบความต้านทานต่อการสึกหรอซิ้นงานวัสดุพลาสติกเนื้ออ่อนลุ่มเนียน

วิธีการนี้เป็นการวัดค่า係数หนักที่หายไปของซิ้นงานวัสดุพลาสติกเนื้ออ่อนลุ่มเนียน โดยใช้อุปกรณ์ทดสอบหาค่าความต้านทานต่อการสึกหรอและเครื่องขัดแบบจานคู่ ขนาด 8" ชนิด METKON รุ่น GRIPPO 2V แสดงในรูปที่ 4.5 และ 4.7 ตามลำดับ ขัดกับกระดาษทราย เบอร์ 150 C.C. ใช้โหลดน้ำหนักถ่วง 1.5 kg ความเร็วในการหมุนขัด 252 rpm และทำการทดสอบตามขั้นตอนดังนี้

ก. นำซิ้นงานมาทำการหล่อเรซิน (Mounting) กับท่อประปาพีวีซี (Poly Vinyl Chloride, PVC) เพื่อให้มีเนื้อที่ในการจับและสามารถใช้งานร่วมกับอุปกรณ์ทดสอบหาค่าความต้านทานต่อการสึกหรอได้ ดังรูปที่ 4.26

ข. นำซิ้นงานที่ผ่านการหล่อเรซินมาประกอบกับอุปกรณ์ทดสอบหาค่าความต้านทานต่อการสึกหรอและทำการจับขีดกับเครื่องขัดแบบจานคู่ พร้อมกับการถ่วงด้วยโหลดน้ำหนัก 1.5 kg ดังรูปที่ 4.27

ค. เริ่มเปิดเครื่องขัดแบบจานคู่ โดยทำการขัดกับกระดาษทราย เบอร์ 150 C.C. ใช้โหลดน้ำหนักถ่วง 1.5 kg ความเร็วในการหมุนขัด 252 rpm พร้อมด้วยการนឹดน้ำเพื่อการหล่อลื่น และทำความสะอาดผิวน้ำซิ้นงาน ดังรูปที่ 4.28

ง. บันทึกค่า係数หนักที่หายไปของซิ้นงาน ตามแต่ละช่วงเวลา



รูปที่ 4.26 การนำชิ้นงานมาทำการหล่อเรซินกับท่อประปาพีวีซี



รูปที่ 4.27 การนำชิ้นงานมาประกอบกับอุปกรณ์ทดสอบหาค่าความด้านทานต่อการลีกหรือและจับยึดกับเครื่องขัดแบบจานคู่ พร้อมกับการถ่วงด้วยโหลดน้ำหนัก 1.5 kg



รูปที่ 4.28 เปิดเครื่องขัดแบบจานคู่ทำการขัดกับกระดาษทราย เมอร์ 150 C.C. ใช้โหลดน้ำหนักถ่วง 1.5 kg ความเร็วในการหมุนขัด 252 rpm พร้อมน้ำสำหรับการหล่ออลูมิเนียม

บทที่ 5

ผลและการอภิปรายผล

ในการวิเคราะห์ข้อมูลและการเสนอผลการวิเคราะห์ข้อมูล ผู้วิจัยได้ดำเนินอิทธิพลของตัวแปร (ขนาดของผงซิลิโคนคาร์บไบด์ ค่าความดันของน้ำโลหะ) ที่มีผลต่อสัณฐานวิทยา สมบัติทางกลของชิ้นงานที่สังเคราะห์ได้ ดังรายละเอียดที่สามารถศึกษาได้ต่อไปในบทนี้

จากการทดลองหล่อเหลวที่วัดความดันสูงเพื่อผลิตวัสดุผสมเนื้ออัลูมิเนียม (Aluminum matrix composite, AMC) ทำให้ได้ซิลิโคนคาร์บไบด์อัดขึ้นรูป (SiC Preform) มีลักษณะเป็นทรงกระบอกมีขนาดเส้นผ่าศูนย์กลาง 15.1 mm และความสูงประมาณ 18-20 mm ซึ่งมีลักษณะดังรูปที่ 5.1



(a)



(b)

รูปที่ 5.1 ลักษณะชิ้นงานวัสดุผสมเนื้ออัลูมิเนียม (Aluminum matrix composite, AMC) รูป (a) ชิ้นงานหลังการทดลองก่อนการกลึงปอกเซรามิกเคลือบออก (b) ชิ้นงานหลังการทดลอง

หลังจากการกลึงปอกเซรามิกเคลือบออก (กรณี SiC 100 μm ความดันที่ใช้ในการแทรกซึม 4.26 MPa)

5.1 อิทธิพลของตัวแปรที่มีผลต่อการผลิตวัสดุผสมเนื้ออัลูมิเนียม

ในการผลิตวัสดุผสมเนื้ออัลูมิเนียมโดยการใช้แรงเหวี่ยงด้วยความดันสูงเหวี่ยงน้ำโลหะอัลูมิเนียม เกรด A356 เหลวเหวี่ยงให้เข้าไปแทรกซึมในผงซิลิคอนคาร์บอนค์ที่ได้ทำการอัดขึ้นรูป (SiC Preform) มีตัวแปรที่มีผลต่อการผลิตวัสดุผสมเนื้ออัลูมิเนียม ดังนี้

1. ขนาดของผงซิลิคอนคาร์บอนค์ ($13.5, 25, 68, 100 \mu\text{m}$)
2. ความดันของน้ำโลหะอัลูมิเนียมเหลว ($0.15, 0.19, 0.29, 0.34, 0.84, 1.31, 1.90, 4.26 \text{ MPa}$)
3. ค่าสัดส่วนของปริมาตรระหว่างอนุภาคและชิ้นงานเซรามิกอัดขึ้นรูปของซิลิคอนคาร์บอนค์อัดขึ้นรูป 54 ± 6
4. อุณหภูมิเผาอุ่นชุดระบบการหล่อเหวี่ยงความดันสูง ($T_{\text{เผาอุ่น}} \text{ มากกว่าหรือเท่ากับ } 472^\circ\text{C}$, $T_{\text{เผาอุ่น}} \text{ มากกว่าหรือเท่ากับ } 615^\circ\text{C}$, $T_{\text{เผาอุ่น}} \text{ มากกว่าหรือเท่ากับ } 320^\circ\text{C}$)

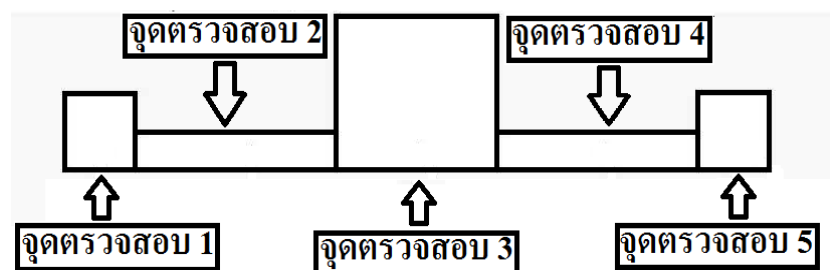
จากการทดลองผลิตวัสดุผสมเนื้ออัลูมิเนียมในเบื้องต้นนั้นทำให้ทราบว่าค่าเฉลี่ยสัดส่วนของปริมาตรระหว่างอนุภาคและชิ้นงานเซรามิก (Volume Fraction, V_p) ของซิลิคอนคาร์บอนค์อัดขึ้นรูปที่ผลิตได้มีค่าอยู่ระหว่าง 54 ± 6 ตลอดทุกชิ้นงานซิลิคอนคาร์บอนค์อัดขึ้นรูปทุกขนาดของผงซิลิคอนคาร์บอนค์ที่นำมาทดลอง โดยอิงข้อมูลและเนื้อหาจากหัวข้อ 4.3.1 ในบทที่ 4 แสดงผลดังตารางที่ 5.1 จากการสุ่มทดลองหาความพิเศษในการทดลองหล่อโลหะแบบเหวี่ยงด้วยความดันสูงเพื่อผลิตวัสดุผสมเนื้ออัลูมิเนียม พบว่าข้อจำกัดในการผลิตซิลิคอนคาร์บอนค์อัดขึ้นรูปและข้อจำกัดการทดลองที่มีผลต่อตัวแปรค่าสัดส่วนของปริมาตรระหว่างอนุภาคและชิ้นงานเซรามิกด้วยช่องสามารถแบ่งได้เป็น 2 ประเภท คือ

(1) ข้อจำกัดในการผลิตซิลิคอนคาร์บอนค์อัดขึ้นรูป เช่น น้ำซึ่งเป็นสารเชื่อมประสานในซิลิคอนคาร์บอนค์อัดขึ้นรูป อาจเป็นสาเหตุให้การคงสภาพอยู่ตัวของซิลิคอนคาร์บอนค์อัดขึ้นรูปเป็นไปได้ยากหากใช้ในปริมาณที่มากเกินไปและขนาดช่องว่างระหว่างอนุภาคเซรามิกซิลิคอนคาร์บอนค์ของซิลิคอนคาร์บอนค์อัดขึ้นรูปมีขนาดที่เล็กจนทำให้ค่าเฉลี่ยสัดส่วนของปริมาตรระหว่างอนุภาคและชิ้นงานเซรามิกจึงอยู่ที่ประมาณ 54 ± 6

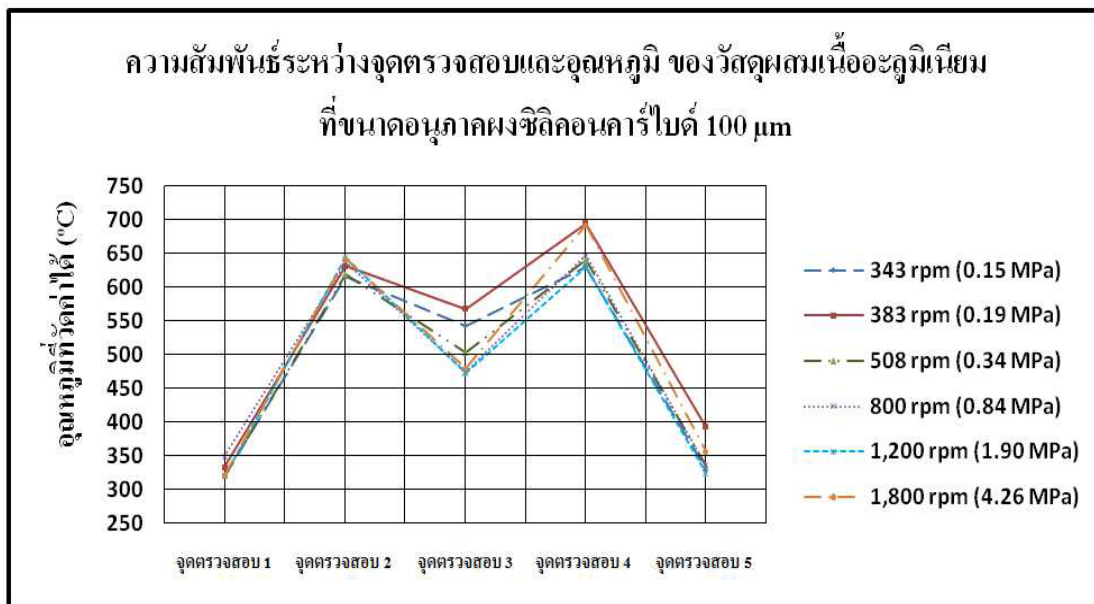
(2) ข้อจำกัดในการทดลองหล่อโลหะแบบเหวี่ยงด้วยความดันสูง เช่น การทนความร้อนจากการเผาอุ่นชุดระบบการหล่อเหวี่ยงความดันสูงของปะเก็น ซึ่งเป็นวัสดุที่อยู่ระหว่างรอหต่อประตอนของแต่ละชิ้นส่วนชุดระบบการหล่อเหวี่ยงความดันสูงจึงทำการเลือกใช้ปะเก็นชนิด non-asbestos $350 - 550^\circ\text{C}$ แบบ thermopak 200 และการให้ความร้อนจากการเผาอุ่นของแต่ละชิ้นส่วนชุดระบบการหล่อเหวี่ยงความดันสูงก็เป็นอีกสาเหตุที่มีผลต่อค่าเฉลี่ยสัดส่วนของปริมาตรระหว่าง

อนุภาคและชิ้นงานเซรามิก ซึ่งพบว่าค่าอุณหภูมิในการเผาอุ่นชุดระบบการหล่อเทวียงความดันสูง ควรมีค่าอุณหภูมิที่ขึ้นส่วนที่รองรับน้ำโลหะ ท่อทางวิ่งน้ำโลหะ แม่พิมพ์ ไม่น้อยกว่า 472°C , 615°C และ 320°C ตามลำดับ โดยใช้เครื่องวัดอุณหภูมิและหัววัดอุณหภูมิวัดอุณหภูมิของชุดระบบการหล่อเทวียงความดันสูง 5 ชุดตรวจสอบ ดังแสดงในรูปที่ 5.2 และตัวอย่างผลการวัดอุณหภูมิชุดระบบการหล่อเทวียงความดันสูง 5 ชุดตรวจสอบ กรณีนาค่อนุภาคผงซิลิโคนคาร์บอนด์ $100\text{ }\mu\text{m}$ ที่ค่าความดันของน้ำโลหะ ($0.15, 0.19, 0.34, 0.84, 1.90, 4.26\text{ MPa}$) แสดงในตารางที่ 5.2 และรูปที่ 5.3 โดยการเผาอุ่นชุดระบบการหล่อเทวียงความดันสูงมีผลเพื่อให้น้ำโลหะอะลูมิเนียมเหลวไม่เกิดการพาความร้อนไปให้ชุดระบบการหล่อเทวียงความดันสูงและน้ำโลหะอะลูมิเนียมเหลวเกิดการแข็งตัวเร็วเกินจนขังไม่แทรกตัวเข้าไปยังในช่องว่างระหว่างอนุภาคได้เต็มที่

จากที่กล่าวมาข้างต้นทั้งข้อจำกัดในการผลิตซิลิโคนคาร์บอนด์อัดขึ้นรูปและข้อจำกัดในการทดลองการหล่อเทวียงความดันสูงก็ส่งผลต่อตัวแปรค่าเฉลี่ยสัดส่วนของปริมาตรระหว่างอนุภาคและชิ้นงานเซรามิก และค่าอุณหภูมิในการเผาอุ่นชุดระบบการหล่อเทวียงความดันสูงให้เป็นตัวแปรที่ต้องทำการควบคุมเพื่อให้การทดลองผลิตวัสดุสมเนื้อ ประสบความสำเร็จ ดังนั้นความสนใจในผลของตัวแปรค่าเฉลี่ยสัดส่วนของปริมาตรระหว่างอนุภาคและชิ้นงานเซรามิกของซิลิโคนคาร์บอนด์อัดขึ้นรูปและอุณหภูมิเผาอุ่นชุดระบบการหล่อเทวียงความดันสูงซึ่งมีผลต่อการผลิตวัสดุสมเนื้ออะลูมิเนียมจึงตัดออกไป



รูปที่ 5.2 จุดตรวจสอบ 5 ชุด ที่ใช้เครื่องวัดอุณหภูมิและหัววัดอุณหภูมิมาทำการวัดอุณหภูมิชุดระบบการหล่อเทวียงความดันสูง



**รูปที่ 5.3 ความสัมพันธ์ระหว่างจุดตรวจสอบ 5 จุด และอุณหภูมิที่วัดค่าชุดระบบการหล่อเทวีง
ความดันสูงได้โดยเครื่องวัดอุณหภูมิ กรณีวัสดุผสมเนื้ออัลูมิเนียมขนาดอนุภาคผง
ซิลิโคนคาร์บอน 100 μm**

ตารางที่ 5.1 ตัวอย่างผลการหาราคาถูกต้องสัดส่วนของปริมาณห่วงท่วงของนุก้าและชิ้นงานหยรานิก รูป (a) SiC ขนาด 13.5 μm (b) SiC ขนาด 25 μm

SiC ขนาด 13.5 μm						
ลำดับที่	ปริมาณ SiC (g)	ขนาดชิ้นงานหลังการผลิต (mm)	ปริมาตร ชิ้นงาน (mm ³)	ความหนาแน่น การทดลอง $\rho_{Exp.}$ ($\frac{\text{g}}{\text{mm}^3}$)	ความหนาแน่น ทฤษฎี ρ_{Theory} ($\frac{\text{g}}{\text{mm}^3}$)	% Porosity Volume Fraction
1	6.57	15.10	20.50	3,670	1.79 x 10 ⁻³	3.21 x 10 ⁻³
2	6.52	15.10	20.50	3,670	1.78 x 10 ⁻³	3.21 x 10 ⁻³
3	6.46	15.10	20.30	3,640	1.78 x 10 ⁻³	3.21 x 10 ⁻³

(a)

SiC ขนาด 25 μm						
ลำดับที่	ปริมาณ SiC (g)	ขนาดชิ้นงานหลังการผลิต (mm)	ปริมาตร ชิ้นงาน (mm ³)	ความหนาแน่น การทดลอง $\rho_{Exp.}$ ($\frac{\text{g}}{\text{mm}^3}$)	ความหนาแน่น ทฤษฎี ρ_{Theory} ($\frac{\text{g}}{\text{mm}^3}$)	% Porosity Volume Fraction
1	6.48	15.10	20.80	3,730	1.74 x 10 ⁻³	3.21 x 10 ⁻³
2	6.53	15.10	20.70	3,710	1.76 x 10 ⁻³	3.21 x 10 ⁻³
3	6.52	15.10	20.90	3,740	1.74 x 10 ⁻³	3.21 x 10 ⁻³

(b)

ตารางที่ 5.1 ตัวอย่างผลการวิเคราะห์แบบสัมบูรณ์ของปริมาณของมวลรวมและชนิดของรูอากาศใน SiC ขนาด 68 μm (c) SiC ขนาด 100 μm (d)

SiC ขนาด 68 μm						
ลำดับที่	ปริมาณของ SiC (g)	ขนาดพื้นที่ทางลักษณะการผลิต (mm)	ปริมาณพื้นที่ทางลักษณะการผลิต (mm ³)	ความหนาแน่น การทดลอง $\rho_{Exp.}$ ($\frac{g}{mm^3}$)	ความหนาแน่น ทฤษฎี ρ_{Theory} ($\frac{g}{mm^3}$)	% Porosity Volume fraction
1	6.39	15.10	20.30	3,640	1.76 x 10 ⁻³	3.21 x 10 ⁻³
2	6.58	15.10	20.50	3,670	1.79 x 10 ⁻³	3.21 x 10 ⁻³
3	6.55	15.10	20.60	3,690	1.77 x 10 ⁻³	3.21 x 10 ⁻³

SiC ขนาด 100 μm						
ลำดับที่	ปริมาณของ SiC (g)	ขนาดพื้นที่ทางลักษณะการผลิต (mm)	ปริมาณพื้นที่ทางลักษณะการผลิต (mm ³)	ความหนาแน่น การทดลอง $\rho_{Exp.}$ ($\frac{g}{mm^3}$)	ความหนาแน่น ทฤษฎี ρ_{Theory} ($\frac{g}{mm^3}$)	% Porosity Volume fraction
1	6.47	15.10	20.00	3,580	1.81 x 10 ⁻³	3.21 x 10 ⁻³
2	6.45	15.10	19.80	3,550	1.82 x 10 ⁻³	3.21 x 10 ⁻³
3	6.40	15.10	19.20	3,440	1.86 x 10 ⁻³	3.21 x 10 ⁻³

(c)

(d)

ตารางที่ 5.2 ตัวอย่างผลการวัดอุณหภูมิชุดระบบการหล่อเหลวของความดันสูง 5 จุดตรวจสอบ กรณีวัสดุพสมเนื้ออัลูมิเนียมขนาดอนุภาคผงซิลิคอนคาร์บไบด์ 100 μm ที่ค่าความดันของน้ำโลหะอะลูมิเนียมเหลวขนาดต่างๆ

	อุณหภูมิของแต่ละจุดตรวจสอบ ($^{\circ}\text{C}$)				
	จุดตรวจสอบ 1	จุดตรวจสอบ 2	จุดตรวจสอบ 3	จุดตรวจสอบ 4	จุดตรวจสอบ 5
343 rpm (0.15 MPa)	320 $^{\circ}\text{C}$	615 $^{\circ}\text{C}$	543 $^{\circ}\text{C}$	630 $^{\circ}\text{C}$	330 $^{\circ}\text{C}$
383 rpm (0.19 MPa)	333 $^{\circ}\text{C}$	631 $^{\circ}\text{C}$	568 $^{\circ}\text{C}$	695 $^{\circ}\text{C}$	393 $^{\circ}\text{C}$
508 rpm (0.34 MPa)	320 $^{\circ}\text{C}$	619 $^{\circ}\text{C}$	503 $^{\circ}\text{C}$	640 $^{\circ}\text{C}$	336 $^{\circ}\text{C}$
800 rpm (0.84 MPa)	349 $^{\circ}\text{C}$	637 $^{\circ}\text{C}$	474 $^{\circ}\text{C}$	647 $^{\circ}\text{C}$	336 $^{\circ}\text{C}$
1,200 rpm (1.90 MPa)	320 $^{\circ}\text{C}$	644 $^{\circ}\text{C}$	472 $^{\circ}\text{C}$	630 $^{\circ}\text{C}$	324 $^{\circ}\text{C}$
1,800 rpm (4.26 MPa)	322 $^{\circ}\text{C}$	642 $^{\circ}\text{C}$	480 $^{\circ}\text{C}$	692 $^{\circ}\text{C}$	356 $^{\circ}\text{C}$

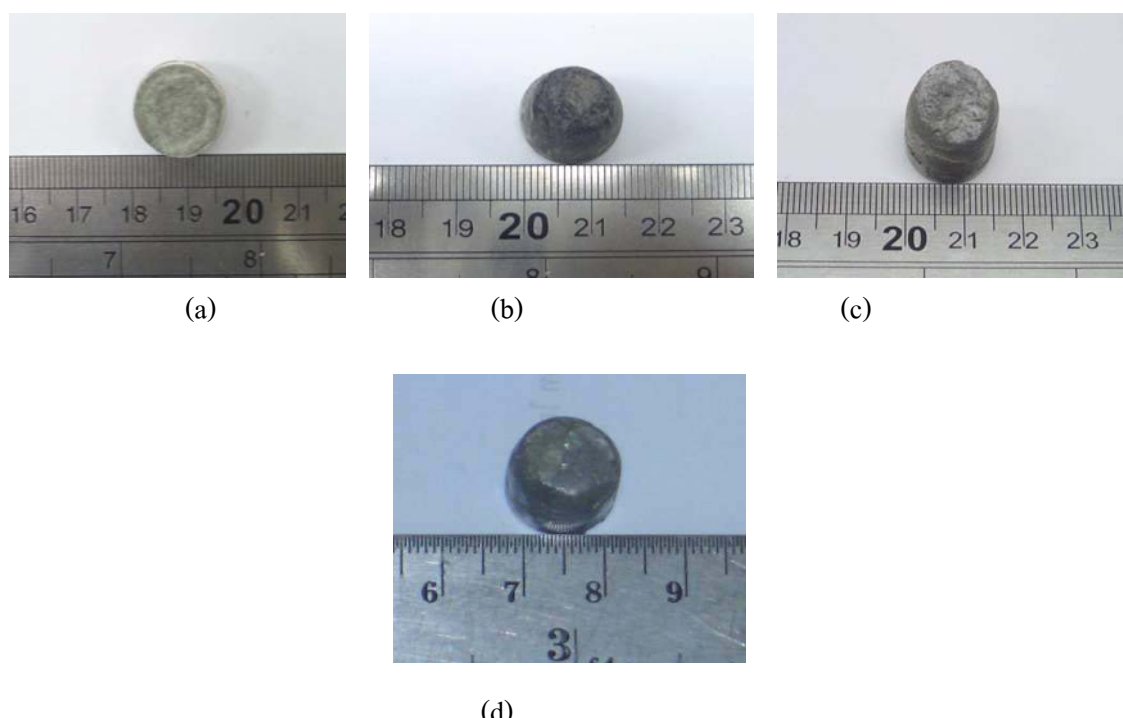
เนื่องจากเกิดข้อจำกัดในอุปกรณ์และเครื่องมือที่จะใช้ทดลองวิจัยการหล่อโลหะแบบเหลวของความดันสูงเพื่อผลิตวัสดุพสมเนื้ออัลูมิเนียม คือมอเตอร์ที่ใช้เป็นตัวขับให้จานหมุนซึ่งจะต่อ กับชุดระบบการหล่อเหลวของความดันสูงมีประสิทธิภาพความเร็วแค่ระดับการหมุนเหลว 2,000 rpm หรือคือที่ความดันของน้ำโลหะอะลูมิเนียมเหลว 5.27 MPa (ความเร็วในการหมุนเหลวจะมีความสัมพันธ์กับความดันของน้ำโลหะอะลูมิเนียมเหลว) อีกทั้งเพื่อเป็นการป้องกันและความปลอดภัยในการวิจัยจึงกำหนดให้ใช้ความเร็วระดับการหมุนเหลว 1,800 rpm (4.26 MPa) เป็นความเร็วสูงสุดสำหรับการทดลองวิจัยครั้นนี้ เพื่อเป็นการทำประสาทของชุดระบบการหล่อเหลวของความดันสูงและศึกษาอิทธิพลของขนาดอนุภาคผงซิลิคอนคาร์บไบด์ที่มีผลต่อการผลิตวัสดุพสมเนื้ออัลูมิเนียมจึงได้ทำการทดลองที่ระดับความเร็วในการหมุนเหลว 1,800 rpm (4.26 MPa) กับชิ้นงานซิลิคอนคาร์บไบด์อัดขึ้นรูปที่มีขนาดอนุภาคผงซิลิคอนคาร์บไบด์เท่ากับ 13.5, 25, 68, 100 μm

โดยเฉลี่ยที่ขนาดอนุภาคผงซิลิโคนคาร์บไบด์ $13.5 \mu\text{m}$ ซึ่งนับว่าเป็นซิลิโคนคาร์บไบด์ที่มีขนาดอนุภาคที่เล็กมาก

5.1.1 อิทธิพลของขนาดผงซิลิโคนคาร์บไบด์

ในที่นี้ได้ทดลองวิจัยการหล่อโลหะแบบหัวรุ่งด้วยความดันสูงกับขนาดของผงซิลิโคนคาร์บไบด์ที่ $4 \mu\text{m}$ ขนาดด้วยกันคือ $13.5, 25, 68, 100 \mu\text{m}$ เพื่อผลิตวัสดุผสมเนื้ออัลูมิเนียม

ลักษณะชิ้นงานวัสดุผสมเนื้ออัลูมิเนียมที่ได้จากการทดลองหล่อโลหะแบบหัวรุ่งด้วยความดันสูงของหัวรุ่งขนาดของผงซิลิโคนคาร์บไบด์ $4 \mu\text{m}$ พบร่วมกับความแตกต่างกันไม่มากนักดังรูปที่ 5.4 แต่เมื่อสังเกตจากค่าสมบัติที่ 4 อย่างคือการหาค่าความหนาแน่นรวม ความแข็ง ความต้านทานต่อการสึกหรอ โครงสร้างภายในระดับจุลภาคเรียงกับชิ้นงานวัสดุผสมเนื้ออัลูมิเนียมทั้ง 4 ขนาดของผงซิลิโคนคาร์บไบด์ คือ $13.5, 25, 68, 100 \mu\text{m}$ ที่ความดันจากการหมุนหัวรุ่ง 4.26 MPa ($1,800 \text{ rpm}$) จะเห็นถึงความแตกต่างกัน ซึ่งแสดงผลดังต่อไปนี้



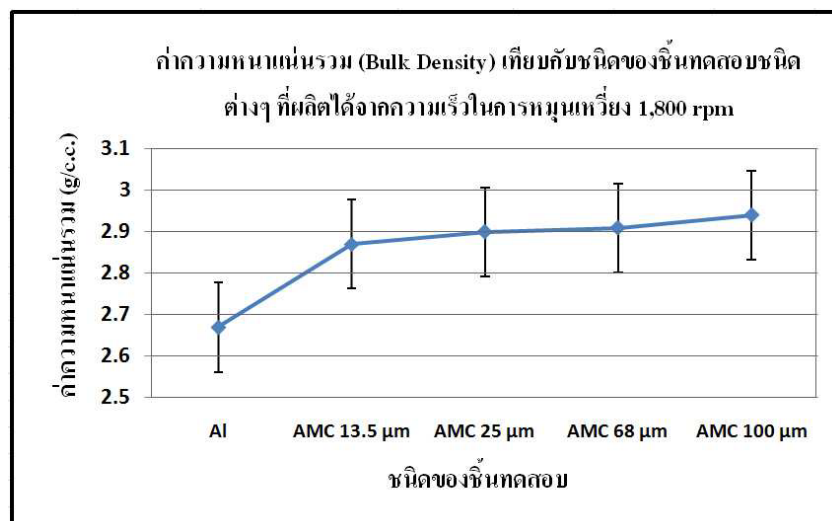
รูปที่ 5.4 ลักษณะของชิ้นงานวัสดุผสมเนื้ออัลูมิเนียมที่ความดันจากการหมุนหัวรุ่ง 4.26 MPa ($1,800 \text{ rpm}$) ขนาดอนุภาคผงซิลิโคนคาร์บไบด์ (a) $AMC 13.5 \mu\text{m}$ (b) $25 \mu\text{m}$ (c) $68 \mu\text{m}$ (d) $100 \mu\text{m}$

5.1.1.1 ค่าความหนาแน่นรวม (Bulk density) ของชิ้นงานวัสดุผสมเนื้ออัลูมิเนียม ทั้ง 4 ขนาดของผงซิลิคอนคาร์บไบด์

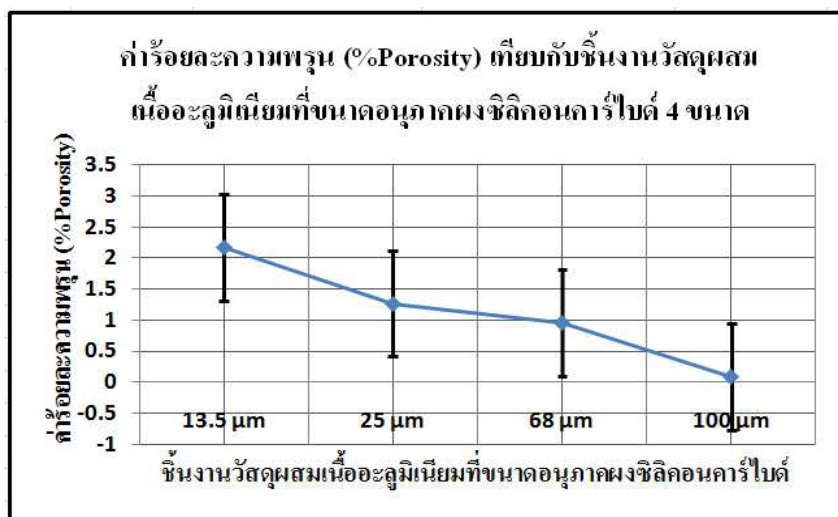
การหาค่าความหนาแน่นรวมของชิ้นงานวัสดุผสมเนื้ออัลูมิเนียมที่ผลิตได้จากการหมุนเหวี่ยงที่ความดันสูง 4.26 MPa (1,800 rpm) เพื่อศึกษาหาค่าความหนาแน่นรวมหลังนำอะลูมิเนียมเหลวสามารถเข้าไปแทรกซึมในช่องว่างระหว่างอนุภาคเซรามิกของชิ้นงานซิลิคอนคาร์บไบด์อัดขึ้นรูป จนแข็งตัวคล้ายเป็นชิ้นงานวัสดุผสมเนื้ออัลูมิเนียม มีขั้นตอนการทดสอบคือนำชิ้นงานวัสดุผสมเนื้ออัลูมิเนียมไปชั่งน้ำหนักและทำการจดค่า จากนั้นนำชิ้นงานวัสดุผสมเนื้ออัลูมิเนียมไปแช่น้ำและซั่งน้ำหนักในน้ำ ต่อมานำไปเข้าสู่กระบวนการคำนวณดังสมการที่ 4.5 และค่าความหนาแน่นรวมของชิ้นงานวัสดุผสมเนื้ออัลูมิเนียมแสดงในตารางที่ 5.3 และรูปที่ 5.5 - 5.6

ตารางที่ 5.3 ค่าความหนาแน่นรวมของชิ้นงานวัสดุผสมเนื้ออัลูมิเนียมที่ความดันของน้ำโลหะอะลูมิเนียมเหลวจากการหมุนเหวี่ยง 4.26 MPa (1,800 rpm)

AMC (μm)	Ω (rpm)	W_{Dry} (g)	W_{Wet} (g)	W_{Wet2} (g)	Bulk Density (g/c.c.)	% Porosity
Al	-	-	-	-	2.67	-
13.5	1,800	3.66	2.38	3.68	2.87	2.17
25	1,800	4.00	2.62	4.11	2.90	1.27
68	1,800	7.19	4.72	7.20	2.91	0.96
100	1,800	8.94	5.90	8.99	2.94	0.093



รูปที่ 5.5 ค่าความหนาแน่นรวมเทียบกับชนิดของชิ้นทดสอบชนิดต่างๆ



รูปที่ 5.6 ค่าร้อยละความพรุนเทียบกับชิ้นงานวัสดุพสม์เนื้ออัลูมิเนียมที่ขนาดอนุภาคผงซิลิโคนคาร์บ์ในค์ 4 ขนาด

จากการหารากำลังของความหนาแน่นรวมของชิ้นงานวัสดุพสม์เนื้ออัลูมิเนียม ที่ผลิตได้จากการหมุนเหวี่ยงที่ความดันสูง 4.26 MPa (1,800 rpm) ตามตารางที่ 5.3 พบว่าค่าความหนาแน่นรวมของชิ้นงานวัสดุพสม์เนื้ออัลูมิเนียมทั้ง 4 ขนาดของผงซิลิโคนคาร์บ์ในค์ 13.5, 25, 68, 100 μm มีค่าความหนาแน่นรวมคือ 2.87, 2.90 , 2.91, 2.94 g/c.c. ตามลำดับ ค่าความหนาแน่นรวมที่มีค่าสูงสุดคือ 2.94 g/c.c. ซึ่งเป็นค่าความหนาแน่นรวมของชิ้นงานวัสดุพสม์เนื้ออัลูมิเนียม กรณีขนาดอนุภาคผงซิลิโคนคาร์บ์ในค์ 100 μm และค่าความหนาแน่นรวมที่มีค่าต่ำสุดคือ 2.87 g/c.c. ซึ่งเป็นค่าของชิ้นงานวัสดุพสม์เนื้ออัลูมิเนียม กรณีผงซิลิโคนคาร์บ์ในค์ 13.5 μm

ในขณะที่ค่าความหนาแน่นของอะลูมิเนียม เกรด A356 มีค่าความหนาแน่นเพียงแค่ 2.67 g/c.c. ซึ่งจากรูปที่ 5.5 แสดงข้อความผิดพลาดผิดพลาดแกน Y แสดงถึงค่าส่วนเบี่ยงเบนมาตรฐานตาม ± 0.11 และค่าร้อยละความพรุน ของชิ้นงานวัสดุผสมเนื้ออัลูมิเนียมทั้ง 4 ขนาดของผงซิลิโคนคาร์บไบด์ $13.5, 25, 68, 100 \mu\text{m}$ มีค่าร้อยละความพรุนคือ $2.17\%, 1.27\%, 0.96\%, 0.093\%$ ตามลำดับ ค่าร้อยละความพรุนที่มีค่าสูงสุดคือ 2.17% ซึ่งเป็นค่าของชิ้นงานวัสดุผสมเนื้ออัลูมิเนียม กรณีขนาดอนุภาคผงซิลิโคนคาร์บไบด์ $13.5 \mu\text{m}$ และค่าร้อยละความพรุนที่มีค่าต่ำสุดคือ 0.093% ซึ่งเป็นค่าของของชิ้นงานวัสดุผสมเนื้ออัลูมิเนียม กรณีผงซิลิโคนคาร์บไบด์ขนาด $100 \mu\text{m}$ ซึ่งจากรูปที่ 5.6 แสดงข้อความผิดพลาดผิดพลาดแกน Y แสดงถึงค่าส่วนเบี่ยงเบนมาตรฐานตาม ± 0.86

เมื่อนำผลการหาค่าความหนาแน่นรวมของชิ้นงานวัสดุผสมเนื้ออัลูมิเนียมทั้ง 4 ขนาดผงซิลิโคนคาร์บไบด์ $13.5, 25, 68, 100 \mu\text{m}$ มาเปรียบเทียบกับค่าความหนาแน่นของอะลูมิเนียมเกรด A356 พบร่วมค่าความหนาแน่นรวมของชิ้นงานวัสดุผสมเนื้ออัลูมิเนียมทั้ง 4 ขนาดของผงซิลิโคนคาร์บไบด์มีค่ามากกว่าค่าความหนาแน่นของอะลูมิเนียมหมายความว่า ในเมื่อชิ้นงานวัสดุผสมเนื้ออัลูมิเนียมมีมวลของผงซิลิโคนคาร์บไบด์และมวลอะลูมิเนียมประกอบอยู่ซึ่งจะทำให้ค่าความหนาแน่นมีค่ามากกว่าเมื่อเทียบกับค่าความหนาแน่นของอะลูมิเนียม ในขณะที่เนื้อชิ้นงานอะลูมิเนียมมีแต่เนื้ออัลูมิเนียมเพียงอย่างเดียวค่าความหนาแน่นของอะลูมิเนียมจึงต่ำกว่าชิ้นงานวัสดุผสมเนื้ออัลูมิเนียม และพบว่ายิ่งขนาดของอนุภาคผงซิลิโคนคาร์บไบด์มีขนาดใหญ่ขึ้นค่าความหนาแน่นรวมของชิ้นงานวัสดุผสมเนื้ออัลูมิเนียมก็จะมีแนวโน้มส่วนใหญ่ให้มีค่ามากขึ้นตามในส่วนของค่าร้อยละความพรุน (% Porosity) ของชิ้นงานวัสดุผสมเนื้ออัลูมิเนียมทั้ง 4 ขนาดของผงซิลิโคนคาร์บไบด์ พบร่วมค่าร้อยละความพรุน (% Porosity) ของชิ้นงานวัสดุผสมเนื้ออัลูมิเนียมทั้ง 4 ขนาดของผงซิลิโคนคาร์บไบด์ที่มีขนาดใหญ่เมื่อนำมาผลิตเป็นซิลิโคนคาร์บไบด์อัดขึ้นรูป อนุภาคผงซิลิโคนคาร์บไบด์จะถูกอัดให้ติดชิดกันทำให้เกิดช่องว่างระหว่างอนุภาคซิลิโคนคาร์บไบด์ที่มีขนาดใหญ่จำนวนนัก น้ำอะลูมิเนียมเหลวจึงสามารถเข้าไปแทรกซึมในช่องว่างระหว่างอนุภาคซิลิโคนคาร์บไบด์ที่มีขนาดเล็ก (ขนาดของอนุภาคผงซิลิโคนคาร์บไบด์ที่มีขนาดเล็กเมื่อนำมาผลิตเป็นซิลิโคนคาร์บไบด์อัดขึ้นรูป อนุภาคผงซิลิโคนคาร์บไบด์จะถูกอัดให้ติดชิดกันทำให้เกิดช่องว่างระหว่างอนุภาคซิลิโคนคาร์บไบด์ที่มีขนาดเล็กมาก เมื่อทำการทดลองการหล่อโลหะแบบเที่ยงด้วยความดันสูงน้ำอะลูมิเนียมเหลวจึงสามารถเข้าไปแทรกซึมในช่องว่างระหว่างอนุภาคซิลิโคนคาร์บไบด์ที่มีขนาดเล็กเมื่อนำมาผลิตเป็นซิลิโคนคาร์บไบด์อัดขึ้นรูปได้ยาก เกิดรูพรุนภายในเนื้อชิ้นงานวัสดุผสมเนื้ออัลูมิเนียมเป็นจำนวนมาก) ทำให้ชิ้นงานวัสดุผสมเนื้ออัลูมิเนียมที่ขนาดของอนุภาคผงซิลิโคนคาร์บไบด์ที่ขนาดใหญ่มีค่าร้อยละความพรุนที่น้อย

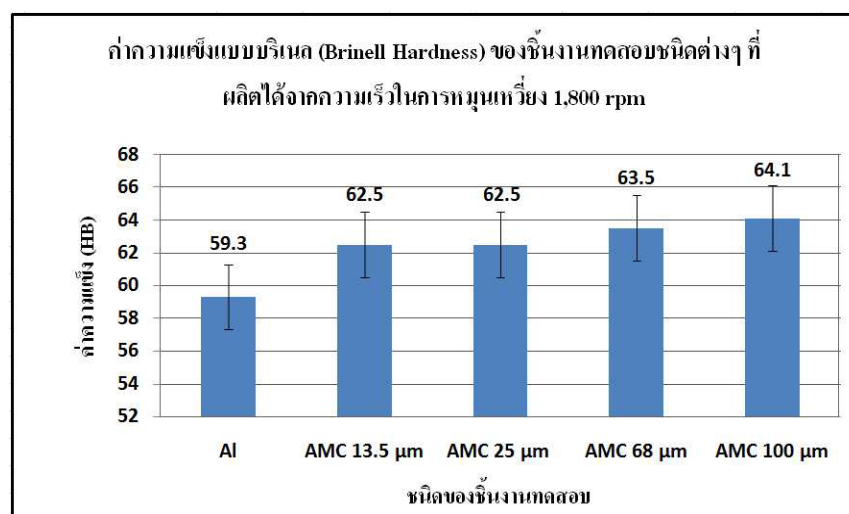
การผลิตชิ้นงานวัสดุผสมเนื้ออัลูมิเนียม โดยวิธีการหล่อโลหะแบบเทวีงด้วยความดันสูงถือได้ว่าประสบความสำเร็จ เพราะว่าชิ้นงานวัสดุผสมเนื้ออัลูมิเนียมมีค่าความหนาแน่นรวมมากกว่าของอะลูมิเนียม เกรด A356 โดยเฉพาะที่ขนาดของอนุภาคผงซิลิโคนคาร์ไบด์ที่มีขนาดใหญ่ เนื่องจากในเนื้อชิ้นงานวัสดุผสมเนื้ออัลูมิเนียมมีมวลของผงซิลิโคนคาร์ไบด์และมวลอะลูมิเนียมประกอบอยู่เป็นจำนวนมากกว่าที่กรณีขนาดของอนุภาคผงซิลิโคนคาร์ไบด์ที่มีขนาดเล็ก และชิ้นงานวัสดุผสมเนื้ออัลูมิเนียมที่มีขนาดของอนุภาคผงซิลิโคนคาร์ไบด์ขนาดใหญ่จะมีค่าร้อยละความพรุนที่น้อยกว่าชิ้นงานวัสดุผสมเนื้ออัลูมิเนียมที่มีขนาดของอนุภาคผงซิลิโคนคาร์ไบด์ขนาดเล็กและอะลูมิเนียม เกรด A356 เนื่องจากมีน้ำอะลูมิเนียมเหลวที่สามารถเข้าไปแทรกซึมในช่องว่างระหว่างอนุภาคเซรามิกของชิ้นงานซิลิโคนคาร์ไบด์อัดขึ้นรูปได้ง่ายกว่าที่กรณีขนาดอนุภาคผงซิลิโคนคาร์ไบด์ที่มีขนาดเล็ก จนเกิดกลไยเป็นวัสดุผสมเนื้ออัลูมิเนียม

5.1.1.2 ค่าความแข็ง (Hardness) ของชิ้นงานวัสดุผสมเนื้ออัลูมิเนียมทั้ง 4 ขนาดของผงซิลิโคนคาร์ไบด์

การทดสอบหาค่าความแข็งของชิ้นงานวัสดุผสมเนื้ออัลูมิเนียม ที่ผลิตได้จากการหมุนเวียนที่ความดันสูง 4.26 MPa (1,800 rpm) เพื่อศึกษาหาค่าสมบัติความแข็งที่เปลี่ยนแปลงไปของชิ้นงานวัสดุผสมเนื้ออัลูมิเนียมเปรียบเทียบกับค่าสมบัติความแข็งของชิ้นงานอะลูมิเนียม เกรด A356 ว่าเซรามิกซิลิโคนคาร์ไบด์ที่ໄไปเสริมแรงในเนื้ออะลูมิเนียมจะมีส่วนช่วยในการทำให้ค่าสมบัติความแข็งของชิ้นงานวัสดุผสมเนื้ออัลูมิเนียมให้มีค่ามากกว่าค่าสมบัติความแข็งของชิ้นงานอะลูมิเนียม ผลการทดสอบหาค่าความแข็งของชิ้นงานวัสดุผสมเนื้ออัลูมิเนียมแสดงผลดังตารางที่ 5.4 และรูปที่ 5.7

ตารางที่ 5.4 ค่าความแข็งของชิ้นงานวัสดุพสมเนื้ออัลูมิเนียม ที่ความดันน้ำโลหะอัลูมิเนียมเหลว จากการหมุนเหวี่ยง 4.26 MPa (1,800 rpm)

	ค่าความแข็งที่ได้จากการทดสอบ (HB)				
	Al (A356)	AMC 13.5 μm	AMC 25 μm	AMC 68 μm	AMC 100 μm
ลำดับการวัด					
1	60.00	62.00	63.00	64.00	64.50
2	59.00	63.00	63.00	63.50	64.00
3	59.00	62.50	62.50	63.00	63.00
4	60.00	62.50	62.00	64.00	64.00
5	58.50	62.50	62.00	63.00	65.00
ค่าเฉลี่ยความแข็ง (HB)	59.30	62.50	62.50	63.50	64.10



รูปที่ 5.7 ค่าความแข็งของชิ้นงานวัสดุพสมเนื้ออัลูมิเนียมที่ความดันน้ำโลหะอัลูมิเนียมเหลวจาก การหมุนเหวี่ยง 4.26 MPa (1,800 rpm)

จากผลการทดสอบหาค่าความแข็งของชิ้นงานวัสดุพสมเนื้ออัลูมิเนียม ที่ผลิตได้ จากการหมุนเหวี่ยงที่ความดันสูง 4.26 MPa (1,800 rpm) ตามตารางที่ 5.4 และรูปที่ 5.7 พบว่าค่า ความแข็งของชิ้นงานวัสดุพสมเนื้ออัลูมิเนียมทั้ง 4 ขนาดของผงซิลิโคนคาร์บอนได้ 13.5, 25, 68, 100 μm มีค่าความแข็งคือ 59.3, 62.5, 62.5, 63.5, 64.1 HB ตามลำดับ ค่าความแข็งที่มีค่าสูงสุดคือ 64.1

HB ซึ่งเป็นค่าความแข็งของชิ้นงานวัสดุพลาสติกในระดับ 100 μm และค่าความแข็งที่มีค่าต่ำสุดคือ 62.5 HB ซึ่งเป็นค่าของชิ้นงานวัสดุพลาสติกในระดับ 13.5 และ 25 μm ในขณะที่ค่าความแข็งของอะลูมิเนียมเกรด A356 มีค่าความแข็งเพียงแค่ 59.3 HB จากรูปที่ 5.7 แสดงข้อความผิดพลาดพลาสติกพลาสติกแกน Y แสดงถึงค่าส่วนเบี่ยงเบนมาตรฐานตาม ± 1.85

เมื่อนำผลการทดสอบหาค่าความแข็งของชิ้นงานวัสดุพลาสติกในระดับ 13.5, 25, 68, 100 μm มาเปรียบเทียบกับค่าความแข็งของอะลูมิเนียมเกรด A356 พบว่าค่าความแข็งของชิ้นงานวัสดุพลาสติกในระดับ 13.5, 25, 68, 100 μm มาเปรียบเทียบกับค่าความแข็งของอะลูมิเนียมเกรด A356 พบร่วมกับค่าความแข็งของชิ้นงานวัสดุพลาสติกในระดับ 13.5 และ 25 μm ขนาดของผังชิลิกอนคาร์บอนที่มีเนื้อของชิ้นงานวัสดุพลาสติกในระดับ 13.5 และ 25 μm ประกอบอยู่ช่องอนุภาคของผังชิลิกอนคาร์บอนจะมีส่วนช่วยในการเสริมความต้านทานต่อการกดทดสอบความแข็ง ในขณะที่เนื้อชิ้นงานอะลูมิเนียมมีแค่เนื้ออะลูมิเนียมเพียงอย่างเดียวที่ต้านทานต่อการกดทดสอบความแข็ง และพบว่ายิ่งขนาดของอนุภาคของชิลิกอนคาร์บอนที่มีขนาดใหญ่ขึ้นค่าความแข็งของชิ้นงานวัสดุพลาสติกในระดับ 13.5 และ 25 μm ก็จะมีแนวโน้มส่วนใหญ่ให้มีค่ามากขึ้นตาม เพราะที่ขนาดของอนุภาคของชิลิกอนคาร์บอนที่มีขนาดใหญ่ เมื่อนำมาผลิตเป็นชิลิกอนคาร์บอนอัดขึ้นรูป อนุภาคของชิลิกอนคาร์บอนจะถูกอัดให้ติดชิดกันทำให้เกิดช่องว่างระหว่างอนุภาคชิลิกอนคาร์บอนที่มีขนาดใหญ่จึงสามารถเข้าแทรกซึมในช่องว่างระหว่างอนุภาค เช่นเดียวกับชิ้นงานชิลิกอนคาร์บอนอัดขึ้นรูปได้มากกว่ากรณีของชิ้นงานวัสดุพลาสติกในระดับ 13.5 และ 25 μm ที่มีขนาดเล็ก (ขนาดของอนุภาคของชิลิกอนคาร์บอนที่มีขนาดเล็กเมื่อนำมาผลิตเป็นชิลิกอนคาร์บอนอัดขึ้นรูป อนุภาคของชิลิกอนคาร์บอนจะถูกอัดให้ติดชิดกันทำให้เกิดช่องว่างระหว่างอนุภาคชิลิกอนคาร์บอนที่มีขนาดเล็ก น้ำอะลูมิเนียมเหลวจึงสามารถเข้าไปแทรกซึมในช่องว่างระหว่างอนุภาคเช่นเดียวกับชิ้นงานชิลิกอนคาร์บอนอัดขึ้นรูปได้ยากมาก เกิดรูพรุนภายในเนื้อชิ้นงานวัสดุพลาสติกในระดับ 13.5 และ 25 μm ที่มีขนาดเล็ก (น้ำอะลูมิเนียมเหลวจึงสามารถเข้าไปแทรกซึมในช่องว่างระหว่างอนุภาคเช่นเดียวกับชิ้นงานชิลิกอนคาร์บอนอัดขึ้นรูปได้ยากมาก) ซึ่งการเข้าไปแทรกซึมในช่องว่างระหว่างอนุภาคเช่นเดียวกับชิ้นงานชิลิกอนคาร์บอนที่มีขนาดเล็ก ทำให้ชิ้นงานวัสดุพลาสติกในระดับ 13.5 และ 25 μm ไม่สามารถทนทานต่อการกดทดสอบความแข็งได้ดีกว่าชิ้นงานวัสดุพลาสติกในระดับ 13.5 และ 25 μm ที่มีขนาดใหญ่)

การผลิตชิ้นงานวัสดุพลาสติกในระดับ 13.5 และ 25 μm โดยวิธีการหล่อโลหะแบบหัวรีดด้วยความดันสูงถือได้ว่าประสบความสำเร็จ เพราะชิ้นงานวัสดุพลาสติกในระดับ 13.5 และ 25 μm มีค่าสมบัติความแข็งที่มากกว่าของอะลูมิเนียมเกรด A356 เนื่องจากในเนื้อชิ้นงานวัสดุพลาสติกในระดับ 13.5 และ 25 μm จะมีเนื้อของผังชิลิกอนคาร์บอนที่มีเนื้ออะลูมิเนียมประกอบอยู่ช่องอนุภาคของชิลิกอนคาร์บอนที่มีส่วนช่วย

ในการเสริมค่าสมบัติความแข็งให้มีค่ามากกว่าอะลูมิเนียมแบบธรรมด้า และที่กรณีขนาดของอนุภาคผงซิลิโคนคาร์ไบด์ที่มีขนาดใหญ่ น้ำอะลูมิเนียมเหลวสามารถเข้าที่จะไปแทรกซึมในช่องว่างระหว่างอนุภาคเซรามิกของชิ้นงานซิลิโคนคาร์ไบด์อัดขึ้นรูปได้ง่ายกว่าที่กรณีขนาdonuภาคผงซิลิโคนคาร์ไบด์ที่มีขนาดเล็กจนเกิดกลาวยเป็นวัสดุผสมเนื้ออะลูมิเนียม ทำให้ที่ชิ้นงานวัสดุผสมเนื้ออะลูมิเนียมกรณีขนาดอนุภาคผงซิลิโคนคาร์ไบด์ที่มีขนาดใหญ่มีค่าสมบัติความแข็งที่มากกว่าชิ้นงานวัสดุผสมเนื้ออะลูมิเนียมกรณีขนาดอนุภาคผงซิลิโคนคาร์ไบด์ที่มีขนาดเล็กและชิ้นงานอะลูมิเนียม เกรด A356 แบบธรรมด้า

5.1.1.3 ค่าความต้านทานต่อการสึกหรอ (Wear resistance) ของชิ้นงานวัสดุผสมเนื้ออะลูมิเนียม ทั้ง 4 ขนาดของผงซิลิโคนคาร์ไบด์

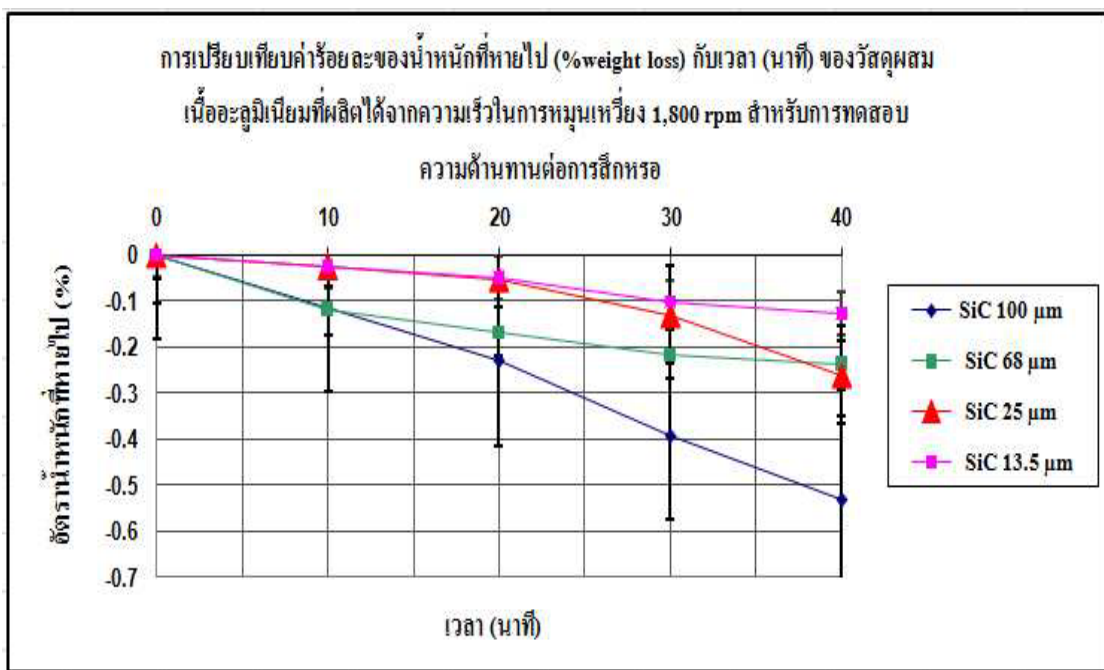
การทดสอบหาค่าความต้านทานต่อการสึกหรอของชิ้นงานวัสดุผสมเนื้ออะลูมิเนียมที่ผลิตได้จากการหมุนเหวี่ยงที่ความดันสูง 4.26 MPa (1,800 rpm) เพื่อศึกษาหาค่าสมบัติการต้านทานต่อการสึกหรอที่เปลี่ยนแปลงไปของชิ้นงานวัสดุผสมเนื้ออะลูมิเนียมเบริญเทียบกับชิ้นงานอะลูมิเนียม เกรด A356 ว่าเซรามิกซิลิโคนคาร์ไบด์ที่ไปเสริมแรงในเนื้ออะลูมิเนียมจะมีส่วนช่วยในการทำให้ค่าสมบัติความต้านทานต่อการสึกหรอของชิ้นงานวัสดุผสมเนื้ออะลูมิเนียมมีค่ามากกว่าความต้านทานต่อการสึกหรอของชิ้นงานอะลูมิเนียม โดยค่าความต้านทานต่อการสึกหรอนั้นจะมีความสัมพันธ์กับค่าร้อยละของน้ำหนักที่หายไป คือหากชิ้นงานได้มีค่าร้อยละของน้ำหนักที่หายไปมากก็หมายความว่าชิ้นงานนั้นมีสมบัติค่าความต้านทานต่อการสึกหรอที่ต่ำมากหรือทนต่อการขัดสีของการทดสอบหาค่าความต้านทานต่อการสึกหรอได้น้อย ผลการทดสอบหาค่าความต้านทานต่อการสึกหรอของชิ้นงานวัสดุผสมเนื้ออะลูมิเนียมแสดงในตารางที่ 5.5-5.6 และรูปที่ 5.8

ตารางที่ 5.5 น้ำหนักที่หายไปของชิ้นงานวัสดุพลาสติกเมื่ออะลูมิเนียมและอะลูมิเนียม เกรด A356 ที่ 5 ช่วงเวลา ความดันน้ำโลหะอะลูมิเนียมจากการหมุนเวียน 4.26 MPa (1,800 rpm)

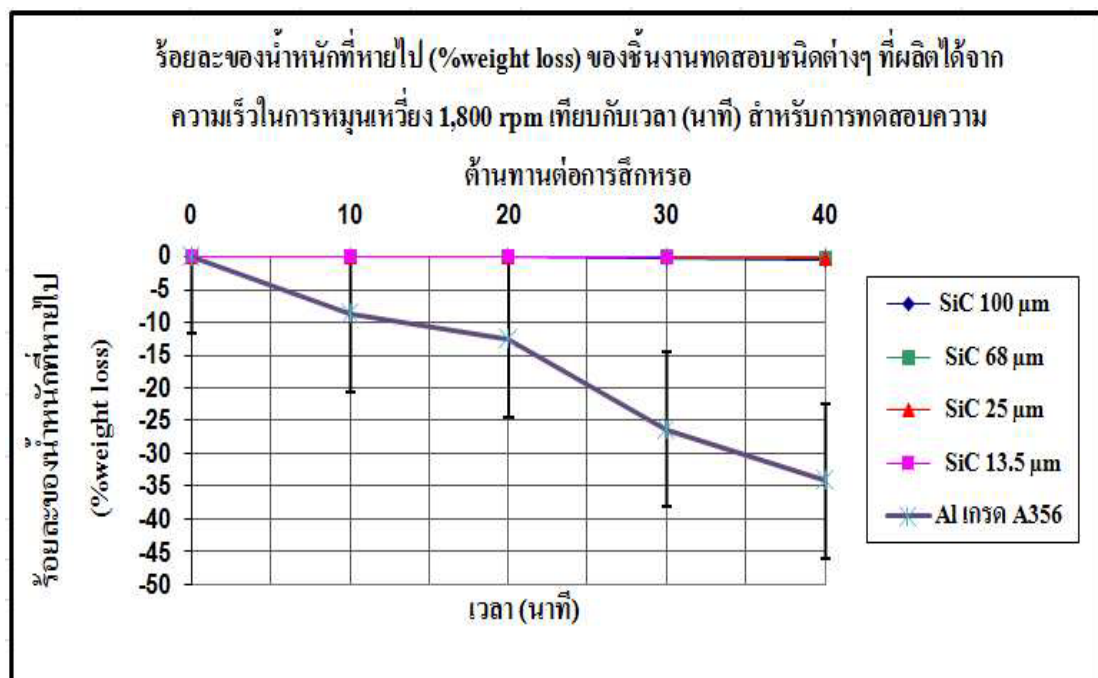
	AI (A356)	น้ำหนักหลังทดสอบ (g)			
		AMC 13.5 μm	AMC 25 μm	AMC 68 μm	AMC 100 μm
เวลา (minute)					
0	47.96	39.55	38.40	41.79	43.25
10	43.74	39.54	38.39	41.74	43.20
20	41.90	39.53	38.38	41.72	43.15
30	35.35	39.51	38.35	41.70	43.08
40	31.58	39.50	38.30	41.69	43.02

ตารางที่ 5.6 ค่าร้อยละของน้ำหนักที่หายไป (%Weight loss) ของชิ้นงานวัสดุพลาสติกเมื่ออะลูมิเนียม และอะลูมิเนียม เกรด A356 ที่ 5 ช่วงเวลา ที่ความดันน้ำโลหะอะลูมิเนียมจากการหมุนเวียน 4.26 MPa (1,800 rpm)

	AI (A356)	ค่าร้อยละของน้ำหนักที่หายไป (%Weight loss)			
		AMC 13.5μm	AMC 25μm	AMC 68μm	AMC 100μm
เวลา (นาที)					
0	0	0	0	0	0
10	-8.79	-0.0253	-0.026	-0.1196	-0.1156
20	-12.64	-0.0506	-0.0521	-0.1675	-0.231
30	-26.30	-0.1011	-0.1302	-0.215	-0.393
40	-34.20	-0.1264	-0.26	-0.239	-0.532
อัตรา (g/min)	-0.41	-0.0013	-0.0025	-0.0025	-0.0058



(a)

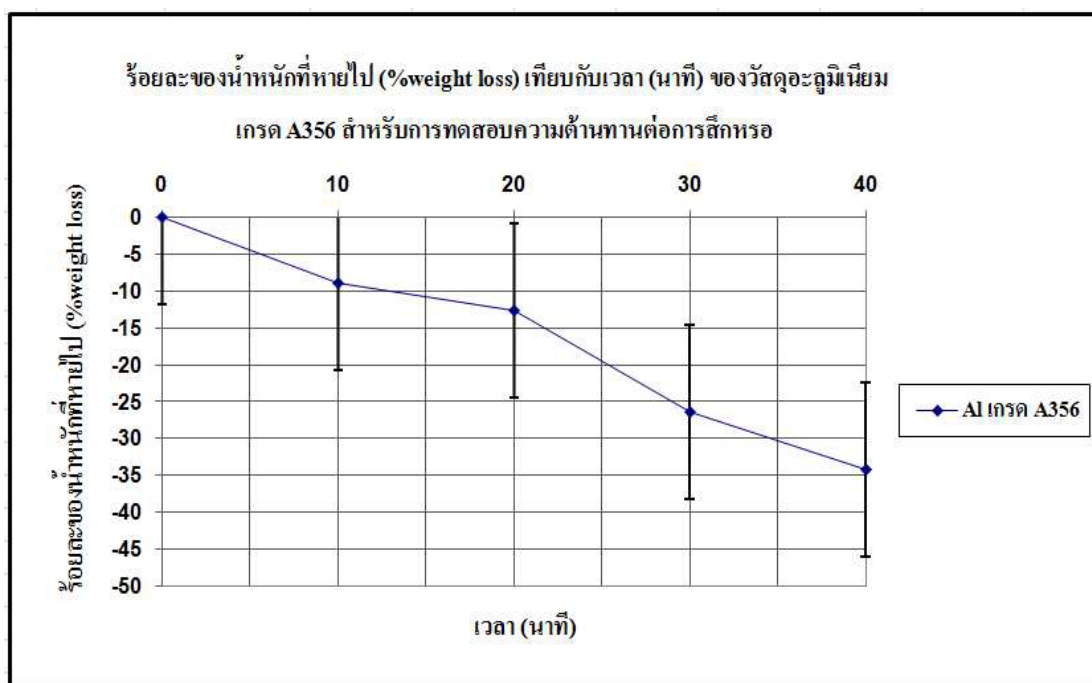


(b)

รูปที่ 5.8 การเปรียบเทียบระหว่างค่าร้อยละของน้ำหนักที่หายไปกับเวลา (นาที) ของการทดสอบ
ความต้านทานต่อการสึกหรอที่ความดันจากการหมุนเร็ว 4.26 MPa (1,800 rpm)

(a) AMC 13.5, 25, 68, 100 μm (b) AMC 13.5, 25, 68, 100 μm, Al A356

(c) Al เกรด A356



(c)

รูปที่ 5.8 (ต่อ) การเปรียบเทียบระหว่างค่าร้อยละของน้ำหนักที่หายไปกับเวลา (นาที) ของการทดสอบความต้านทานต่อการสึกหรอที่ความดันจากการหมุนเหวี่ยง 4.26 MPa (1,800 rpm) (a) AMC 13.5, 25, 68, 100 μm และ Al A356 (b) AMC 13.5, 25, 68, 100 μm , Al A356 (c) Al เกรด A35656

จากผลการทดสอบหาค่าความต้านทานต่อการสึกหรอของชิ้นงานวัสดุพลาสติกอะลูมิเนียม ที่ผลิตได้จากการหมุนเหวี่ยงที่ความดันสูง 4.26 MPa (1,800 rpm) ตามตารางที่ 5.5 - 5.6 และรูปที่ 5.8 พบว่าค่าร้อยละของน้ำหนักที่หายไปของชิ้นงานวัสดุพลาสติกอะลูมิเนียมทั้ง 4 ขนาดของพังซิลิคอนคาร์ไบด์ 13.5, 25, 68, 100 μm ที่ 5 ช่วงเวลาคือนาทีที่ 0, 10, 20, 30, 40 มีค่าร้อยละของน้ำหนักที่หายไปคือ (1) AMC 13.5 μm (0%, -0.0253%, -0.0506%, -0.1011%, -0.1264%) ด้วยอัตรา -0.0013 g/min จากรูปที่ 5.8 และข้อความผิดพลาดผิดพลาดแกน Y แสดงถึงค่าส่วนเบี่ยงเบนมาตรฐานตาม ± 0.046 (2) AMC 25 μm (0%, -0.0260%, -0.0521%, -0.1302%, -0.26%) ด้วยอัตรา -0.0025 g/min จากรูปที่ 5.8 และข้อความผิดพลาดผิดพลาดแกน Y แสดงถึงค่าส่วนเบี่ยงเบนมาตรฐานตาม ± 0.11 (3) AMC 68 μm (0%, -0.1196%, -0.1675%, -0.215%, -0.239%) ด้วยอัตรา -0.0025 g/min จากรูปที่ 5.8 และข้อความผิดพลาดผิดพลาดแกน Y แสดงถึงค่าส่วนเบี่ยงเบนมาตรฐานตาม ± 0.053 (4) AMC 100 μm (0%, -0.1156%, -0.231%, -0.393%, -0.532%) ด้วยอัตรา -0.0058 g/min จากรูปที่ 5.8 และข้อความผิดพลาดผิดพลาดแกน Y แสดงถึงค่าส่วนเบี่ยงเบน

มาตรฐานตาม ± 0.18 ตามลำดับ ค่าร้อยละของน้ำหนักที่มีแนวโน้มที่หายไปสูงสุดเป็นของชิ้นงานวัสดุพสมเนื้ออะลูมิเนียม กรณีขนาดอนุภาคผงซิลิคอนคาร์ไบด์ $100 \mu\text{m}$ และค่าร้อยละของน้ำหนักที่มีแนวโน้มที่หายไปต่ำสุดเป็นของชิ้นงานวัสดุพสมเนื้ออะลูมิเนียม กรณีขนาดอนุภาคผงซิลิคอนคาร์ไบด์ $13.5 \mu\text{m}$ ในขณะที่ค่าร้อยละของน้ำหนักที่หายไปของอะลูมิเนียม เกรด A356 มีค่าร้อยละของน้ำหนักที่หายไปที่ 5 ช่วงเวลาคือนาทีที่ 0, 10, 20, 30, 40 คือ Al A356 (0%, -8.79%, -12.64%, -26.30%, -34.20%) ด้วยอัตรา -0.41 g/min จากรูปที่ 5.8 แสดงข้อความผิดพลาดผิดพลาดแกน Y แสดงถึงค่าส่วนเบี่ยงเบนมาตรฐานตาม ± 11.81 โดยค่าความด้านทานต่อการสึกหรอนั้นจะมีความสัมพันธ์กับค่าร้อยละของน้ำหนักที่หายไป คือหากชิ้นงานใดมีค่าร้อยละของน้ำหนักที่หายไปมากก็หมายความว่าชิ้นงานนั้นมีสมบัติค่าความด้านทานต่อการสึกหรอที่ต่ำกว่าหรือเท่ากับต่อการขัดถีของการทดสอบหาค่าความด้านทานต่อการสึกหรอได้น้อย

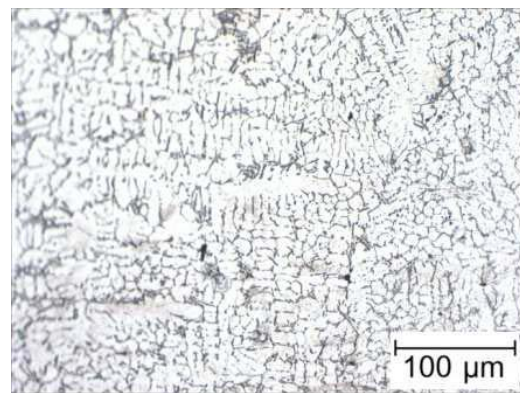
เมื่อนำผลการทดสอบหาค่าความด้านทานต่อการสึกหรอของชิ้นงานวัสดุพสมเนื้ออะลูมิเนียม ทั้ง 4 ขนาดผงซิลิคอนคาร์ไบด์ $13.5, 25, 68, 100 \mu\text{m}$ มาเปรียบเทียบกับค่าความด้านทานต่อการสึกหรอของอะลูมิเนียม เกรด A356 พบร่วมกับค่าความด้านทานต่อการสึกหรอของชิ้นงานวัสดุพสมเนื้ออะลูมิเนียมทั้ง 4 ขนาดของผงซิลิคอนคาร์ไบด์ มีค่าร้อยละของน้ำหนักที่หายไปน้อยกว่าของอะลูมิเนียมหมวดทุกขนาด เพราะในเนื้อชิ้นงานวัสดุพสมเนื้ออะลูมิเนียมมีเนื้อของผงซิลิคอนคาร์ไบด์และเนื้ออะลูมิเนียมประกอบอยู่ซึ่งอนุภาคของผงซิลิคอนคาร์ไบด์จะมีส่วนช่วยในการเสริมความด้านทานต่อการสึกหรอจากการขัด ในขณะที่เนื้อชิ้นงานอะลูมิเนียมมีแต่เนื้ออะลูมิเนียมเพียงอย่างเดียวที่ด้านทานต่อการสึกหรอจากการขัด และพบว่ามีอิทธิพลของอนุภาคผงซิลิคอนคาร์ไบด์มีขนาดใหญ่ขึ้นค่าความด้านทานต่อการสึกหรอของชิ้นงานวัสดุพสมเนื้ออะลูมิเนียมก็จะมีแนวโน้มส่วนใหญ่ให้มีค่าน้อยลงหรือก็คือยิ่งขนาดของอนุภาคผงซิลิคอนคาร์ไบด์ มีขนาดใหญ่ขึ้นค่าร้อยละของน้ำหนักที่หายไปก็จะมีแนวโน้มส่วนใหญ่ให้มีค่ามากขึ้นตาม เพราะที่ขนาดของอนุภาคผงซิลิคอนคาร์ไบด์ที่มีขนาดใหญ่ขึ้นจะถูกอัดให้ติดชิดกันทำให้เกิดช่องว่างระหว่างอนุภาคซิลิคอนคาร์ไบด์ที่มีขนาดใหญ่ขึ้นจะถูกอัดให้ติดชิดกันทำให้เกิดช่องว่างระหว่างอนุภาคซิลิคอนคาร์ไบด์ที่มีขนาดใหญ่ขึ้นจำนวนมากน้ำอะลูมิเนียมเหลวสามารถเข้าไปแทรกซึมในช่องว่างระหว่างอนุภาคเชรามิกของชิ้นงานซิลิคอนคาร์ไบด์อัดขึ้นรูปได้มากก็จริง แต่เมื่อทำการทดสอบหาค่าความด้านทานต่อการสึกหรอซึ่งเป็นการทดสอบแบบการขัดสีที่กระทำทั่วทั้งผิวน้ำของชิ้นงานด้วยกระดาษทรายน้ำ เบอร์ 150 C.C. โดยที่กระดาษทรายน้ำ เบอร์ 150 C.C. นั้นมีขนาดอนุภาคซิลิคอนคาร์ไบด์ที่เป็นสารช่วยในการขัดสีอยู่ที่ $100 \mu\text{m}$ จากการสังเกตพบว่าขนาดอนุภาคผงซิลิคอนคาร์ไบด์ทั้งของกระดาษทรายน้ำและชิ้นงานวัสดุพสมเนื้ออะลูมิเนียม กรณีขนาดอนุภาคผงซิลิคอนคาร์ไบด์ $100 \mu\text{m}$ มีขนาดใกล้เคียงกันเมื่อทำการขัดสีอนุภาคผงซิลิคอนคาร์ไบด์ที่ชิ้นงาน

วัสดุพสมเนื้อออะลูมิเนียมจึงเกิดการสึกกร่อนได้ง่ายกว่าของชิ้นงานวัสดุพสมเนื้อออะลูมิเนียมที่มีขนาดอนุภาคผงซิลิโคนคาร์ไบด์ที่มีขนาดเล็กทำให้อนุภาคเเขามิกของชิ้นงานซิลิโคนคาร์ไบด์อัดขึ้นรูปที่มีขนาดใหญ่จะมีความสามารถในการต้านทานต่อการสึกหรอน้อยกว่าของขนาดอนุภาคเเขามิกของชิ้นงานซิลิโคนคาร์ไบด์อัดขึ้นรูปที่มีขนาดเล็ก

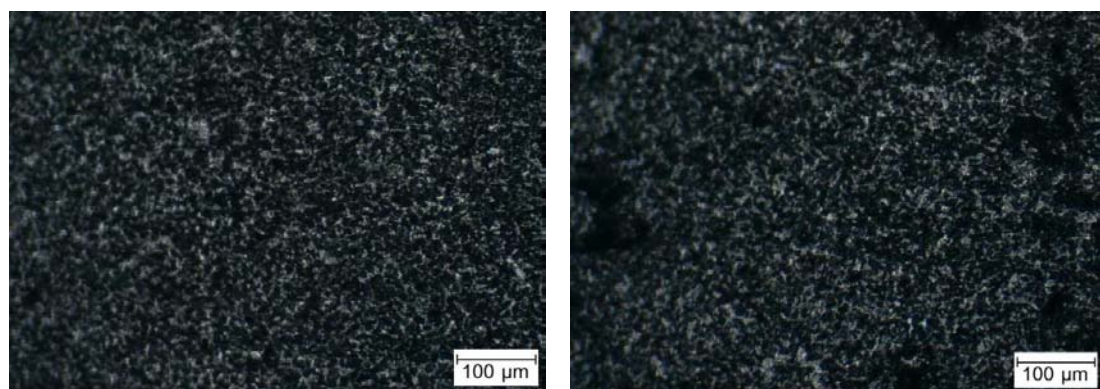
การผลิตชิ้นงานวัสดุพสมเนื้อออะลูมิเนียม โดยวิธีการหล่อโลหะแบบเหวี่ยงด้วยความดันสูงถือได้ว่าประสบความสำเร็จ เพราะว่าชิ้นงานวัสดุพสมเนื้อออะลูมิเนียมมีค่าสมบัติความต้านทานต่อการสึกหรอที่มากกว่าของอะลูมิเนียม เกรด A356 แบบธรรมชาติ หรือกึ่งชิ้นงานวัสดุพสมเนื้อออะลูมิเนียมมีค่าร้อยละของน้ำหนักที่หายไปน้อยกว่าของอะลูมิเนียม เกรด A356 เนื่องจากในเนื้อชิ้นงานวัสดุพสมเนื้อออะลูมิเนียมจะมีเนื้อของผงซิลิโคนคาร์ไบด์และเนื้อออะลูมิเนียมประกอบอยู่ซึ่งอนุภาคของผงซิลิโคนคาร์ไบด์จะมีส่วนช่วยในการเสริมค่าสมบัติความต้านทานต่อการสึกหรอให้มีค่ามากกว่าอะลูมิเนียมแบบธรรมชาติ และชิ้นงานวัสดุพสมเนื้อออะลูมิเนียมที่กรณิขนาดของอนุภาคผงซิลิโคนคาร์ไบด์ที่มีขนาดเล็ก อนุภาคผงซิลิโคนคาร์ไบด์จะถูกอัดให้ติดชิดกันมากกว่าทำให้สามารถช่วยในการต้านทานต่อการสึกหรอได้ดีกว่ากรณิขนาดอนุภาคผงซิลิโคนคาร์ไบด์ที่มีขนาดใหญ่ ทำให้ที่วัสดุพสมเนื้อออะลูมิเนียมกรณิขนาดอนุภาคผงซิลิโคนคาร์ไบด์ที่มีขนาดเล็กมีค่าสมบัติความต้านทานต่อการสึกหรอที่มากกว่าวัสดุพสมเนื้อออะลูมิเนียมกรณิขนาดอนุภาคผงซิลิโคนคาร์ไบด์ที่มีขนาดใหญ่และชิ้นงานอะลูมิเนียม เกรด A356 แบบธรรมชาติ

5.1.1.4 โครงสร้างภายในระดับจุลภาคของชิ้นงานวัสดุพสมเนื้อออะลูมิเนียม ทั้ง 4 ขนาดของผงซิลิโคนคาร์ไบด์

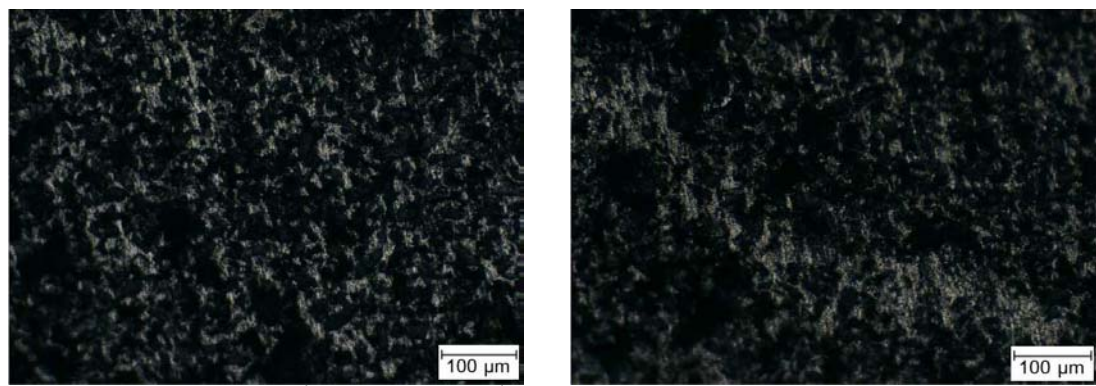
การศึกษาโครงสร้างภายในระดับจุลภาคของชิ้นงานวัสดุพสมเนื้อออะลูมิเนียม ที่ผลิตได้จากการหมุนเหวี่ยงที่ความดันสูง 4.26 MPa (1,800 rpm) เพื่อศึกษาและพิจารณาลักษณะโครงสร้างภายในระดับจุลภาค ชิ้นงานวัสดุพสมเนื้อออะลูมิเนียมทั้ง 4 ขนาดของผงซิลิโคนคาร์ไบด์ ($13.5, 25, 68, 100 \mu\text{m}$) และชิ้นงานอะลูมิเนียม เกรด A356 ที่บริเวณโครงสร้างภายในระดับจุลภาคของชิ้นงานวัสดุพสมเนื้อออะลูมิเนียมของแต่ละขนาดของผงซิลิโคนคาร์ไบด์มีลักษณะอนุภาคซิลิโคนคาร์ไบด์ ลักษณะการเข้าแทรกซึมของน้ำโลหะอะลูมิเนียมเหลวในช่องว่างระหว่างอนุภาคซิลิโคนคาร์ไบด์ มีรูพรุนช่องว่างซึ่งเกิดจากการที่นำน้ำโลหะอะลูมิเนียมเหลวไม่สามารถเข้าไปแทรกซึมในช่องว่างระหว่างอนุภาค การศึกษาโครงสร้างภายในระดับจุลภาคของชิ้นงานวัสดุพสมเนื้อออะลูมิเนียมแสดงในรูปที่ 5.9-5.18



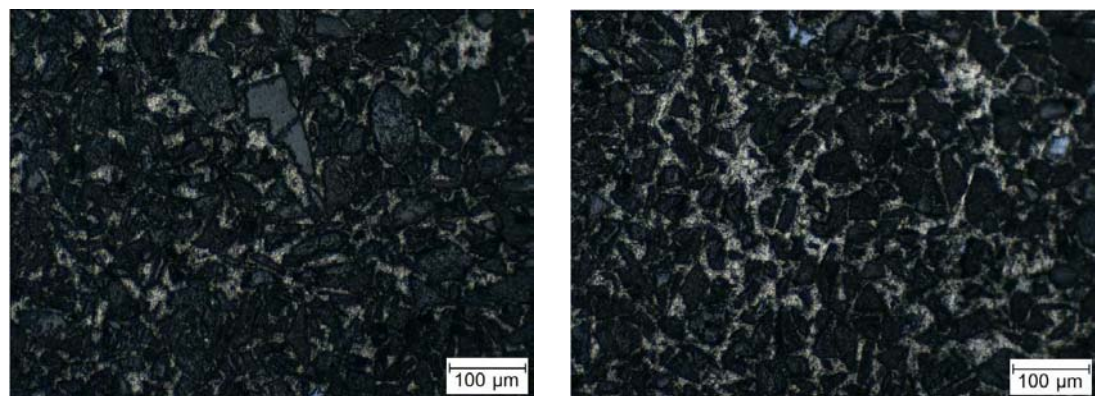
รูปที่ 5.9 ภาพผิวน้ำขึ้นงานอะลูมิเนียม เกรด A356 กำลังขยาย 10X ที่ได้จากการถ่ายด้วยกล้องจุลทรรศน์แบบแสง



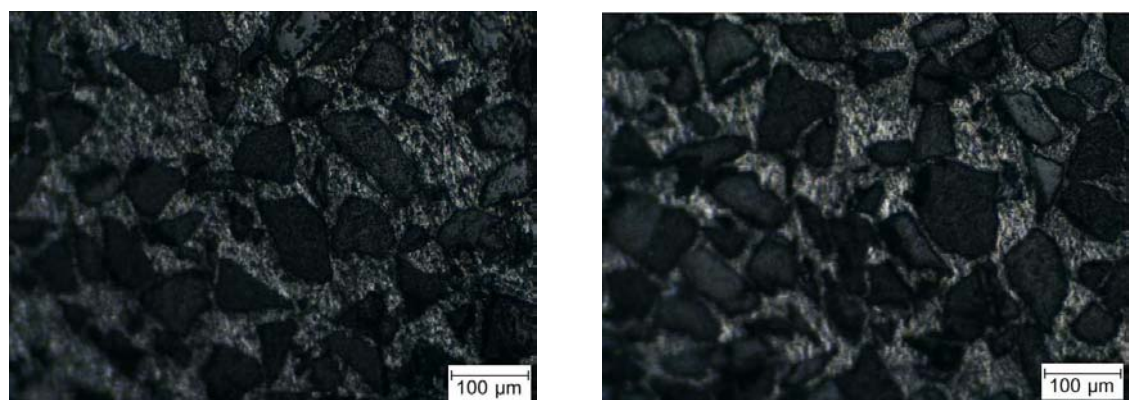
รูปที่ 5.10 ภาพผิวน้ำขึ้นงานวัสดุผสมเนื้ออะลูมิเนียม กรณีขาดอนุภาคผงซิลิโคนคาร์บอนไบด์ 13.5 μm กำลังขยาย 10X ที่ได้จากการถ่ายด้วยกล้องจุลทรรศน์แบบแสง



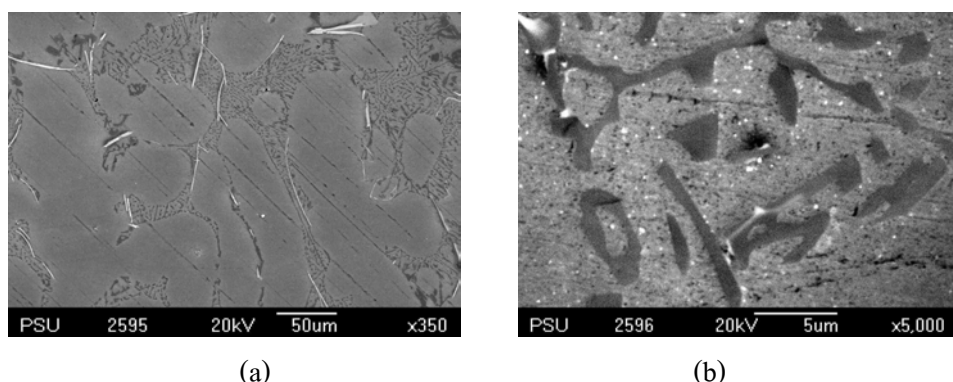
รูปที่ 5.11 ภาพผิวน้ำขึ้นงานวัสดุผสมเนื้ออะลูมิเนียม กรณีขาดอนุภาคผงซิลิโคนคาร์บอนไบด์ 25 μm กำลังขยาย 10X ที่ได้จากการถ่ายด้วยกล้องจุลทรรศน์แบบแสง



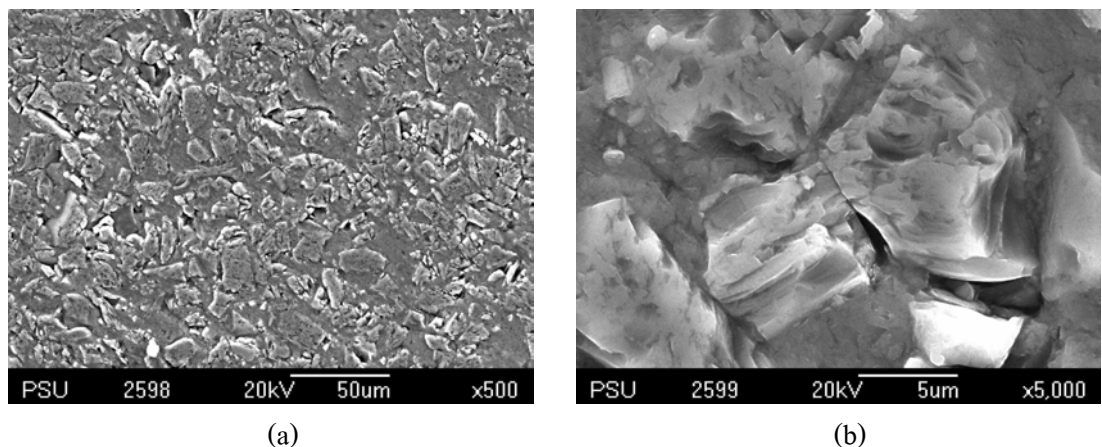
รูปที่ 5.12 ภาพผิวหน้าชิ้นงานวัสดุผสมเนื้ออัลูมิเนียม กรณีขัดอนุภาคผงซิลิโคนคาร์ไบด์ 68 μm กำลังขยาย 10X ที่ได้จากการถ่ายด้วยกล้องจุลทรรศน์แบบแสง



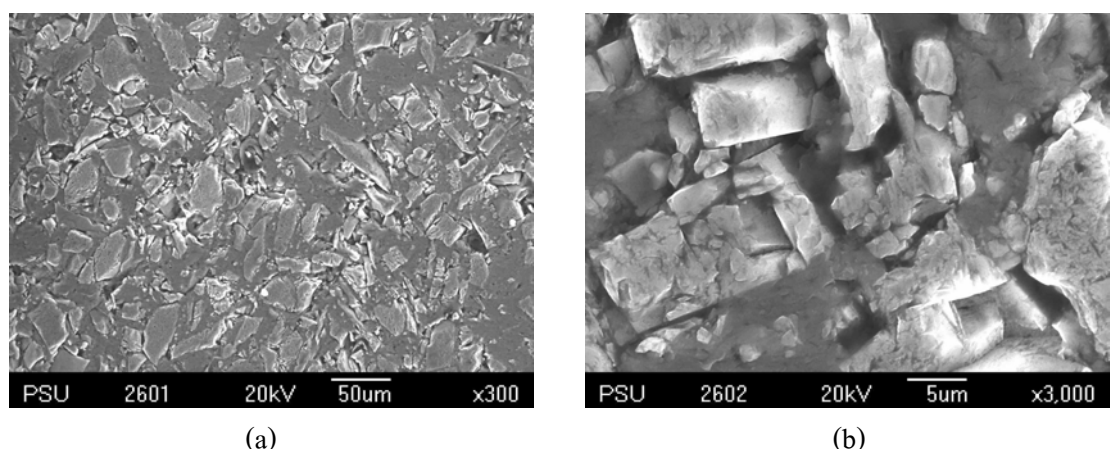
รูปที่ 5.13 ภาพผิวหน้าชิ้นงานวัสดุผสมเนื้ออัลูมิเนียม กรณีขัดอนุภาคผงซิลิโคนคาร์ไบด์ 100 μm กำลังขยาย 10X ที่ได้จากการถ่ายด้วยกล้องจุลทรรศน์แบบแสง



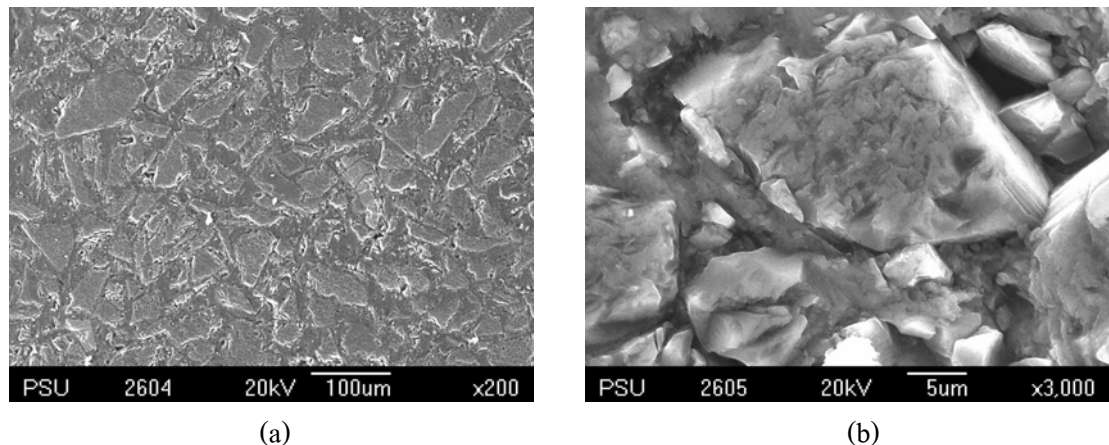
รูปที่ 5.14 ภาพโกรงสร้างระดับจุลภาคของชิ้นงานอะลูมิเนียม เกรด A356 จากการถ่ายด้วยกล้องจุลทรรศน์อิเล็กตรอนแบบส่อง粒光 ที่กำลังขยาย (a) 350X และ (b) 5000X ตามลำดับ



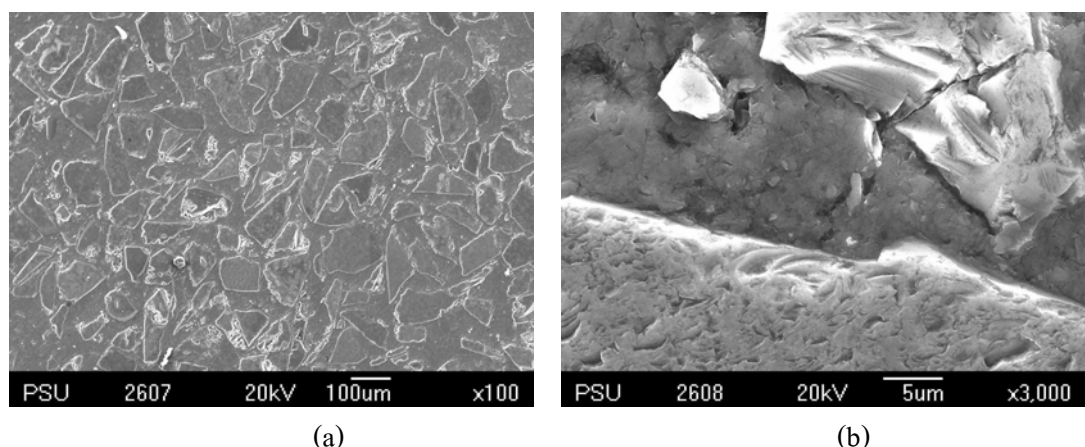
รูปที่ 5.15 ภาพโพรส์ร่างระดับจุลภาคของชิ้นงานวัสดุพสมเนื้ออ่อนลูมิเนียม กรณีขนาดอนุภาคผง
ซิลิโคนคาร์บอนบัด 13.5 μm จากการถ่ายด้วยกล้องจุลทรรศน์อิเล็กตรอนแบบส่องกราด ที่
กำลังขยาย (a) 500X และ (b) 5000X ตามลำดับ



รูปที่ 5.16 ภาพโพรส์ร่างระดับจุลภาคของชิ้นงานวัสดุพสมเนื้ออ่อนลูมิเนียม กรณีขนาดอนุภาคผง
ซิลิโคนคาร์บอนบัด 25 μm จากการถ่ายด้วยกล้องจุลทรรศน์อิเล็กตรอนแบบส่องกราด ที่
กำลังขยาย (a) 300X และ (b) 3000X ตามลำดับ



รูปที่ 5.17 ภาพโกรงสร้างระดับจุลภาคของชิ้นงานวัสดุผสมเนื้ออัลูมิเนียม กรณีข้าดอนุภาคผง ซิลิคอนคาร์ไบด์ 68 μm จากการถ่ายด้วยกล้องจุลทรรศน์อิเล็กตรอนแบบส่องกราด ที่กำลังขยาย (a) 200X และ (b) 3000X ตามลำดับ



รูปที่ 5.18 ภาพโกรงสร้างระดับจุลภาคของชิ้นงานวัสดุผสมเนื้ออัลูมิเนียม กรณีข้าดอนุภาคผง ซิลิคอนคาร์ไบด์ 100 μm จากการถ่ายด้วยกล้องจุลทรรศน์อิเล็กตรอนแบบส่องกราด ที่กำลังขยาย (a) 100X และ (b) 3000X ตามลำดับ

จากผลการส่องคุณภาพถ่ายภาพด้วยกล้องจุลทรรศน์แบบแสงและกล้องจุลทรรศน์อิเล็กตรอนแบบส่องกราด เพื่อศึกษาและพิจารณาลักษณะโกรงสร้างภายในระดับจุลภาคของชิ้นงานวัสดุผสมเนื้ออัลูมิเนียม ที่ผลิตได้จากการหมุนเหวี่ยงที่ความดันสูง 4.26 MPa (1,800 rpm) ทั้ง 4 ขนาดของผงซิลิคอนคาร์ไบด์ (13.5, 25, 68, 100 μm) และชิ้นงานอะลูมิเนียม เกรด A356 ดังแสดงในรูป 5.9-5.18 พนว่าภาพที่ถ่ายด้วยกล้องจุลทรรศน์แบบแสง ที่กำลังขยาย 10X เช่น ดังรูปที่

5.9, 5.10, 5.11, 5.12, 5.13 เป็นภาพโครงสร้างระดับจุลภาคผิวน้ำของอะลูมิเนียมและชิ้นงานวัสดุผสมเนื้ออะลูมิเนียมทั้ง 4 ขนาด คือขนาดอนุภาคผงซิลิโคนคาร์บไบด์ 13.5, 25, 68, 100 μm ตามลำดับ ซึ่งแสดงให้เห็นผิวน้ำชิ้นงานวัสดุผสมเนื้ออะลูมิเนียมที่มีการเข้าแทรกซึมของน้ำโลหะอะลูมิเนียมเหลวในช่องว่างระหว่างอนุภาคของซิลิโคนคาร์บไบด์ โดยภาพผิวน้ำชิ้นงานวัสดุผสมเนื้ออะลูมิเนียมที่ถ่ายด้วยกล้องจุลทรรศน์แบบแสงที่แสดงให้เห็นอนุภาคของซิลิโคนคาร์บไบด์และบริเวณที่น้ำโลหะอะลูมิเนียมเหลวเข้าแทรกซึมในช่องว่างระหว่างอนุภาคของซิลิโคนคาร์บไบด์ได้ชัดเจนมากที่สุดคือ รูปที่ 5.13 ซึ่งเป็นของผิวน้ำชิ้นงานวัสดุผสมเนื้ออะลูมิเนียมกรณีขนาดอนุภาคผงซิลิโคนคาร์บไบด์ 100 μm และภาพผิวน้ำชิ้นงานวัสดุผสมเนื้ออะลูมิเนียมที่ถ่ายด้วยกล้องจุลทรรศน์แบบแสงที่แสดงให้เห็นอนุภาคของซิลิโคนคาร์บไบด์และบริเวณที่น้ำโลหะอะลูมิเนียมเหลวเข้าแทรกซึมในช่องว่างระหว่างอนุภาคของซิลิโคนคาร์บไบด์ได้ชัดเจนต่ำที่สุดคือ รูปที่ 5.10 ซึ่งเป็นของผิวน้ำชิ้นงานวัสดุผสมเนื้ออะลูมิเนียมกรณีขนาดอนุภาคผงซิลิโคนคาร์บไบด์ 13.5 μm ในส่วนของภาพโครงสร้างภายในระดับจุลภาคที่ถ่ายด้วยกล้องจุลทรรศน์อิเล็กตรอนแบบส่อง粒加速 ดังรูปที่ 5.14, 5.15, 5.16, 5.17, 5.18 เป็นภาพโครงสร้างภายในระดับจุลภาคของชิ้นงานวัสดุผสมเนื้ออะลูมิเนียมทั้ง 4 ขนาด คือขนาดอนุภาคผงซิลิโคนคาร์บไบด์ 13.5, 25, 68, 100 μm ตามลำดับ ซึ่งแสดงให้เห็นโครงสร้างภายในระดับจุลภาคของชิ้นงานวัสดุผสมเนื้ออะลูมิเนียมที่มีการเข้าแทรกซึมของน้ำโลหะอะลูมิเนียมเหลวในช่องว่างระหว่างอนุภาคของซิลิโคนคาร์บไบด์ คือเห็นอนุภาคของซิลิโคนคาร์บไบด์ รูพรุนที่น้ำโลหะอะลูมิเนียมเหลวไม่สามารถเข้าแทรกซึมໄได้และบริเวณที่น้ำโลหะอะลูมิเนียมเหลวเข้าแทรกซึมในช่องว่างระหว่างอนุภาคของซิลิโคนคาร์บไบด์ ในขณะที่รูปที่ 5.14 แสดงให้เห็นโครงสร้างภายในระดับจุลภาคของชิ้นงานอะลูมิเนียมที่ไม่มีอนุภาคของซิลิโคนคาร์บไบด์ช่วยในการเสริมแรง

เมื่อนำผลการส่องดูและถ่ายภาพด้วยกล้องจุลทรรศน์แบบแสงและกล้องจุลทรรศน์อิเล็กตรอนแบบส่อง粒加速ของ粒加速ของชิ้นงานวัสดุผสมเนื้ออะลูมิเนียม ทั้ง 4 ขนาดผงอนุภาคซิลิโคนคาร์บไบด์ 13.5, 25, 68, 100 μm และอะลูมิเนียม เกรด A356 มาพิจารณาจะพบว่าภาพที่ได้จากการถ่ายด้วยกล้องจุลทรรศน์แบบแสงจะแสดงให้เห็นลักษณะของผิวน้ำชิ้นงานวัสดุผสมเนื้ออะลูมิเนียมที่มีขนาดใหญ่จึงจะมีแนวโน้มที่สามารถสังเกตเห็นได้ชัดเจน ขนาดอนุภาคของซิลิโคนคาร์บไบด์และบริเวณที่อะลูมิเนียมสามารถแทรกซึมในช่องว่างระหว่างอนุภาคของซิลิโคนคาร์บไบด์ได้ชัดเจนมากยิ่งขึ้น (บริเวณที่เป็นสีขาวคือน้ำโลหะอะลูมิเนียมที่แข็งตัวและสามารถที่จะเข้าไปแทรกซึมอยู่ภายในช่องว่างระหว่างอนุภาคซิลิโคนคาร์บไบด์ได้ เช่น

รูปที่ 5.12 และรูปที่ 5.13 จะแสดงให้เห็นถึงส่วนที่เป็นบริเวณน้ำอะลูมิเนียมที่แข็งตัวและสามารถที่จะเข้าไปแทรกซึ่งอยู่ภายในช่องระหว่างอนุภาคซิลิโคนคาร์บไบด์ได้ชัดเจน ในส่วนของบริเวณที่เป็นสีดำอาจจะเป็นอนุภาคซิลิโคนคาร์บไบด์หรือรูพูนช่องว่างที่เกิดจากการที่นำโลหะอะลูมิเนียมเหลวไม่สามารถเข้าไปแทรกซึ่งในช่องระหว่างอนุภาคได้ ซึ่งจำเป็นต้องใช้กล้องจุลทรรศน์อิเล็กตรอนแบบส่องgraphicในการจำแนก) เหตุที่ยังขาดอนุภาคของผงซิลิโคนคาร์บไบด์ของชิ้นงานวัสดุผสมเนื้ออะลูมิเนียมมีขนาดใหญ่ขึ้นจะมีแนวโน้มที่สามารถสังเกตขนาดอนุภาคของซิลิโคนคาร์บไบด์และบริเวณที่อะลูมิเนียมสามารถแทรกซึ่งในช่องระหว่างอนุภาคของซิลิโคนคาร์บไบด์ได้ชัดเจนกว่าที่ขนาดอนุภาคของผงซิลิโคนคาร์บไบด์ของชิ้นงานวัสดุผสมเนื้ออะลูมิเนียมขนาดเล็กก็ เพราะว่าชิ้นงานวัสดุผสมเนื้ออะลูมิเนียมที่ขนาดอนุภาคของผงซิลิโคนคาร์บไบด์ที่มีขนาดใหญ่กว่า จึงเป็นการง่ายที่นำอะลูมิเนียมเหลวสามารถเข้าไปแทรกซึ่งในช่องระหว่างอนุภาคซิลิโคนคาร์บไบด์ที่มีขนาดใหญ่กว่าและมีขนาดของช่องระหว่างอนุภาคซิลิโคนคาร์บไบด์ที่มีขนาดใหญ่กว่า จึงเป็นการง่ายที่นำอะลูมิเนียมเหลวสามารถเข้าไปแทรกซึ่งในช่องระหว่างอนุภาคเชรามิกของชิ้นงานซิลิโคนคาร์บไบด์อัดขึ้นรูปจนเกิดกลาญเป็นวัสดุผสมเนื้ออะลูมิเนียม ในส่วนของภาพจากกล้องจุลทรรศน์อิเล็กตรอนแบบส่องgraphic จะเป็นการแสดงให้เห็นถึงโครงสร้างภายในระดับจุลภาคของชิ้นงานวัสดุผสมเนื้ออะลูมิเนียมที่แสดงให้เห็นขนาดอนุภาคของซิลิโคนคาร์บไบด์บริเวณที่อะลูมิเนียมสามารถแทรกซึ่งในช่องระหว่างอนุภาคของซิลิโคนคาร์บไบด์และรูพูนช่องว่างระหว่างอนุภาคของซิลิโคนคาร์บไบด์ที่นำอะลูมิเนียมเหลวไม่สามารถเข้าไปแทรกซึ่งได้ชัดเจนกว่ากล้องจุลทรรศน์แบบแสง จากรูป 5.9-5.18 สังเกตได้ว่าชิ้นงานวัสดุผสมเนื้ออะลูมิเนียมกรัฟฟิขนาดผงอนุภาคซิลิโคนคาร์บไบด์ขนาด $100 \mu\text{m}$ นำโลหะอะลูมิเนียมเหลวสามารถแทรกซึ่งเข้าไปในช่องระหว่างอนุภาคซิลิโคนคาร์บไบด์ของซิลิโคนคาร์บไบด์อัดขึ้นรูปได้อย่างเต็มที่ เกิดรูพูนช่องว่างที่นำโลหะอะลูมิเนียมเหลวไม่สามารถเข้าแทรกซึ่งช่องระหว่างอนุภาคซิลิโคนคาร์บไบด์ได้น้อยมากเป็นจำนวนที่น้อยมาก เห็นอนุภาคของซิลิโคนคาร์บไบด์ได้ชัดเจน ในส่วนของชิ้นงานวัสดุผสมเนื้ออะลูมิเนียมกรัฟฟิขนาดอนุภาคผงซิลิโคนคาร์บไบด์ $13.5 \mu\text{m}$ ซึ่งเป็นขนาดซิลิโคนคาร์บไบด์ที่เล็กมากจะให้ผลตรงข้ามกันคืออะลูมิเนียมสามารถแทรกซึ่งในช่องระหว่างอนุภาคของซิลิโคนคาร์บไบด์ได้จำนวนมาก เนื่องจากเป็นขนาดอนุภาคของซิลิโคนคาร์บไบด์ที่นำโลหะอะลูมิเนียมเหลวไม่สามารถเข้าไปแทรกซึ่งภายในช่องระหว่างอนุภาคซิลิโคนคาร์บไบด์ได้เป็นจำนวนมาก แต่ก็ยังเห็นอนุภาคของซิลิโคนคาร์บไบด์ได้ชัดเจน (บริเวณที่เป็นสีดำที่อาจเป็น

รูปrunช่องว่างที่เกิดจากการที่น้ำโลหะอะลูมิเนียมเหลวไม่สามารถเข้าไปแทรกซึมในช่องว่างระหว่างอนุภาคได้ ซึ่งเมื่อนำมาเปรียบเทียบกับภาพผิวน้ำและโครงสร้างภายในระดับจุลภาคของชิ้นงานอะลูมิเนียม เกรด A356 แบบธรรมชาติพบว่าจะมีแต่เนื้ออะลูมิเนียมเพียงอย่างเดียว นี่เองจากไม่มีอนุภาคของซิลิโคนคาร์ไบด์ช่วยในการเสริมแรง

การผลิตชิ้นงานวัสดุผสมเนื้ออะลูมิเนียม โดยวิธีการหล่อโลหะแบบเหวี่ยงด้วยความดันสูงถือได้ว่าประสบความสำเร็จ เพราะว่าน้ำโลหะอะลูมิเนียม เกรด A356 เหลวสามารถแทรกซึมเข้าไปในช่องว่างระหว่างอนุภาคซิลิโคนคาร์ไบด์ของซิลิโคนคาร์ไบด์อัดขึ้นรูปได้จนเกิดกลาญเป็นชิ้นงานวัสดุผสมเนื้ออะลูมิเนียม และที่ชิ้นงานวัสดุผสมเนื้ออะลูมิเนียมกรณีขนาดของอนุภาคผงซิลิโคนคาร์ไบด์ที่มีขนาดเล็ก อนุภาคผงซิลิโคนคาร์ไบด์จะถูกอัดให้ติดชิดกันมากกว่า และเกิดกลาญเป็นช่องว่างระหว่างอนุภาคซิลิโคนคาร์ไบด์ที่เล็กมากกว่าที่กรณีขนาดอนุภาคผงซิลิโคนคาร์ไบด์ที่มีขนาดใหญ่ ทำให้เป็นการยากที่น้ำโลหะอะลูมิเนียมเหลวจะสามารถแทรกซึมเข้าไปในช่องว่างระหว่างอนุภาคซิลิโคนคาร์ไบด์ของซิลิโคนคาร์ไบด์อัดขึ้นรูปได้อย่างเต็มที่จึงยังปรากฏรูปrunช่องว่างที่บริเวณโครงสร้างภายในระดับจุลภาคของชิ้นงานวัสดุผสมเนื้ออะลูมิเนียมที่เกิดจากการที่น้ำโลหะอะลูมิเนียมเหลวไม่สามารถเข้าไปแทรกซึมในช่องว่างระหว่างอนุภาคได้ภายในเป็นจำนวนมาก

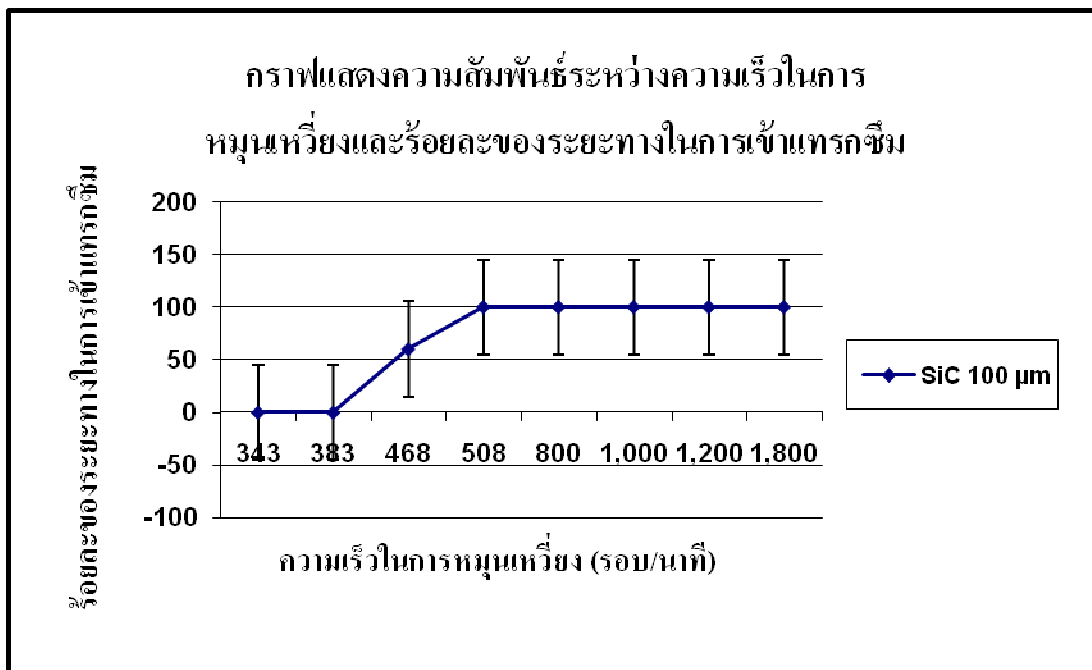
5.1.2 อิทธิพลของค่าความดันน้ำโลหะ

จากที่ได้ทำการกำหนดให้ใช้ความเร็วระดับการหมุนเหวี่ยง 1,800 rpm หรือกีกีอีที่ความดันของน้ำโลหะอะลูมิเนียมเหลว 4.26 MPa เป็นความเร็วสูงสุดสำหรับการทดลองวิจัยการหล่อโลหะแบบเหวี่ยงด้วยความดันสูงครั้งนี้ เพื่อเป็นการหาประสิทธิภาพของชุดระบบการหล่อเหวี่ยงความดันสูงและศึกษาอิทธิพลของค่าความดันน้ำโลหะอะลูมิเนียมเหลว เกรด A356 ที่มีผลต่อการผลิตวัสดุผสมเนื้ออะลูมิเนียมจึงได้ทำการทดลองกับชิ้นงานซิลิโคนคาร์ไบด์อัดขึ้นรูปที่มีขนาดอนุภาคผงซิลิโคนคาร์ไบด์เท่ากับ 100 μm ที่ระดับความเร็วในการหมุนเหวี่ยงขนาดต่างๆ เพื่อหาความสัมพันธ์ระหว่างความเร็วในการหมุนเหวี่ยง (Rotational speed) และความสัมพันธ์ระหว่างความดันของน้ำโลหะอะลูมิเนียมเทียบกับร้อยละของระยะทางในการเข้าแทรกซึม (%Infiltrated

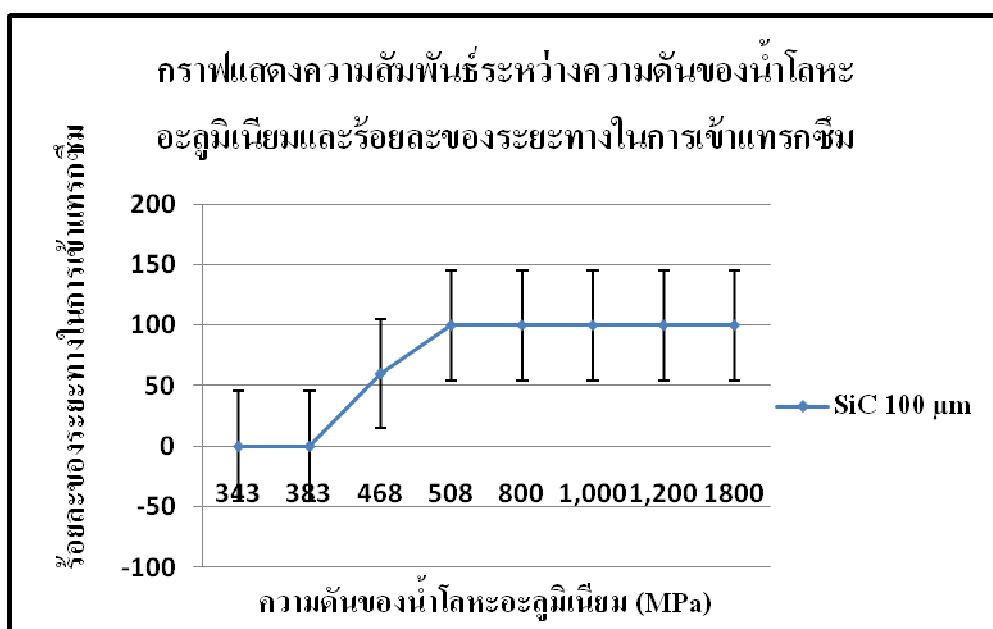
distance) แสดงในรูปที่ 5.19 และ 5.20 ตามลำดับ จากหัวข้อ 2.3.2 ในบทที่ 2 และหัวข้อ 3.1.1 ในบทที่ 3 สามารถคำนวณหาค่าได้ดังแสดงในตารางที่ 5.7

ตารางที่ 5.7 ผลการคำนวณหาค่าความดันน้ำโลหะอะลูมิเนียมเหลวเทียบกับร้อยละของระยะทางในการเข้าแทรกซึมในชิ้นงานซิลิโคนคาร์บีดอัลจิ้นรูปเพื่อผลิตวัสดุผสมเนื้ออัลูมิเนียม

ผลคำนวณค่าความดันน้ำโลหะอะลูมิเนียมเหลวและผลของร้อยละของระยะทางในการเข้าแทรกซึม (%Infiltrated distance)				
ρ_{Al} , $\frac{kg}{m^3}$	Ω , rpm	L_2 , m	P_c , MPa	%Infiltrated distance
2,670	343	0.3	0.15	0
2,670	383	0.3	0.19	0
2,670	468	0.3	0.29	60
2,670	508	0.3	0.34	100
2,670	800	0.3	0.84	100
2,670	1,000	0.3	1.31	100
2,670	1,200	0.3	1.90	100
2,670	1,800	0.3	4.26	100



รูปที่ 5.19 ร้อยละของระยะทางในการเข้าแทรกซึมของน้ำโลหะอะลูมิเนียมเหลวที่เข้าแทรกซึมในชิ้นงานซิลิโคนคาร์บไบด์อัดขึ้นรูป ที่มีขนาดซิลิโคนคาร์บไบด์ $100 \mu\text{m}$ ที่ความเร็วในการหมุนเหวี่ยงขนาดต่างๆ



รูปที่ 5.20 ร้อยละของระยะทางในการเข้าแทรกซึมของน้ำโลหะอะลูมิเนียมเหลวที่เข้าแทรกซึมในชิ้นงานซิลิโคนคาร์บไบด์อัดขึ้นรูป ที่มีขนาดซิลิโคนคาร์บไบด์ $100 \mu\text{m}$ ที่ความดันของน้ำโลหะอะลูมิเนียมเหลวขนาดต่างๆ

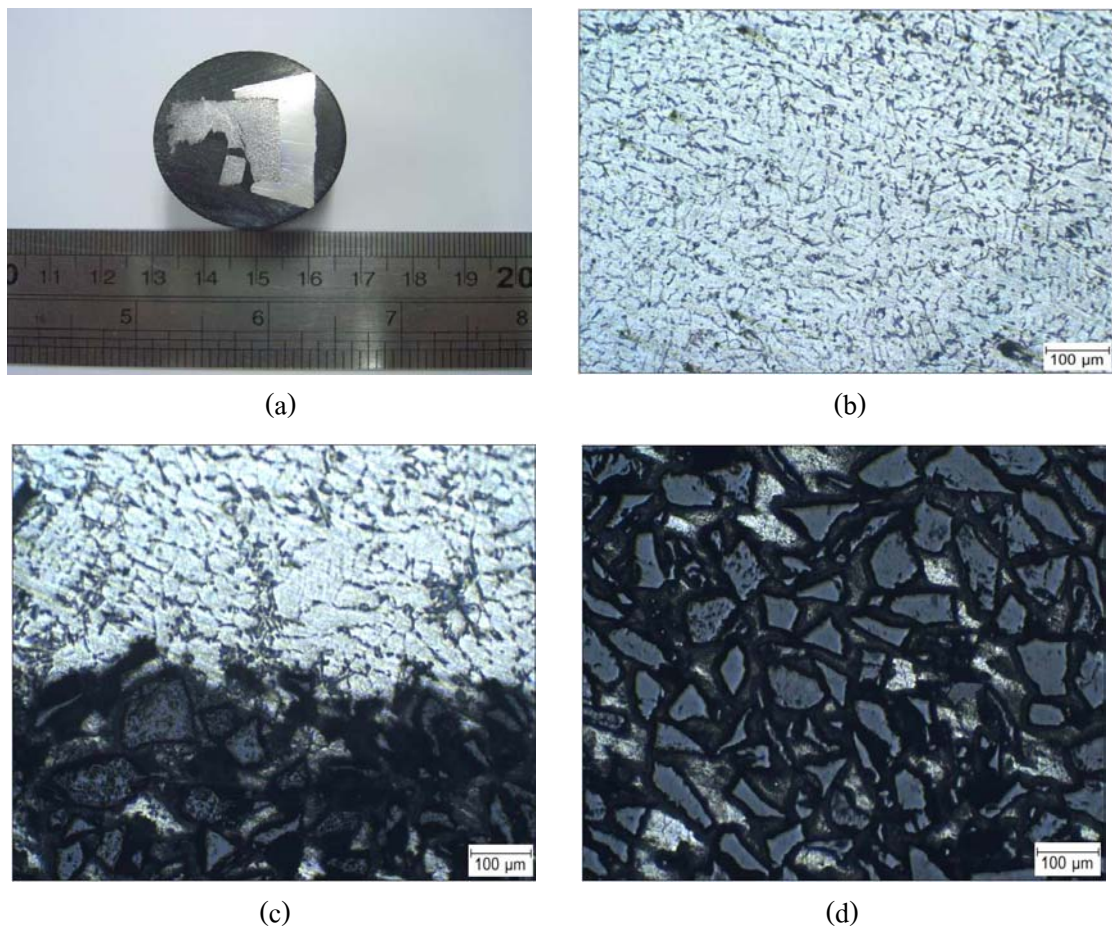
จากหัวข้อ 2.3.2 ในบทที่ 2 และหัวข้อ 3.1.1 ในบทที่ 3 พนว่าความเร็วในการหมุนเหวี่ยงมีความสัมพันธ์กับความดันของน้ำโลหะอะลูมิเนียมเหลว หากความเร็วเพียงเล็กน้อยในการหมุนเหวี่ยงมีค่ามากย่อมทำให้ค่าความเร็วรองเชิงบุน (ω) และค่าความดันของน้ำโลหะอะลูมิเนียมเหลวที่เกิดมีแนวโน้มมากขึ้นตาม ในหัวข้อนี้ทางผู้วิจัยแสดงให้เห็นว่าความเร็วในการหมุนเหวี่ยงทางปฏิบัติเมื่อเทียบเป็นความดันของน้ำโลหะอะลูมิเนียมเหลวทางปฏิบัติ สามารถส่งผลต่อการเข้าแทรกซึมในชิ้นงานซิลิโคนคาร์บอนด์อัดขึ้นรูปได้ ดังรูปที่ 5.19 และ 5.20 ชิ้นงานวัสดุผสมเนื้ออัลูมิเนียมที่ความดันของน้ำโลหะอะลูมิเนียมเหลวนานาค่า 0.15, 0.19, 0.29, 0.34, 0.84, 1.32, 1.90, 4.26 MPa จะมีลักษณะหลังผ่านการตัด ขัดให้เรียบ และการถ่ายด้วยกล้องจุลทรรศน์แบบแสงที่กำลังขยาย 10X ต่างกัน แสดงในรูปที่ 5.21-5.28



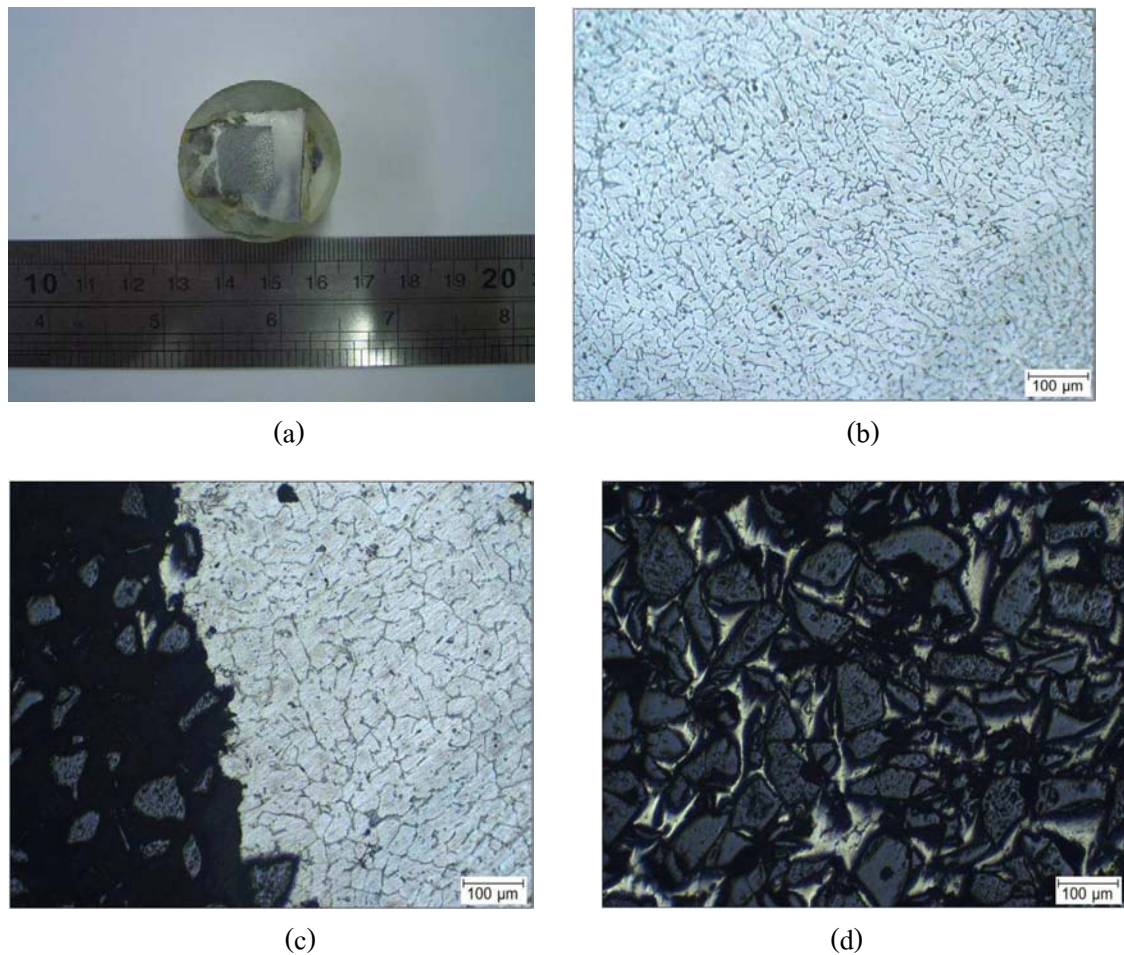
รูปที่ 5.21 ลักษณะชิ้นงานวัสดุผสมเนื้ออัลูมิเนียม ที่ได้จากการทดลองวิจัยหลังผ่านการตัดและขัดให้เรียบ กรณีขนาดอนุภาคผงซิลิโคนคาร์บอนด์ 100 μm ความดันน้ำโลหะอะลูมิเนียมเหลว 0.15 MPa



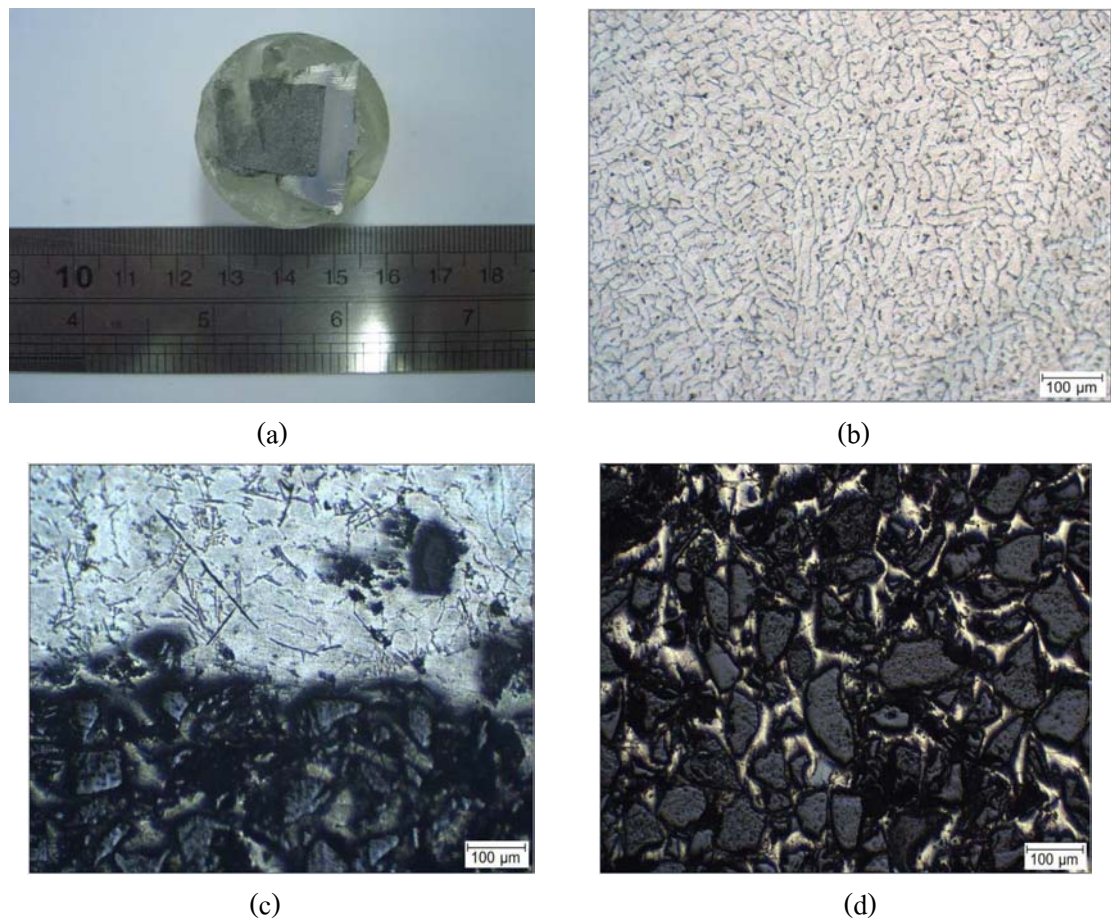
รูปที่ 5.22 ลักษณะชิ้นงานวัสดุผสมเนื้ออัลูมิเนียม ที่ได้จากการทดลองวิจัยหลังผ่านการตัดและขัดให้เรียบ กรณีขนาดอนุภาคผงซิลิโคนคาร์บอนด์ 100 μm ความดันน้ำโลหะอะลูมิเนียมเหลว 0.19 MPa



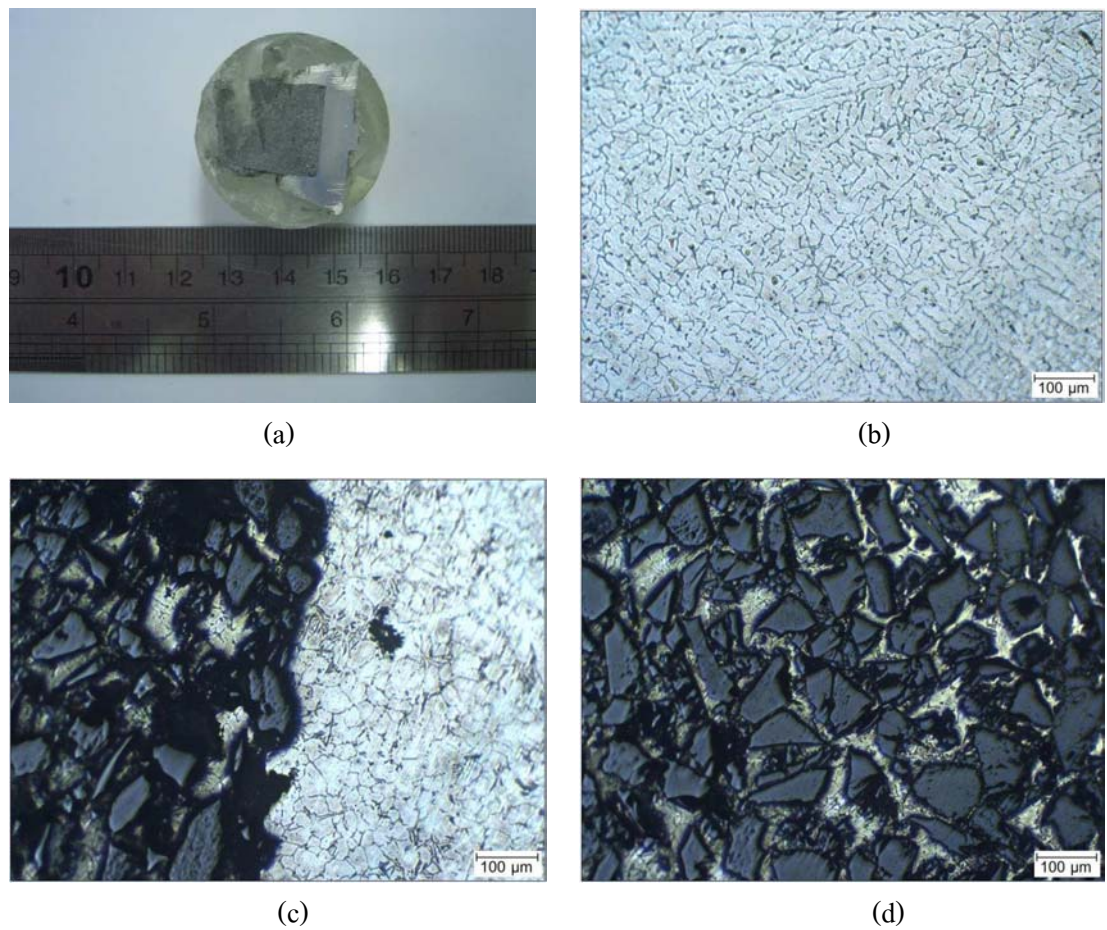
รูปที่ 5.23 ชิ้นงานวัสดุพสมเนื้ออัลูมิเนียม กรณีข้าดอนุภาคผงซิลิกอนคาร์บไบด์ $100 \mu\text{m}$ ความดันน้ำโลหะอัลูมิเนียมเหลว 0.29 MPa (a) หลังการตัดและขัดให้เรียบ (b) บริเวณเนื้ออัลูมิเนียม (c) บริเวณรอยต่อระหว่างเนื้ออัลูมิเนียมและวัสดุพสมเนื้ออัลูมิเนียม (d) บริเวณวัสดุพสมเนื้ออัลูมิเนียม



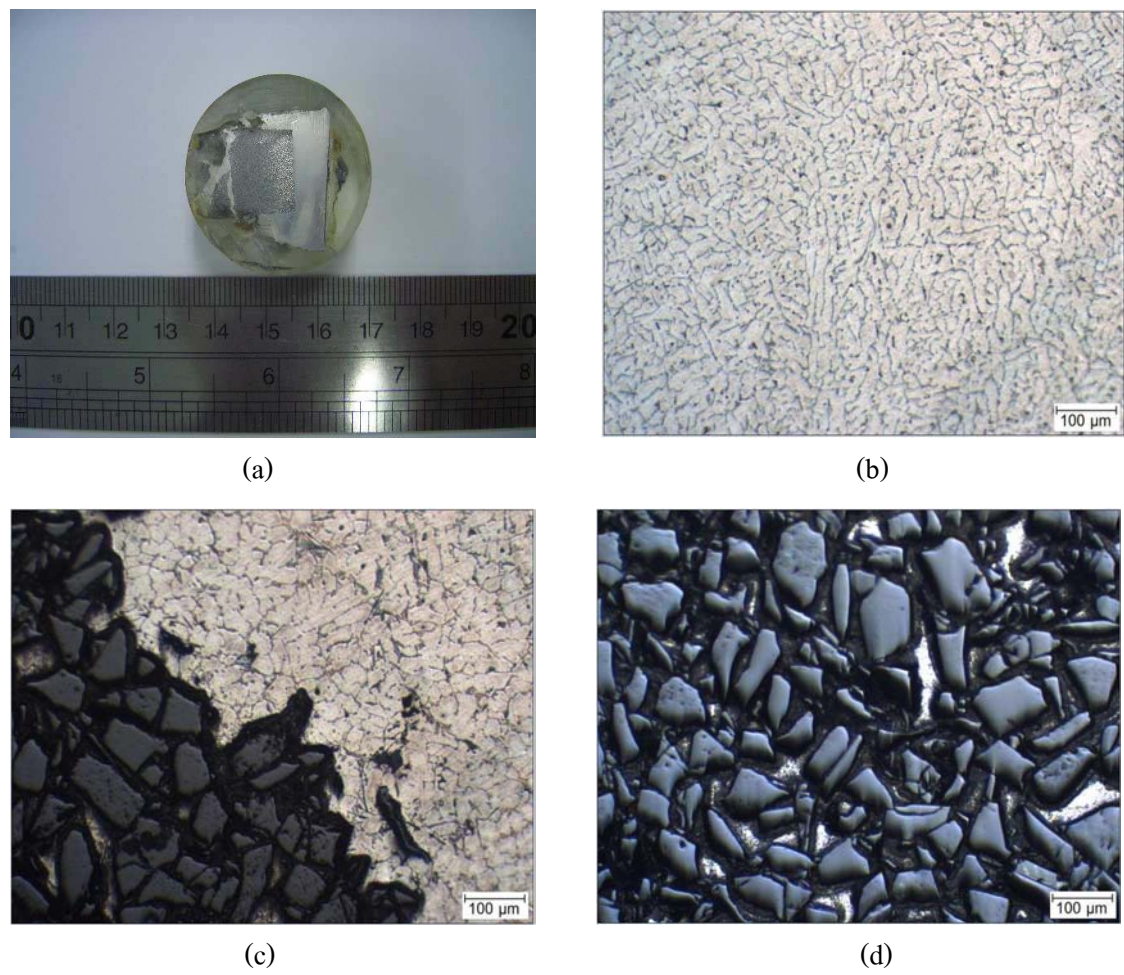
รูปที่ 5.24 ชิ้นงานวัสดุผสมเนื้ออัลูมิเนียม กรณีทดสอบอันภาคผงซิลิโคนคาร์บ์ไปด้วยความดันน้ำโลหะอัลูมิเนียมเหลว 0.34 MPa (a) หลังการตัดและขัดให้เรียบ (b) บริเวณเนื้ออัลูมิเนียม (c) บริเวณรอยต่อระหว่างเนื้ออัลูมิเนียมและวัสดุผสมเนื้ออัลูมิเนียม (d) บริเวณวัสดุผสมเนื้ออัลูมิเนียม



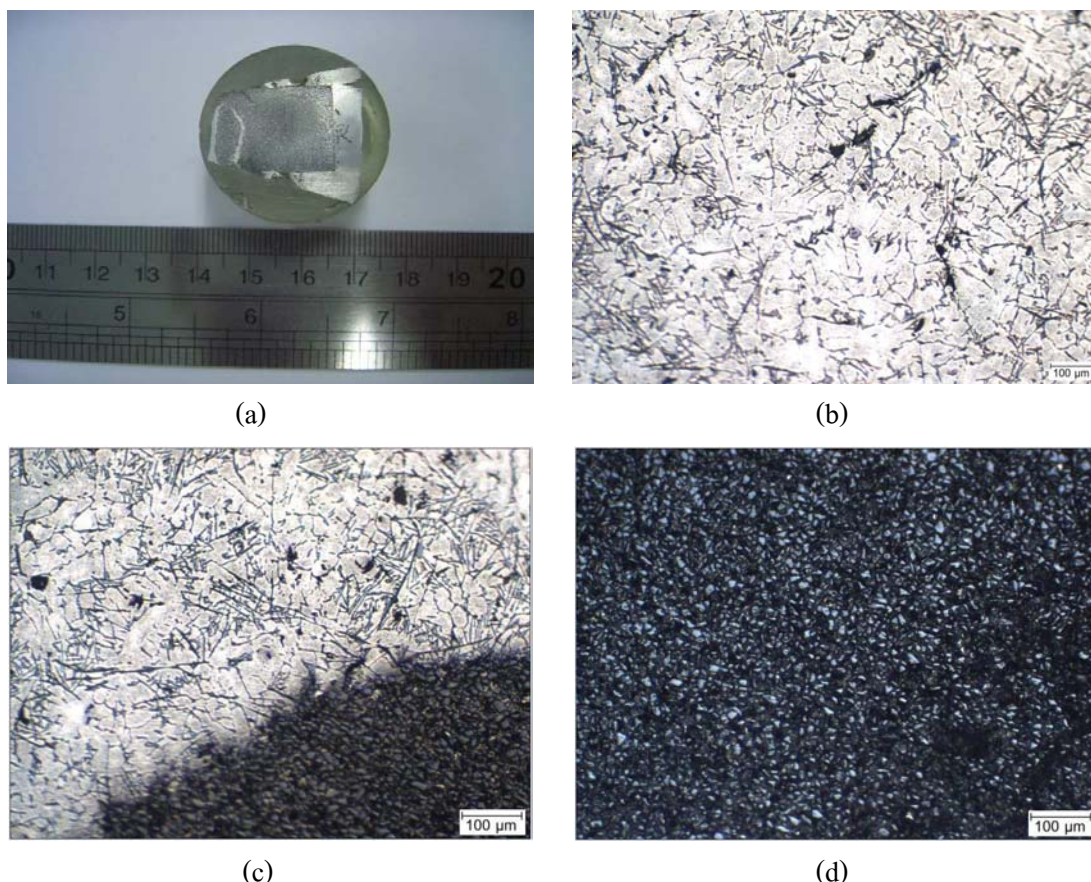
รูปที่ 5.25 ชิ้นงานวัสดุผสมเนื้ออะลูมิเนียม กรณีนาดอนกากองซิลิโคนคาร์บอนบีด 100 μm ความดันน้ำโลหะอะลูมิเนียมเหลว 0.84 MPa (a) หลังการตัดและขัดให้เรียบ (b) บริเวณเนื้ออะลูมิเนียม (c) บริเวณรอยต่อระหว่างเนื้ออะลูมิเนียมและวัสดุผสมเนื้ออะลูมิเนียม (d) บริเวณวัสดุผสมเนื้ออะลูมิเนียม



รูปที่ 5.26 ชิ้นงานวัสดุพสมเนื้ออัลูมิเนียม กรณีขันดองน้ำภาคผงซิลิโคนคาร์บอนในดันน้ำโลหะอัลูมิเนียมเหลว 1.32 MPa (a) หลังการตัดและขัดให้เรียบ (b) บริเวณเนื้ออัลูมิเนียม (c) บริเวณรอยต่อระหว่างเนื้ออัลูมิเนียมและวัสดุพสมเนื้ออัลูมิเนียม (d) บริเวณวัสดุพสมเนื้ออัลูมิเนียม



รูปที่ 5.27 ชิ้นงานวัสดุพลาสติกเนื้ออัลูมิเนียม กรณีขันดองน้ำภาคผงซิลิโคนการ์บอนบีบ 100 μm ความดันน้ำโลหะอัลูมิเนียมเหลว 1.90 MPa (a) หลังการตัดและขัดให้เรียบ (b) บริเวณเนื้ออัลูมิเนียม (c) บริเวณรอยต่อระหว่างเนื้ออัลูมิเนียมและวัสดุพลาสติกเนื้ออัลูมิเนียม (d) บริเวณวัสดุพลาสติกเนื้ออัลูมิเนียม



รูปที่ 5.28 ชิ้นงานวัสดุพลาสติกเนื้ออัลูมิเนียม กรณีข้าดอนุภาคผงซิลิโคนкар์บไบค์ $100 \mu\text{m}$ ความดันน้ำโลหะอัลูมิเนียมเหลว 4.26 MPa (a) หลังการตัดและขัดให้เรียบ (b) บริเวณเนื้ออัลูมิเนียม (c) บริเวณรอยต่อระหว่างเนื้ออัลูมิเนียมและวัสดุพลาสติกเนื้ออัลูมิเนียม (d) บริเวณวัสดุพลาสติกเนื้ออัลูมิเนียม

จากผลการหาความสัมพันธ์ระหว่างความเร็วในการหมุนเหวี่ยงและความสัมพันธ์ระหว่างความดันของน้ำโลหะอัลูมิเนียมเหลวเทียบกับร้อยละของระยะทางในการเข้าแทรกซึม (% Infiltrated distance) ดังแสดงในตารางที่ 5.7 และภาพผิวน้ำชิ้นงานวัสดุพลาสติกเนื้ออัลูมิเนียมที่ถ่ายด้วยกล้องจุลทรรศน์แบบแสง ที่กำลังขยาย $10X$ ของชิ้นงานวัสดุพลาสติกเนื้ออัลูมิเนียม กรณีข้าดอนุภาคผงซิลิโคนкар์บไบค์ $100 \mu\text{m}$ ซึ่งผลิตได้จากการหล่อโลหะแบบเหวี่ยงด้วยความดันสูง ที่ความดันน้ำโลหะอัลูมิเนียมเหลวนานาดั้งๆ แสดงในรูปที่ 5.19-5.28 โดยภาพที่ได้จากการถ่ายด้วยกล้องจุลทรรศน์แบบแสงจะแสดงให้เห็นถึงบริเวณที่เป็นเนื้ออัลูมิเนียม บริเวณที่เป็นรอยต่อระหว่างเนื้ออัลูมิเนียมและวัสดุพลาสติกเนื้ออัลูมิเนียม และบริเวณที่เป็นวัสดุพลาสติกเนื้ออัลูมิเนียมซึ่งเกิดการเข้าแทรกซึมของน้ำโลหะอัลูมิเนียมเหลวในช่องระหว่างอนุภาคของซิลิโคนкар์บไบค์ พนวจากรูปที่ 5.19 และ 5.20 ที่ความเร็วจากการหมุนเหวี่ยง $343, 383 \text{ rpm}$ (ความดันของน้ำโลหะอัลูมิเนียม

เหลา 0.15, 0.19 MPa ตามลำดับ) ร้อยละของระบบในการเข้าแทรกซึมของน้ำอะลูมิเนียมเหลาที่สามารถเข้าไปแทรกซึมในช่องว่างระหว่างอนุภาคเซรามิกซิลิคอนคาร์ไบด์ของชิ้นงานซิลิคอนคาร์ไบด์อัดขึ้นรูป เป็น 0% ซึ่งก็คือน้ำอะลูมิเนียมเหลาไม่สามารถเข้าไปแทรกซึมในช่องว่างระหว่างอนุภาคเซรามิกซิลิคอนคาร์ไบด์ของชิ้นงานซิลิคอนคาร์ไบด์อัดขึ้นรูปได้ ทำได้เพียงแค่ไปเคลือบชิ้นงานซิลิคอนคาร์ไบด์อัดขึ้นรูปอยู่เพียงภายนอกและไม่สามารถถ่ายพาบริเวณที่เป็นวัสดุผสมเนื้ออะลูมิเนียมด้วยกล้องจุลทรรศน์แบบแสง ดังรูปที่ 5.21 และ 5.22 ตามลำดับ ที่ความเร็วจากการหมุนเหวี่ยง 468 rpm (0.29 MPa) ร้อยละของระบบในการเข้าแทรกซึมเป็น 60% ซึ่งก็คือน้ำอะลูมิเนียมเหลาสามารถเข้าไปแทรกซึมในช่องว่างระหว่างอนุภาคเซรามิกซิลิคอนคาร์ไบด์อัดขึ้นรูปได้เล็กน้อย ดังรูปที่ 5.23 ที่ความเร็วจากการหมุนเหวี่ยง 508, 800, 1000, 1200, 1800 rpm (ความดันของน้ำโลหะอะลูมิเนียมเหลา 0.34, 0.84, 1.32, 1.90, 4.26 MPa ตามลำดับ) ร้อยละของระบบในการเข้าแทรกซึมของน้ำอะลูมิเนียมเหลาที่สามารถเข้าไปแทรกซึมในช่องว่างระหว่างอนุภาคเซรามิกซิลิคอนคาร์ไบด์ของชิ้นงานซิลิคอนคาร์ไบด์อัดขึ้นรูปเป็น 100% ซึ่งก็คือน้ำอะลูมิเนียมเหลาสามารถเข้าไปแทรกซึมในช่องว่างระหว่างอนุภาคเซรามิกซิลิคอนคาร์ไบด์ของชิ้นงานซิลิคอนคาร์ไบด์อัดขึ้นรูปได้เต็มที่ ดังรูปที่ 5.24, 5.25, 5.26, 5.27, 5.28 ตามลำดับ

เมื่อนำผลการถ่ายพาบด้วยกล้องจุลทรรศน์แบบแสง ผลการคำนวณหาค่าความดันน้ำโลหะอะลูมิเนียมเหลา 100 μm ที่ความเร็วในการหมุนเหวี่ยงขนาดต่างๆ เทียบกับร้อยละของระบบในการเข้าแทรกซึมที่เกิดขึ้นจริงในชิ้นงานซิลิคอนคาร์ไบด์อัดขึ้นรูป ขนาดอนุภาคผงซิลิคอนคาร์ไบด์ 100 μm เพื่อผลิตวัสดุผสมเนื้ออะลูมิเนียม มาพิจารณาจะพบว่าก้าวที่ได้จากการคำนวณทางทฤษฎีจะมีความสอดคล้องกับผลการทดลองทางปฏิบัติ จากหัวข้อ 2.3.2 ในบทที่ 2 และหัวข้อ 3.1.1 ในบทที่ 3 ความเร็วในการหมุนเหวี่ยงและความดันของน้ำโลหะอะลูมิเนียมเหลา มีความสัมพันธ์กัน ซึ่งทั้ง 2 ตัวแปรนี้จะมีผลกระทำและความสัมพันธ์ต่อร้อยละของระบบในการเข้าแทรกซึมเข่นเดียวกัน คือหากค่าความดันของน้ำโลหะอะลูมิเนียมเหลา (ค่าความเร็วในการหมุนเหวี่ยง) มีค่าน้อยกว่าค่าความดันเริ่มต้น จะทำให้ร้อยละของระบบทางน้ำอะลูมิเนียมเหลาใน การเข้าแทรกซึมช่องว่างระหว่างอนุภาคเซรามิกซิลิคอนคาร์ไบด์ของชิลิคอนคาร์ไบด์อัดขึ้นรูปมีแนวโน้มที่จะมีค่าน้อยลงหรืออาจจะไม่เกิดการแทรกซึมเลย กรณีขนาดอนุภาคผงซิลิคอนคาร์ไบด์ 100 μm ค่าสัดส่วนของปริมาตรระหว่างอนุภาคและชิ้นงานเซรามิก ประมาณ 60% มีค่าความดันเริ่มต้นทางทฤษฎีเท่ากับ 0.23 MPa (จากตารางที่ 3.1 หัวข้อ 3.1.1 ในบทที่ 3) โดยที่ค่าความดันของน้ำโลหะอะลูมิเนียมเหลาทางปฏิบัติที่ทำให้น้ำอะลูมิเนียมเหลาเริ่มเข้าแทรกซึมช่องว่างระหว่างอนุภาคเซรามิกซิลิคอนคาร์ไบด์ของชิลิคอนคาร์ไบด์อัดขึ้นรูปคือ 0.29 MPa (468 rpm) และค่าความ

ดันของน้ำโลหะอะลูมิเนียมเหลวที่ทำให้น้ำอะลูมิเนียมเหลวเข้าแทรกซึมช่องระหว่างอนุภาคเซรามิกซิลิคอนคาร์ไบด์ของซิลิคอนคาร์ไบด์อัดขึ้นรูปได้เต็มที่คือ 0.34 MPa (508 rpm) ซึ่งการถ่ายภาพวัสดุผสมเนื้อะลูมิเนียมด้วยกล้องจุลทรรศน์แบบแสง จะทำให้เห็นถึงส่วนที่เป็นบริเวณน้ำอะลูมิเนียมที่แข็งตัวและสามารถที่เข้าไปแทรกซึมอยู่ภายในช่องระหว่างอนุภาคซิลิคอนคาร์ไบด์ได้ชัดเจน (บริเวณที่เป็นสีขาวคือน้ำโลหะอะลูมิเนียมที่แข็งตัวและสามารถที่จะเข้าไปแทรกซึมอยู่ภายในช่องระหว่างอนุภาคซิลิคอนคาร์ไบด์ได้ ในส่วนของบริเวณที่เป็นสีดำอาจจะเป็นอนุภาคซิลิคอนคาร์ไบด์หรือพรุนช่องระหว่างที่เกิดจากการที่น้ำโลหะอะลูมิเนียมเหลวไม่สามารถเข้าไปแทรกซึมในช่องระหว่างอนุภาคได้) จากเรื่องนี้ทางผู้วิจัยสามารถหาค่าปัจจัยที่ถูกต้องสำหรับสภาพผิวน้ำและความคลาดเคลื่อนของทรงกลม (λ) ของค่าความดันเริ่มต้น (ความดันที่น้อยที่สุดที่น้ำโลหะใช้แทรกซึมเข้าไปในระหว่างช่องของอนุภาคพังเซรามิก) ที่เกิดขึ้นจริงในการทดลองวิจัย เพื่อใช้ในการคำนวณสำหรับหาค่าความดันของน้ำโลหะอะลูมิเนียมเหลวที่มีค่ามากกว่าค่าความดันเริ่มต้นของขนาดอนุภาคพังซิลิคอนคาร์ไบด์ขนาดอื่นๆ ในภายหลังได้ เช่น กรณีขนาดอนุภาคพังซิลิคอนคาร์ไบด์ 5 μm และค่าสัดส่วนของปริมาตรระหว่างอนุภาคและชิ้นงานเซรามิกอัดขึ้นรูปของซิลิคอนคาร์ไบด์อัดขึ้นรูป 0.57 จากหัวข้อ 2.3.3 ในบทที่ 2 ทำให้ได้

$$P_{th} = -6\lambda\gamma_{lv}\cos\theta \frac{V_p}{D_p(1-V_p)} \quad \text{แปลงเพื่อหาค่า } \lambda \text{ ได้เป็น } \lambda = P_{th(508\text{rpm})} \times \frac{D_p(1-V_p)}{-6V_p\gamma_{lv}\cos\theta}$$

แทนค่า

$$\lambda = \left(0.3396 \times 10^6 \frac{\text{N}}{\text{m}^2} \right) \times \frac{(100 \times 10^{-6} \text{ m})(1 - 0.57)}{-6(0.57) \left(0.86 \frac{\text{N}}{\text{m}} \right) \cos 180^\circ} = 4.96$$

ค่าปัจจัยที่ถูกต้องสำหรับสภาพผิวน้ำและความคลาดเคลื่อนของทรงกลมที่เกิดขึ้นจริงในการทดลองวิจัยหล่อโลหะแบบเหวี่ยงด้วยความดันสูงสำหรับการแทรกซึมเพื่อผลิตวัสดุผสมเนื้อะลูมิเนียมที่มีขนาดอนุภาคพังซิลิคอนคาร์ไบด์ 100 μm คือ 4.96 จากสิ่งที่ต้องการขนาดอนุภาคพังซิลิคอนคาร์ไบด์ 5 μm และค่าสัดส่วนของปริมาตรระหว่างอนุภาคและชิ้นงานเซรามิกอัดขึ้นรูปของซิลิคอนคาร์ไบด์อัดขึ้นรูป 0.57 ทำการแทนค่าในสมการค่าความดันเริ่มต้นได้

$$\therefore P_{th} = -6\lambda\gamma_{lv}\cos\theta \frac{V_p}{D_p(1-V_p)} \quad \text{ได้เป็น}$$

$$P_{th} = -6(4.96) \times 0.86 \frac{N}{m} \times \cos 180^\circ \times \frac{0.57}{(5 \times 10^{-6} m)(1 - 0.57)}$$

$$P_{th} = 6.79 \text{ MPa} \approx 2,272 \text{ rpm}$$

ซึ่งหมายความว่าหากต้องการให้น้ำโลหะอะลูมิเนียมเหลวสามารถเข้าไปแทรกซึมอยู่ภายในช่องว่างระหว่างอนุภาคซิลิคอนคาร์ไบด์ของชิ้นงานเซรามิกอัดขึ้นรูป ขนาดอนุภาคผงซิลิคอนคาร์ไบด์ ขนาด $5 \mu\text{m}$ และค่าสัดส่วนของปริมาตรระหว่างอนุภาคและชิ้นงานเซรามิกอัดขึ้นรูปของซิลิคอนคาร์ไบด์อัดขึ้นรูป 0.57 ได้จำเป็นต้องใช้ค่าความดันของน้ำโลหะอะลูมิเนียมเหลวที่มีค่า 6.79 MPa หรือที่ความเร็วในการหมุนเหวี่ยงขนาด $2,272 \text{ rpm}$ จึงจะเกิดการแทรกซึมและกลาญเป็นวัสดุผสมเนื้ออัลูมิเนียม

การผลิตชิ้นงานวัสดุผสมเนื้ออัลูมิเนียมโดยวิธีการหล่อโลหะแบบเหวี่ยงด้วยความดันสูง ถือได้ว่าประสบความสำเร็จ เพราะว่าน้ำโลหะอะลูมิเนียม เกรด A356 เหลวสามารถแทรกซึมเข้าไปในช่องว่างระหว่างอนุภาคซิลิคอนคาร์ไบด์ของชิลิคอนคาร์ไบด์อัดขึ้นรูปได้จนเกิดกลาญเป็นชิ้นงานวัสดุผสมเนื้ออัลูมิเนียม และค่าที่ได้จากการคำนวณทางทฤษฎีจะมีความสอดคล้องกับผลการทดลองทางปฏิบัติซึ่งหมายถึงว่าชุดระบบการหล่อเหวี่ยงความดันสูงและวิธีการหล่อโลหะแบบเหวี่ยงด้วยความดันสูงสามารถผลิตชิ้นงานวัสดุผสมเนื้ออัลูมิเนียมได้จริง ค่าความดันน้ำโลหะอะลูมิเนียมเหลว (ความเร็วจากการหมุนเหวี่ยง) ต้องมีค่ามากกว่าค่าความดันเริ่มต้นมากในระดับหนึ่ง จึงจะทำให้น้ำอะลูมิเนียมเหลวสามารถเข้าไปแทรกซึมในช่องว่างระหว่างอนุภาคเซรามิกซิลิคอนคาร์ไบด์ของชิ้นงานซิลิคอนคาร์ไบด์อัดขึ้นรูปได้เต็มที่ทั้งชิ้นงานซิลิคอนคาร์ไบด์อัดขึ้นรูป (น้ำอะลูมิเนียมเหลวเกิดการแข็งตัวและถังตัวติดในช่องว่างระหว่างอนุภาคเซรามิกซิลิคอนคาร์ไบด์จนเกิดกลาญเป็นชิ้นงานวัสดุผสมเนื้ออัลูมิเนียมทั้งชิ้นงาน)

5.2 สรุปผลการทดสอบสมบัติชิ้นงานวัสดุผสมเนื้ออัลูมิเนียมที่ผลิตด้วยวิธีการหล่อโลหะแบบเหวี่ยงด้วยความดันสูง

หลังจากที่ได้ทดลองวิจัยการหล่อโลหะแบบเหวี่ยงด้วยความดันสูงสำหรับการแทรกซึม โดยการใช้โดยการใช้เซรามิกซิลิคอนคาร์ไบด์ที่ขนาดอนุภาคผง 4 ขนาดด้วยกันคือ $13.5, 25, 68, 100 \mu\text{m}$ เป็นวัสดุเสริมแรงและโลหะอะลูมิเนียม เกรด A356 เป็นเนื้อหลัก เพื่อผลิตวัสดุผสมเนื้ออัลูมิเนียม ทางผู้วิจัยจึงได้นำชิ้นงานวัสดุผสมเนื้ออัลูมิเนียมที่ผลิตได้ทั้ง 4 ขนาดอนุภาคผงซิลิคอนคาร์ไบด์มาทำการทดสอบสมบัติทั้งทางกลคือค่าความหนาแน่นรวม ความแข็ง ความ

ต้านทานต่อการสึกหรอ และศึกษาลักษณะโครงสร้างภายในระดับจุลภาค ดังที่ได้กล่าวมาตามหัวข้อที่ 5.1.1 ซึ่งสามารถสรุปผลการทดสอบสมบัติได้ตามตารางที่ 5.8

ตารางที่ 5.8 สรุปผลการทดสอบสมบัติวัสดุผสมเนื้ออัลูมิเนียมที่ผลิตได้ทั้ง 4 ขนาดอนุภาคผงซิลิโคนคาร์ไบด์

	Density (g/c.c.)	% Porosity	Hardness (HB)	Weight loss rate (g/min)	Microstructure
Material					
Al	2.67	-	59.3	-0.41	-
AMC 13.5 μm	2.87	2.17	62.5	-0.00125	จำนวนรูพรุนมากที่สุด เห็นอนุภาคไม่ชัดที่สุด
AMC 25 μm	2.90	1.27	62.5	-0.0025	จำนวนรูพรุนมาก เห็นอนุภาคไม่ชัด
AMC 68 μm	2.91	0.96	63.5	-0.0025	จำนวนรูพรุนน้อย เห็นอนุภาคชัด
AMC 100 μm	2.94	0.0933	64.1	-0.00575	จำนวนรูพรุนน้อยที่สุด เห็นอนุภาคชัดที่สุด

จากตารางที่ 5.8 พบว่าวัสดุผสมเนื้ออัลูมิเนียมที่มีสมบัติค่าความหนาแน่นรวม ความแข็ง อัตราหนึ่งกับที่หายไปของชิ้นงานสูงที่สุดและสามารถศึกษาลักษณะโครงสร้างภายในระดับจุลภาคได้ชัดเจนมากที่สุด คือวัสดุผสมเนื้ออัลูมิเนียม ที่ขนาดอนุภาคผงซิลิโคนคาร์ไบด์ 100 μm ในขณะที่วัสดุผสมเนื้ออัลูมิเนียมที่มีสมบัติค่าร้อยละความพรุน และสามารถศึกษาลักษณะโครงสร้างภายในระดับจุลภาคได้ชัดเจนต่ำที่สุดคือวัสดุผสมเนื้ออัลูมิเนียม ที่ขนาดอนุภาคผงซิลิโคนคาร์ไบด์ 13.5 μm นอกจากนี้ทางผู้วิจัยได้นำผลการทดสอบสมบัติวัสดุผสมเนื้ออัลูมิเนียมที่ขนาดอนุภาคผงซิลิโคนคาร์ไบด์ 100 μm (ซึ่งมีค่าสมบัติที่ดีที่สุดจากวัสดุผสมเนื้ออัลูมิเนียมที่ผลิตได้ทั้ง 4 ขนาดอนุภาคผงซิลิโคนคาร์ไบด์) มาเปรียบเทียบกับสมบัติวัสดุผสมเนื้ออัลูมิเนียมของงานวิจัยผู้อื่น ซึ่งได้ผลดังตารางที่ 5.9

ตารางที่ 5.9 ผลการทดสอบสมบัติวัสดุผสมเนื้ออัลูมิเนียมของงานวิจัยนี้เปรียบเทียบกับงานวิจัยผู้อื่น

	Density	% Porosity	Hardness	Wear	Condition
Material					
Z. F. Zhang (1995)	-	-	$155 \pm 5 (\text{kgfmm}^{-2})$	$565 \pm 12 (10^{-6} \text{ mm}^2)$	matrix: Aluminium 6061 reinforced: SiC 1.8, 4.5 μm Hardness test: Vickers microhardness, load 5N Wear test: pyramidal diamond indenter, apex angle of 136° , velocity 6 mms^{-1} , wear track 6 mm, load 10 N
Sui Xiandong (199□)	$4.89 (\text{g/cm}^3)$	-	120 (HB)	-	matrix: ZA-2□ reinforced: SiC 28, 40 μm Hardness test: Brinell hardness tests, load 62.5kg, 2.5mm diameter ball
M.I. Pech-Canul (2000)	$2.85 (\text{g/cm}^3)$	2.1	-	-	-

ตารางที่ 5.9 (ต่อ) ผลการทดสอบสมบัติวัสดุผสมเนื้ออัลูมิเนียมของงานวิจัยนี้เปรียบเทียบกับงานวิจัยผู้อื่น

	Density	% Porosity	Hardness	Wear	Condition
Material					
S.M. Seyed Reihani (2006)	-	-	105 (HB)	-1.2	matrix: Aluminum 6061 reinforced: SiC 16, 22 μm Hardness test: Brinell hardness tests, load 15 and 30 kg, 2.5mm diameter ball. Wear test: load 150 N, revolution 2000 rpm, sand flow rate 350 g min^{-1}
This thesis	2.94 (g/cm^3)	0.0933	64.1 (HB)	0.005 mg/g (g/min)	matrix: Aluminum A356 reinforced: SiC 13.5, 25, 68, 100 μm Hardness test: Brinell hardness tests, load 500 kg, 10 mm diameter ball. Wear test: load 1.5 kg, revolution 252 rpm, abrasive water proof paper No. 150 c.c.

บทที่ 6

สรุปผลการวิจัยและข้อเสนอแนะ

6.1 สรุปผลการวิจัย

หลังจากที่ได้ทำการสร้างชุดระบบการหล่อเหลวเพื่อวิเคราะห์ความดันสูงและพัฒนากระบวนการหล่อโลหะแบบใหม่เพื่อความดันสูง สำหรับการแทรกซึมโดยการใช้โลหะอะลูมิเนียมเป็นเนื้อหลัก เพื่อผลิตชิ้นงานวัสดุผสมเนื้ออัลูมิเนียมที่ปัจจัยตัวแปรต่างๆ จากการทดลองและวิจัยสามารถสรุปได้ดังนี้

6.1.1 ชุดระบบการหล่อเหลวเพื่อความดันสูงที่ได้ทำการจัดสร้าง สามารถที่จะผลิตชิ้นงานวัสดุผสมเนื้ออัลูมิเนียมได้จริง ใช้งานได้หลายครั้งและชุดระบบการหล่อเหลวเพื่อความดันสูงสามารถก่อกำเนิดค่าความดันของน้ำโลหะอะลูมิเนียมเหลวได้สูงสุดที่ค่า 4.26 MPa (ความเร็วจากการหมุน เหวี่ยง $1,800 \text{ rpm}$)

6.1.2 ชุดระบบการหล่อเหลวเพื่อความดันสูงที่ได้ทำการจัดสร้าง สามารถผลิตชิ้นงานวัสดุผสมเนื้ออัลูมิเนียมได้ทั้ง 4 ขนาดอนุภาคผงซิลิโคนคาร์บอนบีด คือ $13.5, 25, 68, 100 \mu\text{m}$ โดยที่ขนาดอนุภาคผงซิลิโคนคาร์บอนบีด $13.5 \mu\text{m}$ ซึ่งนับได้ว่าเป็นขนาดอนุภาคผงซิลิโคนคาร์บอนบีดที่มีขนาดเล็กมาก แต่ชุดระบบการหล่อเหลวเพื่อความดันสูงที่สามารถที่จะผลิตชิ้นงานวัสดุผสมเนื้ออัลูมิเนียมได้

6.1.3 ชิ้นงานวัสดุผสมเนื้ออัลูมิเนียมที่ผลิตได้จากชุดระบบการหล่อเหลวเพื่อความดันสูงโดยวิธีกระบวนการหล่อโลหะแบบเหวี่ยงด้วยความดันสูง มีผลจากการทดสอบสมบัติทางกล จากการถ่ายภาพด้วยกล้องจุลทรรศน์แบบแสงและกล้องจุลทรรศน์อิเล็กตรอนแบบส่อง粒化 ดังนี้

(1) ค่าความหนาแน่นรวม ชิ้นงานวัสดุผสมเนื้ออัลูมิเนียมทั้ง 4 ขนาดอนุภาคผงซิลิโคนคาร์บอนบีด มีค่ามากกว่าค่าความหนาแน่นของอะลูมิเนียม เกรด A356 ทุกขนาด เพราะในเนื้อชิ้นงานวัสดุผสมเนื้ออัลูมิเนียมมีมวลของผงซิลิโคนคาร์บอนบีดและมวลอะลูมิเนียมประกอบอยู่ ซึ่งจะทำให้ค่าความหนาแน่นมีค่ามากกว่าค่าความหนาแน่นของอะลูมิเนียมและพบว่ายิ่งขนาดของอนุภาคผงซิลิโคนคาร์บอนบีดมีขนาดใหญ่ขึ้นค่าความหนาแน่นรวมของชิ้นงานวัสดุผสมเนื้ออัลูมิเนียมก็จะมีแนวโน้มส่วนใหญ่ให้มีค่ามากขึ้นตามและมีค่าร้อยละความพรุนที่น้อยลง เพราะที่ขนาดอนุภาคผงซิลิโคนคาร์บอนบีดขนาดใหญ่จะมีช่องว่างระหว่างอนุภาคที่มีขนาดใหญ่เป็นจำนวนมาก เมื่อทำการทดลองหล่อเหลวเพื่อความดันสูงน้ำอะลูมิเนียมเหลวสามารถเข้าไปแทรกซึมภายในช่องว่าง

ระหว่างอนุภาคได้ยิ่งกว่าชิลีคอนคาร์ไบด์อัดขึ้นรูปที่มีขนาดอนุภาคชิลีคอนคาร์ไบด์ขนาดเล็ก

(2) ค่าความแข็ง ชิ้นงานวัสดุพสมเนื้ออัลูมิเนียมทั้ง 4 ขนาดอนุภาคผงชิลีคอนคาร์ไบด์ มีค่าสมบัติความแข็งมากกว่าอะลูมิเนียม เกรด A356 เพราะวัสดุพสมเนื้ออัลูมิเนียมมีอนุภาคของผงชิลีคอนคาร์ไบด์ช่วยในการต้านทานต่อการกดทดสอบความแข็ง และพบว่าขึ้นขนาดของอนุภาคผงชิลีคอนคาร์ไบด์ขนาดใหญ่ขึ้นค่าความแข็งของชิ้นงานวัสดุพสมเนื้ออัลูมิเนียมก็จะยิ่งมีแนวโน้มที่มีค่ามากขึ้นตาม เพราะที่ขนาดอนุภาคผงชิลีคอนคาร์ไบด์ที่มีขนาดใหญ่จะมีช่องว่างระหว่างอนุภาคชิลีคอนคาร์ไบด์ที่มีขนาดใหญ่เป็นจำนวนมาก เมื่อทำการทดลองหล่อเหลวยังด้วยความดันสูงน้ำอะลูมิเนียมเหลวสามารถเข้าไปแทรกซึมภายในช่องว่างระหว่างอนุภาคชิลีคอนคาร์ไบด์ได้ยิ่งกว่าที่ขนาดผงชิลีคอนคาร์ไบด์ขนาดเล็ก จึงทำให้ค่าความแข็งของชิ้นงานวัสดุพสมเนื้ออัลูมิเนียมก็จะยิ่งมีค่ามากขึ้นตาม เมื่อทำการกดทดสอบความแข็งของวัสดุพสมเนื้ออัลูมิเนียมจึงมีทั้งเนื้ออะลูมิเนียมและอนุภาคของผงชิลีคอนคาร์ไบด์ช่วยในการต้านทานต่อการกดทดสอบความแข็ง

(3) ค่าความต้านทานต่อการสึกหรอ ชิ้นงานวัสดุพสมเนื้ออัลูมิเนียมทั้ง 4 ขนาดอนุภาคผงชิลีคอนคาร์ไบด์ มีค่าความต้านทานต่อการสึกหรอมากกว่าของชิ้นงานเนื้ออัลูมิเนียม (ชิ้นงานเนื้ออัลูมิเนียมมีค่าร้อยละของน้ำหนักที่หายไปมากกว่าของชิ้นงานวัสดุพสมเนื้ออัลูมิเนียม) เพราะชิ้นงานวัสดุพสมเนื้ออัลูมิเนียมมีอนุภาคของผงชิลีคอนคาร์ไบด์ช่วยในการต้านทานต่อการสึกหรอจากการขัด และพบว่ายิ่งขนาดอนุภาคผงชิลีคอนคาร์ไบด์มีขนาดเล็กลง ค่าร้อยละของน้ำหนักที่หายไปของชิ้นงานวัสดุพสมเนื้ออัลูมิเนียมก็จะยิ่งมีแนวโน้มที่มีค่าน้อยลงตาม เพราะที่ขนาดอนุภาคผงชิลีคอนคาร์ไบด์ขนาดเล็กอนุภาคชิลีคอนคาร์ไบด์ขนาดเล็กและอยู่ใกล้ชิดแน่นติดกันจะเป็นตัวแปรที่ช่วยในการต้านทานต่อการสึกหรอจากการขัด ได้ดีกว่าที่ขนาดของผงชิลีคอนคาร์ไบด์ขนาดใหญ่ (การทดสอบหาค่าความต้านทานต่อการสึกหรอซึ่งเป็นการทดสอบแบบการขัดสีที่กระทำทั่วทั้งผิวน้ำของชิ้นงาน)

(4) โครงสร้างภายในระดับจุลภาค ชิ้นงานวัสดุพสมเนื้ออัลูมิเนียมทั้ง 4 ขนาดอนุภาคผงชิลีคอนคาร์ไบด์ จากการส่องดูและถ่ายภาพด้วยกล้องจุลทรรศน์แบบแสงและกล้องจุลทรรศน์อิเล็กตรอนแบบส่อง粒粒 พบร่วมกับช่องขนาดอนุภาคผงชิลีคอนคาร์ไบด์มีขนาดที่ใหญ่ขึ้นจะมีแนวโน้มที่สามารถสังเกตเห็นได้ชัดถึงอนุภาคชิลีคอนคาร์ไบด์และบริเวณที่น้ำโลหะอะลูมิเนียมเหลวเกรด A356 สามารถแทรกซึมในช่องว่างระหว่างอนุภาคของชิลีคอนคาร์ไบด์ได้ชัดเจน เพราะที่ขนาดอนุภาคผงชิลีคอนคาร์ไบด์ขนาดใหญ่จะมีช่องว่างระหว่างอนุภาคที่มีขนาดใหญ่เป็นจำนวนมาก น้ำโลหะอะลูมิเนียมเหลวสามารถเข้าแทรกซึมในช่องว่างระหว่างอนุภาคได้ยิ่งกว่าที่ขนาดอนุภาคผงชิลีคอนคาร์ไบด์ขนาดเล็ก ทำให้ผลการส่องดูและถ่ายภาพด้วยกล้องทั้งสองแบบสังเกตให้เห็นถึงจำนวนและขนาดของรูพรุนช่องว่างระหว่างอนุภาคของชิลีคอนคาร์ไบด์ได้ชัดเจนต่างกัน

6.1.4 อิทธิพลของค่าความดันของน้ำโลหะอะลูมิเนียมเหลวบนดาต่างๆ ที่มีผลต่อการผลิตชิ้นงานวัสดุผสมเนื้ออะลูมิเนียม กรณีชิ้นงานซิลิคอนคาร์บไบด์อัดขึ้นรูปที่มีขนาดอนุภาคผงซิลิคอนคาร์บไบด์ $100 \mu\text{m}$ ซึ่งผลิตด้วยชุดระบบการหล่อเทวีงความดันสูง โดยวิธีกระบวนการหล่อโลหะแบบเทวีงด้วยความดันสูง พบว่าหากค่าความเร็วในการหมุนเทวีงและความดันของน้ำโลหะอะลูมิเนียมเหลวมีค่าน้อยกว่าค่าความดันเริ่มต้น ความสามารถในการเข้าแทรกซึมของน้ำโลหะอะลูมิเนียมเหลวในช่องว่างระหว่างอนุภาคซิลิคอนคาร์บไบด์ของชิ้นงานซิลิคอนคาร์บไบด์ขึ้นรูป หรือกีดกั้นร้อยละของระหบทางน้ำอะลูมิเนียมเหลวในการเข้าแทรกซึมช่องว่างระหว่างอนุภาคเชรามิกซิลิคอนคาร์บไบด์มีแนวโน้มที่จะมีค่าน้อย โอกาสในการผลิตวัสดุผสมเนื้ออะลูมิเนียมน้อยลงตามไปด้วยและภาพถ่ายจากกล้องจุลทรรศน์แบบแสงเพื่อศึกษาโครงสร้างระดับจุลภาคของชิ้นงานวัสดุผสมเนื้ออะลูมิเนียมก็จะเห็นโครงสร้างระดับจุลภาคมีความละเอียดและชัดเจนน้อยลง เช่นเดียวกัน นอกจากนั้นจากเรื่องนี้ทางผู้วิจัยสามารถหาค่าปัจจัยที่สูงต้องสำหรับสภาพพิเศษน้ำและความคลาดเคลื่อนของทรงกลม (λ) ของค่าความดันเริ่มต้นที่เกิดขึ้นจริงในการทดลองวิจัย เพื่อใช้ในการคำนวณสำหรับหาค่าความดันของน้ำโลหะอะลูมิเนียมเหลวที่มีค่ามากกว่าค่าความดันเริ่มต้นของขนาดอนุภาคผงซิลิคอนคาร์บไบด์ขนาดอื่นๆ

6.2 ข้อเสนอแนะ

จากการทดลองวิจัยการหล่อโลหะแบบเทวีงด้วยความดันสูงสำหรับการแทรกซึมเพื่อผลิตวัสดุผสมเนื้ออะลูมิเนียม โดยเลือกใช้โลหะอะลูมิเนียม เกรด A356 เป็นเนื้อหัดกและเชรามิกซิลิคอนคาร์บไบด์ เป็นวัสดุเสริมแรง ทางผู้วิจัยได้พับปัญหาและอุปสรรคที่ส่งผลกระทบต่อการทดลองวิจัย ผู้วิจัยจึงมีข้อเสนอแนะดังนี้

6.2.1 การเผาอุ่นชุดระบบการหล่อเทวีงความดันสูง

เนื่องจากการเผาอุ่นชุดระบบการหล่อเทวีงความดันสูงที่ใช้อยู่ในขณะนี้ มีวิธีการคือใช้หัวเผาก๊าซปีโตรเลียมเหลว (heavy duty LPG torch) ตอกกับถังก๊าซปีโตรเลียมเหลว (liquefied petroleum gas, LPG) ขนาด 16.8 kg และมีขาตั้งไว้สำหรับจับหัวเผาปล่อยเปลวไฟความร้อนเพื่อเผาอุ่นชุดระบบการหล่อเทวีงความดันสูงจนได้อุณหภูมิที่ต้องการ ข้อดีคือค่าใช้จ่ายไม่สูง อุปกรณ์หาได้ง่าย ข้อเสียคือเกิดความรุ่มริบในการทดลอง อุณหภูมิจากการเผาไม่คงที่ทั้งชุดระบบการหล่อเทวีงความดันสูง หากสามารถสร้างเครื่องหล่อเทวีงที่มีสภาพแปรร้ายกาศแบบบีด สามารถ

ควบคุมอุณหภูมิได้เพื่อไม่อนเตาหลอมโลหะชนิดคลอดความต้านทาน เพื่อให้การเผาอุ่นชุดระบบ การหล่อเหลวที่ความดันสูงมีอุณหภูมิที่เท่ากันและทั่วถึงทั้งชิ้นส่วนชุดระบบการหล่อเหลวที่ความดันสูง ก็อาจทำให้การหล่อเหลวที่ความดันสูงประสบความสำเร็จมากขึ้น เพราะจะทำให้ไม่เกิดการพากความร้อนของน้ำโลหะอะลูมิเนียมเหลวไปสู่ชุดระบบการหล่อเหลวที่ความดันสูงได้ง่าย

6.2.2 การห้าปะเก็น (Gasket) ที่ใช้ในการทดลองหล่อเหลวที่ความดันสูง

เนื่องจากปะเก็นที่ใช้อยู่ในขณะนี้บางครั้งจะประสบปัญหาโคนเปลาไฟความร้อนจากการเผาอุ่นชุดระบบการหล่อเหลวที่ความดันสูงโดยตรง ทำให้ปะเก็นเกิดการแห้ง แตก และเปรอะ ซึ่งเป็นสาเหตุที่ทำให้น้ำโลหะอะลูมิเนียมเหลวเกิดการรั่วไหลก่อนเข้าแทรกซึมไปยังในช่องว่างระหว่างอนุภาคของชิ้นงานซิลิโคนคาร์บอนเดค็อตชิ้นรูปได้เต็มที่ ซึ่งหากทางผู้ผลิตสามารถค้นหาปะเก็นที่สามารถใช้งานและทนเปลาไฟหรือปริมาณความร้อนที่อุณหภูมิสูงมากฯ ได้ ก็อาจทำให้การหล่อเหลวที่ความดันสูงประสบความสำเร็จมากขึ้น เพราะจะทำให้ลดการรั่วไหลของน้ำโลหะอะลูมิเนียมเหลว เกิดหมุนเวียนและน้ำโลหะอะลูมิเนียมเหลววิ่งไอล์ได้อย่างเต็มที่

บรรณานุกรม

- ธนาคม สุนทรชัยนาคແສງ. 2539. การพากความร้อน. ใน การถ่ายเทความร้อน. พิมพ์ครั้งที่ 1 (สุจน์รัตนานพนธ์, บรรณาธิการ). หน้า 7. บริษัทสำนักพิมพ์หอป จำกัด. กรุงเทพฯ บุญเชิญ เจริญศรี. 2542. ทฤษฎีพื้นฐาน. ใน รายงานวิจัยการพัฒนาและสร้างชุดวัดความหนาแน่นและความพรุนของตัวอย่างหิน. หน้า 1-3. ภาควิชาฟิสิกส์. คณะวิทยาศาสตร์ มหาวิทยาลัยสงขลานครินทร์. สงขลา.
- ประทุมรัตน์ หนูยং. 2551. การสังเคราะห์และศึกษาลักษณะของไไฟเทเนียมพรุน. วิทยานิพนธ์ วิศวกรรมศาสตร์มหาบัณฑิต. มหาวิทยาลัยสงขลานครินทร์.
- ศิริพร ลากภิรติตาوار. 2547. สมบัติทั่วไปของซิลิกอนคาร์ไบด์. รายงานวิจัยโครงการศึกษาสภาพที่เหมาะสมต่อการผลิตอุณหภูมิ การสังเคราะห์ซิลิกอนคาร์ไบด์ (SiC). สถาบันวิจัย วิทยาศาสตร์และเทคโนโลยีแห่งประเทศไทย. หน้า 7-30.
- หริส สุตะบุตร. 2537. การแข็งตัวของโลหะ. ใน หล่อโลหะ. พิมพ์ครั้งที่ 2. หน้า 14-16. บริษัท สำนักพิมพ์ดวงกมล จำกัด. กรุงเทพฯ
- เล็ก สิง. 2540. วัสดุผสม. ใน วัสดุวิศวกรรมและอุตสาหกรรม. พิมพ์ครั้งที่ 2. หน้า 393-426. หน่วย โสตทัศนศึกษา คณะวิศวกรรมศาสตร์ มหาวิทยาลัยสงขลานครินทร์. สงขลา.
- เสน่ห์ ชัยราดาลักษณ์. 2538. การหล่อเหลว. ใน วิศวกรรมการหล่อโลหะ. หน้า 69-71. ภาควิชา วิศวกรรมอุตสาหการ คณะวิศวกรรมศาสตร์ มหาวิทยาลัยสงขลานครินทร์. สงขลา.
- คณะครุศาสตร์ มหาวิทยาลัยราชภัฏชนบุรี. 2552. กรรมวิธีผลิตเหล็กกล้า (ออนไลน์).
- ลีบกันจาก: <http://dit.dru.ac.th/home/023/matrialNew/method.html> (10 January 2010)
- Chen, J., Hao, C., and Zhang, J. 2006. Fabrication of 3D-SiC network reinforced aluminum-matrix composites by pressureless infiltration. Materials Letters Vol. 60. Issues 20 (September): 2489-2492
- Duque, N. B., Melgarejo, Z. H., and Suárez, O. M. 2005. Functionally graded aluminum matrix composites produced by centrifugal casting. Materials Characterization Vol. 55. Issues 2 (August): 167-171
- Gu, J., Zhang, X., Qiu Y., and Gu, M. 2005. Damping behaviors of magnesium matrix composites reinforced with Cu-coated and uncoated SiC particulates. Composites Science and Technology Vol. 65. Issues 11-12 (September): 1736-1742

បររលាយករណ (ពេទ)

- Higgins, A. R. 1973. engineering metallurgy part I applied physical metallurgy. 4th Ed. The English language book society. London.
- Kenessei, P., Biermann, H., and Borbély, A. 2005. Structure–property relationship in particle reinforced metal–matrix composites based on holotomography. Scripta Materialia Vol. 53. Issues 7 (October): 787-791
- Nishida, Y., Shirayanagi, I., and Sakai, Y. 1996. Infiltration of fibrous preform by molten aluminum in a centrifugal force field. Metallurgical and Materials Transaction Vol. 27A. Issues 12 (December): 4163-4169
- Pan, Y., Gao, M. X., Oliveira, F. J., Vieira, J. M., and Baptista, J. L. 2003. Infiltration of SiC preforms with iron silicide melts: microstructures and properties. Materials Science and Engineering A Vol. 359. Issues 1-2 (October): 343-349
- Pech-Canul, M. I., Katz, R. N., and Makhlof, M. M. 2000. Optimum conditions for pressureless infiltration of SiC_p preforms by aluminum alloys. Journal of Materials Processing Technology Vol. 108. Issues 1 (December): 68-77
- Seyed Reihani, S. M. 2006. Processing of squeeze cast Al6061–30vol% SiC composites and their characterization. Materials and Design Vol. 27. Issues 3: 216-222
- Taha, M. A., and El-Mahallawy, N. A. 1998. Metal-matrix composites fabricated by pressure-assisted infiltration of loose ceramic powder. Journal of Materials Processing Technology Vol. 73. Issues 1-3 (January): 139-146
- Wannasin, J. 2004. Centrifugal infiltration of particulate metal matrix composites: process development and fundamental studies. Ph.D. Thesis. Massachusetts Institute of Technology. Cambridge. MA. USA.
- Wannasin, J., and Flemings, M. C. 2005. Fabrication of metal matrix composites by a high-pressure centrifugal infiltration process. Journal of Materials Processing Technology Vol. 169. Issues 2 (November): 143-149
- Xiandong, S., Chengping, L., Zhuoxuan, L., and Liuzhang, O. 1997. The fabrication and properties of particle reinforced cast metal matrix composites. Journal of Materials Processing Technology Vol. 63, Issues 1-3 (January): 426-431

บรรณานุกรม (ต่อ)

Yong, M. S., and Clegg, A. J. 2005. Process optimization for a squeeze cast magnesium alloy metal matrix composite. *Journal of Materials Processing Technology* Vol. 168, Issues 2 (September): 262-269

Zhang, Z. F., Zhang, L. C., and Mai, Y.W. 1995. Particle effects on friction and wear of aluminium matrix composites. *Journal of Materials Science* Vol. 30, Issues 23 (December): 5999-6004

US Provisional Patent. "High pressure centrifugal casting of composites." by Wannasin J, Flemings MC, and Phong H. Filed in 2005.

G.precision engineering LTD. 2010. การทดสอบและตรวจสอบทางโลหะวิทยา (ออนไลน์).

ลี่บค้นจาก: <http://www.gprecision.net/metallurgy-Test-Macroscope.html>

(10 January 2010)

Beardmore, R. 2009. Bolt preloading (Online). Available:

http://www.roymech.co.uk/Useful_Tables/Screws/Preloading.html (10 January 2010)

Eitschberger, M. 2009. Metal foams and metal matrix composites (Online). Available:

<http://www.wtm.uni-erlangen.de/Forschung/Leichtbauwerkstoffe/leichtbauwerkstoffe.htm>

(9 June 2009)

eFunda, Inc. 2009. Centrifugal casting (Online). Available:

http://www.efunda.com/processes/metal_processing/centri_casting.cfm

(9 June 2009)

Gohmann, E. 1999. Pressures within a centrifugal (Online). Available:

<http://et.nmsu.edu/~etti/winter99/manufacturing/gohmann/gohmann.html>

(9 June 2009)

Maryland nanocenter. 2010. Scanning electron microscopy (SEM) (Online). Available:

http://www.nanocenter.umd.edu/new_facilities/NispLab.php (10 January 2010)

Automation Creations, Inc. 2010. Material property data (Online). Available:

<http://www.matweb.com/search/DataSheet.aspx?MatGUID=8f56dbfa35554690a2c3aaaf7f89e7d69> (10 January 2010)

បររលាយក្រម (ពេទ)

Melbourne school of engineering. 2010. Heat transfer in casting (Online). Available:

<http://www.mame.mu.oz.au/materials/TeachingSubjects/436203/Lectures/HeatTransfer/HeatTransfer.html> (10 January 2010)

MicroscopeWorld. 2010. Microscope parts & specifications (Online).

Available: <http://www.microscopeworld.com/MSWorld/parts.aspx> (10 January 2010)

Milauskas, M. K. 2009. Metal matrix composites (Online). Available:

<http://www.composites-by-design.com/metal-matrix.htm> (9 June 2009)

Rawal, S. P. 2001. Metal-matrix composites for space applications (Online). Available:

<http://www.tms.org/pubs/journals/JOM/0104/Rawal-0104.html> (9 June 2009)

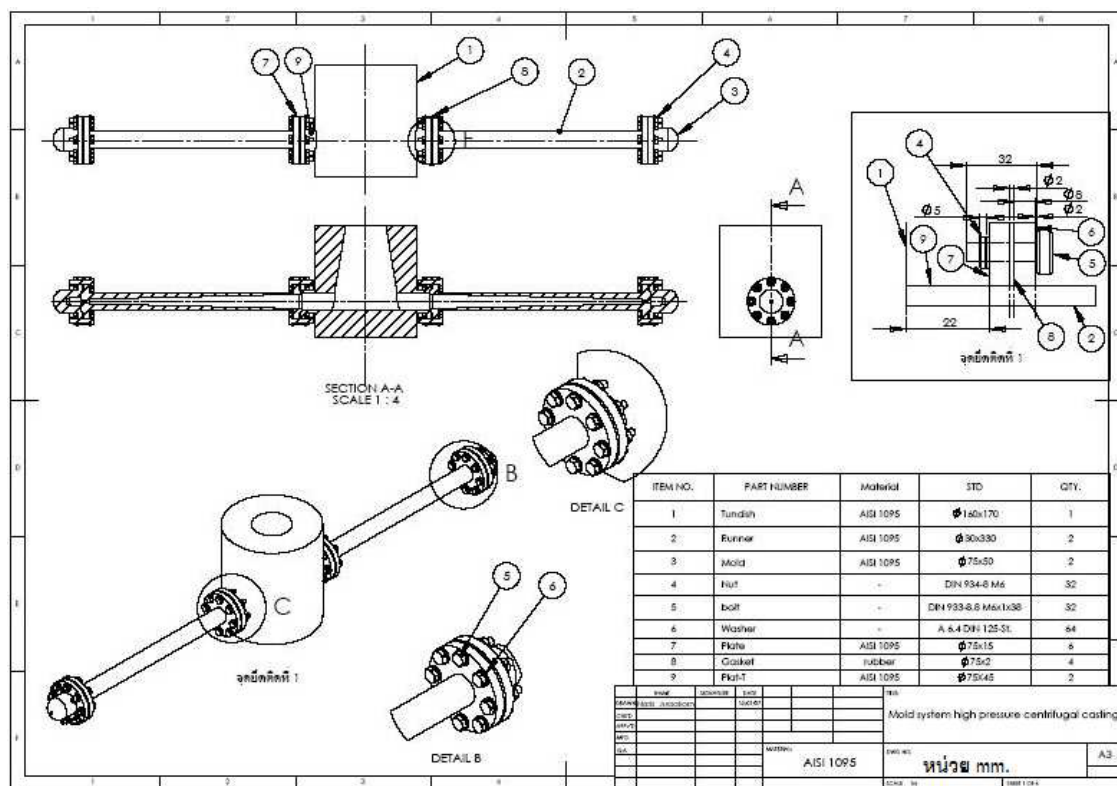
Westbound engineering Co, Ltd. 2009. Private Communication

Wright, D. 2005. Loads in an elastic bolted assembly (Online). Available:

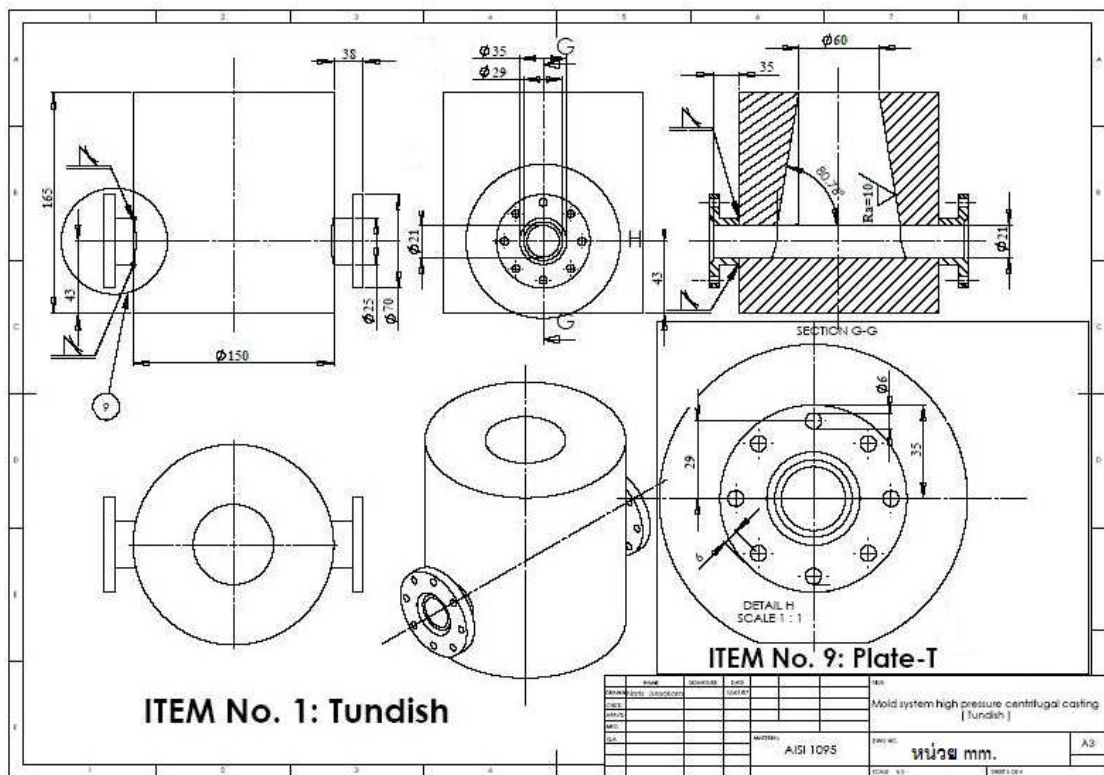
<http://school.mech.uwa.edu.au/~dwright/DANotes/threads/assemblies/assemblies.html>
(10 January 2010)

ภาคผนวก ก

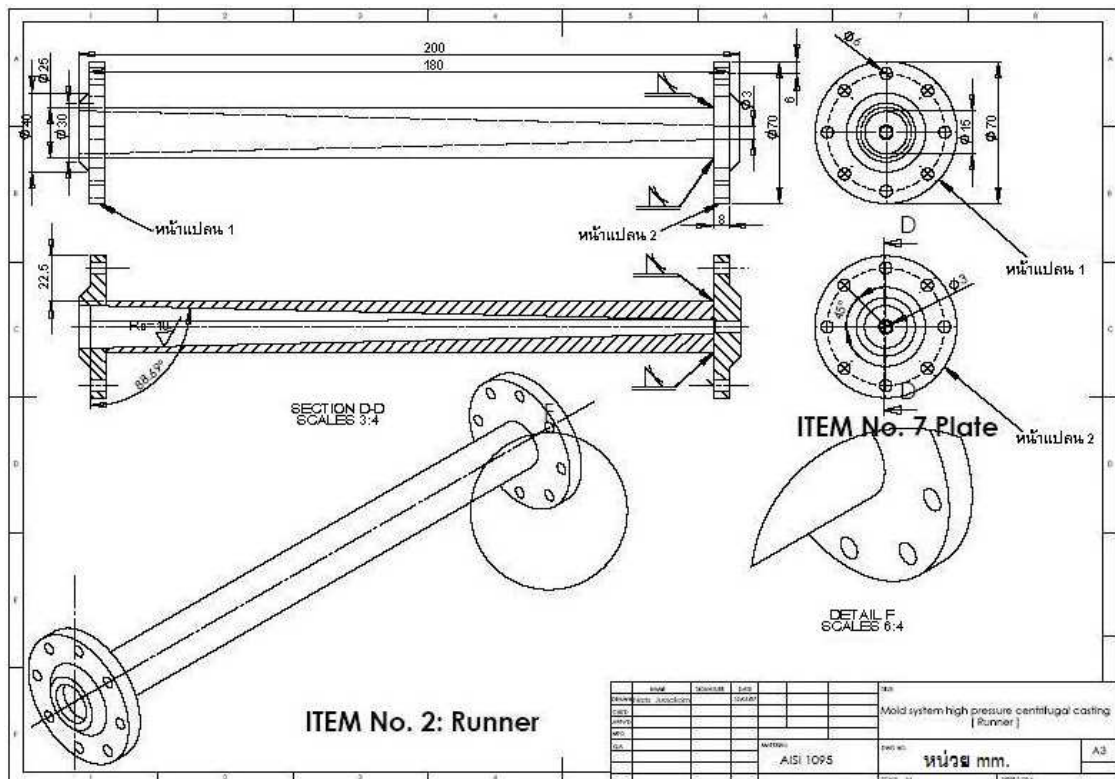
แบบงานชุดระบบการหล่อเทวียงความดันสูง



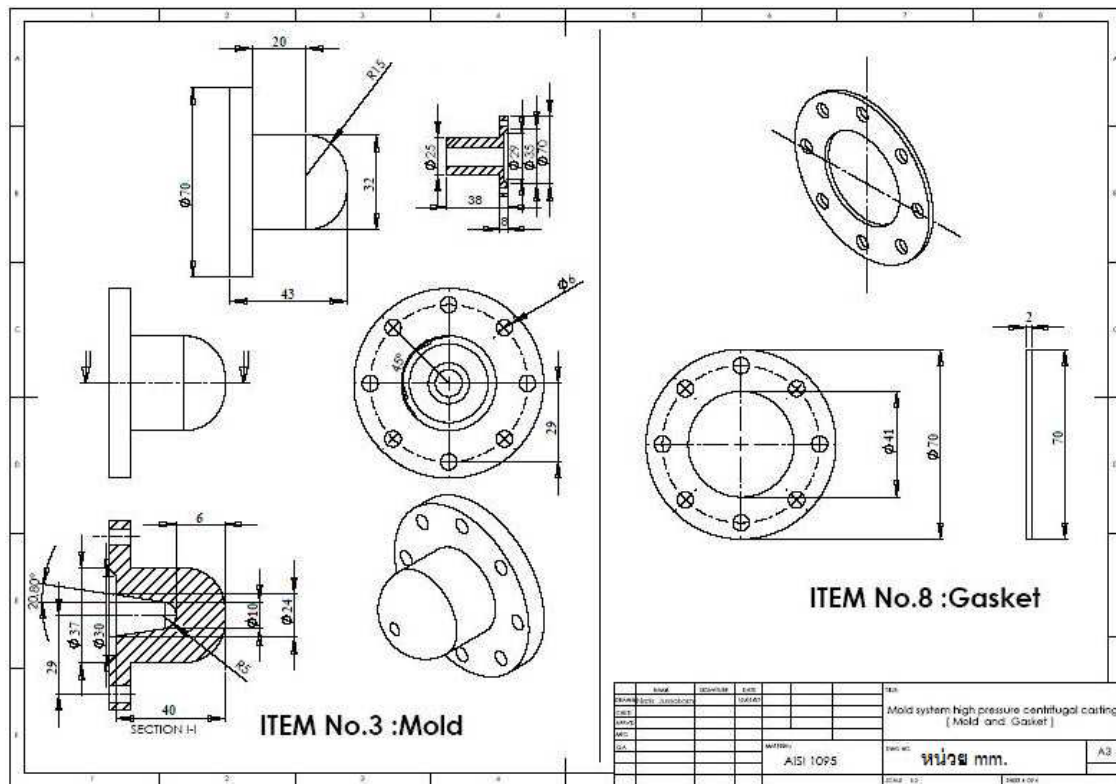
รูปที่ ก1 แบบงานชุดระบบการหล่อเหลวขึ้นความดันสูง แบบประกอบเสร็จ



รูปที่ ก2 แบบงานชิ้นส่วนที่รับน้ำโลหะของชุดระบบการหล่อเทวีงความดันสูง



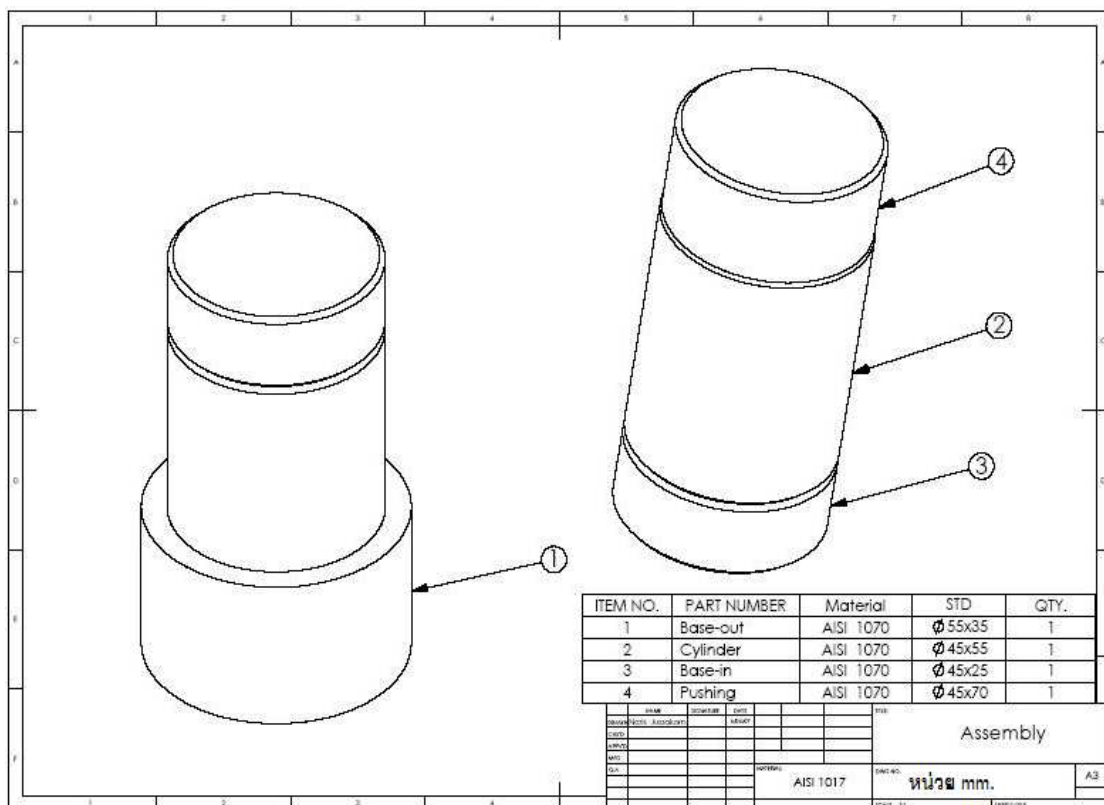
รูปที่ ก3 แบบงานชิ้นส่วนท่อทางวิ่งน้ำโลหะของชุดระบบการหล่อเที่ยงความดันสูง



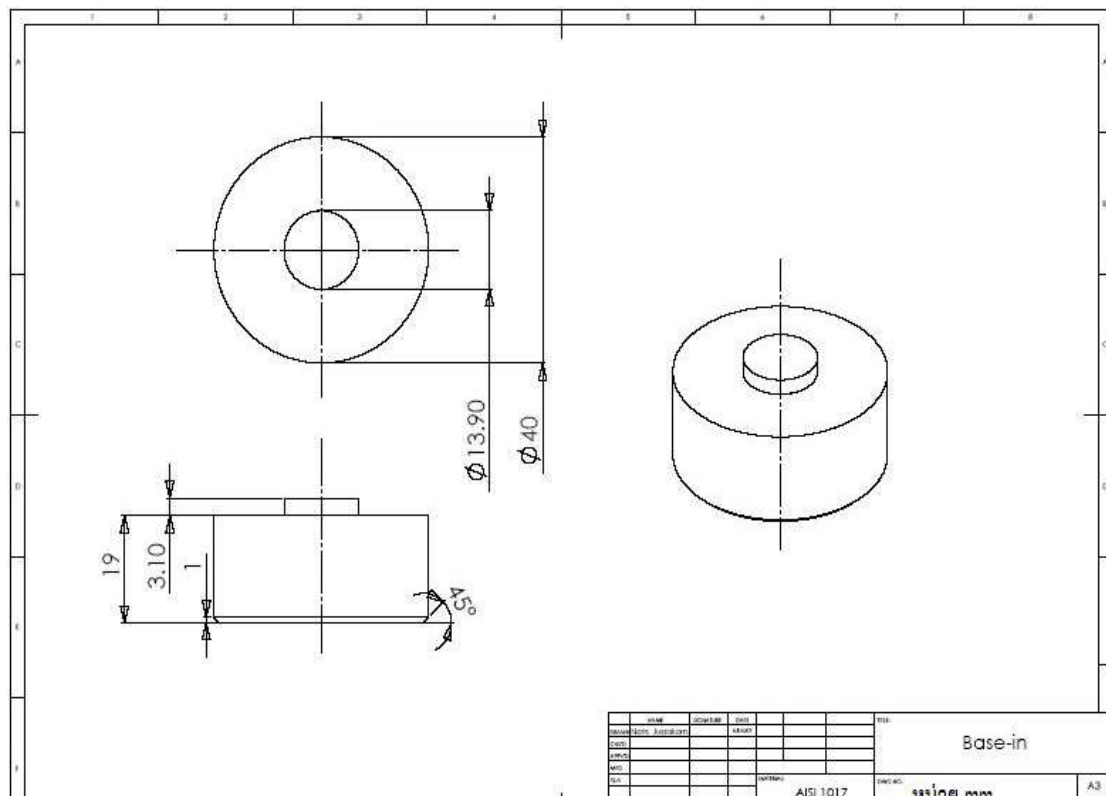
รูปที่ ก4 แบบงานชิ้นส่วนแม่พิมพ์ของชุดระบบการหล่อเทวีงความดันสูง

ภาคผนวก ฯ

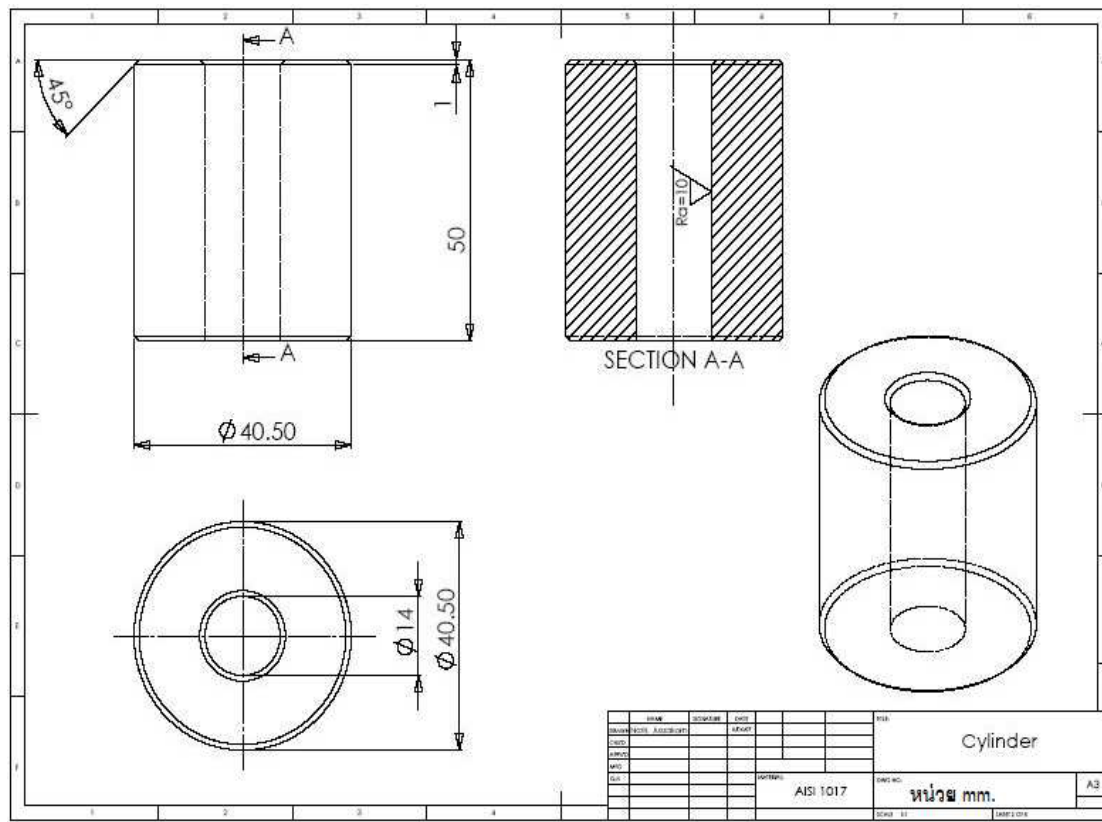
แบบงานอุปกรณ์การอัดขึ้นรูปชิ้นงานซิลิโคนคราฟท์ใบด์อัดขึ้นรูป



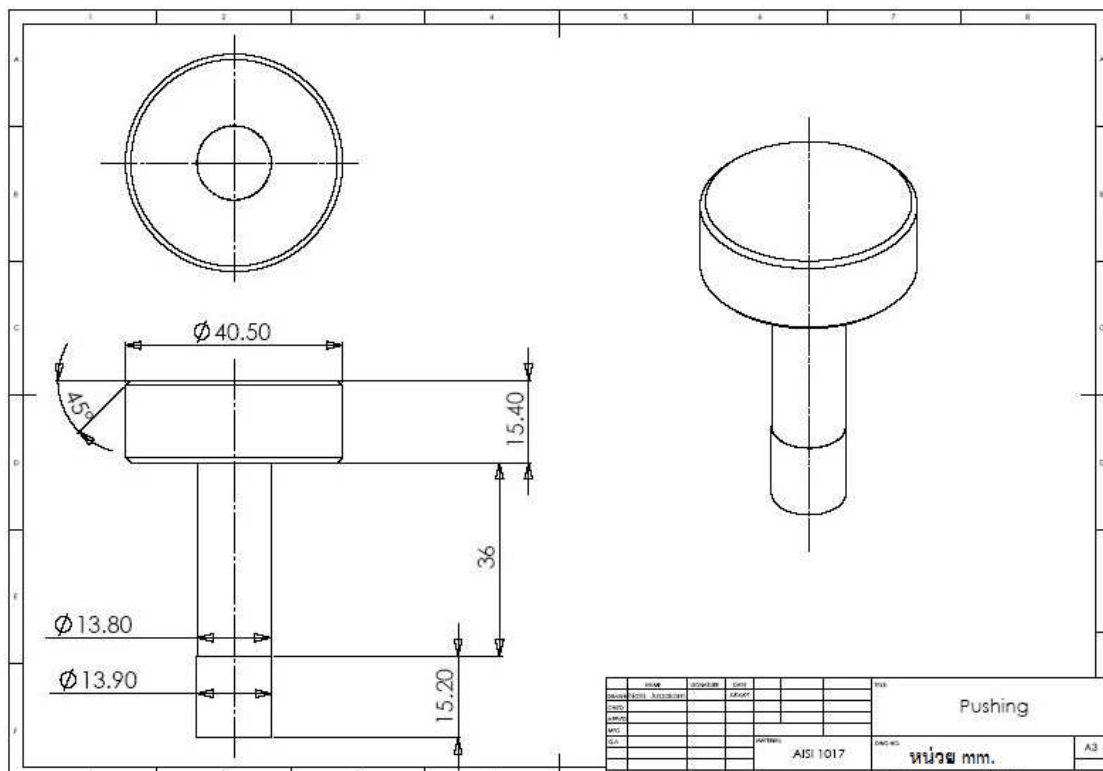
รูปที่ ข1 ชุดอุปกรณ์การอัดขึ้นรูปชิ้นงานซิลิโคนครีบีด์ อัดขึ้นรูป แบบประกอบเสร็จ



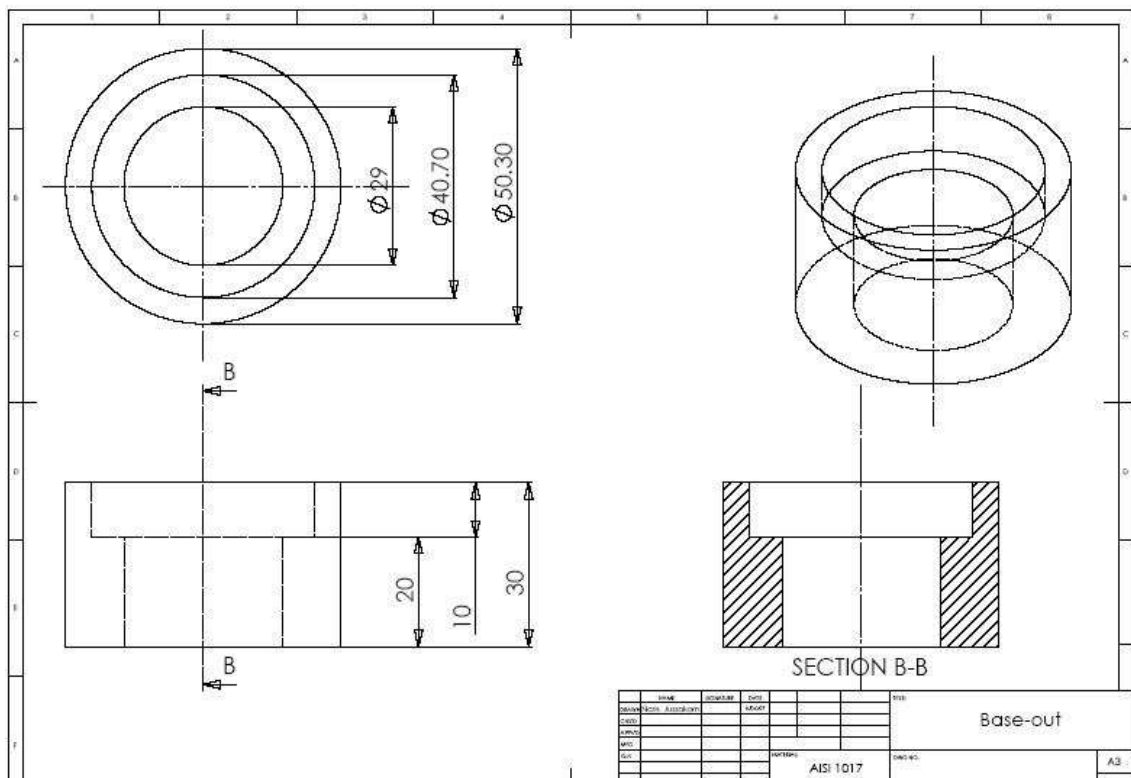
รูปที่ ๑๒ ฐานอุปกรณ์การอัดขึ้นรูปชิ้นงานซิลิโคนการไฟบดอัดขึ้นรูป



รูปที่ ข3 เบ้าอัดชิ้นงานซิลิโคนการ์บีบค์อัดขึ้นรูป



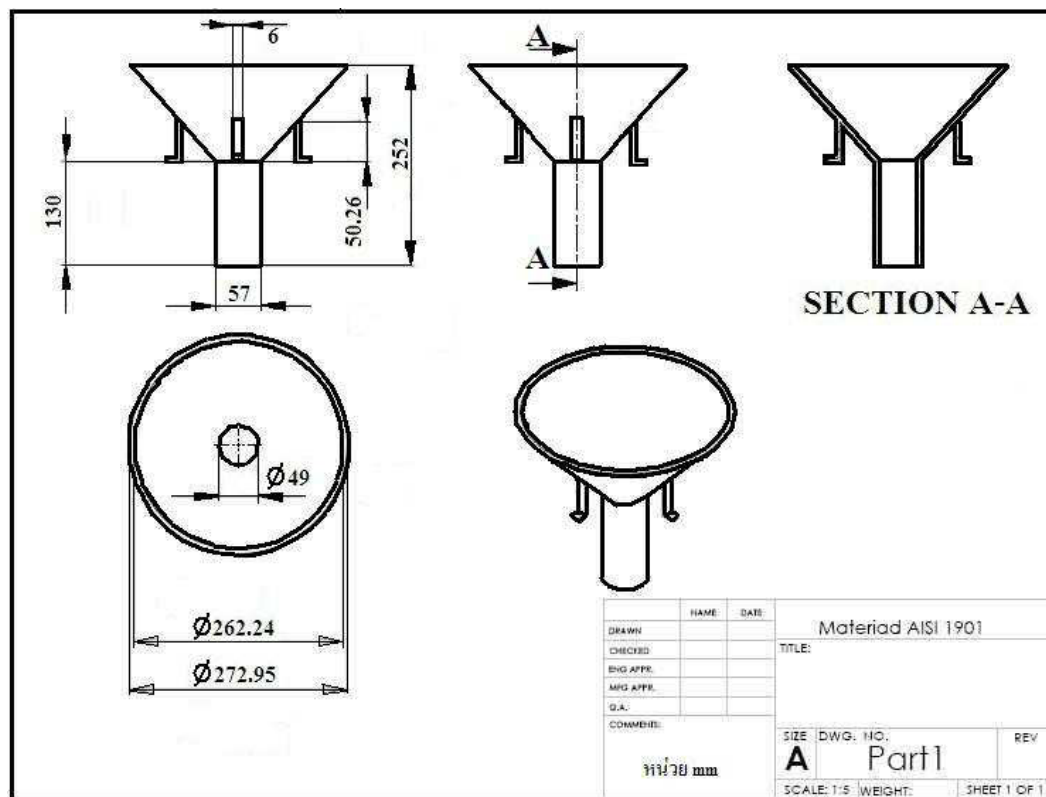
รูปที่ ๔ ตัวอัดขึ้นงานชิลคอนการ์ไบค์อัดขึ้นรูป



รูปที่ ข5 จานปลดชิ้นงานซิลิโคนคาร์ไบด์อัดขึ้นรูป

ภาคผนวก ค

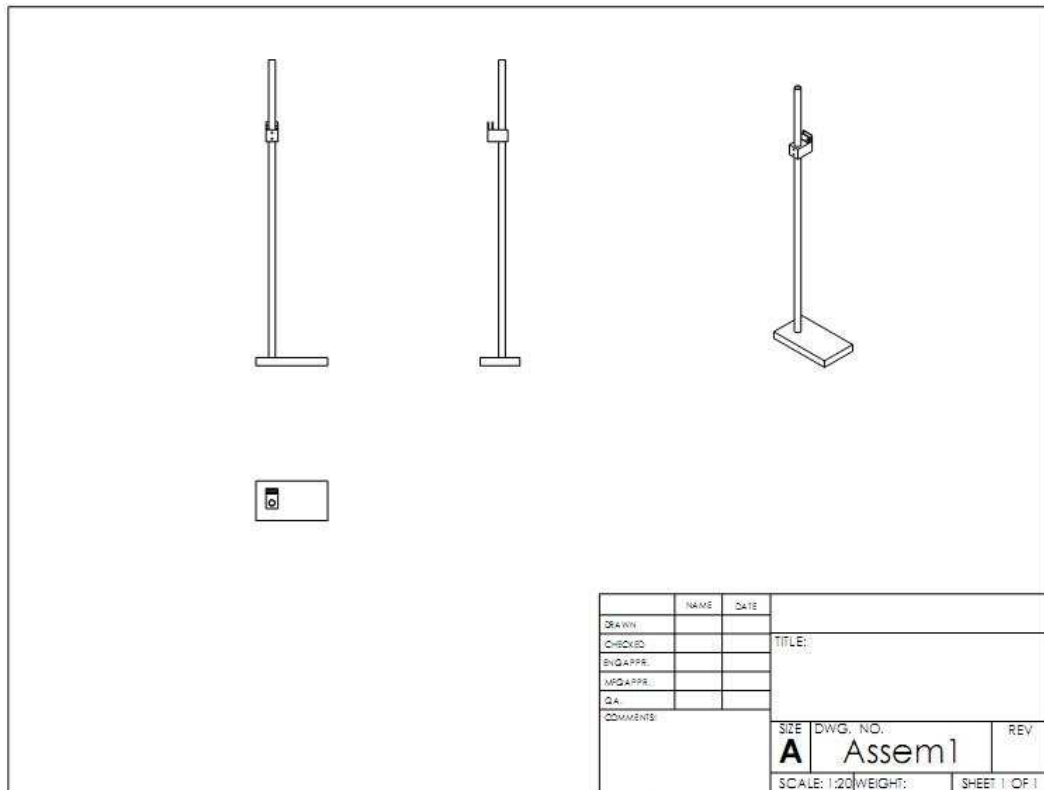
รายประคงนำໂລහ



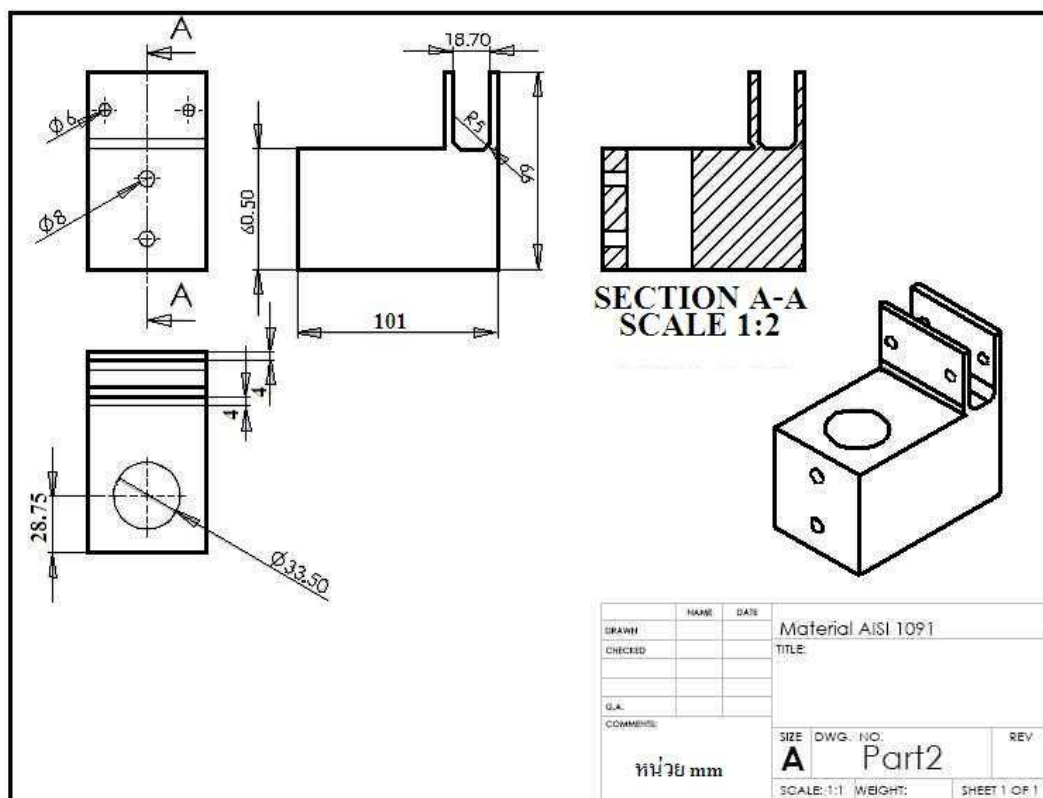
รูปที่ ค1 รายละเอียดของน้ำโลหะ

ภาคผนวก ๔

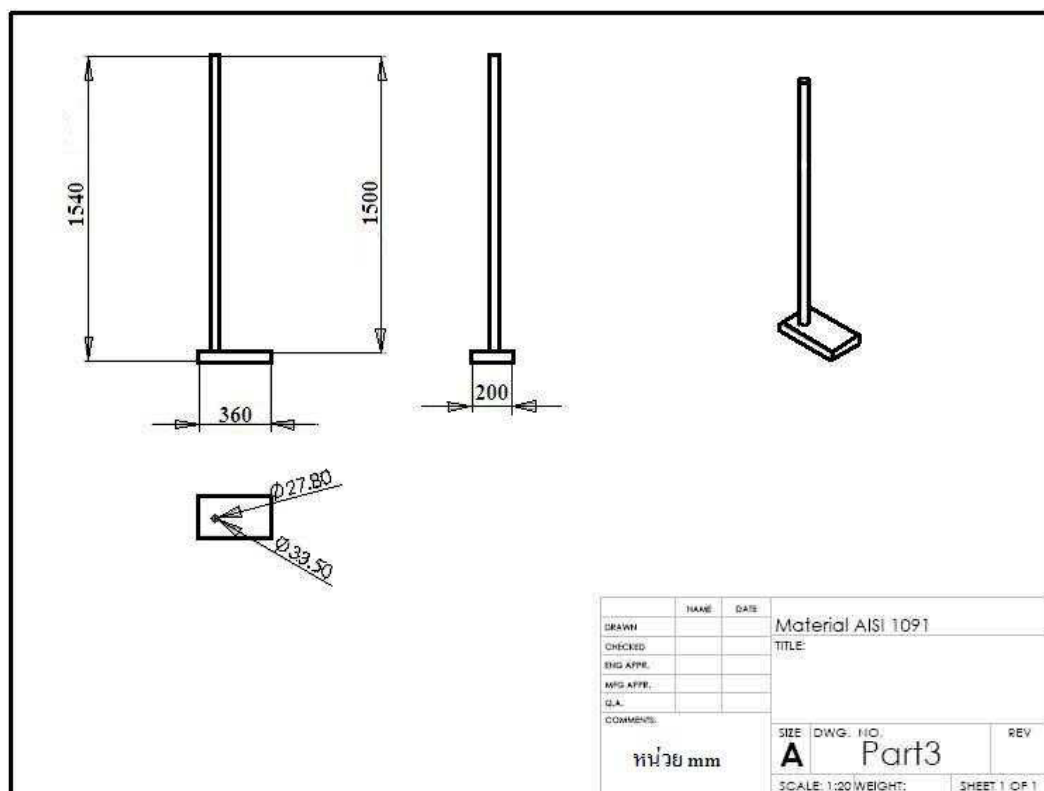
ชุดอุปกรณ์เผาอุ่น



รูปที่ ง1 ชุดอุปกรณ์เผาอุ่นแบบประกอบเสร็จ



รูปที่ 42 ชั้นวางหัวเพา



รูปที่ ๓ ขาตั้ง

ภาคผนวก จ

กลุ่มของวัสดุและข้อเปรียบเทียบระหว่างโลหะผสมและวัสดุชนิดอื่นๆ

จ1. กลุ่มของวัสดุ

จ1.1 โลหะ (Metal)

โลหะผสม รวมอยู่ในกลุ่มนี้ด้วย เป็นวัสดุที่มีค่าน้ำความร้อนสูง เพราะสามารถนำความร้อนได้เร็วมาก และโลหะก็มีสภาพนำความร้อนสูงด้วย มีความแข็งแรงมีความหนึบยว วาว ทนต่อโหลดเป็นเวลานาน โลหะมีพันธะเคมีคลิก อะตอมของโลหะจะมีขนาดใหญ่กว่าพากอโลหะ โลหะผสม ประกอบด้วยชาตุโลหะตั้งแต่ 2 ชนิดขึ้นไป เช่น เหล็กกล้า เป็นโลหะผสมระหว่างเหล็ก คาร์บอน และชาตุอื่นๆ และโลหะผสมอะลูมิเนียม-ลิเทียม เป็นต้น

โลหะอาจแบ่งเป็น 2 กลุ่มใหญ่ คือ กลุ่มเหล็ก และเหล็กกล้า และโลหะอื่นๆ ที่ไม่ใช่เหล็ก เช่น ทองแดง อะลูมิเนียม ดีบุก ตังกะสี และตะกั่ว เป็นต้น แบ่งเป็นโลหะเบาและโลหะหนัก นอกจากนั้นยังอาจแยกเป็นโลหะหายาก (rare earth metals) ได้แก่ ชาตุในกลุ่มแอลานทายาในด์ และแอคทีโนด์ เช่น La, Ce, Nd, Pr, Ho, Tm, Y และ Er เป็นต้น นอกจากโลหะ 2 กลุ่มนี้แล้ว โลหะอาจถูกแบ่งเป็นโลหะผง (powdered metal) หรือโลหะซินเทอร์ (sinter metal) ซึ่งเป็นการผลิตโลหะผสมด้วยการหลอมผงโลหะที่ผสมด้วยกันแล้วนำไปขึ้นรูปด้วยวิธีการหล่อ หรือวิธีการขึ้นรูปอื่นๆ เช่น การฉีดขึ้นรูป (injection molding) การหลอมจะให้จุดหลอมเหลวต่ำกว่าจุดหลอมเหลวของโลหะผสมหลักด้วย กระบวนการอัดความดันภายในตัววัสดุทำให้ผงโลหะมีความหนาแน่น และเชื่อมติดกัน (บางครั้งอาจมีรูพรุน) มีความแข็งแรงและเชื่อมติดกัน (บางครั้งอาจมีรูพรุน) มีความแข็งแรง

จ1.2 เซรามิก (Ceramic)

เซรามิกเป็นสารประกอบของโลหะและอโลหะ เช่น วนวนหัวเทียน (Al_2O_3) อิฐ ทนไฟ (MgO) หรือแก้ว (SiO_2) เชือเพลิงนิวเคลียร์ (UO_2) หรือแม่กระถังพาก hin เครื่องปั้นดินเผา กระเบื้อง ผงขัด กระดาษทราย อิเล็กโทรเซรามิก สารแม่เหล็ก สารไ/do อิเล็กทริก และสารต้านนำ ยิ่ง华北อุณหภูมิสูง

วัสดุแต่ละอย่างเหล่านี้จะแข็งแต่erasive ซึ่งเป็นสมบัติที่เด่นชัดของเซรามิก และดูเหมือนว่าจะทนต่อความร้อนสูงๆ และทนต่อสิ่งแวดล้อมที่เป็นกรดหรือด่างอย่างแรง ได้ดีกว่าโลหะ และพอลิเมอร์ เพราะอะตอมของโลหะจะสละอิเล็กตรอนในวงนอกสุดไปให้อะตอมของอโลหะ ผลลัพธ์คือ ไม่มีโมเลกุลที่เคลื่อนที่ ดังนั้นเซรามิกจึงเป็นวนวนความร้อนและวนวนไฟฟ้าที่ดี และที่

สำคัญอะตอมที่มีประจุบวก (หลังจากสลายอิเล็กตรอนแล้ว) และอะตอมที่มีประจุลบ (ซึ่งรับอิเล็กตรอนมา) จะมีแรงดึงดันยังไงแข็งแรง ประจุบวกแต่ละตัวจะล้อมรอบตัวมันเอง โดยประจุลบหล่ายตัว จะต้องใช้แรงและพลังงานมากที่จะแยกมันออกจากกัน

จ1.3 วัสดุผสม (Composite Material)

วัสดุผสม คือ วัสดุที่ประกอบด้วยวัสดุสองชนิดหรือมากกว่านั้น และวัสดุแต่ละชนิดยังรักษาสมบัติเฉพาะตัว โดยทั่วไปจะมีการเสริมแรงวัสดุที่อ่อนแอกลางจากเพื่อวัตถุประสงค์ให้วัสดุแข็งแรงขึ้นแล้ว ยังมีวัตถุประสงค์อื่นๆ เช่น เพื่อทำให้สมบัติต่างๆ ตามต้องการ ด้วยการออกแบบที่เหมาะสม เช่น ความแข็งแรง เบา หนีบ ฯลฯ และทนทานวัสดุถูกนำมาใช้มากขึ้นในปัจจุบัน และจะมากขึ้นในอนาคตในวัสดุโครงสร้าง อิเล็กทรอนิกส์ งานอวตารและอุตสาหกรรมยานยนต์

วัสดุผสมอาจแบ่งตามเนื้อหาลักษณะของวัสดุต่างๆ เช่น พอลิเมอร์ โลหะ เซรามิก เชอร์เมต หรืออาจแบ่งวัสดุผสมตามโครงสร้าง ซึ่งประกอบด้วย เป็นชั้น เส้นใย อนุภาค วัสดุผสมเป็นชั้น มีลักษณะเป็นแผ่นๆ ช้อนกันเป็นแซนวิชเชื่อมติดกันด้วยการเชื่อม ส่วนเส้นใยหรืออนุภาคจะฝังประอยู่ในเนื้อ (matrix) ชนิด พลาสติก อิพ็อกซี่ ยาง โลหะ ตัวอย่างวัสดุผสมเป็นชั้น ได้แก่ กระจกนิรภัย (safety glass) ซึ่งเป็นแผ่นแก้วที่แซนวิชด้วยพลาสติก คาร์บอนฟอร์ด และอลเคลด (cardboard and Alclad) ที่มีแกนเป็นทองแดงผสมที่หุ้มด้วยอะลูมิเนียมป้องกันการผุกร่อน วัสดุผสมเสริมอนุภาคประกอบด้วย กอนกริต (หิน กระดาน ทรายและซีเมนต์) วัสดุผสมเสริมเส้นใย ได้แก่ ไฟเบอร์กลาส (เส้นใยแก้วฝังในเนื้อพลาสติกชนิดพอลิเอสเทอร์) แก้วเสริมแรง (ลวดตะแกรงฝังในเนื้อแก้ว) ปัจจุบันวัสดุผสมถูกนำมาใช้สำหรับงานอากาศ และอวตาร ซึ่งต้องการความแข็งแรง จำเพาะสูง (ความแข็งแรงเทียบกับน้ำหนัก) ทนต่อการเสียดสีและทนต่ออุณหภูมิสูง นอกจากนี้ยังถูกประยุกต์ใช้สำหรับวัสดุทำอุปกรณ์กีฬา เช่น ไม้เทนนิส ไม้กอล์ฟ (เล็ก สีคง, 2540)

จ2. ข้อเปรียบเทียบระหว่างโลหะผสมและวัสดุชนิดอื่นๆ

จ2.1 ข้อเปรียบเทียบระหว่างโลหะผสมและโลหะบริสุทธิ์

จ2.1.1 โลหะผสมมีอัตราส่วนระหว่างความแข็งแรงและความหนาแน่นที่สูงกว่าโลหะบริสุทธิ์

จ2.1.2 โลหะผสมมีอัตราส่วนระหว่างความเหนียวและความหนาแน่นที่สูงกว่าโลหะบริสุทธิ์

จ2.1.3 โลหะผสมต้านทานต่อความถ้าได้ดีกว่าโลหะบริสุทธิ์

จ2.1.4 โลหะผสมมีสมบัติที่ใช้งานได้ในอุณหภูมิที่สูงได้ดีกว่าโลหะบริสุทธิ์

จ2.1.5 โลหะผสมมีความแข็งแรงที่สูงกว่าโลหะบริสุทธิ์

จ2.1.6 โลหะผสมมีอัตราการคืนที่ต่ำกว่าโลหะบริสุทธิ์

จ2.1.7 โลหะผสมมีประสิทธิภาพการขยายตัวเนื่องจากความร้อนที่ต่ำกว่าโลหะบริสุทธิ์

จ2.1.8 โลหะผสมต้านทานต่อการสึกหรอได้ดีกว่าโลหะบริสุทธิ์

จ2.2 ข้อเปรียบเทียบระหว่างโลหะผสมและพอลิเมอร์

จ2.2.1 โลหะผสมมีประสิทธิภาพในการใช้งานที่อุณหภูมิสูงได้ดีกว่าพอลิเมอร์

จ2.2.2 โลหะผสมมีการต้านทานการเผาไหม้ได้ดีกว่าพอลิเมอร์

จ2.2.3 โลหะผสมมีความเหนียวและความแข็งแรงในพื้นที่ภาคตัดขวางดีกว่าพอลิเมอร์

จ2.2.4 โลหะผสมไม่มีการดูดซึมรับความชื้น

จ2.2.5 โลหะผสมมีการนำความร้อนและไฟฟ้าได้ดีกว่าพอลิเมอร์

จ2.2.6 โลหะผสมมีการต่อต้านการแพร่งลีคลื่นแม่เหล็กได้ดีกว่าพอลิเมอร์

จ2.3 ข้อเสียของโลหะผสมซึ่งเปรียบเทียบกับโลหะบริสุทธิ์และพอลิเมอร์

จ2.3.1 มีราคาสูงกว่า

จ2.3.2 มีวิธีการผลิตที่ซับซ้อน (ยกเว้นการหล่อ)

จ2.3.3 ข้อจำกัดในการนำไปใช้

ภาคผนวก ฉ

สมบัติทางกลของเหล็กกล้าคาร์บอนที่อุณหภูมิต่างๆ

เหล็กกล้า คือเหล็กที่มีส่วนผสมของคาร์บอน (C) ประมาณ 0.10 - 1.50% สีเป็นเงิน
จากเหล็กดิบไม่สามารถนำมาผลิตเป็นชิ้นงานได้ทันที เพราะมีคาร์บอน ประมาณ 0.4% ซึ่งสูง
เกินไป ทำให้มีความต้านทานแรงดึงดั้งต่ำ ความยืดหยุ่นและความหนาแน่นนิ่วไม่เพียงพอ ไม่สามารถนำไป
ใช้งาน ทุบ ริด อัดขึ้นรูปได้ จึงจำเป็นต้องหลอมเหล็กดิบเพื่อไล่คาร์บอนและสารมลทินอื่นออกไป
และอาจเติมสารอื่นเข้าไปปรับปรุงสมบัติ เพื่อสนองตอบต่อความต้องการด้านสมรรถนะ
เหล็กกล้าแบ่งออกเป็น 2 ประเภทคือ

- เหล็กกล้าคาร์บอน (Carbon Steel)
- เหล็กกล้าผสม (Alloy Steel)

ฉ1. เหล็กกล้าคาร์บอน (Carbon Steel)

เหล็กกล้าคาร์บอนหมายถึงเหล็กกล้าที่มีคาร์บอนเป็นธาตุสมหลัก และอาจมีธาตุ
อื่นๆ เช่น Si, Mn ที่มาจากการหลอมเหล็ก ในขั้นของการนำมาระบบเป็นเหล็กดิบผสมอยู่ เหล็กกล้า
คาร์บอน เป็นเหล็กชนิดเดียวที่มีทั้ง ความแข็งแกร่ง และความคงตัวสูง
เหล็กกล้าคาร์บอน แบ่งออกเป็น 2 ประเภท คือ

ฉ1.1 เหล็กกล้าคาร์บอนต่ำ (Low Carbon Steel)

เหล็กกล้าคาร์บอนต่ำหรือเหล็กเหนียว (Mild Steel) คือเหล็กกล้าที่มีคาร์บอน (C)
เป็นธาตุสมหลักอยู่ไม่เกิน 0.20% (Low carbon steel $\leq 0.20\% C$) มีความหนานิ่ว แต่ไม่แข็งแรงมาก
นัก ไม่สามารถนำไปชุบแข็งได้ สามารถนำไปกลึงกัด ตัด ไส เจียร์ใน เจาะ กัด ได้ง่าย นิยมใช้ใน
การทำเหล็กโครงสร้าง นื้อต สร้าง เหล็กแผ่นบาง ตัวถังรถยนต์ โซ่ เหล็กรูปพรรณต่างๆ

ฉ1.2 เหล็กกล้าคาร์บอนปานกลาง (Medium Carbon Steel)

เหล็กกล้าคาร์บอนปานกลางคือเหล็กกล้าที่มีคาร์บอนเป็นธาตุสมอยู่มากกว่า
0.20% แต่ไม่เกิน 0.60% ($0.20\% C < \text{Medium carbon steel} \leq 0.60\% C$) มีความหนานิ่วอย่าง แต่
แข็งแรงมากขึ้น ทนแรงดึงได้ดีกว่าเหล็กกล้าคาร์บอนต่ำ สามารถนำไปชุบแข็งได้ถ้ามีคาร์บอน (C)
 $> 0.50\%$ แต่ถ้ามีคาร์บอนน้อยกว่านี้ สามารถชุบแข็งได้เฉพาะผิว สามารถนำไปกลึงกัด ตัด ไส
เจียร์ใน เจาะ กัด หรือทำการแปรรูปได้ดีกว่าเหล็กกล้าคาร์บอนต่ำ นิยมใช้ทำ เพลาต่างๆ เพื่อง

ชิ้นส่วนเครื่องจักรกล ค้อน ก้านสูบ

๑.๓ เหล็กกล้าคาร์บอนสูง (High Carbon Steel)

เหล็กกล้าคาร์บอนสูงคือเหล็กกล้าที่มีคาร์บอนเป็นธาตุผสมอยู่มากกว่า 0.60% แต่ไม่เกิน 1.50% ($0.60\% \text{C} < \text{High carbon steel} \leq 1.50\% \text{C}$) มีความเหนียวแน่นอย่างมาก ทนแรงดึงได้ดีกว่าเหล็กกล้าคาร์บอนชนิดอื่น สามารถนำไปปั้นและขึ้นรูปได้ แต่อาจเปราะหักได้ง่าย สามารถนำไปกลึงกัด ตัด ไส เจียร์ ใบเลื่อย มีคอกลึง ใบมีดโกน เม็ดลูกปืน (Bearing) สว่าน สกัด กระแทก ใบเลื่อย มีคอกลึง ใบมีดโกน เม็ดลูกปืน (Bearing)
 (คณะครุศาสตร์ มหาวิทยาลัยราชภัฏชลบุรี, 2552)

ซึ่งสมบัติทางกลของเหล็กกล้าคาร์บอนที่อุณหภูมิต่างๆ มีดังนี้

ตารางที่ ฉ1 สมบัติทางกลของเหล็กกล้าคาร์บอนที่ระดับอุณหภูมิต่างๆ

Material	Composition (%)					Condition	Temperature(°C)	Properties			
	C	Mn	Ni	Cr	Other elements			U.T.S. (MPa)	Yield stress 0.2 or 0.5% proof stress (MPa)	Elong. (%)	Reduction in area (%)
Armco iron	0.02	0.03	-	-	-	Normalized	R.T.	334.52	182.47	45	69
							200	440.96	182.47	27	54
							400	304.11	-	15	67
							600	106.44	-	34	49
							700	60.82	-	53	55
0.14% C steel	0.14	0.6	-	-	-	Normalized	R.T.	410.55	243.29	38	-
							200	456.17	228.08	27	-
							400	380.14	190.07	38	-
							500	304.11	-	38	-
0.17% C steel	0.17	0.7	-	-	-	Normalized	R.T.	433.36	258.49	43	68
							200	570.21	258.49	24	51
							400	410.55	-	40	69
							600	152.06	-	65	93
							700	76.03	-	83	96

ตารางที่ ฉ1 (ต่อ) สมบัติทางกลของเหล็กกล้าคาร์บอนที่ระดับอุณหภูมิต่างๆ

Material	Composition (%)					Condition	Temperature(°C)	Properties			
	C	Mn	Ni	Cr	Other elements			U.T.S. (MPa)	Yield stress 0.2 or 0.5% proof stress (MPa)	Elong. (%)	Reduction in area (%)
0.21% C steel	0.18/0.24	0.4/0.6	-	-	-	Normalized	R.T.	440.96	258.49	34	62
							200	456.17	220.48	28	54
							400	364.93	182.47	36	67
							600	182.47	98.84	48	76
0.25% C steel	0.25	0.6	-	-	-	Normalized	R.T.	471.37	243.29	34	-
							200	501.78	228.08	22	-
							400	440.96	197.67	31	-
							500	334.52	182.47	32	-
0.35% C steel	0.35	0.8	-	-	-	Normalized	R.T.	593.02	304.11	30	-
							200	623.43	304.11	17	-
							400	577.81	212.88	29	-
							500	425.75	-	32	-

ตารางที่ ฉ1 (ต่อ) สมบัติทางกลของเหล็กกล้าคาร์บอนที่ระดับอุณหภูมิต่างๆ

Material	Composition (%)					Condition	Temperature (°C)	Properties				
	C	Mn	Ni	Cr	Other elements			U.T.S. (MPa)	Yield stress 0.2 or 0.5% proof stress (MPa)	Elong. (%)	Reduction in area (%)	
CARBON STEELS												
0.40% C steel	0.40	0.6	-	-	-	Normalized	R.T.	593.02	334.52	33	53	
							250	623.43	288.91	19	41	
							450	471.37	-	36	59	
							650	167.26	-	57	95	
							850	60.82	-	119	99	
0.90% C steel	0.90	0.7	-	-	-	Normalized	R.T.	980.76	486.58	14	20	
							250	965.55	-	10	18	
							450	593.02	-	38	77	
							650	281.30	-	60	82	
							850	60.82	-	84	99	
LOW ALLOY STEELS												
0.50% Mo steel	0.17	0.6	-	-	Mo 0.6	Normalized	R.T.	501.78	311.71	38	69	
							400	501.78	228.08	34	73	
							500	410.55	220.48	33	77	

ที่มา : Higgins (1973)

ภาคผนวก ช

สมบัติของปะเก็น (Gasket) ชนิด Non-Asbestos 350 - 550°C

แอกซเบสตอส (asbestos) เป็นชื่อเรียกทั่วไป ที่ใช้เรียกกลุ่มแร่ ซิลิกेट 6 ชนิด ที่มีลักษณะเป็นเส้นใย และมีโครงสร้างเป็นผลึก ซึ่งเกิดขึ้นเองตามธรรมชาติ มีซิลิกะ นำําและชาตุแมgnีเซียม เป็นองค์ประกอบหลัก และอาจพบว่ามีอะตอมของโลหะอื่น เช่น เหล็ก, แคลเซียม, หรือโซเดียม แทรกอยู่ภายในโครงสร้างผลึกของแอกซเบสตอส (asbestos) ด้วย เนื่องจากแอกซเบสตอส (Asbestos) มีลักษณะเป็นเส้นใย ดังนั้น บางครั้งอาจเรียกว่า แร่ไยกิน

คุณสมบัติของแอกซเบสตอส ที่สำคัญ คือมีลักษณะเป็นเส้นไขทุนความร้อนได้สูงกว่า 600°C ทนแรงดันได้สูงกว่า $5,000 \frac{\text{kg}}{\text{cm}^2}$ ไม่ลุกไหม้ ทนต่อสารเคมี กรด ด่าง (Westbound engineering Co, Ltd., 2009)

ตารางที่ ช1 สมบัติของปะเก็น (gasket) ชนิด non-asbestos $50 - 550^{\circ}\text{C}$ แบบ thermopak 400

Thermopak 400 Oil Resistant Non-Asbestos Gasket sheet	
Thermopak 400 is an oil-resistant non-asbestos gasket material made from specialized thermally resistant fiber and oil-resistant synthetic rubber by vulcanization and compression.	
Application: Suitable for sealing gaskets for connection of oil pipeline, connection part in diesel engine and flange connection of refining equipment, distill pipeline, aero engine and air conditioning system. Stable in medium of fuel, lubrication oil with petroleum base, animal and vegetable oil, hot oil, etc.	
Colour	blue
Density	$1.6 - 2.0 \text{ g/cm}^3$
Tensile strength	14.0 Mpa
Compressibility	$12\% (\pm 7)$
Recovery	$\geq 50\%$
Maximum temperature	400°C
Working pressure	4 Mpa (40 bars)
Size available	Thickness: 0.5mm, 1.0mm, 1.5mm, 2.0mm, 5.0mm Width x Length: 1500mm x 2000mm

ที่มา : Westbound engineering Co, Ltd. (2009)

ตารางที่ ช2 สมบัติของปะเก็น (gasket) ชนิด non-asbestos 50 - 550°C และ thermopak 200

Thermopak 200	
Non-Asbestos Gasket sheet	
Thermopak 200 is a non-asbestos gasket material made from specialized thermally resistant fiber and synthetic rubber by vulcanization and compression.	
Application: Suitable for water, steam and gases, as a sealing gasket for middle load requirements machine, vehicle, ship, pipeline construction, chemical and power engineering, pumps and others.	
Colour	Green
Density	1.6 – 2.0 g/cm ³
Tensile strength	14.0 MPa
Compressibility	12% (± 7)
Recovery	$\geq 50\%$
Maximum temperature	200°C
Working pressure	2 MPa (20 bars)
Size available	Thickness: 0.5mm, 1.0mm, 1.5mm, 2.0 mm, 5.0mm Width x Length: 1500mm x 2000mm

ที่มา : Westbound engineering Co, Ltd. (2009)

ตารางที่ ช3 สมบัติของปะเก็น (gasket) ชนิด non-asbestos 50 - 550°C และ thermopak 400
 (Chemie & Oil)

Thermopak 400 (Chemie & Oil) Chemical & Oil Resistant Non-Asbestos Gasket sheet																	
Thermopak 400 (Chemie & Oil) is a chemical & oil resistant non-asbestos gasket material made from specialized thermally resistant fiber and oil resistant synthetic rubber by vulcanization and compression.																	
Application: Multi-purpose suitable for sealing gaskets for connection of oil pipeline, connection part in diesel engine and flange connection of refining equipment, distill pipeline, aero engine and air conditioning system. Stable in medium of fuel, lubrication oil with petroleum base, animal and vegetable oil, hot oil, acid, alkali, solvent, chlorine solution, etc.																	
<table> <tr> <td>Colour</td> <td>Grey</td> </tr> <tr> <td>Density</td> <td>1.6 – 2.0 g/cm³</td> </tr> <tr> <td>Tensile strength</td> <td>8.0 MPa</td> </tr> <tr> <td>Compressibility</td> <td>12% (± 5)</td> </tr> <tr> <td>Recovery</td> <td>$\geq 45\%$</td> </tr> <tr> <td>Maximum temperature</td> <td>400°C</td> </tr> <tr> <td>Working pressure</td> <td>4 MPa (40 bars)</td> </tr> <tr> <td>Size available</td> <td> Thickness: 0.5mm, 1.0mm, 1.5mm, 2.0 mm, 5.0mm Width x Length: 1500mm x 2000mm </td> </tr> </table>		Colour	Grey	Density	1.6 – 2.0 g/cm ³	Tensile strength	8.0 MPa	Compressibility	12% (± 5)	Recovery	$\geq 45\%$	Maximum temperature	400°C	Working pressure	4 MPa (40 bars)	Size available	Thickness: 0.5mm, 1.0mm, 1.5mm, 2.0 mm, 5.0mm Width x Length: 1500mm x 2000mm
Colour	Grey																
Density	1.6 – 2.0 g/cm ³																
Tensile strength	8.0 MPa																
Compressibility	12% (± 5)																
Recovery	$\geq 45\%$																
Maximum temperature	400°C																
Working pressure	4 MPa (40 bars)																
Size available	Thickness: 0.5mm, 1.0mm, 1.5mm, 2.0 mm, 5.0mm Width x Length: 1500mm x 2000mm																

ที่มา : Westbound engineering Co, Ltd. (2009)

ภาคผนวก ๗

ค่าใช้จ่ายในการผลิตชิ้นงานวัสดุพสมเนื้้อะลูมิเนียม

ค่าใช้จ่ายในการผลิตชิ้นงานวัสดุพลาสติกอะลูมิเนียม

ในการทดลองวิจัยครั้งนี้ เป็นการพัฒนากระบวนการหล่อโลหะแบบใหม่ด้วยความดันสูงสำหรับการแทรกซึม โดยการใช้เซรามิกซิลิคอนคาร์บอนเป็นวัสดุเสริมแรงและโลหะอะลูมิเนียม เกรด A 56 เป็นเนื้อหลัก เพื่อผลิตวัสดุพลาสติกอะลูมิเนียมในแต่ละครั้งจะเกิดค่าใช้จ่ายจากการทดลองวิจัยหล่อโลหะแบบใหม่ด้วยความดันสูง (พิจารณาหัวข้อ 4.2 ของบทที่ 4 ประกอบ) ซึ่งมีรายละเอียดดังนี้

1. ค่าวัสดุคงเหลืออะลูมิเนียม เกรด A 56 ซึ่งเป็นเนื้อหลัก ปริมาณ 1 kg
 2. ค่าไฟฟ้าในการหลอมเหลวอะลูมิเนียม เกรด A 56 ด้วยเตาหลอมโลหะชนิดดลัดความต้านทาน ที่อุณหภูมิ 750°C เป็นระยะเวลา 4 ชั่วโมง
- ค่าเชื้อเพลิงก๊าซปิโตรเลียมเหลวในการเผาอุ่นชุดระบบการหล่อเที่ยงความดันสูงด้วยหัวเผาซึ่งต่อ กับถังก๊าซปิโตรเลียมเหลว ขนาด 15 kg (น้ำหนักก๊าซปิโตรเลียมเหลวที่ไม่รวมกับน้ำหนักถัง) จำนวน 2 ถัง

3. ค่าสลักเกลียว (น็อต โบลท์ และแหวนรอง) ที่ใช้สำหรับการจับยึดชิ้นส่วนของชุดระบบการหล่อเที่ยงความดันสูง จำนวน 2 ชุด

เนื่องจากปะเก็นเกรไฟต์ทันไฟ non-asbestos 50 – 550°C แบบ thermopak 200 ที่ใช้ในทดลองวิจัยหล่อโลหะแบบใหม่ด้วยความดันสูงครั้งนี้ ได้รับความอนุเคราะห์มาจากบริษัท Thai leakless Corporation Co, LTD. และเซรามิกซิลิคอนคาร์บอนที่ใช้เป็นวัสดุเสริมแรงเพื่อผลิตวัสดุพลาสติกอะลูมิเนียม ได้สั่งซื้อมาเป็นปริมาณมาก อีกทั้งเมื่อนำมาผลิตเป็นซิลิคอนคาร์บอนเป็นชิ้นรูปก็ผลิตเป็นจำนวนมากที่มากในครั้งเดียว (ใช้ซิลิคอนคาร์บอนเป็นชิ้นรูปเพียงแค่ 2 ชิ้นต่อ 1 ครั้งการทดลองวิจัยหล่อโลหะแบบใหม่ด้วยความดันสูง เพื่อผลิตวัสดุพลาสติกอะลูมิเนียม 2 ชิ้น) จึงไม่นำมาคิดค่าใช้จ่าย ซึ่งรายละเอียดและค่าใช้จ่ายในการผลิตชิ้นงานอะลูมิเนียมวัสดุพลาสติกอะลูมิเนียม 1 ครั้งการทดลองวิจัยหล่อโลหะแบบใหม่ด้วยความดันสูง แสดงดังตารางที่ 71

ตารางที่ ช1 ค่าใช้จ่ายในการผลิตชิ้นงานวัสดุผสมเนื้ออะลูมิเนียมต่อ 1 ครั้ง ของการทดลองวิจัยกระบวนการหล่อโลหะแบบหัวขึงด้วยความดันสูง

No.	ค่าใช้จ่าย	จำนวน/ปริมาณ	หน่วย	จำนวนเงิน (รวมภาษีมูลค่าเพิ่ม)	รายละเอียด
1	ค่าโลหะอะลูมิเนียม เกรด A356	1 กิโลกรัม	110 บาท	117.7 บาท	ชิ้นทางการค้า AC4C อะลูมิเนียมแท่ง
2	ค่าไฟฟ้าในการหลอมเหลวอะลูมิเนียม*	0.75 หน่วย	4.3093 (TOU) 0.8544 (Ft)	18.63 บาท	เตาหลอมโลหะชนิดบดลดความด้านทาน ด้วยกำลัง 3,000 w เวลา 4 ชั่วโมง
3	ค่าเชือเพลิงก๊าซบีโตรเลียมเหลว	15 กิโลกรัม	-	340 บาท	ใช้ 3 ถัง ถังละ 5 กิโลกรัม (1 ถัง : 340 บาท)
4	ค่าสลักเกลียว	32 ชุด	2.20 บาท	70.40 บาท	1 สลักเกลียว: 1 น็อต/โบลท์ / หวานรอง ขนาด M6 x 40 mm
	รวมค่าใช้จ่ายทั้งหมด			546.73 บาท	ค่าใช้จ่ายในการผลิตชิ้นงานอะลูมิเนียม วัสดุผสม 1 ครั้งการทดลองวิจัย

*คิดค่าไฟฟ้าในการหลอมเหลวอะลูมิเนียมด้วยอัตราค่าไฟฟ้าตามช่วงเวลาของการใช้ (Time of use tariff, TOU) ในช่วงความต้องการไฟฟ้าสูง (On Peak) ระหว่างเวลา 09.00-22.00 น. ของวันทำงาน (จันทร์-ศุกร์) อัตราค่าไฟฟ้า 4.3093 บาท ต่อหน่วย และมีค่าการปรับอัตราค่าไฟฟ้าโดยอัตโนมัติ (Energy adjustment charge, Ft) 0.8544 บาท ต่อหน่วย ค่าบริการรายเดือน 14.49 บาท (ใน 1 เดือนสามารถทดลองวิจัยกระบวนการหล่อโลหะแบบหัวขึงด้วยความดันสูงได้เฉลี่ย 4 ครั้ง ตามหลักการไฟฟ้าฝ่ายผลิตแห่งประเทศไทยคิดค่าบริการรายเดือนเฉลี่ย 57.95 บาท)

ประวัติผู้เขียน

ชื่อ สกุล	นายนริศ จุสกรณ์	
รหัสประจำตัวนักศึกษา	4812098	
วุฒิการศึกษา		
วุฒิ	ชื่อสถานบัน	ปีที่สำเร็จการศึกษา
วิศวกรรมศาสตรบัณฑิต (วิศวกรรมการผลิต)	มหาวิทยาลัยสงขลานครินทร์	2548

ทุนการศึกษา (ที่ได้รับในระหว่างการศึกษา)

- ทุนศิษย์เก่ากูฎี จากคณะกรรมการศาสตร์ มหาวิทยาลัยสงขลานครินทร์
- ทุนผู้ช่วยสอน จากคณะกรรมการศาสตร์ มหาวิทยาลัยสงขลานครินทร์
- ทุนวิจัยแบบทั่วไป จากคณะกรรมการศาสตร์ มหาวิทยาลัยสงขลานครินทร์
- ทุนอุดหนุนการวิจัยเพื่อวิทยานิพนธ์ จากบัณฑิตวิทยาลัย มหาวิทยาลัยสงขลานครินทร์

การตีพิมพ์เผยแพร่ผลงาน

นริศ จุสกรณ์ นักศึกษา มีผลงาน หัวขอ ปลูกผล สุชาติ จันทร์ภรณี เจษฎา วรรณสินธุ์. 2551. การพัฒนากระบวนการหล่อโลหะแบบใหม่ด้วยความค้นสูงสำหรับการแทรกซึมเพื่อผลิตวัสดุผสมเนื้ออัลูมิเนียม. การประชุมวิชาการทางวิศวกรรมศาสตร์ มหาวิทยาลัยสงขลานครินทร์ ครั้งที่ 6. วันที่ 8-9 พฤษภาคม. คณะกรรมการศาสตร์ มหาวิทยาลัยสงขลานครินทร์.